



BioCoherence Manual

Version 2025-03-20

Generel indholdsfortegnelse

INTRODUKTION

1. En kort historie om BioCoherence.....	3
2. Bygger broer	5

3. BRUG AF BIOCOHERENCE

3.1. Moduloversigt	14
<i>En detaljeret indholdsfortegnelse kan findes i begyndelsen af dette kapitel.</i>	
3.2. Detaljeret manual for hver modul	36
<i>En detaljeret indholdsfortegnelse kan findes i begyndelsen af dette kapitel.</i>	

4. TILLÆG

4.1. Ofte stillede spørgsmål	82
4.2. Medicinske studier og litteratur	86
4.3. Bibliografi	98

En kort historie om BioCoherence

Det er sommer 2024, og den første offentlige version af BioCoherence er ved at blive lanceret. Hvordan kom vi hertil, med denne software ud af mit hoved, der indtil videre har over 1400 proprietære biomarkører, 40 skærme, scan-analyse af et elektrokardiogram og tests med live biofeedback, samt en genopretning modulet?

Lad os se tilbage på to konvergerende veje.

Vores første kontakt med energivurdering og behandlingsapparater går tilbage til 2011. Christine og jeg var gift og havde 3 børn. Det år skulle vores anden datter Isis, som stadig var glutenintolerant på det tidspunkt, starte i sekundær skole. Mens vi stadig boede i Sournia, en lille landsby i Pyrenæerne (i det sydlige Frankrig), ledte vi efter en løsning, så hun kunne få frokost i skolen. Jeg vil spare dig for detaljerne, men da vi kom til specialisten, fortalte han os, at den eneste løsning var en koloskopi. Og at det alligevel ikke kunne helbrede hende. Så vi begyndte at lede efter en anden løsning. En ven pegede os i retning af en mærkelig fyr, der arbejdede i en lille landsby, og denne mærkelige fyr udførte en komplet undersøgelse og genharmonisering i én session; han havde ikke kun identificeret alle problemerne på en halv time, men hun var helbredt en måned senere.

Christine og jeg kiggede på hinanden og indså, at der var noget galt med medicinen. Hvorfor havde hospitalet ikke været i stand til at tilbyde os denne løsning? Hvorfor var det tilsyneladende så fortroligt? Men frem for alt, hvad var denne ting?

Ved slutningen af 2011 oprettede vi en nonprofitorganisation med denne praktiserende læge for at prøve at studere og validere disse praksisser, derefter et plejecenter, og derefter et andet. Vi kom endelig i kontakt med producenten af denne enhed for at distribuere den i Frankrig, i slutningen af 2012. Vi mødte andre og endte med at etablere solid distribution, et netværk af praktikere og en skole.

Men for mig, som videnskabsmand, ingeniør, softwaredesigner, musiker, forfatter og frem for alt tvangspræget skaber, kunne jeg ikke stoppe ved en kommerciel eller administrativ rolle. Jeg havde allerede oprettet flere virksomheder, for hvilke jeg altid havde programmeret hele computersystemet. Faktisk begyndte jeg at skabe software, da jeg var omkring 10, og solgte min første omkring 15. Jeg studerede derefter videnskab og gik på lydtekniskole, før jeg oprettede et webbureau med Christine i 1996, og derefter flere start-ups. Når jeg ser tilbage på de plejeapparater, vi distribuerer, var jeg som designer ivrig efter at bidrage til dette innovative fremdrift i designet af disse kontrol- og plejesystemer, som jeg har erfaret meget og forstår godt.

Denne første vej er altså videnskab, IT og forretning, og deres anvendelser til sundhedspleje.

Men dette er ikke den eneste vej, der har ført til BioCoherence i dag.

Den anden vej er meditation.

Da jeg var 11 eller 12 år gammel, havde jeg en passion for magi — eller rettere sagt, tryllekunst. Jeg kunne tilbringe hele dagen i parisiske tryllebutikker, møde alle kunderne (showbusinessprofessionelle). — Husk på, jeg skabte også, lavede og solgte et trick til en butik, jeg anslår, jeg var 13 år gammel ... — Og det var dér, jeg mødte Pierre, en tryllepro, der arbejdede over hele verden. Vi blev gode venner. Og Pierre havde praktiseret "uden for kroppen", eller "astral rejse", siden han var barn, hvilket fascinerede mig. Jeg havde aldrig hørt om det. Han gav mig et par bøger om emnet og talte om det som noget helt naturligt for ham, men vi mistede kontakten efter et stykke tid.

Siden da syntes det naturligt for mig, at der eksisterede en meget større verden bag sløret af synsindtryk. Men hvordan, i Paris, i en hyper-materialistisk tidsalder, i en familie der vidste intet om det, kunne jeg dykke ned i dette spørgsmål?

Som årene gik, forblev det et privilegeret og fascinerende emne for diskussion, en kilde til nysgerrighed, men ikke mere. Vi prøvede meditation som teenagere og derefter som voksne, uden meget held. Så begyndte livet at tage form i nuet, med alle sine krav.

Tilbage til 2011, et skelsættende år, en konvergens af veje. Da Isis begyndte sin bedring, blev vi henvist til en familielæge i Perpignan. Han ser tingene anderledes. Selvfølgelig, lad os gå. Jeg taler med ham om alt og intet, og emnet meditation dukker op igen; jeg fortæller ham, at jeg havde forsøgt at gå uden for min krop uden meget held. Han svarer, at han kender en teknik baseret på lyde med forskellige frekvenser i ørerne, uden at vide meget mere om det. Men lyd talte til mig... og jeg søgte og opdagede binaurale beats. Og fra da af accelererede fremskridtene, som havde været så besværlige indtil da, markant. Inden for få måneder udvidede universet sig, både indad og udad. Siden det skelsættende år har alt reorganiseret sig omkring os.

Jeg begyndte en serie af interviews til et filmprojekt, *In Reality*¹. Jeg mødte og filmede omkring fyre fascinerende mennesker. Jeg endte med at oprette et fransk forlag for at oversætte deres bøger, og har indtil videre udgivet omkring tyve værker.

Christine, for sin del og meget til sin overraskelse, blev klarsynet. Det er en god en. Åh, og det er min datter også. Som en god videnskabsmand laver jeg alligevel et par valideringsprotokoller. Det hele ser meget virkeligt ud, okay, lad os indrømme det. Det år, efter 7 års quasi-autarkisk familieliv i bjergene (vi havde forladt Paris i 2004 for at bygge huset, som Christine havde designet selv), kom Disneyland i stor stil. Og verden bliver langt mere omfattende. Huset fyldes med væsener, hver mere fantastisk end den sidste. Vanvittigt, men anekdote efter anekdote bliver det umuligt ikke at tro på denne nye virkelighed.

Dette er de to veje, der mødes; på den ene side energivurdering og helbredelsesapparater og software, med deres fantastiske muligheder, men forskellige begrænsninger og frustrationer; på den anden side meditation, indre personlig udvikling, udvidelsen af verdens grænser, og den enorme magt til at tage magten over sig selv og bevidstheden om ens eget ansvar.

Så i 2017 drev jeg en første alliance mellem de to og begyndte et meditationsapp-projekt, der skulle fungere som en platform for skabere; for kompliceret, aldrig færdig. I 2018 oprettede jeg en app til at generere binaurale beats og andre lyde til at ledsage meditationer; for kompliceret, aldrig færdig. Jeg begynder at se et tilbagevendende mønster. Dette er ikke min første for kompliceret, aldrig færdig applikation. Okay, lad os omskrive hele sagen og forenkler det: Ah, vi har vundet! I 2021 vil vi præsentere vores skole med dens første, mindre komplicerede og - hurra! - færdige app: 33, guidede meditationer, baseret på Christines første 2 bøger.

Et detalje forbliver: Jeg ønsker at tilbyde mere. Jeg vil have et pålideligt målesystem til at vælge og, hvorfor ikke, tilpasse meditationer. En detalje, som jeg sagde, der endelig tog mig 3 år. I 2022 kan jeg præsentere vores årlige Masterclass med et første værktøj baseret på måling af et elektrokardiogram. I 2023, efter mere end et års arbejde, blev grænsefladen prydet med adskillige visualiseringer, og nye skærme blev oprettet. Endnu 6 måneders forskning, og vi ankommer, i april 2024, med en software, der tørster efter interaktioner...

For at nå denne første version, valgte jeg drastisk (og smertefuldt, som du kan forestille dig) de ideer, der skulle implementeres. Men i de næsten 40 år, jeg har været kreativ, har jeg endelig indset, at der ikke er nogen mening i at skabe for skabelsens skyld; du skal skabe for at dele. Og for at gøre dette måtte jeg bruge langt mere tid, end jeg ville have troet, på at gøre denne software let at forstå. Jeg har formået at gøre det, selvom jeg stadig er frustreret over alt det, der endnu ikke eksisterer. Du kan regne med mig til fortsat at inkorporere og dele ideer og værktøjer, og jeg vil sikre, at de altid er smukke, enkle og intuitive for dig.

Médéric Degoy, designer af BioCoherence-softwaren.

At bygge broer

BioCoherence er designet omkring en række nøglebegreber. Det er vigtigt at have en generel idé om dem, da de styrer den underliggende logik.

Vores opgave er at bygge broer mellem domæner, der ofte ikke er forbundet. Disse omfatter: cybernetik; systemteori; energi, entropi og negentropi; emergens; heuristik; synkronicitet; ergodicitet; ressourceteori; kaskadeteori; embryogenese; prologiteori; resonansprincippet; kohærensprincippet; skalabølger; tidskrystaller; forholdet mellem krop og sind; forholdet mellem stof, energi og information; fysisk entropi og informationsentropi; det ubevidste og arketyper.

Medmindre andet er angivet, er citaterne fra Wikipedia.

Kybernetik

"Den generelle videnskab om regulering og kommunikation i naturlige og kunstige systemer."

"Kybernetik er studiet af informationsmekanismer i komplekse systemer. Konturerne af denne forskning drejer sig om nøglebegrebet feedback eller *teleologisk mekanisme*. Deres mål var at give en samlet vision af de spirende områder (mellem 1942 og 1953) inden for automatisk kontrol, elektronik og matematisk informationsteori som en "hel teori om kontrol og kommunikation, både i dyret og i maskinen".

Formaliseret af Norbert Wiener er cybernetik oprindelsen til blandt andet de systemiske terapier fra Palo Alto-skolen og de biologiske teorier om selvorganisering."

Interessante noter:

- "I 1894 skabte Ludwig Boltzmann forbindelsen mellem entropi og information, idet han bemærkede, at entropi er forbundet med information, som vi ikke har adgang til."
- "Fysiologien forsynede ham også med mange elementer. For eksempel princippet om homeostase, som blev fremhævet af Claude Bernard."
- "Kybernetikken er også en fortsættelse af fænomenologien, for så vidt som den auskulturer fænomener for at forstå deres autonomi og partikularitet, især gennem form, og derefter går videre til en anden type analyse: modellering, mekanik%u2026"
- "Feedback fremhæves af denne tilgang, da den er afgørende for at designe en selvregulerende logik. Der opstår således feedbacksløjfer, cirkulære mekanismer, der fremhæver systemer."
- begrebet "emergens" vil snart blive brugt til at betegne ikke kun nye former, men også nye egenskaber og processer, der opstår under den spontane reorganisering af et system. Denne type fænomen involverer nogle gange, mere end en reorganisering af systemet, en organisering på en højere grad af kompleksitet."
- "I andenordens cybernetik inkluderer observatøren sig selv i det observerede system"

Kybernetik er roden til økologi, psykoanalyse, informationsvidenskab, systematik, kognitiv videnskab, kunstig intelligens, internet%u2026

Anvendelse i biokohærens

I hele softwaren på alle niveauer, fra det dybeste (selve computerens eksistens, operativsystemet og internettet) til det mest flydende (systemisk logik, analyse på niveau 1, 2 og 3 og fremkomsten af nye egenskaber, sammenkoblingen af alle elementer, beregninger af links og resonanser).

Princippet om feedback er kernen i softwaren, især i biofeedback-målinger.

Interessant nok fokuserer cybernetikken på et systems restriktioner og begrænsninger. Det giver en indikation af mulige valg. Men princippet om ækvifinalitet foreskriver, at det er muligt at nå et mål ad mange forskellige veje.

Systemteori

"Systemteori er en måde at definere, studere eller forklare enhver form for fænomen på, som først og fremmest består i at betragte dette fænomen som et system: et komplekst sæt af interaktioner, ofte mellem undersystemer, som alle indgår i et større system. Det

adskiller sig fra traditionelle tilgange, som fokuserer på at nedbryde et system i dele uden at overveje helhedens funktion og aktivitet, dvs. selve det overordnede system.

Systemtænkning favoriserer en global, makroskopisk, holistisk eller syntetisk tilgang; den observerer og studerer et system fra forskellige perspektiver og på forskellige organisationsniveauer; og frem for alt tager den hensyn til de forskellige interaktioner, der findes mellem systemets dele.

Systemikken opstod gradvist i midten af det 20. århundrede i opposition til den kartesianske analytiske tradition og andre former for reduktionisme, som havde en tendens til at skære helheden op i uafhængige dele og viste deres begrænsninger i forståelsen af virkeligheden."

Interessante noter:

- "Det væsentlige begreb her er utvivlsomt regulering, som defineret gennem begrebet feedback-loop." "Interaktion (eller indbyrdes forhold) henviser til ideen om ikke-lineær kausalitet. Dette begreb er afgørende for at forstå koevolution og symbiose i biologien. En særlig form for interaktion er retroaktion (eller feedback), hvis undersøgelse er central for kybernetikkens arbejde."
- "Totalitet. Hvis et system først og fremmest er et sæt elementer, kan det ikke reduceres til dette. Som man siger, er helheden mere end summen af dens dele"
- "Organisation er det centrale begreb for at forstå, hvad et system er. Organisering er indretningen af en helhed i henhold til opdelingen af dens elementer i hierarkiske niveauer. Afhængigt af organisationsgraden vil en helhed ikke have de samme egenskaber. Vi når således frem til den idé, at **en helheds egenskaber afhænger mindre af arten og antallet af de elementer, den indeholder, end af de relationer, der er etableret mellem dem:**"Et åbent system er et system, som gennem sine udvekslinger af stof, energi og information manifesterer evnen til at organisere sig selv"
- Som åbne systemer er levende væsener i stand til at skabe negentropi-loops (dvs. at mindske entropien og skabe en højere orden).
- Med hensyn til det "dynamiske system" er den første idé, der kendetegner dette felt, at der bag den tilsyneladende uorden ligger en orden, der er mere kompleks end den synlige orden. Den anden idé er, at denne orden opstår gennem selvorganisering og fremkomsten af nye karakteristika og egenskaber, som tidligere var fraværende."

Anvendelse i BioCoherence

- fremhævelse af forbindelser mellem elementer, der er lige så vigtige, hvis ikke vigtigere, end evalueringen af selve elementerne.

Emergens

"Emergens er et filosofisk begreb, der groft sagt kan opsummeres med ordsproget: "helheden er mere end summen af dens dele". Det står i modsætning til reduktionisme såvel som til dualistiske doktriner (dualisme eller vitalisme).

En egenskab kan betegnes som "emergent", hvis den "følger" af mere grundlæggende egenskaber, samtidig med at den forbliver "ny" eller "irreducibel" i forhold til dem. Således bemærker John Stuart Mill, at vands egenskaber ikke kan reduceres til hydrogen eller oxygen."

Interessante pointer:

- "Vi taler nogle gange om "synkron emergens" i forbindelse med forholdet mellem mikro- og makroniveauet i et system. I dette tilfælde indebærer emergens en konceptuel irreducibilitet: Emergente egenskaber og love er systemiske træk ved komplekse systemer, der styres af love, som ikke kan reduceres til dem, der kvalificerer forholdet mellem komponenter i mindre skala."

Anvendelse i BioCoherence

- emergensens logik: Analysen udføres i flere trin, der hver især afslører egenskaber på højere niveau, som ikke findes på lavere niveau. I den sidste fase findes ressourcerne.

Energi

"Energi er et begreb, der er relateret til handling, kraft og varighed: Gennemførelsen af en handling kræver, at man opretholder en vis kraft i tilstrækkelig lang tid for at overvinde den inerti og modstand, der modsætter sig denne ændring."

Anvendelse i biokohærens

Energien i en biomarkør måles på forskellige måder afhængigt af typen af biomarkør; placeret i en minimum/maksimum-skala, der er specifik for hver biomarkør, bliver den blomstens lodrette akse.

Entropi

Det er et både klart og komplekst begreb, men frem for alt et begreb, der forklarer meget forskellige ting inden for forskellige områder.

- For fysikere er entropi uro, uorden.
- For informationsteori er entropi et mål for den mulige rå mængde af forskellige typer information.
- For datalogi er det groft sagt omfanget af mulig information, rummets størrelse.

Vi kan opsummere begrebet entropi som værende proportionalt med uordenen i et system; dets modsætning, negentropi, er derfor proportionalt med graden af orden i et system.

Anvendelse i biokohærens

Vi måler variationen på forskellige niveauer af biomarkører for at udlede en agitationsfaktor, som vil udgøre blomstens vandrette akse.

Ressourceteori

Udviklet af Christine Degoy postulerer ressourceteorien, at der i ethvert levende system er perfekt udførte dele, som giver næring til andre dele. I en systemlogik er det ressourcedele, som er aktivt forbundet med andre subsystemer, der har behov for det.

Christine har identificeret ressourcer på alle niveauer: organisk, psykologisk, energetisk og ikke-fysisk (dvs. bestående af stof, der interagerer med det overordnede system, men som ikke er underlagt de samme fysiske love som almindeligt stof).

Anvendelse i biokohærens

Som det fremspirende element på højeste niveau gør ressourceidentifikation os i stand til at opbygge en sammenhængende plan for de prioriteter, der skal tages fat på, og bruge dem til at optimere det overordnede system.

Kaskade-teori

I fodsporene på Paul Schmidts princip om at søge efter de oprindelige årsager til sygdom, og senere udviklet af Philippe Matza, er kaskadeteorien en del af en systemisk logik. Den postulerer, at et lidende organ eller system er en del af en kæde af årsagssammenhænge og energimæssige sammenhænge, og at denne kæde skal spores for at få en effektiv behandling.

Anvendelse i BioCoherence

Ved at identificere links og sammenhængende systemer gør BioCoherence os i stand til at rekonstruere komplette årsagskæder og handle ved kilden til forstyrrelser. Men vi udvider begrebet årsagskæder til flere kæder og til det faktum, at et system, hvis elementer er i sammenhæng, har brug for samtidig indgriben på alle niveauer for bæredygtigt at genskabe balancen i dets elementer.

Embryogenese

"Under dannelsen af embryoet organiseres cellerne i forskellige cellelag: Det ydre lag kaldes ektoderm, mens det indre lag kaldes endoderm. Det mellemliggende lag danner et væv, der kaldes mesoderm. Hos pattedyr har hvert lag sin egen skæbne: Endodermen producerer fordøjelseskanalen og de tilhørende kirtler (bugspytkirtlen); mesodermen producerer muskler, skelet og blodkar;

ektodermen producerer overhuden og nervesystemet."

Anvendelse i biokohærens

Vi postulerer, at disse elementer forbliver forbundet i den voksne organisme ved hjælp af særlige resonanser, og vi tager højde for 8 korpora udviklet af Christine Degoy, som består af elementer, der er forbundet med deres embryonale oprindelse. Disse forhold integreres derefter i en fortolkning af resultaterne.

Teori om prologi

Uddrag fra *Prologie, rediscovering the meaning of life*, af Christine Degoy:

"Det er en samlet tilgang til både pleje og tilfredsstillelse. Den er integrativ og tværgående og kan beskrives som systemisk, orienteret mod resonansen mellem alle personens komponenter som så mange tilgængelige ressourcer, der bringes i synergi."

Prologi tilbyder et komplet paradigmeskift, hvor kroppen integreres som en stærk løftestang for tilfredsstillelse, selv midt i en sygdomsperiode. Dens stærke principper er baseret på livsprojektet kombineret med den systemteoretiske tilgang, illustreret ved følgende tese: **"Ethvert menneske er et system med et projekt, og alt, hvad der udgør det, er designet til at nå dette mål."**

Prologi gør os i stand til at kortlægge menneskekroppen i form af personlig projektstøtte og til at opdage en tidsmæssig organisering af successive områder i væksten af modenhed og mestring af ens liv.

Kortlægning på basis af embryologi kombineret med de tre søjler i den menneskelige natur - vilje, kærlighed og visdom - giver anledning til en ny forståelse af sygdom. Prologisk afkodning ser nemlig sygdom som en transformation af systemet, ikke som en fejl. Når et menneskes materie-energi-informationssystem skal forbedres for at komme videre, udnytter han eller hun enhver evolutionær mulighed for at ændre og udvikle færdigheder og adfærd, behov og ønsker samt visioner om livet og verden omkring ham eller hende.

Hvert organ spiller en rolle i opfyldelsen af individets livsprojekt og opdaterer sig selv med varierende grad af diskretion, afhængigt af omfanget af den transformation, der kræves for at udvikle sig.

Målet med en prologisk tilgang er at genoprette balance, energi og komfort, samtidig med at man respekterer sit livsprojekt for at opnå holistisk tilfredsstillelse.

Anvendelse i BioCoherence

Softwaren giver mulighed for en komplet vurdering og identifikation af de problemer og forandringer, der er i gang, i overensstemmelse med livsprojektet. Dette er en positiv læsning baseret på formål og energifrigørelse, i modsætning til biologisk afkodning, som er baseret på konflikt og forhindring.

Princippet om resonans

"Resonans er et fænomen, hvor visse fysiske systemer (elektriske, mekaniske osv.) er følsomme over for bestemte frekvenser. Et resonanssystem kan akkumulere energi, hvis den tilføres i periodisk form og tæt på en frekvens, der kaldes "resonansfrekvensen"."

Anvendelse i biokohærens

Under lydmeditationer vil lyde eller sekvenser af lyde, der udsendes ved bestemte frekvenser, give energi til bestemte organiske eller mentale strukturer.

Princippet om kohærens

"I fysikken er kohærens et sæt af korrelationsegenskaber i et bølgesystem. Vi kan tale om kohærens mellem to bølger, mellem værdierne af den samme bølge på to forskellige tidspunkter (tidsmæssig kohærens) eller mellem værdierne af den samme bølge på to forskellige steder (rumlig kohærens). Eksempler på kohærente stråler: laserlys"

Binaurale beats

"Et binauralt beat er en tilsyneladende lyd, der opfattes i hjernen som et resultat af en specifik fysisk stimulus. Denne effekt blev opdaget i 1839 af Heinrich Wilhelm Dove.

Hjernen producerer et fænomen, der opfattes som lavfrekvente impulser af lydstyrke, når to lyde med lidt forskellige frekvenser præsenteres uafhængigt af hinanden for hver af forsøgspersonens ører. Hvis forskellen mellem de to frekvenser er 4 hertz, vil forsøgspersonen høre 4 slag i sekundet."

Anvendelse i biokohærens

Under lydmeditationer integreres specifikke binaurale beats i henhold til de prioriteter, der skal behandles. De træner hjernen på bestemte frekvenser i alfa-, beta-, gamma- eller thetaområdet.

Skalabølger

Marc Henry¹ forklarer, at "der findes en femte dimension af skala, som er uafhængig af de tre rumlige dimensioner og den tidsmæssige dimension. Denne nye dimension gør det muligt at bestemme den skala, som det observerede eller målte rumlige og tidsmæssige fænomen opererer på. Men hvis der er en ny dimension, er der nødvendigvis bølger, der kan udbrede sig i den. Det er selvfølgelig vores skalabølger. Deres rolle er at sikre sammenhæng mellem de forskellige skalaer for beskrivelse og manifestation af det samme fysiske objekt. Disse skalabølger optræder ikke i akademiske afhandlinger om kvantefysik eller relativistisk fysik. De er dog meget velkendte for os. Det eneste, vi skal gøre, er at acceptere spørgsmålet om, hvordan et individ er i stand til at genkende de forskellige dele, der udgør det. Takket være skalabølger kan det samme individ føle sin enhed, uanset hvilken skala han bruger til at beskrive sig selv".

Skalabølger blev teoretiseret af Joël Sternheimer, som brugte dem i praksis med Proteodies.

Tidsmæssige krystaller

"En tidskrystal er en periodisk struktur i tid og rum. Ideen om en sådan struktur blev foreslået af Frank Wilczek i 2012. Ifølge ham er det muligt at forestille sig en struktur, der består af en gruppe partikler, som bevæger sig og periodisk vender tilbage til deres oprindelige tilstand, hvilket ville danne en "tidskrystal". Udtrykket stammer fra det, man observerer i en "klassisk" krystal, hvis atomare struktur viser et gentagende mønster i forskellige retninger i rummet. I en temporal krystal gentages mønstret derimod periodisk i tid, som i en oscillator. Kun en ekstern periodisk excitation kan få en temporal krystal til at dukke op og **absorbere energi**."

Anvendelse i biokohærens

Når forbindelserne mellem elementerne er blevet identificeret, kan man finde tilbagevendende mønstre. Tanken er, at disse mønstre (som kan være en række tanker, bevægelser, smerter, forskellige funktionsfejl²⁰²⁶) danner strukturer, der konstant absorberer energi fra det generelle system for at fastholde deres bevægelse. Softwarens algoritmer kan finde specifikke knudepunkter for at bryde gentagelsen.

Forholdet mellem krop og sind

"Begrebet forekomst blev introduceret inden for sindets filosofi i 1960'erne af Donald Davidson for at forene de tilsyneladende modstridende ideer om systematisk afhængighed og irreducibilitet af sind og krop. Når en egenskab af type B (f.eks. mental) opstår på baggrund af en egenskab af type A (f.eks. fysisk), er enhver ændring af type B ækvivalent med en ændring af type A. Når der er en forekomst, kan der således ikke være en forskel af én slags uden en forskel af en anden slags på et andet beskrivelsesniveau. Der er derfor et samvariationsforhold mellem disse to niveauer."

"Ifølge Simon Blackburn mangler den moderne fysiske opfattelse af naturen kvalitative egenskaber som farve, smerte og alt det andet, der udgør det kvalitative aspekt af vores oplevelse af verden."

"Nogle panpsykistiske filosoffer, såsom Galen Strawson, argumenterer ud fra dette perspektiv for, at alle fysiske objekter i virkeligheden er mentale egenskaber, der svarer til egenskaberne i den levede erfaring."

1. <https://marchenry.org/2014/09/15/ondes-dechelle/>

Forholdet mellem stof-energi og informationsbetydning; fysisk, energimæssig, informations- og betydningsentropi

For at vende tilbage til "det kvalitative aspekt af vores oplevelse af verden", så lad os se på materie:

- stof består af både bølger og partikler. Det kan beskrives som materielt (partikler) eller energetisk (bølger). I virkeligheden taler vi om selvstændige stationære bølger, der skaber deres eget magnetfelt, som en guitarstreng, der er foldet ind i sig selv. På den måde skaber de %u2026

- energi, som lagres eller cirkulerer. Den kan udveksles, men er ikke i sig selv hverken negativ eller positiv: Den repræsenterer blot en udveksling af energipotentialer i den ene eller den anden retning. Den bærer dog %u2026

- "information, som er kodet på "energi eller stof, og som repræsenterer symbolerne for ...

- mening, som i sidste ende er det eneste, der betyder noget for os som bevidsthedsvæsener.

Dette sætter begrebet "entropi" i perspektiv. På stofniveau er entropi uro eller energipotentialer. På informationsniveauet er entropi den mulige mængde information, der overføres på mediet (energi eller stof). Men på det ultimative betydningsniveau er entropi mængden af signifikant information, der rent faktisk kan overføres.

For eksempel: Forestil dig en knap, der udløser en atombombe. På informationsniveauet er en enkelt bit information nok til at udløse bomben. På stof- og energiniveau er effekten gigantisk, men lokaliseret. Og med hensyn til betydning afhænger det af målet: en by (enorm effekt i rum og tid) eller en testtunnel (effekt begrænset til resultatet af eksperimentet)? På den måde kan entropimængderne være radikalt forskellige på disse forskellige niveauer for den samme handling.

Synkroniciteter

"Nogle gange tror vi, at universet sender os tegn, når der sker tilsyneladende utrolige sammenhænge. Men for Jung er dette synkronicitet, som vi kan definere som samtidigheden af forskellige begivenheder, der er forbundet med en betydning, som ikke er tilfældig. Med andre ord kan denne enestående videnskab opsummeres som det tidsmæssige sammenfald af en række begivenheder (to eller flere), som, selv om de er forbundne, ikke er kausalt forbundet. Der er dog en indholdsmæssig forbindelse

"Når vi taler om synkronicitet, henviser vi ifølge Jung til foreningen af indre og ydre begivenheder. Det individ, der oplever disse begivenheder, finder således mening i deres forening. Jung etablerede synkronicitet eller l'occurrence som en søgen efter genkendelige mønstre."

Anvendelse i biokohærens

Mønstergenkendelse er en integreret del af vores måde at forstå verden på. Synkroniciteter forstås som fremkomsten af mening gennem konfrontationen af a priori urelaterede begivenheder. Det er denne forbindelse gennem mening, gennem betydning, der bringer informationens betydning frem. Dette nye forhold fremhæves ved beregning af forbindelser mellem biomarkører. I yderste konsekvens viser sammenhængende systemer, hvad der svarer til synkroniciteter, dvs. fremkomsten af mening på et højere niveau.

Generel semantik

"Generel semantik foreslår en ikke-aristotelisk form for tænkning for alle, oprindeligt udviklet af Alfred Korzybski.

Generel semantik søger at udvide rammerne for klassisk semantik (studiet af betydningen af ordforrådstermer og de ændringer, den kan undergå). Korzybskis mål var at konceptualisere en logik, der også svarede til niveauet for den videnskabelige udvikling på hans tid, så vi kunne løse menneskelige problemer mere effektivt end med de tidligere logikker fra Aristoteles og Descartes og fra den aristoteliske og newtonske fysik. Disse logikker, der blev konceptualiseret fra antikken til det 17. århundrede, anså Korzybski ikke længere for at være effektive til at beskrive og håndtere de problemer, der var specifikke for opdagelserne i hans århundrede. Korzybski anvendte den på psykiatrien, Henri Laborit på biologi (teori om handlingshæmning) og aggressologi (undersøgelse af levende organismers reaktioner under aggressionsforhold).

I Science and Sanity forklarer Korzybski, at han ser en korrespondance mellem denne ikke-aristoteliske logik og to videnskabelige revolutioner i det 20. århundrede, kvantefysikken og relativitetsteorien¹. Han påpeger, at førstnævnte vælter de sædvanlige fornuftskategorier, mens sidstnævnte introducerer "ikke-newtonsk" fysik og "ikke-euklidisk"² geometri. Ligesom sidstnævnte skal "nej't" i ikke-aristotelisk ikke forstås som en negation, men som en generalisering og overvindelse af aristotelisk logik, samtidig med at det inkluderer sidstnævnte, og ordet "generel" skal forstås i samme betydning som generel relativitet³. I analogi med

kvantefysikken hævder Korzybski, at observatøren er en integreret del af repræsentationen af virkeligheden, og at dette skal tages i betragtning i den generelle semantik".

Anvendelse i biokohærens

Alt er mening. Det er det ultimative abstraktionsniveau i kæden stof-energi-information-betydning. Det er det, de algoritmer, der er udviklet til BioCoherence, forsøger at fremhæve.

Heuristik

"Heuristik er "kunsten at opfinde, at gøre opdagelser" ved at løse problemer baseret på ufuldstændig viden. Denne type analyse fører til acceptable løsninger på begrænset tid. Disse kan afvige fra den optimale løsning. For Daniel Kahneman er det en procedure, der hjælper med at finde passende, om end ofte ufuldkomne, svar på vanskelige spørgsmål."

Anvendelse i biokohærens

Heuristik er "disciplinen at finde regler". Her handler det igen om at genkende mønstre, og ved at fremhæve links kan vi se på den generelle organisation i stedet for den særlige tilstand for et enkelt element i systemet.

Ergodicitet

"Ergodicitet eksisterer, hvis flere forskellige og separate statistiske analyser af det samme emne giver et tilstrækkeligt sammenligneligt resultat. Teorien har gennemgået adskillige udviklinger i tæt forbindelse med teorien om dynamiske systemer og kaosteori."

Anvendelse i biokohærens

Mønstergenkendelse er en integreret del af analysen, styrket af de seneste fremskridt inden for dyb læring og neurale netværk.

Beregningsmæssig irreducibilitet

"Beregningsmæssig irreducibilitet er en af de vigtigste ideer, som Stephen Wolfram foreslår i sin bog *A New Kind of Science* (2002).

Mange fysiske systemer er så komplekse, at de ikke kan måles effektivt. Selv de simpleste programmer udviser en bred vifte af adfærd. Derfor kan ingen model forudsige, kun ved hjælp af startbetingelser, præcis hvad der vil ske i et givet fysisk system, før et eksperiment udføres. På grund af dette problem med irreducibilitet i datalogiens formelle sprog kalder Wolfram denne manglende evne til at "forkorte" et system (eller "program") eller til at beskrive dets adfærd på en enkel måde for "computational irreducibility". Denne idé viser, at der er tilfælde, hvor teoriens forudsigelser faktisk er umulige. Wolfram hævder, at mange fænomener normalt er beregningsmæssigt irreducible.

Beregningsmæssig irreducibilitet forklarer de observerede begrænsninger i den eksisterende mainstream-videnskab. I tilfælde af beregningsmæssig irreducibilitet kan kun observation og eksperiment bruges."

Anvendelse i biokohærens

Dette koncept forklarer f.eks., hvorfor livet udfolder sig, som det gør. Lad os sige, at vi lever i en simulation, som om vi var karakterer i et videospil: Hvorfor skulle vi gide alle de oplevelser, vi har? Hvorfor ikke springe direkte til konklusionen? Fordi det ifølge dette princip er umuligt at springe til konklusionen: Vi er nødt til at gå gennem alle stadier af begivenheden for at kende dens epilog. Man er nødt til at "spille spillet", for ingen kan sige, hvordan det ender, uden at have spillet det i sin helhed.

Efter min mening forklarer dette de fleste af de komplekse spørgsmål, der rejses af mystik og eksistentielle spørgsmål. Lad os sige, at metempsykose (reinkarnation) er sandt. Hvorfor så karma? Ganske enkelt fordi det er vigtigt at beregne alle mulige muligheder, og det bedste system til at beregne disse muligheder er et, der er bevidst om alternativerne. Ud fra dette synspunkt er karma ikke et værktøj til hævn, men til tværgående viden om de mulige konsekvenser, som er umulige at forudsige, af en given begivenhed. Livet præsenterer os derefter for lignende situationer, men fra et andet synspunkt, og det er op til os bevidst at gå gennem stadiene og observere resultaterne. I denne vision er der ikke noget, der hedder skæbne eller en uundgåelig begivenhed; den eneste virkelighed

er de beslutninger, vi træffer i lyset af de begivenheder, vi bliver præsenteret for, men resultatet er umuligt at forudsige, før vi har truffet vores beslutninger. I virkeligheden er vores liv helt i vores egne hænder.

Det ubevidste, det kollektivt ubevidste og arketyper

"Arketyper er et analytisk psykologisk begreb udviklet af den schweiziske psykiater Carl Gustav Jung (1875-1961), som definerer det som den menneskelige tendens til at bruge den samme "a priori givne repræsentationsform", der indeholder et universelt tema, som strukturerer psyken, og som er fælles for alle kulturer, men repræsenteret i forskellige symbolske former.

For den jungianske psykologi er arketyper en grundlæggende psykisk proces i menneskelige kulturer, da den udtrykker de elementære adfærds- og repræsentationsmønstre, der er opstået ud fra menneskelig erfaring gennem historien, sammen med et andet jungiansk begreb, det kollektivt ubevidste."

Apropos det ubevidste, så er her en liste over opfindelser og opdagelser, som forfatterne hævder at have gjort en morgen efter en drøm:

- Descartes hævdede, at tre separate drømme, han havde den 10. november 1619, afslørede for ham grundlaget for en ny filosofi, den videnskabelige metode. OK, så selve den videnskabelige metode kommer fra "en drøm".
- E. Howe siges at have drømt sig frem til nålen til den moderne lockstitch-symaskine.
- Forskeren F.A. Kekulé opdagede den tilsyneladende umulige kemiske struktur af benzen (C₆H₆), da han drømte om en gruppe slanger, der sluttede deres haler.
- Niels Bohr fik Nobelprisen i fysik i 1922 for sin opdagelse af atomets struktur. Han husker, at elektroner, der kredser om kernen, ligesom solsystemet, viste sig for ham i en drøm.
- Den russiske kemiker Dmitri Mendelejev var udmattet efter tre dages forsøg på at klassificere de 56 grundstoffer, da han besluttede sig for at sove. "I min drøm så jeg en tabel, hvor alle grundstofferne faldt på plads, som de skulle. Da jeg vågnede, skrev jeg det straks ned på et stykke papir," skrev Mendelejev i sin dagbog. "Det var kun ét sted, hvor det senere viste sig nødvendigt med en rettelse."
- Den indiske matematiker Srinivasa Ramanujan, der er kendt for sine betydelige bidrag til talteori, analyse og andre områder af ren matematik, hævdede, at den hinduistiske gudinde Namagiri Thayar gav ham matematiske indsigter i hans drømme: "Pludselig begyndte en hånd at skrive på skærmen. Jeg blev meget opmærksom. Denne hånd skrev en række elliptiske integraler. De satte sig fast i mit hoved. Så snart jeg vågnede, skrev jeg dem ned"
- En mark med køer inspirerede Albert Einsteins relativitetsteori. I sin drøm fortalte Einstein en landmand, at køerne var omgivet af et elektrisk hegn, men landmanden så noget andet. Einstein vågnede op til den erkendelse, at den samme begivenhed kunne variere fra forskellige perspektiver, og relativitetsteorien begyndte at tage form.
- Hvis Charles Darwin er i søgelyset, når det gælder evolutionsteorien, så er videnskabsmanden Alfred Russel Wallace ikke til at komme udenom. Under en otteårig ekspedition til det, der i dag er Indonesien, indsamlede og studerede Wallace tusindvis af dyreeksemplarer. I 1855 konkluderede Wallace, at levende væsener udvikler sig, men han forstod ikke hvordan før 1858, da en feberdrøm gav ham åbenbaringen: Dyr udvikler sig ved at tilpasse sig deres miljø.
- Før Otto Loewis arbejde var spørgsmålet, om neurotransmission hovedsageligt var kemisk eller elektrisk. Natten til påskedag havde Loewi drømt om den perfekte forsøgsopstilling: to kamre med bankende hjerter - det ene med hans nerver intakte, det andet uden. Disse kamre skulle fyldes med en opløsning og forbindes med et rør. Forsøgslederen stimulerer det første hjerte elektrisk, hvilket får det til at slå langsommere. Hvis neurotransmissionen hovedsageligt er elektrisk, er der ingen grund til, at det andet hjerte slår langsommere. Men hvis neurotransmissionen er kemisk, kan kemikalier teoretisk set flyde ned i røret og også gøre det andet hjerte i det andet kammer langsommere. Loewi tager denne idé til efterretning, men kan ikke tyde sin egen håndskrift, da han vågner om morgenen. Den følgende nat kommer drømmen tilbage til ham. I samarbejde med Henry Dale brugte Loewi dette eksperimentelle apparat til at demonstrere kemisk neurotransmission og vandt Nobelprisen i 1936.
- James Watson, som sammen med Francis Crick opdagede dobbelthelixstrukturen i DNA - livets byggesten - drømte tilsyneladende om en vindeltrappe, som gav ham ideen til, hvordan DNA kunne konstrueres. Ifølge andre kilder drømte han om to sammenflettede slanger, hvis hoveder befandt sig i hver sin ende.
- Der er utallige sange, bøger, videospil og film, hvis ideer stod klart for forfatteren en morgen.

Det rationelle sind (hvis rationalitet, lad os ikke glemme det, stammer fra en drøm) kan drage flere konklusioner af dette:

1. Drømme gør opfinderen i stand til at syntetisere sine tanker på en anden måde end sindet. Konklusion: Der er en anden tankeproces i os, en, der lever af alt det, vi allerede har i os, og som kommer til udtryk i arketyper. Det ubevidste er i stand til at give os interessant information.
2. Drømme er en port til en anden dimension af viden. Konklusion: Drømme er et sprog, der bringer os hidtil utilgængelig information, måske fra andre virkeligheder eller andre bevidste væsener.

Disse to muligheder udelukker ikke hinanden. Men uanset om drømmen er en døråbning til vores indre eller en døråbning til en anden virkelighed, er der i begge tilfælde en konklusion, der står klart: Drømmenes sprog, det ubevidstes arketype, er en gyldig kilde til information og udvikling af vores bevidste problemer.

Vores personlige erfaring efter mere end 10 års meditation er, at meditation gør det muligt for det ubevidste at kommunikere bedre med det bevidste. Meditation træner det bevidste sind til bedre at lytte til den "lille stemme", som ellers kun udtrykker sig i drømmenes dyb. Vi har set styrken i at give mere plads til det ubevidste. Disse to aspekter arbejder sammen om bedre problemløsning, da de har adgang til meget forskellige vidensområder.

Min anden personlige konklusion er, at intern kommunikation skal trænes som en muskel. Christines første visioner var meget slørede og usikre, men efter mange års træning har hun udviklet en ny "sans", der er lige så håndgribelig som de sædvanlige 5 sanser. Uanset hvad forklaringen på denne informations oprindelse er, er det tusind gange blevet bevist, at den er lige så virkelig som den fra de andre sanser. Men uden træning er det meget svært at adskille illusion fra virkelighed. Det tager os trods alt mange år at mestre og stole på vores 5 fysiske sanser; disse 5 sanser oversætter simpelthen stimuli, der afspejler en virkelighed fra omverdenen, til et mønster i vores neuroner. Det, vi er kommet til at forstå, er, at der også er "subtile" sanser, som også oversætter konkrete eksterne realiteter, og som skal trænes.

Anvendelse i BioCoherence

Guidede meditationer kalder på forskellige arketyper for at bringe det ubevidste og det bevidste i spil i forbindelse med problemløsning og indre selvudvikling.

Ægte hjertekohærens

Dan Winter definerer ægte hjertekohærens ved forekomsten af en topkaskade i "harmonidelen" af analysen (dvs. en 2. ordens FFT). En FFT eller Fourier-transformation bruges til at udtrække frekvenser fra et signal. En 2. ordens FFT udtrækker de musikalsk harmoniske frekvenser. Denne matematiske operation giver os mulighed for at opdage, at et klart flertal af frekvenserne i et elektrokardiogram er i harmoni med hinanden; han kalder det "ægte hjertekohærens".

Denne top i "harmonidelen" kan findes ved flere frekvenser, og man har identificeret frekvensbånd i denne top, som svarer til grundlæggende følelser på optagelsestidspunktet.

Fraktalitet, kompression og fasekonjugation

"Et uendeligt antal tilstande er maksimalt komprimeret, når forholdet mellem frekvenserne er en potens af det gyldne snit."^(gsjournal²)

Kompression defineres her som den maksimale addition af frekvenser (som dermed har konstruktive - konjugerede - faser imellem sig), der opnås, hvis frekvenserne er multipla af d'or-tallet imellem dem.

Fraktalitet henviser til det faktum, at lignende strukturer kan findes på forskellige skalaer.

Elfie-målinger

Dan Winter opstillede igen en grundlæggende ligning for optimal "implosion" af energi; denne ligning forudsiger mange af de resonansfrekvenser, der findes i universet. Jeg har navngivet den tilsvarende størrelse "Elfie" som en hyldest til på den ene side elverne (og især elvernes arkitektur) og på den anden side til selve ligningen: $n \text{ Elfie} = L_p \times \text{Phin}$, dvs. Planck-længden (den mindste målbare længde i universet) ganget n gange med det gyldne snit.

På den måde er Elfie-skalaen ikke kun proportional med antallet af Elfies, men inkluderer også værdier, der er givet for hele Elfies. Disse heltalsværdier omfatter mange kendte størrelser som f.eks. længde, tid og frekvens. Se [Elfie.link](#)³ for mere information.

2. <https://www.gsjournal.net/Science-Journals/Research-Papers-Quantum-Theory/Particle-Physics/Download/4543>

3. <https://elfie.link>

3.1.

Moduloversigt

- BioCoherence **Scan** er et komplet analysemodule fra et rått elektrokardiogram til flere dusin af kort, grafer og klare måder at beregne og fortolke biomarkører.
- BioCoherence **Test** er en åben måde til at vurdere elementlister fra den live udvikling af pulsen (biofeedback).
- BioCoherence **Balance** gør det muligt at identificere ressourcer og vælge prioriteter, og opbygge PDF rapporter og tilpassede meditationer baseret på det.

Contenido

1.	Scan: biomarkører og teknisk analyse	17
1.1.	Tid graf modul	17
1.2.	Biomarkør modul	17
2.	Scan: organ kort	19
2.1.	Bemærkelsesværdige årsager: energi	19
2.2.	Bemærkelsesværdige årsager: entropi	19
2.3.	Bemærkelsesværdige systemer: koherens	20
2.4.	Hjerne	20
2.5.	Kredsløbsystem	21
2.6.	Fordøjelsessystem	21
2.7.	Membraner	21
2.8.	Rygvirvler	22
2.9.	Nervesystem	22
2.10.	Tænder	22
2.11.	Lokomotivsystem	23
2.12.	Respiratorisk system	23
2.13.	Kvinde genitalier	23
2.14.	Mandlige genitalier	24
3.	Scan: TCM meridianer, punkter og opskrifter	25
3.1.	Blære meridian med links	25
3.2.	Meridianer efter energi, med almindelige relaterede problemer	25
3.3.	TCM Punkter	26
3.4.	TCM Opskrifter, af koherens	26
4.	Scan: Energi modulerne	27
4.1.	Ayurveda: Doshæer og sub-doshæer	27
4.2.	Energi grafer: chakraer, planer, ur og momentum	27
4.3.	Energikurver: den mikroskopiske verden	28
5.	Scan: Sind modul	29
5.1.	Skygge modulet	29
5.2.	Skygge: drev	29
5.3.	Spirit modulet	30
6.	Balance moduler	31
6.1.	Ressourcer	31
6.2.	Prioriteter	31
6.3.	PDF Rapport	32
6.4.	Balance: den tilpassede meditation	32
7.	testsmodulerne	33
7.1.	En test liste efter en live evaluering	33
7.2.	En test liste	33
7.3.	Testlister	33
7.4.	test: biofeedback live evaluering	34
7.5.	tests: rediger	34
8.	De forstå moduler	35

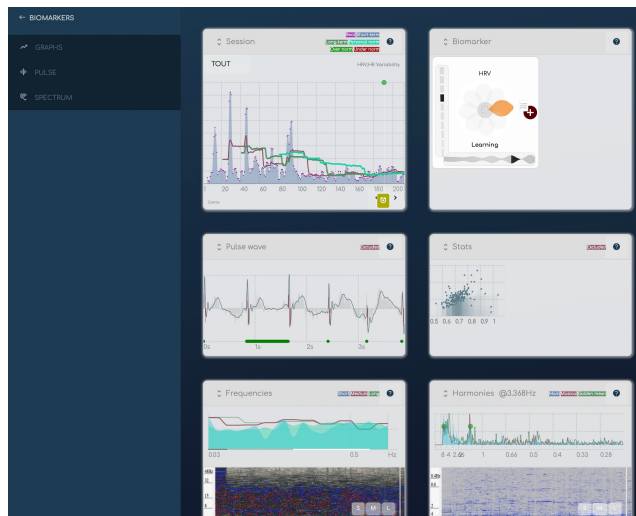
1. Scan: biomarkører og teknisk analyse

At arbejde med ECG-pulsen, biomarkører og spektrum.

BioCoherence opbygger sine biomarkører eksklusivt gennem matematiske operationer på den rå optagede ECG puls.

- I denne modul, kan du få adgang til den rå optagelse, deaktivere slag hvis der var målefejl (appen deaktiverer automatisk slag baseret på en automatisk kvalitetsdetekteringsalgoritme) og arbejde på temporal begivenheder.
- Du kan også se den 1.st, 2.nd og 3.rd ordens information om biomarkører, og gennemse dem efter kategori (der er mere end 1400 biomarkører...).

1.1. Tid graf modul



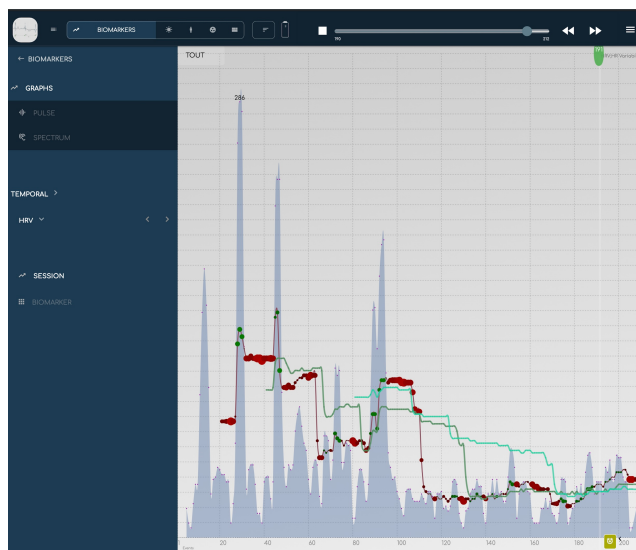
Se hvordan en biomarkør evoluerer over tid og sessioner.

BioCoherence arbejder med biomarkører på en meget dynamisk måde, vurderer deres udvikling over flere tidsrammer og sammenligner dem på tværs af tidsrammer.

- På denne graf vises hver biomarkør på slag-niveau, sammenlignet med de kortvarige, mellemlange og langvarige glidende gennemsnit.
- Du kan bevæge dig inde i optagelsen med den øverste rullefelt (tryk på Play knappen for at vise den; tryk på Stop knappen for at sammenligne på tværs af sessioner). Du kan også klikke i grafen for at flytte den nuværende markering.
- Du kan ændre zoom skalaen med den øverste venstre område vælger.
- Du kan arbejde med begivenheder på denne modul: begivenhederne vises nederst i grafen. For at oprette eller redigere en begivenhed, klik på knappen nederst i grafen.

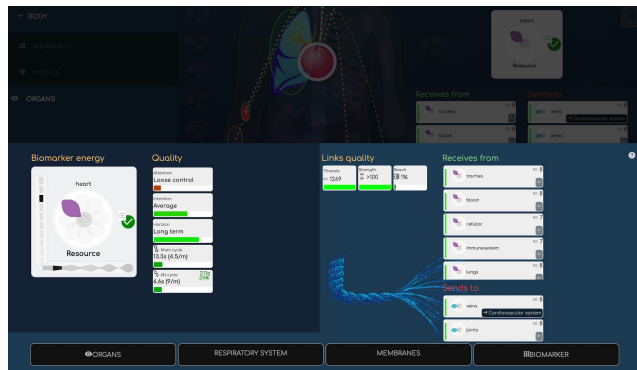
1.2. Biomarkør modul

Et dybt dyk ind i en biomarkers bredde af informationer.



Hver biomarkør er kun et klik væk fra Biomarkørpanelet, som viser alt hvad der er at vide om dens dynamik på en kompakt og praktisk måde.

- Den vigtigste information er biomarkøren **blomst**, som giver mulighed for øjeblikkeligt at vurdere dens hovedkvalitet. Blomsten er et kompositum af dens hovedenergi og dens hovedentropi (eller agitation). Der er 9 forskellige petaler, og hver er akkompagneret af et simpelt ord for at forstå dens hovedkvalitet.
- De dynamiske kvaliteter vises i den 2. kolonne. **Opmærksomhed, intention og horisont** er informationer om dens langtidsskema.
- Den hovedcyklus og alt cyklus vises også i denne kolonne. Dette er den hovedrespiration af biomarkøren. Cyklen vises i varighed (sekunder) og periode (per minut). Hvis cyklen matcher en integer Elfie værdi¹, som indikerer en resonans med god energimplosion, bliver linket til Elfie-tabellen fremhævet.
- Panelen **links** viser forhold til andre biomarkører (her, andre organer). Linkskvalitet er et kompositum af de hovedtråde (tråde er et antal af alle links, styrke på deres soliditet, og Reich angiver hvor mange biomarkører i familien er forbundet med denne én). Modtager fra, og sender til, opstillingen af de andre biomarkører. Et klik på den åbner deres informationsside.
- På bunden, giver kort- og grafikknapperne mulighed for direkte adgang til de relevante sider.



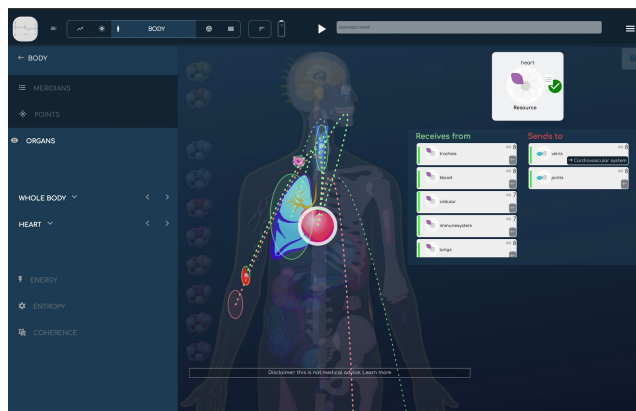
1. <https://elfie.link>

2. Scan: organ kort

Dutzinde af eksklusive, smukt tegnede kropkort er blevet designede til BioCoherence så navigation og links bliver lette at se og forstå.

Med næsten 500 biomarkører dedikeret til organsystemer, organer eller organdele, følte vi at vi måtte kortlægge alt for at forstå det.

- A dosis smukt udformede kort til et generelt overblik eller zoom ind på Tænder, Vertebrae, Nerver, Hjerne...
- En af de kernefunktioner i BioCoherence er den 3.ordens information **Links mellem biomarkører**. Hvert kort fremhæver smukt linkene mellem organer på kortet, eller links i én klik til organer på andre kort.
- De visuelle links og de to kolonner giver mulighed for øjeblikkelig vurdering af de energetiske relationer til andre organer (modtager fra, eller sender til)
- Vælgeren til venstre lister alle organer på dette kort, sammen med deres biomarkørvurdering.



Åbning af modulet

Ved at klikke på "Krop" og derefter "organer", åbner modulet med et generelt overblik over kroppen, inklusive et udvalg af de vigtigste biomarkører: hovedorganer, hovedhormoner, hoveddele af locomotionssystemet, blod, celler.

Hvis du klikker på et organ, eller vælger det fra menulisten, er det omgivet af en hvid halo, og de hovedlinks til de andre organer på denne skærm vises (de er omkredset i rødt hvis de modtager energi fra det valgte organ, og i grøn hvis de sender energi til det).

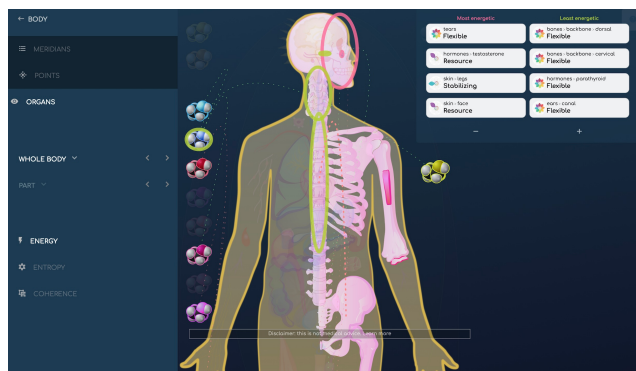
Hvis der findes links til organer der er detaljeret på andre kropskort, bliver de identificeret ved navnet på det kort på en sort baggrund; klik på det for at åbne det detaljerede kort.

2.1. Bemærkelsesværdige årsager: energi

Straks fremhæver de mest og mindst energetiske dele

Hver krop kort har et Energi, Entropi og Koherens underpunkt, nedenfor kortmenuen og delemenuen.

- **Energi** modulet viser de mindst og mest energiske elementer af dette kort, sammen med deres forhold links. Du kan ændre nummeret af elementer ved at klikke på + og - knapperne under listen, og klikke på enhver biomarkør for at vise dens information.



2.2. Bemærkelsesværdige årsager: entropi

Straks fremhæver de mest ophidsede og de mest statiske dele

Hver kropskort har et Energi, Entropi og Koherens under-menu, nedenfor kort-menuen og dele-menuen.

- **Entropi** modulet viser de mest agiterede og mest statisk elementer af dette kort, sammen med deres forhold links. Du kan ændre antallet af elementer ved at klikke på og - knapperne under listen, og klikke på enhver biomarkør for at vise dens information.



2.3. Bemærkelsesværdige systemer: koherens

Fremhæver straks de systemer, der resonerer sammen mest.

Hver kropskort har et Energi, Entropi og Koherens under-menu, nedenfor kort-menuen og dele-menuen.

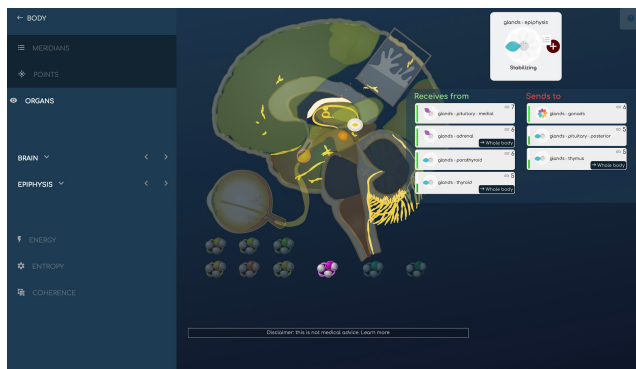
- Modulet **Koherens** viser de systemer, der er mest i fase sammen, der resonerer sammen, sammen med deres forhold links. Du kan klikke på enhver biomarkør for at vise dens information.



2.4. Hjerne

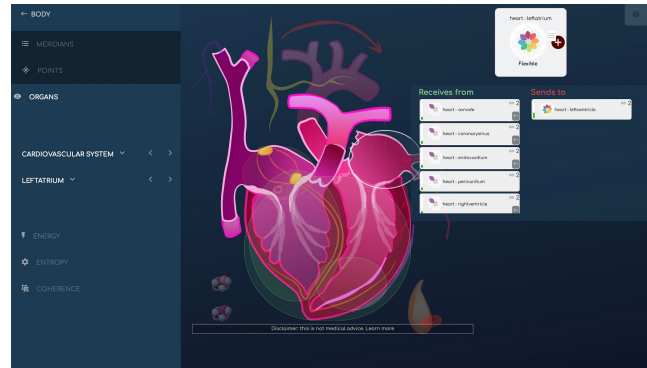
De link mellem hjernens komponenter, og de hormoner, der er forbundet til dem, er grafisk fremhævet her; det's også muligt at vise de mest bemærkelsesværdige fra et energetisk synspunkt, de mere eller mindre agiterede, og dem i koherens

Vi've også tilføjet øjnene og deres komponenter til dette kort.



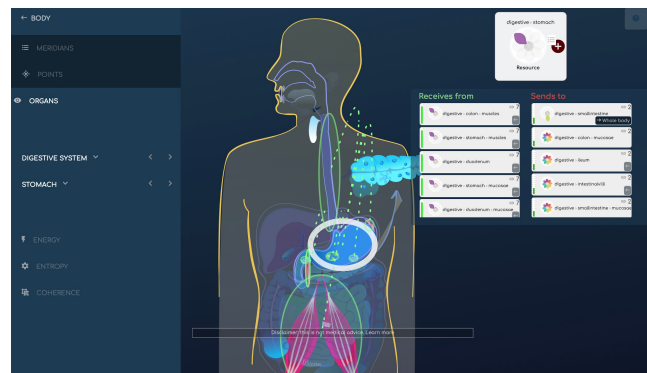
2.5. Kredsløbsystem

Links mellem elementerne i det kardiovaskulære system er grafisk fremhævet her; det er også muligt at vise de mest bemærkelsesværdige fra et energetisk synspunkt, de mest eller mindst agiterede, og dem i koherens. Det anatomiske tavle over det kardiovaskulære system inkluderer hjertet og alle dets detaljer, blodsystemet (vener, arterier... inklusive cirkulation og sympatisk kontrol af blodtrykket), blod (plasma, hæmoglobin) og hormoner (adrenalin og noradrenalin).



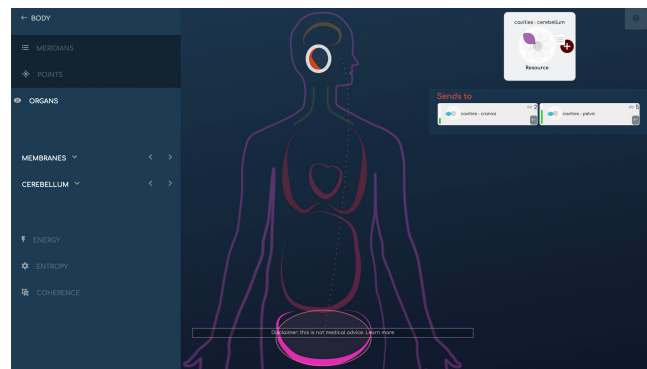
2.6. Fordøjelsessystem

Links mellem elementerne i fordøjelsessystemet, fra mund til anus, bliver grafisk fremhævet her; det's også muligt at vise de mest bemærkelsesværdige fra et energisk synspunkt, de mest eller mindst agiterede, og dem i koherens.



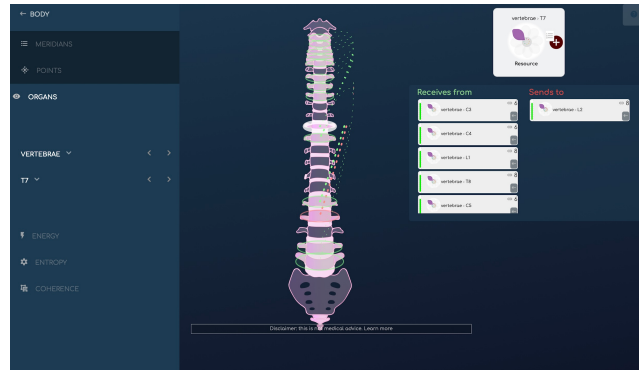
2.7. Membraner

Den anatomiske layout af membraner er lidt usædvanlig; vi ville fremhæve resonanslinkene mellem disse store hulrum. De er faktisk en vigtig del af den overordnede balance fra et holistisk synspunkt, som normalt bliver lidet taget i betragtning. De giver et semi-globalt læseniveau og er også vigtige fra et prologisk tolkningssynspunkt.



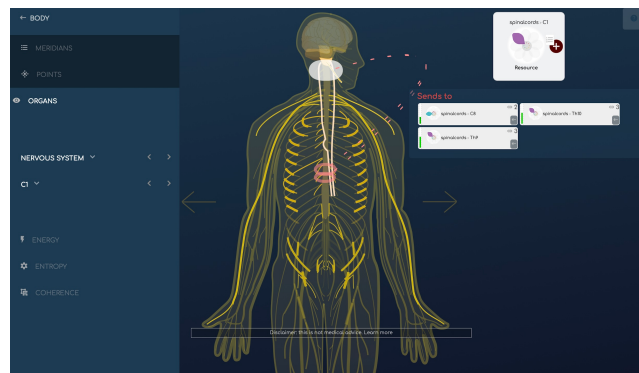
2.8. Rygvirvler

Links mellem hvirvlerne er grafisk fremhævet her; det's også muligt at vise de mest bemærkelsesværdige fra et energetisk synspunkt, dem der er mere eller mindre ophædede, og dem der er koherente.



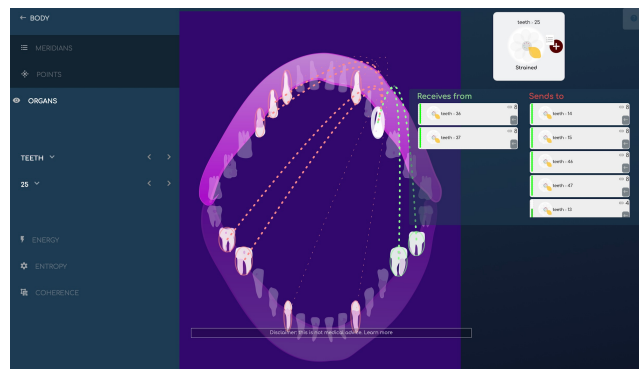
2.9. Nervesystem

Links mellem elementerne i nervesystemet fremhæves grafisk her; det er også muligt at vise de mest bemærkelsesværdige fra et energetisk synspunkt, de mere eller mindre agiterede, og dem i koherens. Nervesystemet inkluderer hjernen og detaljer om hjernen, nervene og detaljer om visse nerver, og nervene forbundet til rygmarven.



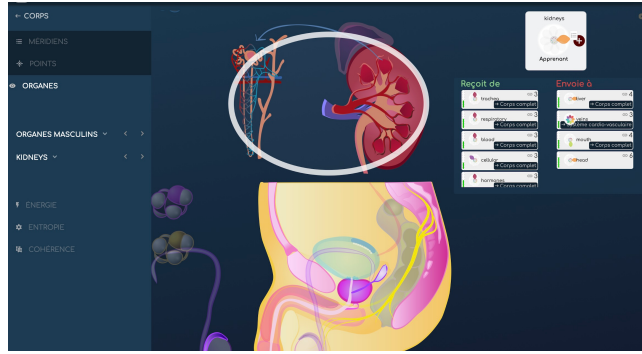
2.10. Tænder

Links mellem tænder og gummer er grafisk fremhævet her; det's også muligt at vise de mest energisk signifikante tænder, de der er mere eller mindre agiterede, og de der er i kohærens.



2.14. Mandlige genitalier

Links mellem elementerne af det mandlige genitalier og relaterede organer (nyrer, blære, sakrum, binyrene, og relaterede hormoner såsom testosteron, dhea, hgh...) er grafisk fremhævet her; det's også muligt at vise de mest bemærkelsesværdige fra et energetisk synspunkt, de mere eller mindre opjagede, og de i koherens



3. Scan: TCM meridianer, punkter og opskrifter

Meridianer, akupunkturpunkter, TCM opskrifter

Mestre i den energetiske evaluering siden 5000 år, den Traditionelle Kinesiske Medicin er udstrakt brugt og dramatisk udvidet i BioCoherence.

- **Meridianer** vises i 12 eller 20 dele. De hovedenergikanaler i kroppen, grafen viser deres forbindelser og kortet, deres veje.
- **Akupunkturpunkter** er dynamisk animeret på kortet. Mere end 350 punkter beregnes af vores eksklusive algoritme.
- **Opskrifter** er traditionelle måder at håndtere energetiske problemer, den TCM måde. Vi har dramatisk udvidet dette princip til at beregne energien, entropi og koherens af hundredvis af opskrifter for at vurdere deres nytte i den nuværende evaluering, og dermed indikere deres mulige behov - en form for vurdering, der kunne hjælpe med at diagnosticere problemer.



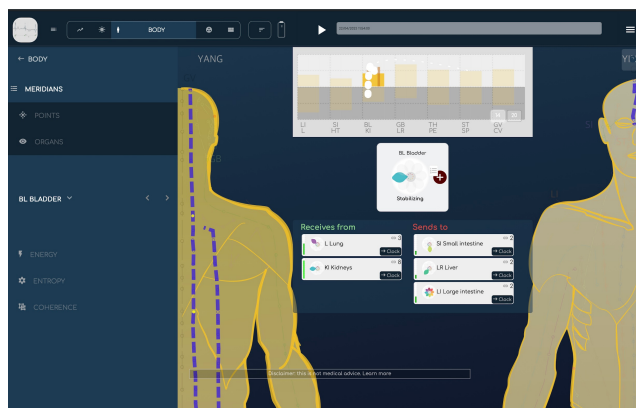
3.1. Blære meridian med links

Klik på en meridian for at få information.

Når du klikker på en meridian, vil grafen vise dens relationer til andre meridianer, biomarkøren vil vise dens hovedkvalitet, og links til andre meridianer (modtager fra, eller sender til) vil blive vist.

- Du kan browsere meridianerne med menuen til venstre, og vise alle meridianer med deres biomarkør i drop-down menuen.

3.2. Meridianer efter energi, med almindelige relaterede problemer



Identificer de energetiske bedste og værste, med et klik

Energimenuen viser direkte de mest energiske og mindst energiske meridianer, hvilket kan hjælpe med at identificere problemer.

- Når du klikker på en meridian, vises yderligere konklusioner, der er relateret til den nuværende energetiske tilstand af meridianen, og de mulige tilstande når de er forbundet med andre meridianers tilstand, i henhold til TCM-viden.



3.3. TCM Punkter

Mere end 350 punkter beregnes

Modulet **Points** viser TCM akupunkturpunkter.

- Klik på en meridian for at vise alle punkter i denne meridian, sammen med traditionel information om vigtige punkter i meridianen.
- Klik på et punkt for at se dets biomarkør.

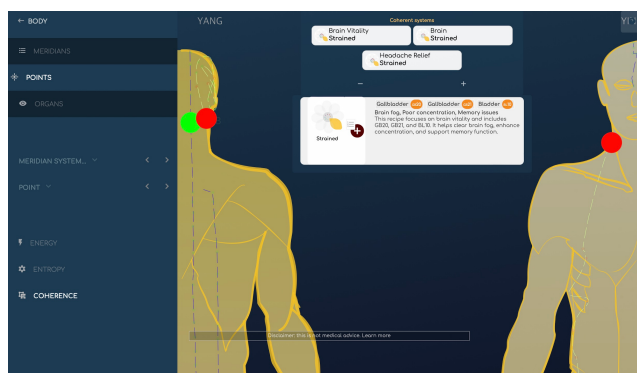


3.4. TCM Opskrifter, af koherens

Koherens er en måde at se opskrifter der er helt i faze.

Vi har reverse-engineered akupunkturopskrifterne for at gøre dem til et vurderingsværktøj.

- Ved at klikke på **Koherens**, opskrifter hvis punkter er helt i fase sammen (det betyder, at dens punkter resonerer sammen og bevæger sig sammen som et enkelt punkt) vises. Klik på en opskrift for at se punkterne på kortet og få vejledning. Når den tilføjes til prioriteterne, vil opskriften blive brugt i Balance-delen for at hjælpe med at genbalancere dens effekter.



4. Scan: Energi modulerne

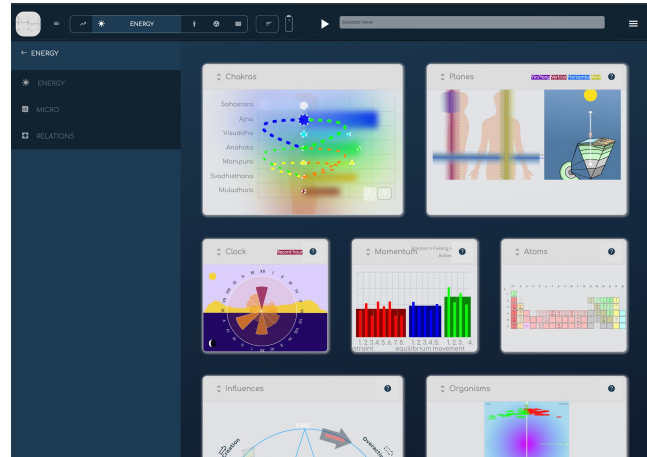
Alt hvad du behøver for at vurdere på det energetiske niveau

Disse grafer giver mulighed for at se informationer som chakraer, ur, planer, momentum, atomer, påvirkninger og organismer.

4.1. Ayurveda: Doshaer og sub-doshaer

Den Ayurvediske vurdering af kroppens energi.

Ayurvediske praktiserende læger ved, hvordan man arbejder med kroppens energetiske konstitution. De tre hovedkonstitutioner er Vata, Pitta og Kapha, hver med 5 under-doshaer. I en BioCoherence-analyse kan du se hver dosha og under-dosha bevæge sig, når du flytter tidsmarkøren, fordi alle disse systemer er dynamiske. Den måde, de bevæger sig på, er en del af vores vurdering.

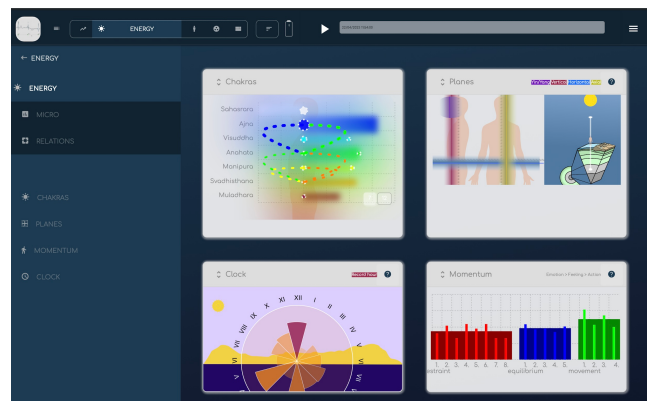
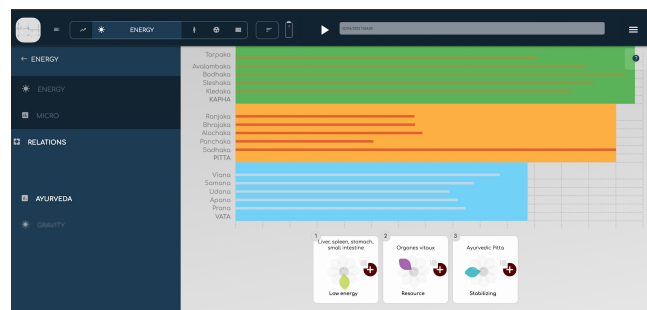


4.2. Energi grafer: chakraer, planer, ur og momentum

De primære energetiske motorer i kroppen

Disse 4 grafer muliggør en ordentlig energetisk evaluering af de vigtigste funktioner i kroppen.

- **Chakraer** kan vise de 7 eller 12 chakras, deres globale aura, og forholdet mellem dem.
- **Planer** fremhæver de vigtigste energetiske ligevægte i kroppen: de horisontale, vertikale og aksiale planer vises, sammen med linket til det dybe jordfelt og det himmelske felt.
- **Ur** viser forholdet mellem meridianerne og deres vigtigste funktionstimer, sammen med optagelsestiden, for at vurdere den korrekte tidsjustering.
- **Momentum** er en graf vi har skabt for at vise de 3 vigtigste trægheder og deres komponenter: de som hæmmer, de som ligevægter og de som hjælper til bevægelser.



4.3. Energikurver: den mikroskopiske verden

Meget lille, men meget nyttig

Disse 3 grafer viser de mikroelementer der kan påvirke det globale system.

- **Atomer** viser det periodiske system og resonanserne mellem elementer.
- **Indflydelser** er TCM 5 elements stjerne, med deres respektive konstruktive eller destruktive indflydelser beregnet og fremhævet gennem pile.
- **Organismer** er evalueringen af 200 eksterne organismer (virus, bakterier, svampe og parasitter) og deres respektive forbindelser.

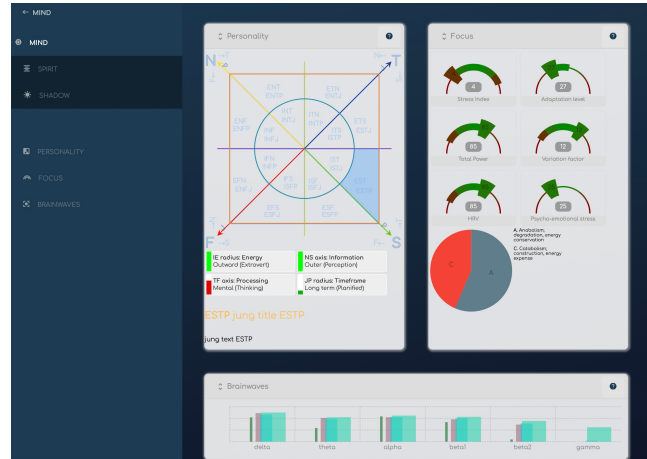


5. Scan: Sind modul

Sind, Ånd og Skygge er fokus for dette modul.

Med mere end 300 biomarkører dedikeret til ting der sker i vores tankegang, har Mind modulet til formål at organisere deres aflæsninger på en bekvem måde.

- **Mind** adresserer personlighed, fokus og hjernebølger.
- **Personlighed** rekonstruerer Jung's personlighedstype (senere populariseret som Myers Briggs eller MBTI). Til denne skærm har vi skabt en unik, ny logisk visualisering baseret på 4 akse vi har opdaget i personlighedsvurderingen.
- **Fokus** grupperer traditionelle HRV akademiske indikatorer samt en konstruktiv/destruktiv balance visualisator.
- **Hjernebølger?** Ja, vores sensor kan læse op til 64Hz af hele kroppens elektricitet, ikke bare hjertets. Vi har designet en algoritme til at udtrække de specifikke informationer fra hjernebølgerne for at få en fornemmelse af mindets mest aktive fokus tilstande.



5.1. Skygge modulet

Følelser, sår og drifter

Skyggen, eller det subbevidste, er en integreret del af vores adfærd.

- **Følelser** udtrækkes fra de hovedrøkninger af EKG.
- **Wund** relaterer sig til TCM påvirkninger. De 5 wund (eller 8 wund som det oprindeligt var designet) har haft en populær brug i de sidste 30 år. I BioCoherence, udvider vi deres mening ved at tilføje deres respektive konstruktive eller destruktive forhold.
- **Drifter** er en helt ny måde at organisere følelser på en meningsfuld måde.



5.2. Skygge: drev

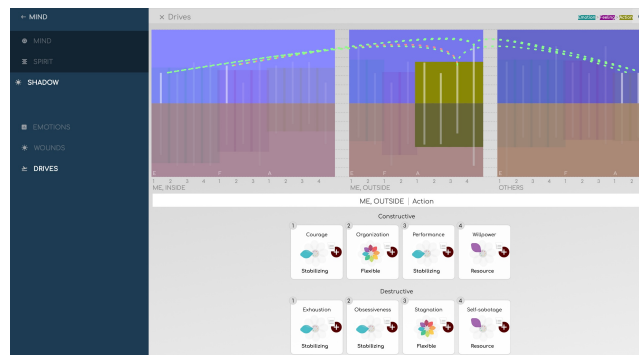
En ny måde at organisere følelser på.

Drives er en helt ny måde at organisere følelser på en meningsfuld måde i 28 grupper af modsætninger, pænt arrangeret i 3 hovedgrupper (ME Inde, ME Ude og ANDRE), hver bestående af 3 undergrupper (Følelse, Fornemmelse, Handling).

- **ME Inde** tager sig af de følelser, der vedrører min indre funktion.
- **ME Ude** tager sig af de følelser, der relaterer mine indre arbejder til hvad der sker omkring mig.
- **ANDRE** tager sig af de følelser, der relaterer til andre mennesker omkring mig.
- **Følelse** er roden til deres oprindelse.
- **Fornemmelse** er hvordan jeg fortolker dem.
- **Handling** er hvad jeg gør med dem.

Ved at bruge meditationsteknikker såsom det observante sind, kan man bedre forstå artikulationen og implikationerne af opstående følelser.

Resonanslinkene mellem følelser, der viser sig når du klikker på grafen, kan også hjælpe med at forstå hvad der sker.



5.3. Spirit modulet

Musik og skala justering

Ånden er den del af os der overskrider rum og tid.

- **Musik** er en aflæsning af de primære frekvenser i ECG kombineret med masser af musikteori. Skala og hovedakkorder beregnes på et kortvarigt (én takts), mellemlangt (2 takts), langvarigt (3 takts) og meget langvarigt (4 takts). Disse bruges derefter når der bygges en tilpasset meditation, for at musik tage dig fra hvor du er, til hvor du kunne gå.
- **Justering** er baseret på Dan Winters ligning og Elfie heltal².
- in Justering, **Fokuseret kohærens** er, som Dan siger, den "Virkelige Hjertekohærens": den beregner mængden af fokus gennem cepstrum (2.ordens FFT) eller, i enkle ord, den beregner hvor meget de globale frekvenser fundet i ECG er **musikalsk** i tone og i fase sammen.
- in Justering, **Virkelig Hjertekohærens** beregner det samme men for frekvenser der er multiplere af det gyldne snit mellem dem.
- in Justering, **Indlejret implosion %** viser den del af frekvenserne der er nære heltal Elfie værdier, dermed indikerende mængden af energi der i øjeblikket er indlejret i den bedste energimplosion cyklus.



2. <https://elfie.link>

6. Balance moduler

Prioriteter, ressourcer, rapporter og guidede meditationer.

Balance er en samling af værktøjer til at hjælpe dig med at opnå maksimal kvalitet.

- **Prioriteter** er det som skal have opmærksomhed nu.
- **Ressourcer** er det som du kan pålideligt bygge på.
- **rapport** er et PDF-dokument for alle vigtige dele af analysen.
- **Balance** er genereringen af guidede meditationer, frekvenser, binaurale slag og genvurderinger, alle optimeret i real-time via biofeedback.

6.1. Ressourcer

Kraften af ressourcer: de er allerede dine og de er allerede tilgængelige for at hjælpe

Ressourcer er de vigtigste søjler, de primære energidrivere for denne optagelse. Balance-modulet er hovedsageligt bygget op på ressourcer for at vælge relevante frekvenser, binaurale beats og lydvejledningsstemmer for at opbygge energi, inden arbejdet med prioriteterne påbegyndes.

- Ressourcer identificeres automatisk, men kan ændres, hvis det er nødvendigt. For at ændre en ressource, klik på den og vælg en anden af de vigtigste ressourcer for denne kategori.

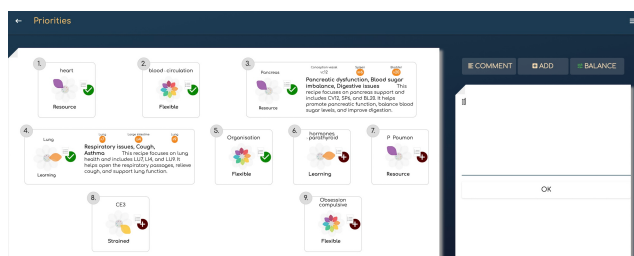
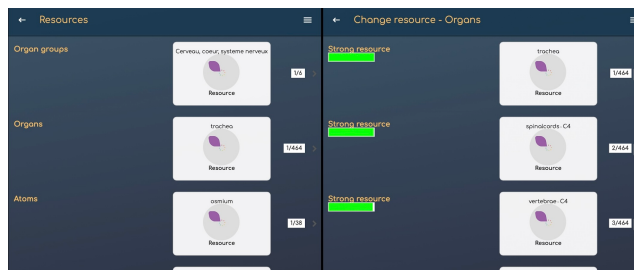


6.2. Prioriteter

Hvad kræver opmærksomhed.

Prioriteter er biomarkører der har brug for opmærksomhed. De beregnes automatisk efter en optagelse, men det er helt op til brugeren at tilføje eller fjerne prioriteter.

- Prioriteter kan tilføjes eller fjernes fra hvilken som helst biomarkørblomst, på hvilken som helst side, eller i Prioriteter modulet. Bare klik på knappen!
- Under prioriteter, giver **Kommentar** knappen brugeren mulighed for at tilføje valgfri tekst.



- **Tilføj** knappen vises en liste over relevante yderligere prioriteter at vælge imellem, hvis nødvendigt, fra Organer, Akupunkturmeridianer, Meridianpunkter, TCM Opskrifter, Chakraer, Drives, Momentum...

6.3. PDF Rapport

1-klik eksport af alle vigtige oplysninger som en PDF

PDF-rapporten kan udskrives, gemmes eller sendes med 1 klik. Den indeholder:

- Klientinformation
- Optagelsesinformation
- Annotationer
- Dele og sessioner
- Ressourcer og prioriteter
- Hovedmeridianer (energi, entropi, kohærens)
- Hovedorganer (energi, entropi, kohærens)
- Hoved MTC opskrifter (energi, entropi, kohærens)

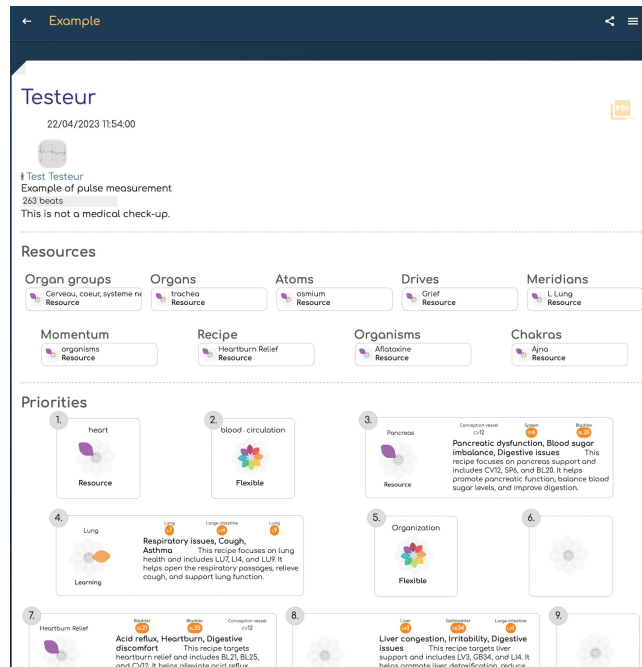
Den kan personliggøres af Pro.

6.4. Balance: den tilpassede meditation

Nu er det tid til at handle.

Balance er et helt modul til at skabe tilpassede meditationer.

- Brugeren kan vælge en stil, han relaterer til, som vil vælge kort fra forskellige guidede meditationsserier.
- Det er anbefalet at genoverveje hver dag, før en ny meditation: alle biomarkører vil udvikle sig og meditationen vil blive beregnet i overensstemmelse hermed.
- De primære parametre (dykningshastighed, personlighed, musik, ressourcer) beregnes ud fra de primære funktioner af de beregnede biomarkører. Musikken genereres ud fra den nuværende melodi og akkorder fra brugeren, til den ønskede tilstand, i en harmonisk progression.
- Prioriteterne vises som planeter der omkredser brugeren, længere og længere væk fordi det er sådan, meditationen vil nærme sig dem, yderligere og yderligere ind i dyb rum.
- Et yderligere værktøj er **tid Cristal smelter** som vil blive beregnet omkring heltal tid-Elfie værdier og mindes brugeren på rette tidspunkter om beslutningerne og det arbejde der er i gang. Tænk på det som mikro-meditationer, 5 til 30 sekunder for sig selv ved bestemte tidspunkter. Målet er at opløse tid Cristal af vaner og omprogrammere hele systemet på 21 dage.

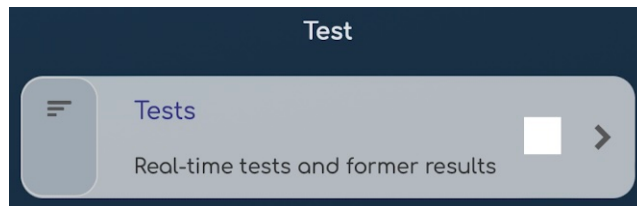


7. testsmodulerne

Brug af biofeedback til at få real-time vurdering af enhver information

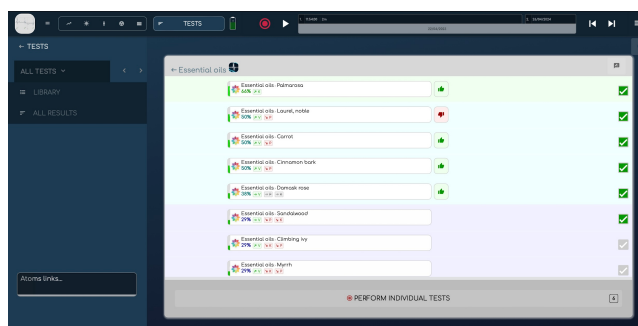
Tests er en unik måde at vurdere enhver form for information.

- Ved at bruge biofeedback i realtid, er tests individuelle vurderinger af kompatibilitet.
- Tests består af lister over elementer. Hvert element kan forudberegnes fra en scanning, og testes live mod kroppens reaktion på dens information.



7.1. En test liste efter en live evaluering

Efter den live evaluering, kan du se de 2 informationer vist på listen: den automatiske for-evaluering (hvis der er nogen), baseret på biomarkørens behov og den angivne effekt af hver listeelement; og biofeedback responsen, et tommelfinger op eller ned, baseret på den somatiske respons fra organismen under testen.

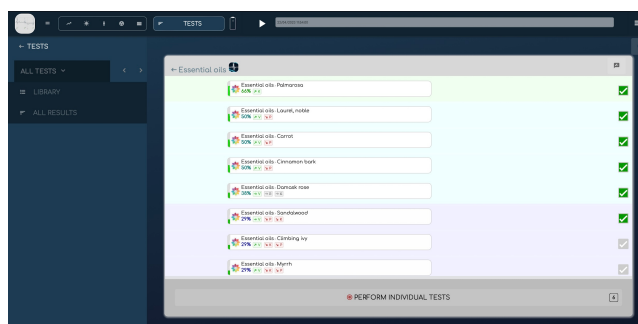


7.2. En test liste

En test består af en liste af elementer der skal evalueres og ordnes.

7.3. Testlister

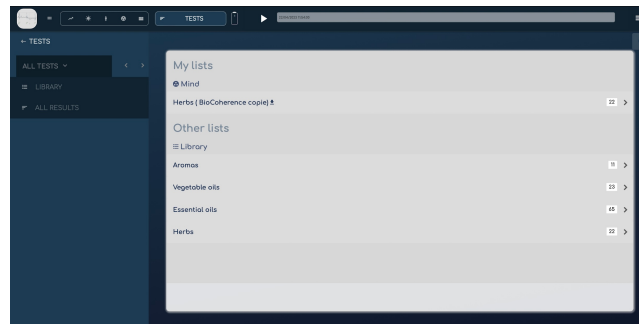
Søge, redigere, dele og vælge tests



Tests er en åben platform hvor skabere kan oprette og dele deres lister. Du kan søgning efter nøgleord, skaber eller testtype, duplikere eksisterende tests for at bygge din egen, og vise alle testede resultater for den nuværende rapport med et klik.

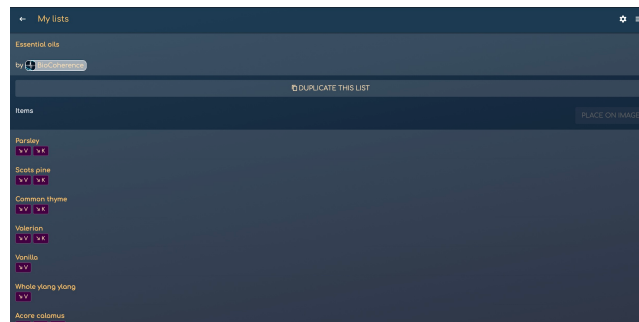
7.4. test: biofeedback live evaluering

Når der startes en test, sendes informationer til brugeren og det somatiske svar evalueres.



7.5. tests: rediger

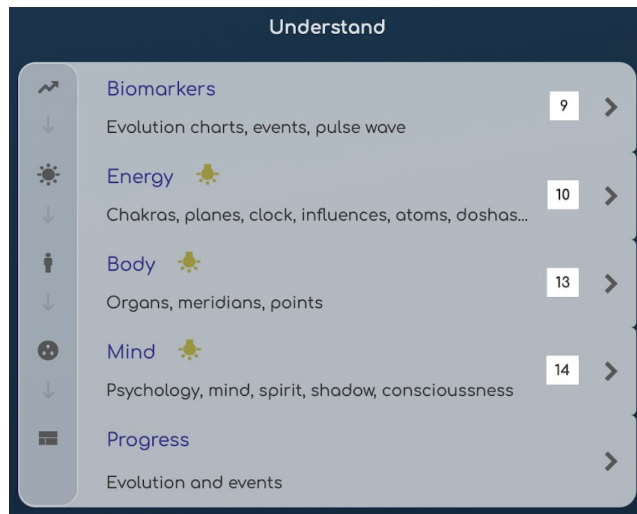
Enhver pro kan oprette tests til sig selv eller til at dele senere. For hvert element i testlisten, kan man specificere handlingen på biomarkører for automatisk evaluering, eller tilføje enhver form for information til biofeedback evaluering.



8. De forstå moduler

Scanresultater vises under denne modul.

Tjek de forskellige Scan kapitler for at få flere detaljer.



3.2.

Detaljeret vejledning

Denne manual dækker alle aspekter af applikationen, og hvert kapitel er illustreret med skærbilleder og videoer for at hjælpe dig med at forstå hvordan man bedst bruger den.

For at tilgå videoerne og forumet per kapitel, gå til biocoherence.net/tutorials

Contenido

9. Introduktion	39
9.1. Oversigt over softwaregrænsefladen	39
9.2. Åbn en rapport	40
9.3. Optagelse med sensor	42
9.4. Kunde styring	42
9.5. Multi-delers rapport	44
10. Forstå: Biomarkører	45
10.1. Biomarkører i detalje	45
10.2. Pulsbølge redigering og verifikation (rå optagelse)	47
10.3. Overvågning af biomarkør ændringer i løbet af sessioner	48
10.4. Frekvens og Harmonisk Analyse	48
10.5. Den kausale kæde	49
10.6. Prævalens	52
10.7. Polygraph	52
11. Forstå: Energi	53
11.1. Atomer	53
11.2. Ayurvedisk Energivurdering	53
11.3. Chakra Visualisering	54
11.4. Påvirkninger	55
11.5. Momentum	55
12. Forstå: Krop	57
12.1. TCM meridianer	57
12.2. Organ kort	58
12.3. Akupunkturpunkter	59
13. Forstå: Sind	61
13.1. Justering	61
13.2. Hjernebølger	61
13.3. Drev	62
13.4. Følelser	64
13.5. Fokus	64
13.6. Musik	65
13.7. De 2016 personlighedstyper	65
13.8. De 5 sår	67
14. Test	68
14.1. Testlister	68
15. AI i BioCoherence	71
15.1. AI Hjælpere	71
16. Balance	74
16.1. Prioriteter	74
16.2. Ressourcer	75
16.3. PDF rapport	76
16.4. Balance: Meditationer, lyde og værktøjer	77
16.5. Harmonisk Forstærkning	80

9. Introduktion

Generel præsentation af denne vejledning

I denne introduktion, vil vi se på hvordan man åbner en eksisterende rapport, importerer et EKG fra Sundhed, eller opretter en ny rapport ved at optage med Sensor. Vi'll også tage et kig på programmets indledende koncepter.

9.1. Oversigt over softwaregrænsefladen

Grænseflade på computer, tablet eller smartphone; fora, kontekstafhængig manualadgang og kontekstafhængige hjælpeanmodninger.

Når du åbner en rapport efter optagelse, er der flere grænsefladeelementer til at hjælpe dig med at navigere og analysere dataene effektivt.

Øverst i grænsefladen finder du en menu der giver adgang til de forskellige dele af rapporten. En navigationslinje giver dig mulighed for at bevæge dig rundt i optagelsen. Hovedmenuen er opdelt i flere sektioner. For at vende tilbage til resuméet, skal du bare klikke på den tilgængelige knap.

Hovedsektionerne omfatter :

- **Scanninganalyse:** Denne sektion viser forskellige skærme, som krop, energi, biomarkør teknisk analyse, sind analyse, og progressioner gennem optagelserne.
- **Tests:** I øjeblikket har denne sektion kun én post, men flere muligheder vil blive tilføjet. Den inkluderer listetests, frekvenstests og live tests.
- **Sensorforbindelser:** Ved at klikke på batteriikonet, kan du initiere en Bluetooth forbindelse til sensorerne og starte en optagelse direkte.



biocoherence.net/n82.92

Navigation i optagelsen kan være øverst på skærmen på en computer eller nederst på en telefon, afhængigt af skærmstørrelse. Du kan navigere mellem sektioner som før session, efter session, og se alle handlinger udført for en specifik klient. Grænsefladen giver også mulighed for beat-for-beat navigation for detaljeret real-time analyse.

Rapportlagring inkluderer kundeinformation, rapportens titel, og muligheden for at gemme rapporten i skyen. Dette muliggør adgang fra flere enheder og sikrer data væk fra den lokale computer. Du kan også ændre klienten hvis en optagelse er blevet startet på den forkerte profil.

Den generelle menu øverst i grænsefladen tilbyder flere muligheder:

- Returner til forsiden
- Rediger testlister
- Kontaktstyring
- Modifikation af kontaktoplysninger og konto
- Ændre abonnement
- Opdater applikationsdata
- Brug Elfie regnemaskinen

Nyheder og en hjælpeanmodning mulighed er tilgængelige fra alle sider. I tilfælde af et teknisk problem, kan du indtaste "Meninger og forslag", stille et spørgsmål, eller sende en supportanmodning med et screenshot.

Hjælpeanmodninger, fora og online manualer

Applikationen tilbyder også kontekstsensitiv hjælp og integrerede videoer for hver post. Når du ser spørgsmålstegnet symbol (?), vil det åbne en lille hjælp tekst. Denne tekst kan give dig adgang til en video og manuellsiden direkte. Det vil også give dig adgang til et samarbejdsforum. Hvis du ikke har et specifikt problem men gerne vil kommentere på dette punkt, eller hvis du har brug for afklaring

mellem praktikere, kan du åbne dette samarbejdsforum ved at klikke på spørgsmålstegnene. Du kan så stille spørgsmål eller besvare andre brugeres spørgsmål der.

Brug af "Meninger og forslag" funktionen til at anmode om hjælp

"Underretninger & Forslag" funktionen er tilgængelig fra enhver side i din grænseflade og muliggør dig at anmode om hjælp i tilfælde af et teknisk problem. Her er hvordan du bruger det effektivt:

1. Åbn menuen i det øverste højre hjørne og få adgang til menuen "Underretninger og forslag".
2. Indtast dit spørgsmål eller beskriv dit problem i den tilgængelige tekstboks.
3. Systemet vil søge i vidensbasen efter et svar på dit spørgsmål.
4. Hvis et svar bliver fundet, vil det blive vist direkte på skærmen.
5. Hvis der ikke bliver fundet noget svar, kan du sende en supportanmodning.

For at sende en supportanmodning, har du to muligheder:

- **Tag et screenshot:** Dette hjælper dig med bedre at forstå hvad der sker på din skærm. Når du har taget screenshotet, kan du bruge værktøjerne øverst til at annotere billedet. For eksempel, kan du cirkle problemområdet og tilføje en forklarende tale bobbel.
- **Skriv en billet:** Du kan også simpelthen skrive en beskrivelse af dit problem uden at tage et screenshot.

Når du har annoteret screenshotet eller skrevet din beskrivelse :

- Klik på "Valider".
- Tilføj lidt tekst hvis nødvendigt for at afklare din oprindelige søgning.
- Send beskeden.

Din anmodning vil blive konverteret til en billet med alle de nødvendige oplysninger så supportteamet kan hjælpe dig så godt som muligt. Brug altid "Meninger og forslag" menuen når du har specifikke spørgsmål eller problemer at løse.

Følg op på dine anmodninger

Stadig i "Meninger og forslag" menuen, åbner en 3.0 knap "Spor dine billetter" alle dine aktuelle anmodninger, så du kan tilføje information eller se vores svar.

Tilbage til forside

Når du vender tilbage til forsiden, vises den sidste åbne rapport for hurtig adgang. Grænsefladen inkluderer vigtige sektioner for scanninganalyse, live testing, scanningskonklusion, og muligheden for at dele resultater.

Grænsefladen er designet til at tilbyde flydende navigation og omfattende værktøjer til at analysere og dele optagelser.

9.2. Åbn en rapport

Opdag appen

Introduktion

Velkommen til dette kapitel dedikeret til BioCoherence-applikationen, tilgængelig på smartphone og computer. Denne applikation giver dig mulighed for at spore og analysere forskellige biomarkører for en bedre balance mellem sind og krop.

Startskærm

Når du åbner applikationen, finder du dig selv på startskærmen. Du har to valgmuligheder: starte en ny måling eller åbne en eksempel rapport. Vi anbefaler, at du starter med at åbne eksempel rapporten for at blive fortrolig med grænsefladen. Denne startskærm har også en menu, der giver en række oplysninger, som vi vil beskrive i detaljer i de følgende sektioner.



Eksempelrapport

Når du har åbnet eksempel rapporten, vil du bemærke, at beregningen starter straks. Dette tager dig til hovedmenuen, som er opdelt i følgende sektioner:

- Afbalancering: Prioriteter, Ressourcer
- Rapporter: PDF-rapport, Guidede meditationer
- Detaljeret analyse: Biomarkører, Energi, Krop, Sind, Fremgang

Computerapplikation

Computerapplikationen tilbyder en lignende oplevelse som den på en smartphone, med mere plads til at navigere. Menus og sektioner er identiske, men visningen er optimeret til større skærme.

Navigering

Uanset om du bruger en smartphone eller en computer, er et navigationsområde tilgængeligt øverst eller nederst på skærmen. Dette gør det muligt for dig at bevæge dig fra en sektion til en anden, især for at sammenligne optagelser før og efter træning, eller for at spore daglig fremgang over en given periode. For at gå tilbage eller frem i optagelsen skal du blot trykke på "play" og navigere gennem optagelsen.

Biomarkeranalyse

Når du vælger "Biomarkører"-sektionen, kan du undersøge data såsom pulsølgen. Denne analyse kan variere afhængigt af markertype og optagelsestidspunkt. På computeren er der yderligere faner som "Tests" og "Fremgang" tilgængelige, som tilbyder et detaljeret overblik over udviklingen af biomarkører over sessionerne.

Konklusion

Dette kapitel har givet en generel oversigt over BioCoherence-applikationen. For en dybdegående forståelse af hver skærm og funktion, inviterer vi dig til at konsultere de supplerende videoer.

9.3. Optagelse med sensor

Flere metoder er tilgængelige for at lave en ren EKG-optagelse med BioCoherence. Du kan starte fra hjemmesiden ved at initiere en ny optagelse og klikke på "optag". En anden mulighed er at starte fra "fremskridt" siden eller ved at klikke på batteri-ikonet øverst på skærmen. Disse handlinger vil automatisk forbinde applikationen til Bluetooth-sensoren og starte optagelsen.

Under optagelsen vises en animation for at illustrere de forventede resultater. Denne animation opdateres dog ikke i real-time med målingerne. Dataene beregnes ved slutningen af optagelsen. Animationen hjælper dig med at bruge den tid der er nødvendig for at opnå en god optagelse, ideelt set mindst to minutter.

Tre slidere øverst på skærmen, mærket "energi", "aktivitet" og "link", fyldes progressivt. Disse cursorer skal være helt fyldte for at sikre at de indsamlede oplysninger er tilstrækkelige til at beregne alle de nødvendige variabler. Når disse cursorer når 100%, betegnes optagelsen som tilstrækkelig.

For at sikre optagelseskvalitet, placér en tommel på hver sensor. Hvis signalet ikke er af god kvalitet, skal du bruge elektrode-gel eller fugte dine fingre let. Signalets kvalitet vurderes automatisk. For eksempel, hvis du fjerner en finger, stopper optagelsen øjeblikkeligt. Hvis du sætter din finger tilbage, tager genopkoblingen omkring et sekund, men du kan have brug for at kalibrere igen.

Hvis du ikke anvender tilstrækkeligt tryk, bevæger dig eller foretager pludselige bevægelser, ændres skærmen til en rød baggrund, hvilket indikerer at dataene ikke tages i betragtning. Enheden vil vente på genkalibrering, indikeret ved tilbagekomsten af de grønne prikker og fraværet af den røde baggrund, før optagelsen af data af god kvalitet genoptages.

Når cursorerne er 100% fyldte, klik på "Stop". Applikationen beregner derefter alle dataene, og du vil kunne konsultere de forskellige hovedkapitler i scanoptagelsen.



biocoherence.net/n82.13

9.4. Kunde styring

Oversigt

BioCoherence Pro giver dig muligheden for at netværke med et ubegribelig antal kunder, hvoraf hver kan forbindes via deres egen applikation. Dette kapitel vil guide dig gennem de trin der er involveret i at administrere og dele information med dine kunder.

Kundeselektion

På alle sider hvor du skal vælge en kunde, er der tilgængelig en knap i øvre højre hjørne til at foretage denne selektion. For at finde en kunde, skal du simpelthen indtaste hans navn i søgefeltet. Systemet vil vise de tilhørende kunder og antallet af tilgængelige optegnelser for hver.



biocoherence.net/n82.15

Optegnelseradministration

Når du've valgt en kunde, vil du se de optegnelser der er tilgængelige for denne kunde. Optegnelser kan identificeres ved forskellige piktogrammer:

- A piktogram indikerer at optegnelsen er gemt på den lokale computer.
- Et andet piktogram indikerer at optagelsen er i skyen.
- A tredje piktogram indikerer at kunden har adgang til denne optagelse.

Deling af rapporter

Når du åbner en rapport, kan du vælge om du ønsker at dele adgang med kunden. På hjemmesiden, giver en knap dig muligheden for at ændre kundens oplysninger, såsom køn, e-mail og et foto. Disse oplysninger er vigtige for visualiseringer specifikke for kønsorganer og chakraer.

At sende invitationer

For at sende en invitation til en kunde, indtast deres e-mailadresse og klik på "Send e-mail". Du kan også dele invitationens link eller tekst via SMS, WhatsApp eller en enhver anden applikation tilgængelig på din enhed. Beskeden kan sendes på engelsk eller fransk, ved at ændre sproget med flagsselektoren.

Ved at bruge disse funktioner, kan du nemt administrere og dele information med dine kunder på BioCoherence Pro, samtidig med at sikre effektiv og sikker kommunikation.

BioCoherence appen tilbyder omfattende funktioner til bruger- og klientadministration, som giver brugere muligheden for at administrere deres egne profiler og dem af deres klienter. Denne sektion detaljerer de funktioner der er tilgængelige for at administrere brugere og klienter inden for appen, herunder oprettelse af nye kontakter, skift mellem brugere, og administration af brugerdata.

Aktuel Bruger Visning

- **Bruger Visning:** Den aktuelle bruger vises øverst på hjemmeskærmen i appens grænseflade. Dette kan være dig (den primære bruger) eller enhver kunde eller kontakt.
- **Privatlivsfunktion:** Brugere kan sløre alle navne og billeder ved at klikke på sløre-ikonet, der sikrer privatliv når andre måtte se skærmen.

Brugersanalyse

- **Vis Analyse:** Ved at klikke på "Åbn Analyse" eller "Se Alle Analyse" vil analysen kun være bundet til den aktuelle bruger.
- **Skift Brugere:** For at skifte brugere, klik på de to pile-ikon for at tilgå brugerens directory. Den primære bruger er altid listet øverst i denne liste.

Brugerens Directory

- **Adgang til Brugerens Directory:** Klik på de to pile-ikon for at åbne brugerens directory.
- **Søgning af Brugere:** Brug søgeikonet (forstørrelsesglas) nederst på siden for at filtrere brugere ved at indtaste nøgleord.
- **Oprettelse af Nye Kontakter:** Få adgang til kontaktlisten via menuen og klik på "Opret Ny Kontakt" for at tilføje en ny bruger. Angiv køn for præcise skærmvisninger. Tilføj deres e-mail hvis du ønsker at invitere dem eller dele en rapport, eller give dem adgang til rapporten i deres app.

Kontaktadministration

- **Redigering af Kontakter:** Rediger nuværende kontaktoplysninger, herunder navn, e-mail og køn. Kønsvalg påvirker skærmvisningen, især for køns-specifikke analyser.
- **E-mail Integration:** Tilføjelse af en e-mail muliggør direkte sending af PDF rapporter og opretter en konto på serveren for brugeren.
- **Yderligere Information:** Valgfri felter inkluderer fødselsdato, vægt og personlige noter. Fødselsdato bruges ikke i beregninger i øjeblikket, men vil blive brugt til fremtidige funktioner som sammenligning af biologisk alder.

Brugerfiler Administration

- **Filgemning:** Analyser gemmes i brugerfiler. Sørg for at analyser gemmes under den korrekte bruger for at undgå forvirring. Du kan ændre brugeren på dette stadie hvis der var en fejl, som f.eks. at starte en optagelse under en anden bruger.
- **Cloud Upload:** Analyser kan uploades til skyen for deling. Dette er nødvendigt for at dele adgang med klienter.

Deling og Invitering af Brugere

- **Invitering af Brugere:** Send invitationer til brugere via e-mail eller tekst, så de kan få adgang til deres rapporter og bruge appen.
- **Deling af Rapporter:** Del PDF rapporter med klienter. Rapporter kan tilpasses ved at vælge hvilke afsnit der skal inkluderes.

Enhedskompatibilitet og Opdateringer

- **Enhedskompatibilitet:** Appen er kompatibel med forskellige platforme, med opdateringer der løbende udgives for at forbedre funktionaliteten.
- **Opdatering af Appen:** Brugere bør regelmæssigt tjekke for opdateringer for at sikre at de har de nyeste funktioner og fejlrettelser.

Yderligere Funktioner

- **Multi-View Analyse:** Sammenlign flere variabler på tværs af optagelser i real-tid. Nyttig til forskning og

9.5. Multi-delers rapport

For at undersøge detaljerne i en rapport, start med at åbne den pågældende rapport. Klik på dens navn for at åbne den, hvilket vil vise de forskellige elementer den indeholder. Øverst på skærmen på en computer, eller nederst på en telefon, vises de forskellige afsnit af rapporten. Som standard, er hele journalen synlig, men du kan vælge kun at vise det første eller andet afsnit, for eksempel.

Det er også muligt at tilføje kommentarer til disse optagelser. Denne funktion gør det muligt at dokumentere begyndelsen og slutningen af sessioner, eller at annotere specifikke handlinger for at observere udviklingen af markører i løbet af en session.

De forskellige optagelser er direkte tilgængelige, således at du kan sammenligne status for biomarkører, afsnit for afsnit, og observere ændringer i momentum, chakras, osv. Disse funktioner tilbyder et detaljeret, sammenlignende billede af de forskellige afsnit af rapporten.



biocoherence.net/n82.6

10. Forstå: Biomarkører

Pulsvave teknisk analyse

Disse skærme muliggør teknisk analyse af pulsvågen, såsom udtrækning af frekvenser og harmonier, redigering af optagelsen, direkte analyse af bølgen, biomarkør evolutionsgraf...

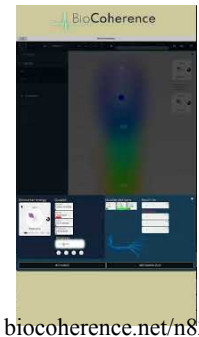
10.1. Biomarkører i detalje

Introduktion

I dette kapitel vil vi udforske detaljerne om biomarkører i et brugergrænseflade. Lad os tage eksemplet med chakras for at illustrere, hvordan de fungerer, og hvordan den relevante information vises.

Adgang til Chakras

Når en side dedikeret til chakras tilgås, vises de forskellige chakras. Ved at klikke på et specifikt chakra vises de tilknyttede biomarkører på højre side af skærmen.



biocoherence.net/n82.8

Energi og Agitation

Det første nøgleelement er energi, en ressource, der vurderes i forhold til sit energiniveau og agitation. På venstre side af skærmen visualiseres energien, mens agitation vises nederst. Begge aspekter repræsenteres af 9 forskellige kronblade, der beskriver tilstanden af energi og agitation:

- Hér indikerer høj energi og lav agitation en ressource.

Yderligere information

Andre oplysninger vises også:

- Opmærksomhedsniveau
- Intention niveau
- Tidshorisont (kort, medium eller lang sigt)
- Elementets hovedcyklus

Evolution og Gennemsnit

Det er muligt at følge udviklingen af biomarkører i løbet af en session, opdelt i fire dele. For eksempel kan du observere en variation i energi, med faser af opstigning og nedstigning, så du kan evaluere det overordnede gennemsnit.

Prioriteter

Link kvalitet

Links mellem elementer af samme familie (f.eks. chakras) er angivet:

- Nummer af fibre (links)
- Resonanspunkter
- Procentdel af diffusion (f.eks. 33% af forbundne chakras)

Direkte Adgangsknapper

To knapper letter navigationen:

- Direkte adgang til chakraet
- Direkte adgang til fuldskræms biomarkør analyse side

Hjælp og Information

Et spørgsmålstegn er tilgængeligt på hver side, der giver yderligere information om kronbladene og betydningen af de forskellige resonanser og reguleringer.

I korthed giver denne grænseflade mulighed for detaljeret, personlig styring af biomarkører, der letter analyse og optimering af chakras og andre relaterede elementer.

Biomarker energi og agitation information

Energi

Den vertikale skala til venstre viser biomarkørens gennemsnitlige energi. En lav værdi (til bunden) indikerer en lav energi biomarkør. En høj værdi (til toppen) indikerer en høj energi biomarkør. For nogle biomarkører (f.eks. akupunkturpunkter, følelser...) kan energien være negativ eller positiv, hvilket indikerer en indvirkning på den overordnede balance. I dette tilfælde er den lave energi angivet i midten af skalaen.

Agitation

Den horisontale skala nederst viser biomarkørens gennemsnitlige agitation. En lav værdi (til venstre) indikerer en mest statisk biomarkør. En høj værdi indikerer en mest agiteret biomarkør.

Biomarker kronblade

De 8 kronblade (plus den åbnede blomst, alle 8 kronblade i ligevægt) indikerer det primære energ/agitationsområde for biomarkøren.

Statisk

Lav energi, lav agitation. Dette er den laveste aktivitet muligt for en biomarkør. Det er normalt forbundet med kroniske, langsigtede tilstande.

Lav energi

Lav energi, normal agitation. Denne biomarkør har en lav, men funktionel aktivitet.

Spændt

Lav energi, høj agitation. Dette er et tegn på nød.

Stabiliserende

Normal energi, lav agitation. Denne biomarkør er en stabil søjle.

Fleksibel

Normal energi, normal agitation. Den åbnede blomst indikerer en optimal funktionel tilstand.

Læring

Normal energi, høj agitation. Dette indikerer en læringsproces, normalt som reaktion på nogle eksterne informationer.

Ressource

Høj energi, lav agitation. Dette er et kendetegn ved hovedressourcer.

Adaptation

Høj energi, normal agitation. Dette indikerer en tilpasningsproces, normalt som reaktion på nogle eksterne stimuli.

Destabilisering

Høj energi, høj agitation. Dette indikerer en akut, svær at løse situation.

Biomarker regulering information

Dette er en ikke-lineær analyse af biomarkøren.

Opmærksomhed

Angiver styrken af styringen af biomarkøren.

Intention

En lav værdi angiver spredning (tilstedeværelse af mange samtidige biomarkør reguleringer). En højere værdi angiver fokus (en stærkt tilstedeværende biomarkør hovedregulering). En negativ værdi angiver kaos (der er ingen klare reguleringer). En overværdi angiver hypervigilance (en for stærk regulering).

Horisont

En lav værdi angiver kortsigtet agitation (mere kortsigtet styring i biomarkør reguleringen end langsigtet). En højere værdi angiver langsigtet afslapning (mere langsigtet styring i biomarkør reguleringen end kortsigtet).

Biomarker resonans information

Dette er en ikke-lineær analyse af resonanser mellem biomarkører i samme gruppe.

Tråde

Angiver det samlede antal af resonanser med andre biomarkører i gruppen (trådantalet af det primære reb).

Strength

Angiver den samlede styrke af forbindelserne med andre biomarkører i gruppen (bredden af det primære reb).

Reach

Angiver andelen af andre markører i den samme kategori, som denne biomarkør har forbindelser med (separationen af det primære reb i individuelle reb).

Ressourcer

Ressourcer er stærke forbindelser med andre biomarkører. En ressource indikerer en energiudveksling mellem 2 systemer. Den primære retning af energiudvekslingen er angivet (modtager fra, eller sender til). Ressourcer er ordnet først efter de mest magtfulde ressourcer, de modtager fra, eller de mest nødlidende ressourcer, de sender til.

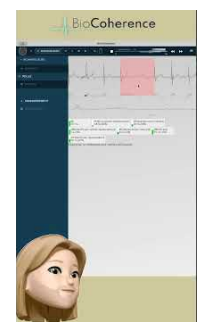
10.2. Pulsbølge redigering og verifikation (rå optagelse)

I denne sektion, vil vi se på hvordan man redigerer pulsviften i tilfælde af optagelsesproblemer, og hvordan man tjekker den rå vifte. For at begynde, gå til "biomarkør" sektionen og vælg "puls vifte". Du'll derefter være i stand til at se vifteformen for hver hjerteslag, punkt for punkt. Denne slags visualisering er nyttig til sammenligning og observation af udviklingen af hver vifte.

Ud over den gennemsnitlige vifte, som vi're vant til at se, er det vigtigt at bemærke at den sande vifteform ofte er meget mere rystende omkring dette gennemsnit. Hvis et problem opstår under optagelsen, for eksempel, hvis en del af viften ikke bliver registreret, deaktiverer softwaren automatisk denne sektion. Du kan dog genaktivere denne sektion hvis du beslutter at den skal tages i betragtning.

For at gøre dette, klik bare på den svarende sektion. Du kan også aktivere eller deaktivere individuelle slags med et enkelt klik. Deaktiverede slags vil ikke længere blive taget i betragtning i beregningen af blomster eller i grafen.

Endelig vil du finde et sæt af tekniske statistikker nedenfor pulsviften, såsom RR intervall, PR intervall, QRS intervaller og så videre. Disse data kan give værdifuld information til yderligere analyse.



biocoherence.net/n82.9

10.3. Overvågning af biomarkør ændringer i løbet af sessioner

For at analysere udviklingen af en biomarkør over tid, start med at få adgang til fanen "Biomarkør" og åbn "Session", derefter "Dynamik". Du vil se den komplette udvikling af biomarkøren over tid.

I afspilningstilstand kan du flytte cursoren punkt for punkt for at observere forskellige dele af udviklingen. Nederst på skærmen angiver mærker adskillelse mellem hver del af sessionen. Du kan justere zoomniveauet for en mere præcis analyse og navigere mellem de forskellige dele af sessionen, hvad enten det er anden, tredje osv.

Du kan tilføje begivenheder ved at klikke, hvor du ønsker. For eksempel, hvis du udfører en bemærkelsesværdig handling, kan du markere denne begivenhed. Når den er tilføjet, er begivenheden synlig som et mærke nederst på skærmen, og ved at klikke på den kan du få adgang til den igen. Du kan også flytte begivenheden ved at redigere den og derefter bekræfte den nye position.

Begivenheder bruges til at notere vigtige aspekter af din praksis og vises også i oversigten over de forskellige dele. Udviklingsgrafene er opdelt i flere segmenter: meget kortsigtet (blå baggrund for øjeblikkelig udvikling), mellemlang sigt, langsigtet og meget langsigtet. Den meget langsigtede giver et gennemsnit over en længere periode, hvilket kræver omkring 90 slag for at beregne.

Analysen af forholdet mellem den meget kortsigtede og den mellemlange sigt er afgørende. Nogle gange er den meget kortsigtede kurve over eller under den mellemlange kurve. Når kurven er under, er den markeret med rødt, og når den er over, er den markeret med grønt. Disse indikationer giver vigtig information til vurdering af øjeblikkelige tendenser under testen.

Endelig er en syntese af informationen tilgængelig i form af en "blomst", der indikerer energi- og agitationniveauer. Denne oversigt kan også analyseres del for del for at observere udviklingen over de forskellige sektioner.



biocoherence.net/n82.16

10.4. Frekvens og Harmonisk Analyse

Takket være en matematisk operation kaldet FFT, bliver bølgen transformeret til frekvenser, derefter bliver disse frekvenser analyseret for at finde deres harmoniske.

I denne kapitel, vil vi kigge på de frekvenser og harmonier beregnet ud fra bølgeformen. Vi forbliver i biomarkør området, dvs. i den tekniske liste.

For at komme i gang, åbn frekvenserne. Du'll se en visning mellem 0 og 60 Hz. Øverst i denne visning, finder du de laveste frekvenser, dvs. de meget lave frekvenser under 0.03 Hz, de lave frekvenser, og de høje frekvenser omkring 0.4 Hz. Disse frekvensområder indeholder generelt meget interessant information.

Vi ser først på 0-3 Hz området, men det's også muligt at finde information om de andre frekvensbånd.

Næste, gå videre til Harmonisk sektionen. Denne sektion udfører en beregning på frekvenserne for at bestemme hvilke der er de stærkeste. Den information der opnås her er også relevant for de forskellige biomarkører. Denne tekniske analyse giver dig mulighed for at scanne optagelsen og identificere de dominerende frekvenser. Det er vanskeligt at adskille relevant information med det nøgne øje på disse visninger, men det er en af grundene til hvad applikationen bruger til at beregne biomarkører...

FFT (Fast Fourier Transform) er en algoritme der beregner Fourier transformen hurtigt og effektivt. Den er bredt anvendt i signalbehandling, spektralanalyse og datakomprimering. Fourier transformen er et matematisk værktøj der nedbryder en funktion eller signal til en sum af sinuskurver af forskellige frekvenser. Den transformerer et signal fra tidsdomænet til frekvensdomænet.



biocoherence.net/n82.7

10.5. Den kausale kæde

Causal Chain-funktionen i BioCoherence giver en omfattende måde at analysere sammenhænge mellem forskellige biomarkører, hvilket gør det muligt for brugerne at identificere de underliggende årsager til ubalancer og bestemme de mest effektive interventioner. I modsætning til tidligere metoder, der kun viste relationer inden for samme kategori (f.eks. organer forbundet med andre organer), udvider Causal Chain denne analyse til at inkludere alle biomarkørkategorier, såsom meridianer, chakraer, atomer, patogener og mere. Denne funktion gør det muligt for brugerne at:

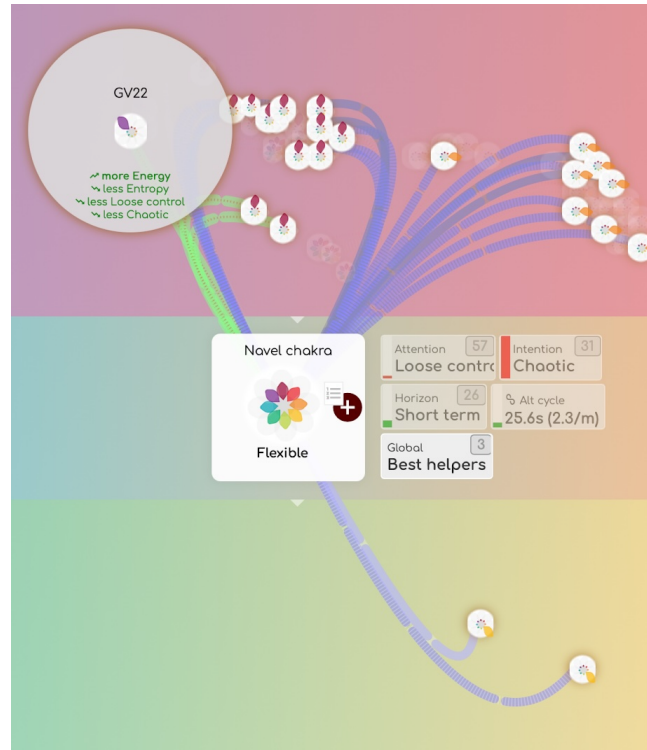
- Identificere de underliggende årsager til ubalancer.
- Bestemme, hvilke biomarkører der er i resonans med hinanden.
- Find de bedste hjælpere til at genoprette balancen.
- Bygge en tilpasset prioriteringsliste for harmonisering.

Adgang til Causal Chain

For at få adgang til Causal Chain:

1. Åbn en analyse og naviger til biomarkørafsnittet.
2. Vælg en biomarkør af interesse (f.eks. et organ, meridian eller drivkraft).
3. Klik på Causal Chain-underpunktet under Relations-menuen.

Dette åbner en ny grænseflade, der viser alle biomarkører, der er i resonans med den valgte biomarkør.



Forståelse af Causal Chain-grænsefladen

Causal Chain-grænsefladen præsenterer et netværkskort over sammenkoblede biomarkører. Nøgleelementer inkluderer:

1. Central Biomarkør

- Den biomarkør, du har valgt, er placeret i centrum af kortet.
- Alle andre biomarkører, der resonerer med den, vises omkring den.
- Du kan klikke på enhver biomarkør omkring for at placere den i centrum og genberegne omkring den.

2. Resonansbiomarkører

- Kun biomarkører, der i øjeblikket er i resonans med den centrale biomarkør, vises.
- Disse kategoriseres i forskellige grupper, såsom organer, meridianer, chakraer, atomer, patogener og mere. Grupperne vises nederst på skærmen. Klik på et gruppenavn for at vise de relaterede biomarkører. Hver gruppe kan vise et eller to numre:
 - altid, antallet af relaterede biomarkører i denne gruppe
 - kun hvis der er, i en hvid cirkel: antallet af store forbindelser (bedste hjælpere) i denne gruppe.

3. Forholdsstyrke

Hver forbindelse mellem biomarkører er farvekodet:

- Stor forbindelse (hvid, grøn eller blå): Bedste hjælpere, med den stærkeste resonans og mest i stand til at hjælpe (bedste forbedringer i energi, agitation og kvalitet)

- Grøn: Positiv indflydelse mod den centrale biomarkør (f.eks. øge energi, reducere entropi).
- Blå: Den centrale biomarkør sender energi mod den.
- Fine forbindelser angiver specifikke relationer relateret til opmærksomhed, intention og horisont. Legenden øverst viser deres betydning.

4. Energi- og Entropikortlægning

- Biomarkørerne er placeret på et grafisk kort baseret på energiniveauer (lav til høj) og agitation (entropi) (lav til høj), på samme måde som kronbladene er organiseret på blomsten.
- Dette gør det muligt for brugerne visuelt at vurdere, hvilke biomarkører der bidrager til stabilitet eller ubalance.

5. Filtrering og Bedste Hjælpere

Brugere kan filtrere de viste biomarkører baseret på specifikke kvaliteter:

- Øger opmærksomhed
- Øger intention
- Øger horisont
- Justering med hovedcykler
- Bedste hjælpere (biomarkører, der giver den mest gavnlige indflydelse)

6. Navigation og Historik

- Ved at klikke på en hvilken som helst biomarkør vil den centrere den i analysen, hvilket giver brugerne mulighed for at udforske sin egen kausale kæde.
- Et historikpanel sporer stien af udforskning, hvilket giver brugerne mulighed for at vende tilbage til tidligere biomarkører.
- Brugere kan navigere tilbage til den oprindelige biomarkør eller udforske dybere ind i relaterede biomarkører.

Detaljeret vejledning: brug af Causal Chain til analyse

Trin 1: Identificer den Underliggende Årsag

- Start med en biomarkør, der vises i Prioriteringslisten.
- Åbn Causal Chain for at se, hvilke biomarkører der påvirker den.

Trin 2: Find de Bedste Hjælpere

- Brug Bedste Hjælpere-filteret til at identificere biomarkører, der kan påvirke den centrale biomarkør positivt.
- Søg efter grønne forbindelser, da disse indikerer de stærkeste gavnlige relationer mod den.
- Blå forbindelser kan indikere andre elementer, der hjælpes af denne biomarkør og tager energi fra den, hvilket dermed afslører kausale forbindelser, der kan forklare aktuelle tilstande.

Trin 3: Byg en Tilpasset Prioriteringsliste

- Klik på en biomarkør og tilføj den til Prioriteringslisten.
- Fortsæt med at udforske relaterede biomarkører og tilføj relevante til listen.
- Dette sikrer, at harmoniseringsprocessen adresserer ikke blot symptomet, men også de underliggende årsager.

Trin 4: Anvend Resultaterne

- Brug Harmonic Boost-funktionen til at spille de valgte frekvenser.
- Hvis det er relevant, integrer TCM-punkter, organer, meridianer eller atomer i harmoniseringsprocessen.
- Forbedr Harmonic Boost ved at tilføje valgte protokoller oven på hver biomarkør.
- Monitorér fremskridt over flere sessioner for at spore forbedringer.

Eksempel Brugsafsnit

Scenarie: Håndtering af Lungeubalancer

1. Vælg Lungen fra Prioriteringslisten.
2. Åbn Causal Chain for at se relaterede biomarkører.
3. Identificer bedste hjælpere: for eksempel Organer: Mave, Lever - Meridianer: Nyre, Blære - Atomer: Tantal, Osmium - Drivkræfter: Mangel på tillid, Hypersensitivitet
4. Tilføj de mest relevante biomarkører til Prioriteringslisten.
5. Spil harmoniseringsfrekvenserne (Harmonic Boost) og programmer (Personlig Guide), og spore fremskridt over tid.

Fordele ved Causal Chain

- Holistisk Analyse: Giver et komplet overblik over sammenhængene mellem forskellige biomarkører.
- Personlig Tilgang: Tilpasser harmoniseringen til den enkelte persons unikke energetiske tilstand og tillader at starte fra et bestemt symptom på klage og finde de relevante kausale kædelementer.
- Dybere Indsigter: Hjælper praktikere og brugere med at forstå de underliggende årsager til ubalancer.
- Effektiv Prioritering: Fokuserer på de mest indflydelsesrige biomarkører for hurtigere resultater.

Causal Chain er et kraftfuldt værktøj i BioCoherence, der forbedrer evnen til at analysere og adressere ubalancer på et dybere niveau. Ved at kortlægge forholdene mellem biomarkører og identificere de bedste hjælpere kan brugerne skabe meget effektive Harmonic Boost og Personal Guide-programmer skræddersyet til deres specifikke behov.

10.6. Prævalens

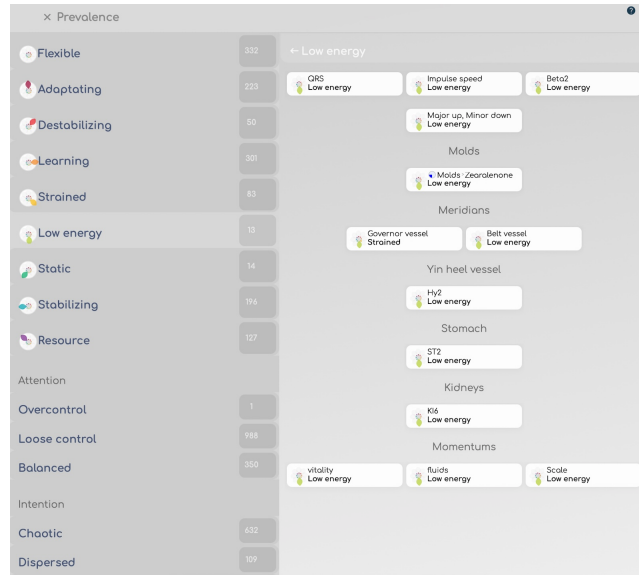
Denne skærm giver mulighed for hurtigt at se alle biomarkører i en specifik tilstand:

- efter petal tilstand (fleksibel, tilpassende, lav energi, ressource...)
- efter kvalitet (opmærksomhed, intention, horisont)

Hovedsiden viser antallet af biomarkører i hver tilstand; klik på den for at liste de relaterede biomarkører.

Du kan filtrere biomarkørkategorierne med vælgeren i menuen. For eksempel, kan du vise kun organ prævalenser, eller punkter i en specifik meridian, eller drives (følelser).

Prævalens kan være nyttig til hurtigt at få et overblik og til at se udviklingen gennem flere genvurderinger i et journal.



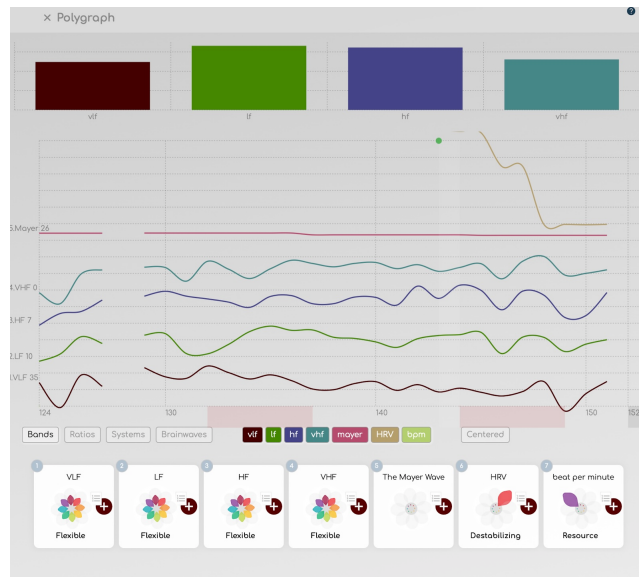
10.7. Polygraph

Denne skærm bruger primært akademiske biomarkører. Det giver en praktisk måde at se på et glimt f.eks. VHF, HF, LF og VLF procenter, og et lineært diagram med op til 7 vigtige kurver.

Dette kan bruges i realtid under optagelse, da alle skærme (bare skift skærm under en optagelse). Alle disse markører kommer fra den akademiske forskning om EKG'er. Du kan vise op til 7 bånd efter dit valg, parallelt eller centreret på den samme linje.

- I **Bånd** mode, de 7 linjer er: Bpm, HRV, Mayer bølger, VHF, HF, LF og VLF.
- I **Ratioer** mode, de 7 linjer er: SDNN (Total kraft), SI (Stress indeks), IC (Indeks for centralisering), LF/HF (Kraft, vago-sympatisk interaktion), LF/VLF (Afslapning), VLF/HF (Stress) og VLF HF (Global aktivitet).
- I **Systemer** mode: CNS, Ortho, Symp, Para, IRSA, Immunitet, HRV.
- I **Brainwaves**: Delta, Theta, Alpha, Beta, Beta1, Beta2, Gamma.

Klik på en kategori under diagrammet for at vise disse punkter; klik på de farvede legender for at vise eller skjule dem. Klik på Centreret for at vise alle på den samme basislinje. Klik på blomsten under diagrammet for at tilgå de fulde biomarker detaljer.



Hvis du gør forskning med dette diagram, kan det være grundlaget for nye indsigter eller nye biomarkører. Derudover skal du huske at du kan analysere enhver biomarkør i dens tidslinje og med givenheder på biomarkør Dynamik skærmen.

11. Forstå: Energi

Energiskærmene indeholder grafik om den biologiske klokke, chakraer, impulser, atomer, påvirkninger, ayurveda, mikroorganismer...

11.1. Atomer

Periodisk Tabel over Elementerne

På Atomer-siden kan du få adgang til det periodiske system for grundstofferne for at få oplysninger om de forskellige atomer. Ved at klikke på et atom i dette tabel kan du se de bindinger, det måtte have med andre atomer, dvs. de almindelige resonanser. Disse oplysninger er også synlige nederst på skærmen, men at se dem direkte på tabellen er mere intuitivt.

På nuværende tidspunkt giver applikationen en generel vurdering af resonanser for hvert atom. En fremtidig version kunne muliggøre rekonstruktionen af resonanser for hele molekyler, baseret på bindingerne mellem forskellige atomer. Denne funktion kunne være særligt nyttig som en del af en kontrol, du udfører, for at se overskud eller mangler i visse elementer, eller for at se, takket være multi-del optagelser, der kan sammenlignes, om et element stabiliserer efter anvendelsen af et produkt eller terapi.



biocoherence.net/n82.114

11.2. Ayurvedisk Energivurdering

Doshaer og sub-doshaer

Ayurveda er et traditionelt medicinsystem forskelligt fra traditionel kinesisk medicin, selvom det har nogle ligheder, især ækvivalenten til 12 meridianer i form af 15 sub-doshas. Disse sub-doshas er grupperet i tre hovedpåvirkninger: Kapha, Pitta og Vata.

De 3 Doshas ifølge Ayurveda

1. Vata

- **Description:** Forbundet med luft og eter, Vata styrer bevægelse i kroppen, herunder blodcirkulation, respiration og nerveimpulser.

2. Pitta

- **Description:** Består af ild og vand, Pitta kontrollerer fordøjelse, stofskifte og energiproduktion.

3. Kapha

- **Description:** Består af jord og vand, Kapha er ansvarlig for kropsstruktur, stabilitet og ledsmøring.



biocoherence.net/n82.98

De 15 Sub-Doshas

Sub-doshas af Vata

1. **Prana Vata**
 - **Function:** Kontrollerer vejrtrækning og sind.
2. **Udana Vata**
 - **Function:** Kontrollerer tale og udtryk.
3. **Samana Vata**
 - **Function:** Regulerer fordøjelse og optagelse af føde.
4. **Vyana Vata**
 - **Function:** Overvåger cirkulation og bevægelse af kropsvæsker.
5. **Apana Vata**
 - **Function:** Regulerer affaldsudskillelse.

Pitta sub-doshas

6. **Pachaka Pitta**
 - **Function:** Kontrollerer fødefordøjelse i maven og tarmen.
7. **Ranjaka Pitta**
 - **Function:** Ansvarlig for blodformation.
8. **Sadhaka Pitta**
 - **Function:** Påvirker følelser og mentale funktioner.
9. **Alochaka Pitta**
 - **Function:** Påvirker syn og visuel opfattelse.
10. **Bhrajaka Pitta**
 - **Function:** Regulerer hudens sundhed.

Kapha sub-doshas

11. **Kledaka Kapha**
 - **Function:** Smører og beskytter mavevægge.
12. **Avalambaka Kapha**
 - **Function:** Understøtter hjerte og lunger.
13. **Bodhaka Kapha**
 - **Function:** Regulerer mund og spytfunktioner.
14. **Tarpaka Kapha**
 - **Function:** Smører hjernen og nervesystemet.
15. **Shleshaka Kapha**
 - **Function:** Smører leddene.

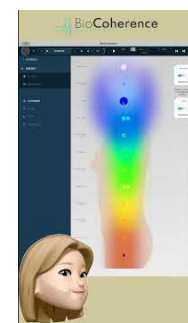
11.3. Chakra Visualisering

I dette kapitel, vil vi undersøge Energi fanen, startende med Chakra sektionen. Denne sektion giver dig muligheden for at se og interagere med chakra information i detalje.

For at begynde, kan du vælge at vise chakraerne ved at klikke på den dedikerede knap. Du kan vise enten 7 eller 12 chakras ved at klikke på den lille "12" knap i bunden af skærmen.

Når chakraerne er vist, kan du vælge et specifikt chakra ved at klikke på det. Denne handling giver dig adgang til al den information der vedrører det chakra, herunder energikoblinger og tilknyttede akupunkturpunkter. Akupunkturpunkterne angiver chakraets indgangs- og udgangspunkter, og vises på skærmen i forskellige størrelser afhængigt af deres energilevel.

Derudover vises chakra auraen også, og dens præsentation varierer afhængigt af den generelle energi fra det valgte chakra. På denne måde, kan du opnå en præcis visuel repræsentation af energistatusen for hvert chakra.



biocoherence.net/n82.14

11.4. Påvirkninger

De 5 elementer : Træ, Ild, Jord, Metal, Vand

Et andet vigtigt energikoncept er det om influencer. Denne skærm, kaldet "influencer", visualiserer forholdene mellem de fem elementer, som vurderet af Traditionel Kinesisk Medicin (TCM). Disse forhold kan være af skabelse, ødelæggelse, overgreb eller overophedning.

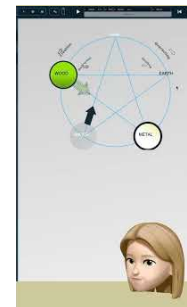
For eksempel, kan træ påvirke metal ved at udøve tryk på det, mens vand kan veje ild ned. På den anden side, hjælper træ med at skabe ild. Disse forhold er udledt i henhold til TCM regler og meridianvurdering.

De 5 elementer i Traditionel Kinesisk Medicin (TCM) er :

1. **Træ:** forbundet med leveren og galdeblæren.
2. **Ild:** forbundet med hjertet og tyndtarmen.
3. **Erde:** forbundet med milten og maven.
4. **Metal:** forbundet med lungerne og tyktarmen.
5. **Vand:** forbundet med nyre og blæren.

De hovedforhold mellem disse elementer er :

- **Generationscyklus (Sheng):** Træ > Ild > Erde > Metal > Vand > Træ.
- **Kontrolcyklus (Ke):** Træ > Erde > Vand > Ild > Metal > Træ.



biocoherence.net/n82.116

11.5. Momentum

begrænsninger, balancer og bevægelser

I denne sektion vil vi se på momentum i konteksten af energistyring. For at få adgang til denne funktion, gå til "Energi" menuen og klik på "Bevægelser". Her vil du opdage cirka tyve tilgængelige momenter, klassificeret i tre hovedkategorier: begrænsninger, balancer og bevægelser.

Momentumprincippet

1. Begrænsninger

Begrænsninger er elementer som sætter bremsere på bevægelse. Disse inkluderer :

- Geopatisk stress (klik på ethvert element i grafen for mere information).
- Geopatisk stråling.
- Geopatisk vand: vand årer, brud, osv. der inducerer underjordiske elektriske strømme.
- Harmfulde energier.
- Heavy metaller.
- Patogener.
- Miasmer.
- Toksiner.



biocoherence.net/n82.97

2. Balance

Balanceafsnittet dækker de aspekter der hjælper med at opretholde stabilitet. Det inkluderer :

- Emotionel balance.
- Energibalance.
- Søvnkvalitet.
- Terræn (samlet kropsbalance).
- Vertikal balance.

3. Bevægelser

Bevægelse omfatter de faktorer der giver dig dynamik. De hovedelementer er :

- Kroppe.
- Vitalitet.
- Blodtryk.
- Væsker.

%Du kan også observere generel bevægelse og sammenligne den ifølge de forskellige faser og sektioner af din optagelse.

Et interessant punkt at bemærke er forholdet mellem disse elementer. For eksempel, her, er kroppe forbundet til emotionel balance, og blodtryk modtager og sender information til forskellige steder, som kan give værdifuld indsigt i den overordnede kvalitet af analysen

Ved at kombinere denne information, kan du bedre forstå og håndtere de forskellige aspekter af din energi og drift.

12. Forstå: Krop

Brug af navigation og evalueringsmetoder i kropsskærme

Kropsskærmene inkluderer 3 hovedtyper af analyser: TCM-meridianer, akupunkturpunkter med tilhørende TCM-opskrifter og organer.

12.1. TCM meridianer

14 eller 20 meridianer, links og relaterede symptomer

"Kroppen" sektionen i applikationen tilbyder tre hovedark af information: meridianer, akupunkturpunkter og organer. Dette kapitel vil fokusere på navigering og evaluering af meridianerne.

1. Meridianvisning:

- Applikationen lader dig vælge mellem 14 eller 20 meridianer.
- I 20 meridianers tilstand vises ekstraordinære meridianer udover standardmeridianerne.
- I 14 meridianers tilstand vises de hovedsagelige 12 sammen med de to kar: governor og conception.

2. Navigation og visualisering:

- Du kan klikke øverst på skærmen for at vise en meridians bane og dens hovedkarakteristika.
- At klikke på blomsterikonet viser yderligere information.
- Klik for at navigere mellem meridianer, visualisere forbindelserne mellem dem.
- Udviklingen af meridianerne kan følges under de forskellige dele af sessionen.
- Brug menuen til venstre eller øverst til at navigere på din telefon.

3. Meridianvurdering:

- At klikke på listen over meridianer viser deres vurdering.
- Submenuen tilbyder tre kriterier: energi, entropi og koherens.
- Logikken af disse kriterier gælder for alle Core sider.

4. Vurderingskriterier:

- **Energi**
 - Viser i to kolonner: de mest energetiske meridianer og de mindst energetiske.
 - Mulighed for at vise flere eller færre meridianer pr. klik.
 - Yderligere information baseret på aktuel energi status og Traditionel Kinesisk Medicin (TCM) symptomer.
 - Krydsreferer information med andre meridianer for mere præcise detaljer.
- **Entropi**
 - Viser de mest oprørte og statiske meridianer.
 - Giver mulige symptomer forbundet med hver tilstand.
- **Koherens**
 - Viser meridianer der resonerer sammen.
 - Meridianer i koherens danner et system der resonerer i samme rytme.

5. Brug af information:

- Logikken med energi-entropi-koherens bliver brugt til at klassificere de hovedkomponenter i en vurdering.
- Disse elementer hjælper med at forstå funktionen af den person der vurderes.



biocoherence.net/n82.96

Ved at følge disse instruktioner, vil du kunne navigere i applikationen effektivt og bruge vurderingskriterierne til at få detaljeret information om meridianerne, deres energistatus, entropi og koherens.

Om meridianer i TCM:

I Traditionel Kinesisk Medicin (TCM), er meridianer energikanaler gennem hvilke Qi (livsenergi) flyder. Der er 12 hovedmeridianer, og 8 ekstraordinære meridianer, herunder 2 regulerende meridianer. Disse er beskrevet nedenfor:

12 Hovedmeridianer :

1. **Lunge (LU):** Regulerer vejrtrækning og immunsystemet.
2. **Large Tarm (LI):** Eliminerer fast affald og regulerer tarmfunktioner.
3. **STomach (ST):** Fordøjer mad og absorberer næringsstoffer.
4. **Splene/Pancreas (SP):** Transformation og transport af næringsstoffer, energistøtte.
5. **Hjerte (HT):** Styrer blod og blodkar, kontrollerer sindet.
6. **Small Intestine (SI):** Separation af rene og urene stoffer, absorption af næringsstoffer.
7. **Blære (BL):** Eliminerer væske affald, regulerer kroppens væsker.
8. **Kidney (KI):** Opbevarer livsvigtig essens, regulerer vand, kontrollerer knogler og ører.
9. **Master of the Heart (PC):** Beskytter hjertet, regulerer følelser og blodcirkulation.
10. **Triple Warmer (TE eller SJ):** Regulerer de tre varmere (øvre, mellem og nederste), kontrollerer cirkulationen af energi og væsker.
11. **Gallbladder (GB):** Opbevarer og udskiller galde, hjælper med beslutningstagning.
12. **Lever (LV):** Opbevarer blod, regulerer Qi flow, understøtter sener og muskler.

8 Ekstraordinære Meridianer :

1. **Conception Vessel (Ren Mai):** Regulerer Yin meridianer, kontrollerer reproduktion.
2. **Governor Vessel (Du Mai):** Regulerer Yang meridianer, kontrollerer central nervesystem.
3. **Penetrating Vessel (Chong Mai):** Regulerer blod og hovedmeridian energi.
4. **Belt Vessel (Dai Mai):** Omkranser vertikale meridianer, regulerer seksuelle organer og mave.
5. **Yin Junction Vessel (Yin Qiao Mai):** Regulerer Yin-Yang balance, kontrollerer søvn og vågenhed.
6. **Yang Junction Vessel (Yang Qiao Mai):** Regulerer Yin-Yang balance, påvirker lemmernes bevægelser.
7. **Yin Link Vessel (Yin Wei Mai):** regulerer Yin meridianer, påvirker følelser.
8. **Yang Link Vessel (Yang Wei Mai):** Regulerer Yang meridianer, påvirker kroppens forsvar.

2 Regulerende meridianer :

1. **Conception vessel (Ren Mai):** Allerede nævnt blandt de ekstraordinære meridianer.
2. **Governor vessel (Du Mai):** Allerede nævnt blandt de ekstraordinære meridianer.

Disse meridianer

12.2. Organ kort

Mere end 10 detaljerede organ diagrammer og links

I denne sektion vil vi udforske funktionaliteten af organer i vores kropsvurderingsapplikation. Når du får adgang til organer-kategorien, vil du først blive præsenteret for en fuld kropsvisualisering. Du kan komme ind i den generelle vurdering ved at klikke på et specifikt organ for at se dets forhold til andre dele af kroppen. For eksempel er de fremhævede organer dem, der er af interesse. Ved at klikke på hjertet vil du se dets forbindelser med forskellige organer, og disse forhold er også synlige på kortet.

Du kan nemt navigere ved at klikke på specifikke systemer såsom det respiratoriske system for at se dets forbindelser, herunder med neurotransmittere, tungen, munden og forskellige væv. Ved at klikke på munden zoomer du ind på fordøjelsessystemet, hvilket ændrer kortet for at vise forholdene mellem munden og andre aspekter af fordøjelsessystemet.

Du kan også vælge forskellige kort, såsom hjernekortet. Dette kort vil vise dig de forskellige dele af hjernen, med en fuld evaluering i listeform. Hvis du ønsker at finde en bestemt del, vil kortet vise det til dig. For eksempel, hvis du klikker på epifysen, vil du se dens position og de kirtler, den modtager og sender signaler fra. Hver enkelt komponent, såsom serotonin eller prolaktin, kan udforskes for at se dens forbindelser eller mangel på forbindelser med andre hormoner.

Organ-sektionen tilbyder også muligheder for at se energi, entropi og koherens, som varierer afhængigt af den anvendte skærm. På den fulde kropsskærm vises disse parametre for de elementer, der anses for mest relevante, hvilket indikerer deres energikilder eller niveau af agitation. For eksempel, ved at undersøge tænder eller hvirvler kan du identificere, hvilke der er de mest energetiske eller agiterede, hvilket giver værdifuld information til en komplet kontrol.

Endelig, som en påmindelse, hver gang du identificerer en relevant genstand, kan du tilføje den til prioritetslisten ved at klikke på det dedikerede ikon. Dette tillader dem at blive inkluderet i balanceringsvalget til efterfølgende harmonisering.



biocoherence.net/n82.95

12.3. Akupunkturpunkter

Vurder over 350 akupunktur punkter og relevansen af hundredvis af TCM opskrifter

Udforskning af punkter og meridianer

Når du udforsker kroppen i softwaren, har du adgang til meridianer, punkter og organer. Ved at klikke på en specifik meridian, ændres visningen for at vise detaljer om punkterne på hver meridian, i stedet for de hele meridianer. Denne funktion muliggør præcis evaluering af hvert punkt.

Punktvalg og information

Du kan klikke på hver punkt for at få detailed information om det særlige punkt. Det er også muligt at vælge en meridian og se status for hver af dens punkter. Ved at skifte meridianer, kan du se de forskellige punkter og deres placeringer på et kort, hvilket er især nyttigt for effektiv navigation.



biocoherence.net/n82.94

Navigation og springing af meridianer

Du kan navigere i meridianer ved at klikke på meridianens titel i vælgeren øverst på skærmen. Du kan også se udviklingen af punkter i løbet af sessioner. Denne funktion er uvurderlig for at spore udviklingen af specifikke punkter over tid.

Meridian-specifik information

Når du vælger en meridian, får du adgang til forskellige informationer fra den tilgængelige i meridianfanen. Her finder du de otte hovedpunkter, såsom ambassadørpunktet, fordeling, strøm og flod, som er væsentlige i Traditionel Kinesisk Medicin (TCM). Information om meridianens strømforsyning og forbindelser er også tilgængelig.

Visning af punkter på kortet

Ved at klikke på et punkt vises dens præcise placering på kortet. Menuen til venstre tilbyder muligheder som energi, entropi og kohærens. Ved at vælge energi, viser visningen de mest energetiske og mindst energetiske punkter i lilla og gul, henholdsvis.

TCM Opskriftslogik

Applikationen bruger en TCM opskriftslogik, som kombinerer flere punkter for at korrigere et symptom. For eksempel, hvis visse punkter resonerer sammen og er for svage eller for stærke, kan dette indikere en ubalanceret. TCM opskrifter, udviklet over tusindvis af år, anvendes til at behandle specifikke symptomer som sure opstød. I denne applikation, har vi anvendt en inverteret logik. Vi antog at hvis visse punkter resonerede sammen og havde energiniveauer der var for lave eller for høje, kunne dette give os værdifulde indsigter. For eksempel, højt energetiske eller meget lav-energi punkter, eller punkter der er for agiterede eller for statiske, kunne signalere en ubalanceret i det kohærente system der normalt bruges til at behandle tilstande som sure opstød eller pyrosis. Tag tilfældet hvor tre specifikke punkter på en individ er meget statiske. Dette kunne indikere at opskriften eller behandlingen forbundet med disse punkter er nødvendig for denne person. Denne tilgang kan give dig yderligere ideer til diagnose.

Anvendelse af opskrifter

Opskrifter kan anvendes ved akupunktur eller ved at bruge lyd eller elektriske frekvenser under balanceringsfasen. Kohærente systemer, hvor punkter resonerer sammen, er især relevante for præcis diagnose. Synkroniseringen af punkter sugerer en øget relevans af TCM behandlinger for den analyserede person.

Konklusion

Denne kapitel har givet detaljer om brugen af punkter og meridianer i TCM software, og forklaret hvordan man navigerer, vælger og fortolker information for præcis diagnose og effektiv behandling.

13. Forstå: Sind

Sind, ånd og skygge

Disse skærme er dedikeret til de mentale, åndelige og ubevidste dele af analysen. De omfatter personlighed, musikalsk harmoni, følelser, justering, sår og motorer.

13.1. Justering

Justering og Sammenhæng i Elfie Bølge Håndtering

Justering er en væsentlig komponent i sindet, især når man arbejder med Elfie bølger. Justering manifesterer sig i forskellige skalaer af disse bølger, og forståelsen af dem kan lattes ved brugen af visualiseringsværktøjer. For eksempel, kan hjertekoherens blive repræsenteret visuelt, hvilket tilbyder et perspektiv på en individuels energetiske tilstand.

I interfacet, tre skydere i bunden giver mulighed for visualisering af parametre, mens der øverst vises en visualisering af implosionsspiralen. Elfie bølge skalaen, som illustreret af værdierne 205, 206, og 214, angiver det nuværende skaleniveau. For detaljerede oplysninger om en specifik værdi, såsom 214 Elfie, klik bare for detaljer om dens karakteristika og implikationer.

Hver skala præsenterer bemærkelsesværdige værdier ved bestemte bølgelængder, som tilbyder værdifuld information om energetiske interaktioner. Ved at observere disse skalaer, er det muligt at bestemme graden af forbindelse med andre skaleniveauer. For eksempel, kan en analyse afsløre at en individ er mere energiseret på en mikro skala end på en makro skala, hvilket indikerer mere koncentreret energi i mindre strukturer.

Visualiseringen af spiralen giver dig mulighed for at følge energivejen gennem forskellige skalaer. Ved at bevæge sig ned ad spiralen og observere værdierne på hvert niveau, er det muligt at forstå hvordan energi evoluerer over tid. Dette er især relevant i udvidede optagelser, hvor evolution på forskellige skalaer kan studeres.

En af de vigtige aspekter af denne analyse er målrettet koherens, især hjertekoherens, som måler omfanget af hvorvidt en individuels energi er synkroniseret med elfie værdier. Disse værdier betragtes som de mest kompatible for energi transmission på alle skalaer. Cursore spiller en vigtig rolle i justeringen af disse parametre for at opnå optimal koherens.

Afslutningsvis, justering og koherens i Elfie bølge styring er komplekse men fundamentale begreber for forståelsen af energi på forskellige skalaer. Visualiseringsværktøjer og cursore tilbyder uvurderlig hjælp til navigering og optimering af disse parametre, som bidrager til bedre energistyring og transmission.

Mere info på <https://elfie.link> eller under "Elfie" menuen i softwaren.



biocoherence.net/n82.103

13.2. Hjernebølger

Analyse af generel hjernebølgeaktivitet

I denne sektion vil vi se på den sidste fane i "Mental" grænsefladen, som vedrører hjernebølger. Denne funktion er stadig i den eksperimentelle fase. Det's vovet at sige at vi kan læse hjernebølger i et EKG, så det giver dig mulighed for at undersøge de analysespektrer i EKG'et som svarer til de forskellige hjernebølger og observere deres udvikling over tid. Når alt kommer til alt, måler vores enhed den hele krops elektriske aktivitet, men hjernebølger er på et 100x mindre kraftfuldt niveau end EKG, så det er stadig en eksperimentel algoritme.

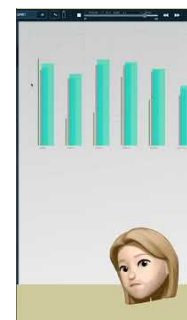
Hjernebølgeskærmen er dynamisk. Når den er i afspilning tilstand, vil du bemærke et multibåndsshow. Logikken bag denne skærm er den at jo bredere båndet er, jo længere er den periode af tid, det repræsenterer. Omvendt, et tyndere bånd indikerer en kortere periode af tid.

Her's en forklaring af de forskellige bånd:

- Det korteste bånd svarer til meget kortvarige målinger, målt på niveauet af slaget eller et par slag.
- Efterhånden som båndene bredere, repræsenterer de stadig længere perioder af tid.

Det's vigtigt at bemærke at kortvarige elementer bevæger sig meget hurtigt, mens langvarige elementer vises langsommere variationer.

Når du klikker på et bånd, vises en vurdering i bunden af skærmen med en repræsentation af den blomst du kender. Du kan bruge denne vurdering til at tilføje punkter direkte til din prioritetsliste, hvilket gør det nemmere at spore og analysere dine hjernebølger.



biocoherence.net/n82.105

For at finde ud mere

Hjernebølger er inddelt i flere kategorier, hver tilknyttet forskellige mentale tilstande og niveauer af vågenhed:

1. **Delta bølger (0.5-4 Hz):** Tilknyttet dyb søvn og regenerering.
2. **Theta bølger (4-8 Hz):** Tilknyttet dyb afslapning, meditation og den lette søvnfase.
3. **Alpha bølger (8-12 Hz):** Korreleret med en tilstand af rolig afslapning og vågen meditation.
4. **Beta bølger (12-30 Hz):** Forbundet med koncentration, vågenhed og kognitiv aktivitet.
5. **Gamma bølger (30-100 Hz):** Tilknyttet høje kognitive processer, såsom læring og hukommelse.

13.3. Drev

51 følelser, følelser og handlinger ansigt-til-ansigt, i 3 hovedgrupper og 3 undergrupper for hver.

Forståelse af Sindets Motorer og det Ubevidste Sind

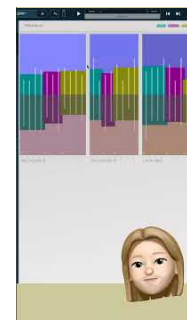
Det sidste element af sindet og den ubevidste del af scanningen vedrører motorerne. Driverne består af omkring tres følelser, som kan være enten konstruktive eller destruktive. Disse følelser er kategoriseret i tre kategorier: den **indre selv**, den **ydre selv** og **andre**.

1. Kategorier af Følelser:

- **Indre selv:** Omfatter alle følelser relateret til vores indre verden.
- **Ydre selv:** Omfatter alle følelser relateret til vores ydre verden.
- **Ogre:** Omfatter alle følelser relateret til vores interaktioner med andre.

2. Struktur af Følelser:

- Each category of emotions is divided into three subdivisions: emotion, feeling and action.
- **Følelse:** Basis for alle realisationer, den genererer så en følelse.
- **Følelse:** Stammer fra følelser og fører til handling.
- **Handling:** Det endelige resultat af følelse-følelse processen.



biocoherence.net/n82.104

3. Horisontal organisering:

- Følelser er også kategoriseret horisontalt: øverst er konstruktive følelser og nederst, destruktive følelser.
- For eksempel, er depression modsat at give slip, helbredsangst til meditativ tilstand, hjertesorg til glæde, og selv-sabotage til tilfredshed.

4. Interkonnektioner:

- Følelser kan være interkonnektet på forskellige steder. For eksempel, ro er modsat tvangsbesættelse, refleksion modsat hårdhed, og så videre.
- Ethese interkonnektioner giver vigtige informationer til meditation og selvforståelse.

5. Customization:

- Det's muligt at vælge specifikke følelser at arbejde på. For eksempel, hvis organisationen er i en lav-energi tilstand, kan du beslutte at styrke den.
- Du kan tilføje specifikke punkter, såsom den høje-energi beslutning, til din personlige arbejdsliste.

Kort sagt, forståelse og organisering af disse følelsesmæssige drivere muliggør bedre håndtering af vores følelser og handlinger, som letter mere afbalanceret og bevidst personlig udvikling.

For at finde ud mere

Følelser og følelser er interne reaktioner på eksterne og interne stimuli.

- Det indre selv omfatter selvbevidsthed, personlige tanker og følelserne.
- Det ydre selv vedrører det billede vi projicerer til andre og de adfærd vi udviser i samfundet.
- Det andre selv vedrører den måde vi reagerer på alt det ydre verden præsenterer for os.

Interaktioner med andre påvirker disse to dimensioner gennem følelsesmæssige udvekslinger og social feedback. Følelser som glæde, sorg, vrede og frygt former vores oplevelser og handlinger, som igen påvirker vores opfattelse af os selv og andre. En bedre forståelse af disse dynamikker kan forbedre følelsesmæssig intelligens og interpersonelle relationer.

Her er en detaljeret beskrivelse af hver følelse:

1. **Agilitet:** Evnen til hurtigt og effektivt at tilpasse sig til forandringer.
2. **Helbredsangst:** Overdreven bekymring for ens egen sundhed eller den for andre.
3. **Benevolens:** Holdning af venlighed og medfølelse overfor andre.
4. **Heartbreak:** Dyb følelse af sorg og følelsesmæssig smerte efter et tab eller skuffelse.
5. **Ro:** En tilstand af tranquility og indre fred.
6. **Karakter:** Evnen til at tiltrække, charme og påvirke andre.
7. **Koncentration:** Evnen til at opretholde opmærksomhed på en specifik opgave eller mål.
8. **Selvtillid:** En følelse af sikkerhed og tryghed i ens egne evner eller dem af andre.
9. **Overvejelse:** Omsorg og respekt for følelserne og behovene hos andre.
10. **Mod:** Evnen til at møde frygt, smerte, fare eller usikkerhed.
11. **Decision:** Evnen til at træffe valg med beslutsomhed og vilje.
12. **Depression:** En langvarig tilstand af sorg, fortvivelse og tab af interesse for livet.
13. **Vilje:** Beslutsomhed til at forfølge mål på trods af forhindringer.
14. **Eufori:** Intens følelse af glæde og spænding.
15. **Elokution:** Evnen til at udtrykke sig klart og effektivt.
16. **Emotionel ustabilitet:** Overdreven og uforudsigelig variabilitet af følelser.
17. **Empati:** Evnen til at forstå og dele andre's følelser.
18. **Erratisk humør:** Hyppige og uforudsigelige ændringer i humøret.
19. **Udmatning:** Følelse af ekstrem træthed, både fysisk og følelsesmæssig.
20. **Sorg:** Intens følelsesmæssig smerte, normalt på grund af tab.
21. **Ærlighed:** Kvaliteten af at være åben og ærlige.
22. **Håb:** Positiv forventning til en bedre fremtid.
23. **Desperation:** Total tab af håb og tillid til fremtiden.
24. **Hyperemotional:** Overdreven følelsesmæssig reaktion på stimuli.
- 25.

13.4. Følelser

sorg, sikkerhed, kærlighed, sandhed, fred, velvære og tilfredshed

Kapitlet om det ubevidste er opdelt i tre hovedområder: følelser, sår og motorer. Vi vil starte med følelser.

På denne side kan du vurdere syv hovedfølelser: tristhed, sikkerhed, kærlighed, sandhed, fred, velvære og tilfredshed. Du kan også følge deres udvikling. Ved at klikke på søjlerne, kan du visualisere biomarkøren i sin blomsterform, som viser dens interne dynamik og forbindelserne mellem disse følelser. Her igen repræsenterer grafen vurderingen på forskellige horisonter, hvor de bredeste søjler er dem for den længste periode, og de tyndeste søjler er dem for den korteste periode.

Denne analyse er teknisk meget forskellig, og baseret på forskellige data, fra dem der findes i Drives. Det er derfor interessant at sammenligne dem.

1. **Tristhed:** En følelse af nød eller melankoli forårsaget af tab, fiasko eller skuffelse. Det manifesterer sig ofte som gråd, mangel på energi og tilbagetrækning.
2. **Sikkerhed:** En følelse af beskyttelse og fravær af fare. Det genererer tillid og roen, som giver os mulighed for at føle os sikre mod fysiske eller emotionelle trusler.
3. **Kærlighed:** Dyb følelse af kærlighed og tilknytning til en person, et dyr eller en aktivitet. Det oversættes til ømmende gester, positive tanker og et ønske om nærhed.
4. **Sandhed:** En følelse af ærlighed og autenticitet. Sandhed bringer klarhed og gennemsigtighed til forhold og situationer, og undgår forvirring og bedrag.
5. **Peace:** En tilstand af rolig og indre harmoni. Fred manifesterer sig i fraværet af konflikter, stress og angst, og fremmer afslapning og generelt velvære.
6. **Velvære:** En generel følelse af sundhed, komfort og fysisk og mental tilfredshed. Det omfatter aspekter som sundhed, følelsesmæssig balance og personlig opfyldelse.
7. **Tilfredshed:** Følelse af tilfredshed og glæde som resultat af opfyldelsen af ønsker, behov eller mål. Det giver en følelse af opfyldelse og præstation.



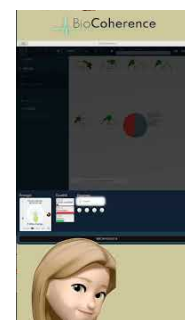
biocoherence.net/n82.115

13.5. Fokus

Stress indeks, HRV...

I denne sektion, vil vi undersøge Focus skærmen, som giver en rigdom af information som er af vigtig betydning for avanceret elektrokardiogram analyse. Disse oplysninger bruges generelt i akademiske og forskningsmæssige sammenhænge, og omfatter forskellige videnskabelige markører.

1. **STress Index:** Denne indeks blev udviklet af den russiske forsker Bevski. Den måler kroppens stressniveauer ved at bruge specifikke parametre.
2. **Adaptationsniveau:** En anden indeks udviklet i Rusland, den vurderer kroppens evne til at tilpasse sig forskellige stimuli og forhold.
3. **Total Power, Variationsfaktor og Hjertervariabilitet:** Disse markører er velkendte inden for kardiologi og bruges til at måle forskellige aspekter af hjertets funktion og stressrespons.
4. **Psyko-Emotionalt Stress:** Denne indikator vurderer den emotionelle og psykologiske påvirkning på det kardiovaskulære system.



biocoherence.net/n82.100

Dataene givet af Focus skærmen kan vises som markører for hurtig visualisering. Alternativt, kan de præsenteres i form af noter, blomster og kvalitet, der muliggør en mere detaljeret analyse.

Fokus skærmen omfatter også information om kvaliteten af opmærksomhed, intention og horisontkontroller. Disse indikatorer giver yderligere information om brugerens mentale og emotionelle tilstand.

Et interessant aspekt ved denne skærm er forholdet mellem opbygning (katabolisme) og ødelæggelse (anabolisme). Katabolisme repræsenterer energiforbrug, mens anabolisme svarer til energibesparelse. Dette forhold er dynamisk og kan variere under optagelse, hvilket afspejler den generelle respiration af levende systemer. Venligst husk at vi er et systemisk væsen og ødelæggelse er en del af den generelle bevægelse af kompression-udvidelse, ødelæggelse-genopbygning, separation-genforening, kompleksificering-forenklning. Et sundt komplekst organisme bør konstant oscillere mellem disse tilstande.

Det er af vigtig betydning at observere disse dynamiske variationer, da de indikerer udviklingen af forholdet mellem opbygning og ødelæggelse. Tilsætningen af denne evolutionære faktor giver en bedre forståelse af respirationen af biologiske systemer.

Finalt, præsenterer Focus skærmen to blomster, der repræsenterer anabolisme og katabolisme, for at give visuel information om disse processer. Disse data kan analyseres sektion for sektion eller over hele optagelsen, hvilket giver et komplet overblik over brugerens fysiologiske og psykologiske tilstand.

13.6. Musik

Musikalsk Analyse og Justering

I denne sektion, vil vi se på den anden del af tankekonceptet, som inkluderer sindet, ånden og det ubevidste. Vi vil primært koncentrere os om sindet, og især om de musikalske elementer og justering.

Musik i optagelser

Når vi analyserer sindet, begynder vi med at identificere de musikalske elementer der er til stede i optagelsen. Målet er at finde relevante musikalske samsvar. Du har to muligheder: visualisere alle de musikalske elementer eller afspille dem for at observere deres udvikling over tid.

Tynde stænger repræsenterer korttids elementer, mens bredere stænger indikerer langtids elementer. En anden interessant metrik er det generelle niveau af musikalsk harmoni i optagelsen. Efter omkring et hundrede taktslag, kan vi begynde at identificere specifikke kort-, mellemlange, lange og meget lange musikalske akkorder.



biocoherence.net/n82.102

Musikalsk justering og tilpasning

Musikalsk justering involverer at tilpasse skalaer og akkordtyper for at tilpasse de mål som meditationen har. For eksempel, hvis de nuværende akkorder er moll 7 akkorder og vi ønsker at gå videre til dur akkorder, vil denne overgang blive foretaget gradvist gennem meditationen. På samme måde, hvis vi're sigter mod en bestemt frekvens som ikke er til stede, vil vi bygge musik der gradvist udvikler sig mod den målfrekvens.

Ideen er at tage deltagerne i deres nuværende musikalske tilstand og lede dem ind i en dybere tilstand af meditation ved at bruge de melodier der er til stede i deres kroppe. Denne tilgang letter adgangen til meditation ved direkte at tale deltagerens musikalske sprog.

I korthed, musikalsk analyse og justering muliggør personalisering af guidet meditation, hvilket gør oplevelsen mere tilgængelig og effektiv for hver enkelt person.

13.7. De 2016 personlighedstyper

Jungs typer, også kendt som MBTI eller Myers-Briggs, i et helt nyt kort

Vurdering af personlighed ifølge Jungs typer

I denne sektion vil vi undersøge "Ånd" fanen for at få et generelt overblik over personlighed ifølge Jungs typer. Personlighed analyseres gennem fire hovedakser.

Personlighedsakser

Jungs typer beregnes ved hjælp af fire akser, som vi for første gang har placeret på et logisk diagram:

1. **NS (Sensation/Intuition):** Denne akse bestemmer hvordan en person behandler information.
2. **FT (Thought/Feeling):** Denne akse vurderer den måde en person behandler information, med fokus på sindet eller tanker.
3. **IE (Introversion/Extraversion):** Denne akse måler energi, og angiver om en person er udadvendt (ekstraversion).
4. **JP (Judgment/Perception):** Denne akse handler om temporal rum, og angiver om en person er kortvarigt orienteret (spontanitet).



biocoherence.net/n82.101

Jungstyper og vurdering

Jungstyper, såsom ENTP, ENTJ, ESTJ, ESTP, osv., bestemmes ifølge position på disse fire akser. For eksempel, kan en vurdering afsløre en dominerende ESTJ type.

Personlighedstype dynamik

I modsat til en statisk spørgeskemavurdering, giver denne metode os mulighed for at observere en persons ubevidste, dynamiske respons. Når vi navigerer mellem akserne, kan vi se at vurderingerne bevæger sig, hvilket indikerer at personlighedstyperne er dynamiske. Dette betyder at den individuelle kan oscillere mellem forskellige nabo typer afhængigt af situationen.

Denne non-statistiske tilgang til Jungs typer åbner op for interessante perspektiver på forståelsen af adfærd og personligheder.

Personlighedstyper i detalje

Jungs personlighedstyper er baseret på fire hovedpsykologiske funktioner: tanker, følelser, sensation og intuition, kombineret med holdningerne til ekstraversion og introversion. Dette resulterer i otte personlighedstyper:

1. **Ekstravert tænkning:** Logisk, objektiv, faktabaseret.
2. **Introvert tænkning:** Reflekterende, analytisk, uafhængig.
3. **Ekstravert følelse:** Selskabelig, varm, socialt værdi-orienteret.
4. **Introvert følelse:** Tilbagetrukket, dyb, styret af egne værdier.
5. **Ekstravert følelse:** Praktisk, realistisk, konkret-orienteret.
6. **Introvert følelse:** Kunstnerisk, følsom, orienteret mod subjektiv oplevelse.
7. **Ekstravert intuition:** Innovativ, mulighedsorienteret, fremadskuende.
8. **Introvert intuition:** Visionær, introspektiv, indsigt-drevet.

Hér's en kort beskrivelse af de 16 Myers-Briggs Type Indicator (MBTI) personlighedstyper:

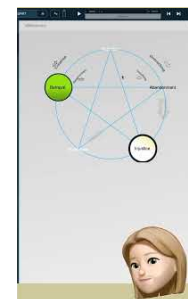
1. **ISTJ (Inspektør)** - Pålidelig, organiseret, realistisk og praktisk.
2. **ISFJ (Beskytter)** - Dedikeret, omsorgsfuld, loyal og detaljeret.
3. **INFJ (Rådgiver)** - Idealistisk, empatisk, perceptiv og inspirerende.
4. **INTJ (Arkitekt)** - Strategisk, uafhængig, analytisk og beslutsom.
5. **ISTP (Håndværker)** - Praktisk, observant, tilpasningsdygtig og logisk.
6. **ISFP (Kunstner)** - Følsom, tilbagetrukket, spontan og harmonisk.
7. **INFP (Idealist)** - Kreativ, passioneret, altruistisk og introspektiv.
8. **INTP (Logiker)** - Innovativ, nysgerrig, objektiv og uafhængig.
9. **ESTP (Entrepreneur)** - Energisk, direkte, pragmatisk og selskabelig.
10. **ESFP (Fortolker)** - Entusiastisk, spontan, varm, og underholdende.
11. **ENFP (Inspirator)** - Imaginativ, selskabelig, energisk og visionær.
12. **ENTP (Innovator)** - Genial, energisk, resourceful og intellektuel.
13. **ESTJ (Supervisor)** - Organiserende, praktisk, realistisk og besluttende.
14. **ESFJ (Konsul)** - Venlig, samvittighedsfuld, samarbejdsvillig og selskabelig.
15. **ENFJ (Lærer)** - Karismatisk, altruistisk, empatisk og motiverende.
16. **ENTJ (Kommandør)** - Visionær, bestemt, strategisk og effektiv.

13.8. De 5 sår

Forladelse, afvisning, ydmygelse, forræderi, uretfærdighed

Menneskets ubevidste sind er i høj grad påvirket af psykiske sår. Blandt disse er der fem hovedsår: afvisning, forladthed, forræderi, ydmygelse og uretfærdighed. Disse fem sår stammer fra en oprindelig model af otte sår. De interagerer på en lignende måde som de fem elementer i traditionel kinesisk medicin, hvilket skaber et komplekst netværk af gensidige påvirkninger.

At forstå, hvilke sår der i øjeblikket er aktive i os, kan tilbyde værdifulde indsigter. Ved at observere, hvordan afvisning, forræderi eller uretfærdighed nærer hinanden, kan vi få dynamiske indsigter i vores psykiske tilstand. Denne forståelse kan være en nøgle til større selvindsigt og selvforbedring.



biocoherence.net/n82.113

Oprindelse af de 5 sår

John Pierrakos, psykolog og medstifter af Institutet for Bioenergetisk Analyse i 1956, tog fat i Wilhelm Reichs arbejde om eksistentielle sår (eller narcissistiske sår) og definerede otte: forladthed, afvisning, ydmygelse, forræderi, uretfærdighed, indtrængen, magtesløshed, usikkerhed.

Lise Bourbeau tilpassede senere og forenkede teorien til fem følelsesmæssige sår, der forhindrer os i at være os selv. Ifølge hende ligger disse sår til grund for mange følelsesmæssige problemer og dysfunktionelle adfærdsmønstre. De stammer fra barndommen, ofte mellem fødslen og syvårsalderen, men fortsætter med at påvirke vores voksne liv, hvis de forbliver uhele.

1. Såret af afvisning: Dette sår dannes normalt meget tidligt, nogle gange endda før fødslen, og er ofte knyttet til en følelse af ikke at være ønsket. Mennesker med dette sår føler sig uværdige til kærlighed og undgår situationer, hvor de kunne blive afvist. De har svært ved at hævde sig selv og tage deres plads.
2. Forladthedssår: Dette opstår, når et barn føler sig forladt eller ikke støttet af dem, der står dem nær. Mennesker, der er påvirket af dette sår, har en intens frygt for ensomhed og søger konstant opmærksomhed og godkendelse fra andre. De kan blive følelsesmæssigt afhængige.
3. Ydmygelsessår: Dette udvikler sig, når et barn føler sig nedgjort eller kritiseret af forældre eller kære for sin adfærd eller handlinger. Individuer med dette sår har tendens til at føle skam og mangler værdighed. De kan også ydmyge sig selv for at forhindre andre i at gøre det.
4. Forræderisår: Dette sår opstår, når et barn føler sig forrådt af nogen, han eller hun stolede på, ofte en forælder, der ikke holder sine løfter. Mennesker med dette sår har svært ved at stole på andre og søger at kontrollere alt. De kan blive jaloux eller besiddende.
5. Uretfærdighedssår: Dette dannes, når et barn føler sig behandlet uretfærdigt, ofte af overdrevent autoritære eller kritiske forældre. Mennesker, der er påvirket af dette sår, stræber efter perfektion og kan blive stive og intolerante. De har ofte svært ved at udtrykke deres følelser.

Lise Bourbeau forklarer, at disse sår påvirker vores adfærd og den måde, vi opfatter verden på. For at helbrede er det essentielt at anerkende disse sår, forstå deres oprindelse og arbejde på at overvinde dem.

14. Test

Dette modul er dedikeret til live biofeedback-test og evaluering af testlister fra eksisterende optagelser.

Testmodulet giver dig muligheden for at udføre enhver form for live test, hvis resultatet evalueres i henhold til den øjeblikkelige variation af visse biomarkører; og til at forudvurdere enhver liste af tests i henhold til værdierne af visse biomarkører i den aktuelle Scan

Liste forudvurdering

Du kan oprette nye lister eller bruge eksisterende lister oprettet af andre brugere. Når du åbner en liste, vil alle dens punkter blive prioriteret i forhold til den aktuelt åbne rapport. Du kan derefter afkrydse, hvilke af disse du ønsker at teste live

Live testning

Først når punkterne er valgt, giver live testning dig muligheden for at præsentere dem for kunden og måle biofeedback-responsen af hans system ved at bruge sensoren. Resultatet klassificeres i 3 mulige responser: styrker systemet; svækker systemet; eller neutral Der's også en uendelig åben testmulighed, som giver dig muligheden for at teste enhver terapeutisk tilgang direkte på klienten eller på dig selv, og måle resultatet live ved hjælp af biofeedback.

14.1. Testlister

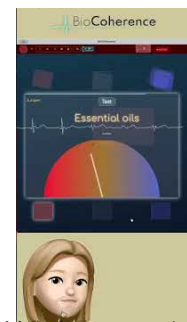
Testning med lister i BioCoherence

Håndtering og redigering af lister i din applikation

Når du arbejder med lister, har du søgefunktionalitet med nøgleord ved dine fingre. Selvom antallet af lister i øjeblikket er begrænset, er det designet til at udvide til hundredvis eller endda tusindvis af lister. Dette vil gøre det muligt for dig at redigere og håndtere dine egne test.

Test redigeringsmode

1. **Adgang til redigeringsmode:** Hvis du er på en test der tilhører dig, vises en lille blyant ved siden af testen. Klik på den for at gå ind i redigeringsmode.
2. **Redigering af elementer:** Når du er i redigeringsmode, kan du klikke på hvert element for at ændre teksten og de tilknyttede handlinger. For eksempel, kan du definere handlinger på kategorier som Ayurveda, organer, Vata, Vita, osv.
3. **Definere handlinger:** Klik på kategorier som VPK for at specificere effekter, som at øge eller formindske visse elementer (f.eks. aminosyrer, blære, blod, hjerne, øjne).



biocoherence.net/n82.112

Automatisk evaluering

Automatisk vurdering er baseret på overensstemmelsen mellem brugernes elementniveauer og de handlinger der er defineret i testene. Dette gør det muligt at rangordne elementerne på listen i henhold til de forventede resultater.

Yderligere værktøjer

1. **Tilføj og importer:** Du kan tilføje nye værktøjer eller importere en liste ved at indsætte elementer linje for linje.
2. **Administrer liste:** En mulighed er tilgængelig for at slette en liste helt.
3. **2D logik kort:** Snart vil du kunne placere elementer på et to-dimensionelt billede, hvilket gør det nemmere at visualisere og organisere testene.

Generelle listeegenskaber

Øverst i grænsefladen, kan du ændre de generelle egenskaber:

- Listekategori
- Synlighed (offentlig eller privat)
- Adgang (gratis eller betalt)

Betalte lister kan gøres offentlige så andre brugere kan få adgang til dem mod et gebyr, enten engangs eller via et månedligt abonnement. Dette giver dig mulighed for at dele din viden og få betaling for det.

Håndtering af uautoriserede lister

Hvis du arbejder på en liste som du ikke ejer, kan du duplicere den. Duplicering giver dig mulighed for at oprette en redigerbar kopi hvor du kan ændre titlen, beskrivelsen og handlingerne.

Adgang til lister

Fra den generelle menu, som er tilgængelig på højre side af skærmen, kan du navigere til "Mine lister" for at redigere dine eksisterende lister eller oprette nye. Denne funktion er tilgængelig fra enhver skærm, inklusive startskærmen.

Ved at følge disse instruktioner, vil du være i stand til at håndtere dine lister og test effektivt, mens du udnytter de forskellige redigerings- og organisationsmuligheder tilbydes af applikationen.

Introduktion til Liste-baseret testning

Liste-baseret testning i BioCoherence er et helt åbent system, som giver brugerne mulighed for at vælge eksisterende lister, oprette nye lister, eller duplicere eksisterende lister for at dele med andre brugere.

Hvad er en liste?

En Testliste er en samling af poster, for eksempel, aromatiske urter eller æteriske olier. Når en liste åbnes i en rapport med en optagelse tilgængelig, bliver hver post evalueret og prioriteret. Procenter angiver kompatibiliteten af poster med optagelsen, der strækker sig fra 0% til 100%.

Farvekoder

- **Green:** Meget relevant, høj kompatibilitet (f.eks. 85%)
- **Other colors:** Forskellige gradationer af kompatibilitet (f.eks. 40% for en intermediær serie)
- **Violet:** Lav kompatibilitet (20-30%)
- **Gray:** Neutral eller næsten nul kompatibilitet (omkring 0%)
- **Red:** Inkompatibilitet eller negativ respons

Live test

Efter en forudvurdering, den anden del består af en live test. Her er de trin du skal følge:

1. **Vælg elementer:** Vælg de elementer der skal tests individuelt.
2. **Forbind til Sensor:** Forbind sensoren til kalibrering.
3. **Kør tests:** Tests køres én for én, der sender visuel, lyd eller andre informationer til den person der bliver testet.
4. **Observation:** Personen skal se eller høre den information der bliver testet for en præcis vurdering.
5. **Evaluering:** Systemet klassificerer kroppens reaktioner i henhold til den information der præsenteres.

Resultater visning

Ved slutningen af testen, bliver resultaterne genpræsenteret og klassificeret som følger:

- **Successful test:** God kropsreaktion
- **Afgørende test:** Blandet reaktion
- **Inkonklusiv test:** Negativ eller inkonsekvent reaktion

Vigtigheden af præsenteret information

Det er afgørende at præsentere så meget information som muligt om de testede elementer (f.eks. billeder, detaljer om de systemer hvorpå de æteriske olier virker) for at opnå et intuitivt og målbart respons fra kroppen via biofeedback-systemet.

Integration af resultater i rapporten

Testresultaterne vises i rapporten, som kun viser elementer med gode eller gennemsnitlige reaktioner, og ekskluderer de der bliver afvist. Rapporten inkluderer:

- **Kompatibilitetsprocent:** Beregning baseret på den indledende scanning
- **Ubevidst kropsrespons:** Målt når information præsenteres

15. AI i BioCoherence

BioCoherence bruger de nyeste topmoderne teknologier indenfor kunstig intelligens (AI) til at facilitere forståelse, brug og analyse på en sammenhængende og fuldt integreret måde.

- **AI hjælpere** er i stand til at forklare, analysere, teste og handle på prioriteter. Mere end 30 specialiserede assistenter kan modtage biomarkørværdier og åbne en simpel chat med brugeren eller Pro.
- For Pro'er, er **oprettelsen af listepunkter** accelereret takket være hjælp til at skrive meditationsdele, automatisk identifikation af handlinger, produkt ingredienssøgninger....
- BioCoherence integrerer tusindvis af eksklusive algoritmer forbundet til BioFeedback og biomarkører, nogle af dem er blevet opnået med hjælp af dyb læring og kunstig intelligens.

15.1. AI Hjælpere

En af de mest spændende udviklinger i BioCoherence er introduktionen af AI Helpers. Disse AI-drevne assistenter er designede til at hjælpe brugere med at navigere i den store mængde af information inden for appen, hvilket gør det lettere at forstå og udnytte dataene fra deres biofeedback scanninger.

AI Helpers i BioCoherence er designede til at forbedre brugeroplevelsen ved at tilbyde skræddersyet vejledning, forklaringer og programskabelse baseret på brugerdata. Disse AI-moduler reducerer læringskurven for nye brugere og tilbyder professionelle en måde at strømligne klientinteraktioner. AI Helpers kan operere i to forskellige tilstande afhængigt af konteksten for deres brug:

1. Uden en optagelse: Brugere kan chatte med AI'en for at oprette et grundlæggende program baseret på deres behov. Fra forsiden: Brugere kan interagere med AI'en for generel vejledning uden at linke til specifikke biomarkører.
2. Med en åben optagelse: AI Helpers analyserer brugerens biomarkører og giver indsigt eller anbefalinger baseret på de optagede data.



Vigtige funktioner

AI Helpers fungerer som en virtuel klinik, med specialiserede assistenter der fungerer som sygeplejersker og supportpersonale for både generelle brugere og professionelle praktikere. Disse AI assistenter kan:

- Læse og fortolke biomarkører fra dine scanninger og scanningerne fra dine klienter.
- Vise specifikke biomarkører og fortolke deres værdier.
- Spille harmoniske boosts for at hjælpe med at balancere din energi.
- Modificere dine prioriteter baseret på dine sundhedsdata og diskussionen.
- Tilføje elementer til din harmoniske boost liste for personlig healing.
- Anmode om og analysere nye tests i real-time.
- Give forklaringer og råd til forskellige biomarkører og testresultater.
- Redirekte klienter til professionelle konsultationer når det er nødvendigt.

Dette betyder at brugere kan interagere med AI'en for at opnå dybere indsigt i deres sundhed, stille spørgsmål om deres resultater, og endda modtage anbefalinger til handlingsorienterede indsigter, meditation, urtemedicin og mere:

- **Skræddersyet Assistance:** Hver AI Helper specialiserer sig i et specifikt område, såsom naturmedicin, traditionel kinesisk medicin (TCM), essentielle olier eller meditation. Der er i øjeblikket mere end 25 AI Helpers. De modtager et kurateret udvalg af biomarkører relevant for deres ekspertise, specifikke udførmede prompts, specifik viden og træning, specifikke lister og listepunkter, specifik yderligere information og specifikke evner.
- **Basic Program Creation:** Brugere kan oprette personlige programmer ved at diskutere deres behov med AI'en. Disse programmer gemmes i sektionen "Basic Programs" og kan startes med det samme.
- **Language Support:** AI Helpers understøtter flere sprog, så brugere kan interagere på deres modersmål. Systemet er designede til at håndtere flersprogede forespørgsler effektivt.

- Customizable Access: Professionelle kan kontrollere hvilke AI Helpers der er tilgængelige for deres klienter og hvilke data de kan tilgå. Dette sikrer at AI'en opererer inden for de grænser der er sat af den professionelle.

AI er designede til at anerkende dets begrænsninger, så brugerne opfordres til at søge professionel vejledning når det er nødvendigt.

AI Helpers for Professionals

For praktikere, tjenestegør AI Helpers som intelligente assistenter der kan:

- Hjælpe med at forklare komplekse biomarkører til klienter.
- Suggestere yderligere tests baseret på klientdata.
- Anbefale meditationsteknikker eller urtemedicin.
- Lettere forklaringsprocessen ved at give udvalgte AI Helpers til klienten med evner til at forklare men ikke ændre Pro's beslutninger.

Når en Pro arbejder på en klients journal, modtager AI Helper klientdataene og fungerer som Pro's assistent.

Adgang til AI Helpers

AI Helpers kan tilgås fra:

- Forsiden: For generel vejledning eller oprettelse af grundlæggende programmer.
- En åben optagelse: For at analysere og forklare specifikke biomarkører, for at give detailed indsigt i analysen.

AI Helper Brugsager

Oprettelse af et grundlæggende program:

- Naviger til AI Helpers-sektionen fra forsiden.
- Vælg en AI Helper (f.eks. Søvncoach, Meditationsguide).
- Engager i en samtale for at beskrive dine behov (f.eks. "Jeg føler mig stresset og har brug for hjælp til at slappe af").
- AI'en vil generere et skræddersyet grundlæggende program og gemme det i din "Basic Programs" sektion.

Forklaring af biomarkører:

- Åbn en optagelse og naviger til AI Helpers-sektionen, under "Konklusioner".
- Vælg en AI Helper relevant for de biomarkører du ønsker at udforske (f.eks. TCM praktiker for meridianer).
- AI'en vil give detailed forklaringer og anbefalinger baseret på dine biomarkører beregnet i optagelsen.

Eksempel: Specialiseret te eller essentielle olieblandinger. Brug Herbalist eller Essential Oil Expert AI Helper. AI'en vil analysere de relevante biomarkører og foreslå en specialiseret te blanding eller opskrift på essentielle olier.

AI Helper Begrænsninger

- AI Helpers kan ikke ændre optagelser eller analyse resultater. De er designede til at forklare og give vejledning baseret på eksisterende data.
- Det indledende sæt af biomarkører der gives til hver AI Helper er begrænset til deres domæne af ekspertise. Dog kan AI'en anmode om yderligere biomarkører under samtalen hvis nødvendigt.

Avancerede Funktioner

Resumé og Rapport Integration:

- Ved slutningen af en samtale genererer AI Helper et resumé af diskussionen.
- Professionelle kan vælge at inkludere dette resumé i klientens PDF rapport til fremtidig reference.

Feedback og Ratings:

- Efter hver interaktion, kan brugerne vurdere AI Helper's nytte og succes i at besvare deres forespørgsel. Denne feedback hjælper med at forbedre AI'ens ydelse.

Customizable AI Access for Clients:

- Professionelle kan aktivere eller deaktivere specifikke AI Helpers for deres klienter.
- De kan også kontrollere om klienter har adgang til funktioner som den personlige guide, harmoniske boosts, eller den fulde rapport.

Tekniske Noter

- AI Helper

16. Balance

Ressourcer og prioriteter; rapportering, meditationsgenerering og frekvenser.

Disse skærme muliggør selvidentifikation og ændring af ressourcer og prioriteter, generering af en PDF rapport, og oprettelse af omfordelingsværktøjer såsom vejledte meditationer, specifikke frekvenser...

16.1. Prioriteter

Definer de nøgleelementer der skal tages højde for efter analyse

Balanceringssektionen handler om handlinger der skal tages når analysen er færdig og målene er klare, eller når enheden er pålidelig til at bestemme krav automatisk.

Prioriteter

Definition og Formål: Prioriteter er de elementer der er identificeret af appen som behøver opmærksomhed eller intervention. Disse er de områder hvor brugerens sundhed kan være kompromitteret og kræver støtte fra de identificerede ressourcer (se næste kapitel om ressourcer).

Udvælgelsesproces: Appen vælger automatisk prioriteter baseret på en algoritme der vurderer forskellige biomarkører. Brugere kan undersøge yderligere potentielle prioriteter inden for hver kategori og tilføje dem efter behov, enten ved at klikke på "udforsk" for at få en forudvalg af interessante biomarkører, eller ved at gennemse alle skærme og vælge interessante prioriteter.

Kategorier: Ligesom ressourcer, bliver prioriteter kategoriseret i forskellige grupper, inklusive organer, følelser, og energetiske punkter. Brugere kan undersøge disse kategorier for at identificere yderligere fokusområder.

Customization: Brugere kan tilføje eller fjerne prioriteter fra listen, hvilket giver en tilpasset tilgang til deres sundhedsrejse. Det anbefales at holde antallet af prioriteter håndterbare (15-20) for at opretholde fokus og effektivitet.



biocoherence.net/n82.107

Kør genberegninger for at optimere systemet.

For at genstarte prioritets- og ressourceberegninger, klik på det relevante ikon i det øvre højre hjørne af hjemmeskærmen. Start med at identificere ressourcerne, som vil muliggøre at systemet automatisk genidentificerer alle nødvendige ressourcer. Dernæst, identificer prioriteter ved at klikke på den svarende mulighed, som automatisk tilføjer de prioriteter der er identificeret af systemet. Du kan også klikke på "tilføj" og "auto identificer prioriteter" i Prioriteter skærmen; det vil kun tilføje nye prioriteter til din nuværende udvælgelse, ikke fjerne dem.

Waveform analyse er et krævende trin i logisk evolution. Du kan genberegne biomarkører, links, prioriteter og identificere ressourcer i henhold til dine behov. Hvis du møder problemer med at tilgå en fuld rapport, kan du altid genberegne den.

Vis og ændre prioriteter

I prioritetssektionen, viser systemet alt identificeret som relevant. Du kan ændre disse prioriteter ved at slette dem eller tilføje nye. For at tilføje en prioritet, klik på "Tilføj" og vælg de interesserede elementer fra de forskellige kategorier der tilbydes, såsom organer, meridianpunkter eller TCM (Traditionel Kinesisk Medicin) opskrifter.

Du kan også rydde listen over prioriteter ved at slette dem der ikke længere er nødvendige. Prioritetsredigering bruger den samme grænseflade på alle systemets sider, men her grupperes alle de prioriteter du har defineret.

Endelig, kan du tilføje kommentarer til prioriteterne. Disse kommentarer vil blive integreret i den endelige rapport, som giver yderligere kontekst for hver identificeret prioritet.

Du kan tilføje eller fjerne prioritetsgenstande fra enhver side, ved at klikke på ikonet til højre for den relevante blomst. Hvis dette ikon er grønt, er biomarkøren til stede i prioriteterne; hvis det er rødt, er det ikke.

16.2. Ressourcer

Søjlerne, som man solidt kan harmonisere på

Før vi udforsker ressourcer, vil Christine Degoy dele nogle indsigter om hendes forskning, da dette er et nøglefokus:

"Vi har udviklet en kultur--et nyt mindset--om at engagere os med problematiske systemer. Ti års terapiarbejde og forskning med klienter afslørede oprindeligt en sammenhæng inden for hvert væsen. Denne naturlige resonans er af vigtig betydning, da den hjælper med at udforske det fulde spektrum af problemer. Det er den letteste måde at etablere dybe interne forbindelser, der fremmer en positiv kontagion som forstærker sammenhængen i systemet. Denne tilgang giver individer mulighed for at hele og vokse internt, respekterende deres krops naturlige orden. Vi kalder dette 'vejen til ressourcerne,' en åben dør til muligheder. Ressourcer er de mest sammenhængende og kraftfulde dele af vores væsen, svarende til en superkraft, vi har udviklet gennem vores liv. Begrebet livstidsressourcer vil til sidst blive en del af vores livsmissioner modul. Selv et enkelt organ, meridian, akupunkturpunkt, chakra, følelse osv. kan være en kraftfuld ressource, der bidrager til en glad kontagion der justerer vores liv og krop. " -- Christine Degoy



biocoherence.net/n82.108

Efter at have set på prioriteter - de vigtige elementer, der skal tages hånd om for en person på ethvert givet tidspunkt - vil vi gå videre til ressourcer. Ressourcer, repræsenteret ved et lille billetikon med en stjerne, er de "stjerne" elementer af kroppen. De er de som overfløder med energi, er ekstremt stabile og som kroppen kan regne med for at distribuere energi til prioriteter gennem hele helingsprocessen.

I appen er der udviklet en sofistikeret algoritme til at beregne en ressourcescore for hver biomarkør. Denne score identificerer de mest energetiske og stabile elementer, hvorved prioriteter for forbedring fremhæves. Den overvejer forskellige faktorer, som f.eks. et elements stabilitet, energi og forbindelse, hvilket resulterer i den ressource side, du ser nu.

En detailed forståelse af ressourcerne og prioriteterne inden for BioCoherence appen giver brugerne en klar vej til at udnytte deres indre styrker og tage hånd om områder af behov for forbedret sundhed og velvære.

Ressourcer bliver automatisk identificeret efter en optagelse, tak til en algoritme udviklet til at tage hensyn til alle tilgængelige elementer. Det er dog muligt at ændre disse ressourcer manuelt hvis nødvendigt. For eksempel, når man tilgår organer sektionen, hvis neurotransmittere bliver identificeret som den primære ressource, er det muligt at klikke på dem for at se et valg af andre stærke ressourcer.

De tilgængelige ressourcer af denne familie bliver derefter rangordnet i omvendt rækkefølge af vigtighed, fra den stærkeste til den svageste. Hvis du foretrækker at arbejde med en anden ressource, for eksempel tungen i stedet for neurotransmittere, eller trachea, eller cellekerner i neuroner, skal du bare klikke på den ønskede ressource for at vælge den. For bedre at forstå, hvad hver ressource svarede til, kan du klikke på blomstikonet for at se forbindelserne og træffe et mere informeret valg.

Disse ressourcer vil derefter blive brugt i de forskellige faser af reharmonisering.

En kort præsentation af Ressourcer

Vores tilgang introducerer et paradigmeskift for at tage hånd om problematiske systemer. Oprindeligt opdaget gennem terapeutiske praksisser, fremhæver denne metode sammenhængen inden for et individ. Denne naturlige resonans mellem terapi og personlig sammenhæng tjener som et fundament for at tage hånd om bredere problemer. Tilgangen fremmer intern forbindelse, der fører til en 'glad kontagion' som forstærker personlig helbredelse og empowerment uden eksterne protokoller. Denne metodologi, benævnt 'vejen til ressourcerne,' respekterer komplekse systemer og fremmer synergi.

Ressourcer bliver identificeret som de mest sammenhængende og kraftfulde aspekter af kroppen, svarende til iboende superkræfter. For yderligere at udvide forståelsen af ens personlige rejse, vil fremtidige opdateringer inkludere livsmissioner, som er en udvidelse af Christines forskning.

A bestemt organ, for eksempel, kan være en vigtig ressource, der potentielt diffunderer kraft og sammenhæng i hele kroppen. Appen benytter en avanceret algoritme til at beregne en ressourcescore for hver biomarkør, som identificerer optimale ressourcer og prioriteter. Algoritmen vurderer energi, stabilitet og forbindelse, og overvejer styrken eller svagheden af disse forbindelser, hvilket resulterer i en omfattende ressource side.

Ressourcer og Prioriteter i BioCoherence

Oversigt

BioCoherence appen giver en omfattende analyse af brugerens fysiologiske og energetiske tilstand gennem en detaljeret scanning. Ved afslutningen af den indledende scanning præsenteres brugerne for to vigtige komponenter: Ressourcer og Prioriteter. Disse elementer er væsentlige for at fortolke scanningsresultaterne og lede brugeren mod optimal sundhed og velvære.

Ressourcer

Definition og Formål: Ressourcer i BioCoherence appen henviser til de mest sammenhængende, stabile og energisk kraftfulde elementer inden for brugerens krop. Disse elementer bliver identificeret som brugerens iboende styrker eller "superkræfter" der kan udnyttes til at understøtte helbredelse og balance.

Beregning: Appen benytter en sofistikeret algoritme til at bestemme ressourcescoren for hver biomarkør. Denne score overvejer faktorer som energikilder, stabilitet og forbindelse til andre elementer. De højeste scorende elementer bliver identificeret som ressourcer.

Kategorier: Ressourcer bliver kategoriseret i ti grupper, herunder:

- Organ grupper (f.eks. Ayurveda-baserede grupper)
- Individuelle organer
- Atomer
- Meridianer
- Momentum (dynamiske tilstande)
- Drives (følelser)
- Organismer (symbiotiske eller parasitære)
- TCM punkter
- Ayurvediske subdoshas
- Chakraer

Customization: Brugere kan acceptere appens automatiske udvælgelse af ressourcer eller manuelt justere dem baseret på personlig resonans eller terapeutiske mål. Denne til

16.3. PDF rapport

Generer, eksportér PDF, print og del resultater

Kapitel: Generering og håndtering af rapporter med Balance

Den tredje nøglefunktion i Balance er generering af rapporter. Denne funktion giver dig mulighed for at oprette en PDF fil med alle de oplysninger som er beholdt under brugen af applikationen.

PDF rapports indhold

Den genererede PDF rapport inkluderer:

- Projektsektioner og varighed
- Skrevne kommentarer
- Identificerede ressourcer
- Prioriteter defineret
- Mest energetiske eller mindst energetiske organer
- Mest eller mindst agiterede organer
- Organer i koherens
- Meridianer
- Traditionelle kinesiske medicin (TCM) opskrifter
- osv.

Rapporttilpasning

Du kan tilføje eller fjerne sektioner fra rapporten. For at gøre dette, tilgå sektionstyperne og brug de tilgængelige værktøjer til at tilpasse rapporten til dine behov.

Rapportdeling og gemme

PDF rapporten kan deles direkte via flere kanaler:

- **Direkte deling:** Brug delingsboksen til at sende rapporten via WhatsApp, SMS eller messenger.
- **Gemme:** Klik på "PDF Fil" for at gemme rapporten. På en computer, kan du gemme den direkte til din harddisk. På en telefon eller tablet (iPad), vil den blive gemt i dine filer.
- **Udskriv:** Klik på "Udskriv" for at udskrive rapporten. På en computer, vil dette åbne udskrivningsdialogboksen. På en telefon, vil udskrivningsmuligheden vise sig hvis en kompatibel printer er tilgængelig på dit netværk.

PDF rapporten beholder alle de oplysninger der er indtastet, herunder eventuelle kommentarer tilføjet i de forskellige sektioner. Denne funktion sikrer at alle vigtige data er centraliseret og let tilgængelige for fremtidig brug.

16.4. Balance: Meditationer, lyde og værktøjer

guidedede meditationer, frekvensgenerering, og tidskrystal opløsning. På dette stadium, bliver dette modul forberedt og vil blive udviklet over de kommende måneder.

Balancering med personlige guidede meditationer

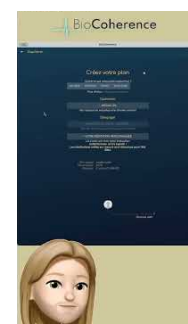
"Balancering" sektionen er en vigtig del af værktøjet, dedikeret til oprettelsen af guidede meditationer eller lydfileer der integrerer de frekvenser der kræves for hver individ. Princippet er baseret på en progressiv tilgang, sammenlignelig med afskalning af en lyd: de problemer der er tættere på os er de letteste at håndtere, mens dem der er længere væk kræver mere grundig behandling. Denne proces udføres trin for trin, efter en ideel vej defineret for at gå gennem de forskellige prioritets elementer i en specifik rækkefølge.

Meditationsparametre

1. **Meditationshastighed:** Afhængigt af de parametre der registreres under optagelse, bestemmes den hastighed hvorved en person går ind i meditation.



biocoherence.net/n82.109



biocoherence.net/n82.110

2. **Personlighedstype:** Denne faktor påvirker konstruktionen af meditationen.
3. **Musik:** Akkorder og en generel skala bliver identificeret for at starte på personens niveau.

Udvalgte ressourcer

Ressourcer er designet til at udnytte de mest kraftfulde elementer i hver kategori. Relevante ressourcer bliver kaldt hver dag for at imødekomme dagens prioriteter.

Prioritetsvalg

For hver type af prioriteter der vælges, inkluderes en række af meditationer. Disse serier indeholder forskellige typer af guidet meditation tilpasset forskellige profiler. Applikationen bestemmer den mest passende guidede meditationer at starte med, efterfulgt af en anden del baseret på frekvenser eller stemmer der genereres i henhold til de prioriteter der skal adresseres og de ressourcer der skal trækkes på.

Optagelse og opfølgning

Når en personlig vejledning er blevet designet, kan den gemmes på brugerens konto. Hvis den er lavet af en Pro, kan brugerne derefter installere BioCoherence applikationen, indtaste deres e-mail adresse og få adgang til deres personlige meditation. Det er også muligt at genvurdere regelmæssigt før hver meditationssession gennem appen. Genvurderingen beder dig om at registrere sensoren og forbinder den til en ny vurdering.

Fremdriftsovervågning

Fremdrift vises i form af kurver der svarer til hver prioritet, hvilket gør det muligt at visualisere fremdrift og punkter der stadig skal adresseres. Andre sporingsmetoder er også tilgængelige, som f.eks. indledende og opfølgning spørgsmål, rgeskemaer.

Plan og varighed

Når planen er blevet udarbejdet og den personlige meditation er oprettet, er den tilgængelig på brugerens profil. Brugeren kan blive inviteret til at installere applikationen via e-mail for at starte den guidede meditation direkte. En komplet balanceringsession er planlagt til at vare i tre uger.

A detaljeret vejledning: Brug Harmonic Boost og Personal Guide i BioCoherence

Harmonic Boost og Personal Guide er to nøglefunktioner i BioCoherence appen der giver brugerne mulighed for at engagere sig med deres personlige frekvensprogrammer. Disse værktøjer hjælper brugerne med at integrere bioaktive frekvenser i deres daglige rutine, som understøtter deres energetiske og fysiologiske balance. Denne sektion giver en detaljeret vejledning i hvordan man bruger disse funktioner effektivt, herunder bedste praksis for forskellige scenarier.

1. Harmonic Boost

Hvad er Harmonic Boost?

Harmonic Boost er et frekvensbaseret værktøj der afspiller alle valgte prioriteter samtidigt. Det er designet til at give en kompleks, holistisk energetisk harmonisering på kort tid.

Hvordan bruger man Harmonic Boost

- Adgang til Harmonic Boost:
 - Åbn BioCoherence appen.
 - Naviger til din aktive optagelse (det er i midten af din hjemmeskærm), eller vælg en optagelse i din liste.
 - Klik på Harmonic Boost for at begynde at afspille frekvenserne.
- Afspilning af Harmonic Boost:
 - Harmonic Boost afspiller alle valgte prioriteter samtidigt. Du kan også filtrere efter energi, krop og sind; programmer med høj prioritet; programmer med protokoller; osv. Filtrere programmer hvis du kun ønsker et energetisk boost, for eksempel, eller hvis du er i humør til at adressere dine dybere problemer ved kun at filtrere programmer med protokoller.
 - Det kan afspilles i baggrunden mens du udfører daglige aktiviteter. Volumen kan være meget lavt.
 - Det anbefales at bruge hovedtelefoner eller eksterne højttalere for bedre resonans. Du kan endda bruge in-ear hovedtelefoner i din lomme der vil afgive et lille elektromagnetisk felt til din krop med de inkluderede bioaktive frekvenser. På den måde, behøver du ikke at lytte til frekvenserne: dit energetiske felt, krop og sind vil registrere dem elektromagnetisk.
- Eksportering af Harmonic Boost:
 - Brugere kan eksportere Harmonic Boost som en MP3 fil til offline brug.
 - På Mac, iPhone, iPad og Android, kan filen gemmes eller deles direkte via SMS, AirDrop, WhatsApp, eller e-mail.
 - På Windows, skal filen gemmes manuelt og derefter deles.
- Bedste praksis:
 - Daglig brug: Afspil Harmonic Boost en eller to gange om dagen.
 - Passiv lytning: Det kan afspilles ved et lavt volumen i baggrunden.
 - Fokuserede sessioner: For dybere effekter, lyt i et stille miljø, med minimal forstyrrelse.

2. Personal Guide

Hvad er Personal Guide?

Personal Guide er en guidet meditation der integrerer personlige frekvenser med stemmevejledning. Den hjælper brugerne med at fokusere på deres energetiske og fysiologiske balance gennem struktureret visualisering og afslapningsteknikker. Målet med denne vejledning er at integrere fokuseret helende bevidsthed i dit daglige liv.

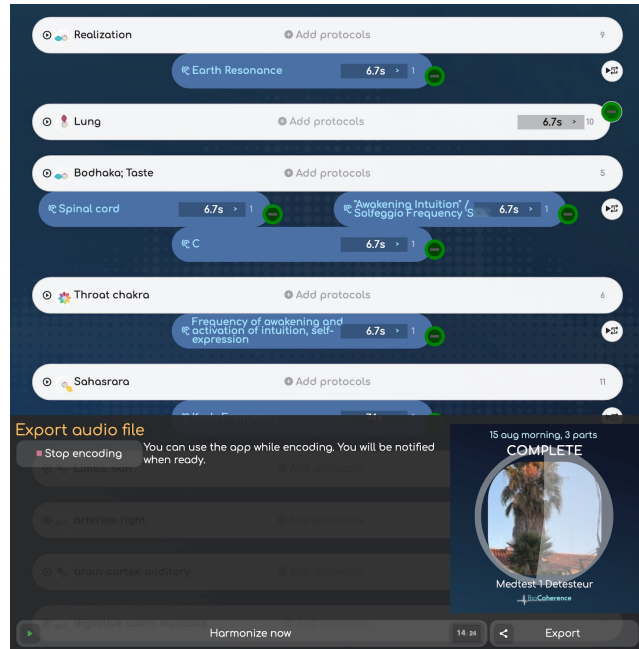
16.5. Harmonisk Forstærkning

Harmonic Boost-funktionen i BioCoherence er designet til at forbedre effektiviteten af meditationer og frekvensbaseret harmonisering ved at integrere specifikke **frekvenser**, der er skræddersyet til brugerens behov og specifikke **protokoller**. Denne funktion giver brugerne mulighed for at stimulere og korrigere forskellige biomarkører ved hjælp af en kombination af forudindstillede og individualiserede frekvensprogrammer.

Elementfarver og deres funktioner

Harmonic Boost-grænsefladen består af forskellige farvede elementer, hvor hver enkelt tjener et specifikt formål:

- Hvide elementer: Disse repræsenterer **systemiske harmoniseringer**, der er knyttet til en specifik biomarkør. De er forudberegnete frekvenssæt, der er forbundet med specifikke organer, akupunkturpunkter, belastninger (f.eks. geopatisk stress) eller andre biomarkører. Disse frekvenser er faste og ændres ikke baseret på individuelle analyse-resultater.
- Blå elementer: Disse repræsenterer korrigerende protokoller. De er individualiserede og beregnes lokalt på brugerens enhed. Disse frekvenser vælges baseret på brugerens specifikke behov og er designet til at modvirke disharmonier, der er blevet opdaget i analysen.
 - Mørkeblå elementer: Disse er bioaktive individuelle frekvenser eller samlinger af frekvenser (frekvens-spektre), som kan afspilles elektrisk eller akustisk.
 - Lys blå elementer: Disse er binaurale beats, der er designet til at få meget lave frekvenser til at blive hørt akustisk og træne hjernen til specifikke ændrede bevidsthedstilstande. De fungerer ved at spille to let forskellige frekvenser i hvert øre, hvilket skaber en beatfrekvens i hjernen, der stemmer overens med den ønskede terapeutiske effekt.



Handlingsmode og funktionalitet

Forudberegnete frekvenser

- Alle biomarkør harmoniseringsfrekvenser (hvide elementer) er forudberegnete og gemt både lokalt og i skyen. Dette sikrer glat afspilning uden at kræve realtidsberegning, selv på lavere enheder.
- Den samme forudberegningproces vil blive anvendt på blå elementer (som er meget individualiserede) på nødvendige tidspunkter, direkte på brugerens enhed, hvilket eliminerer glitches og forbedrer ydeevnen.

Realtidsberegning for individualiserede protokoller

- Når en bruger tilføjer en protokol (blå elementer), beregner systemet de nødvendige frekvenser lokalt inden afspilning.
- Dette sikrer, at frekvenserne er skræddersyet til brugerens specifikke behov, samtidig med at optimal ydeevne opretholdes.

Simultant frekvensafspilning

- Harmonic Boost-systemet afspiller fire frekvenser på én gang.
- Hvis kun hvide elementer er valgt, afspilles fire frekvenser fra biomarkør harmoniseringssettet.
- Hvis både hvide og blå elementer er valgt, balancerer systemet dynamisk afspilningsfrekvenserne mellem biomarkør harmonisering og korrigerende frekvenser.

Det faktum, at frekvenserne spilles sammen, muliggør en målrettet handling af protokoller ved at etablere en direkte bro til det valgte system via resonanseffekten og tilføje protokolfrekvenserne for at opnå effekten af en rettet laser, der målretter protokollen specifikt mod systemet.

Binaural beat-integration

- Når en binaural beat (lyseblåt element) er inkluderet, blandes det med en af biomarkørfrekvenserne.
- For eksempel, hvis en geopatisk stressfrekvens er 100 Hz, og en binaural beat er 8 Hz, vil systemet afspille 100 Hz i det ene øre og 108 Hz i det andet, hvilket skaber en 8 Hz beat i hjernen.

Varighed og timing

- Den standard varighed for hver frekvenscyklus er 6,73 sekunder, som er et multiplum af Planck-tid til den gyldne ratio (ϕ).
- Hvert hvidt eller blåt program består af flere cyklusser, der typisk varer mellem 10 og 150 sekunder (med nulstillingscykler af 6,73 sekunder).
- Brugere kan justere varigheden af et program for at gøre det kortere eller længere, afhængigt af deres behov.
- Det komplette program kan eksporteres som en enkelt lydfil, og delmængder kan eksporteres direkte for at adressere specifikt energi, krop, sind eller de elementer, der har mest brug for opmærksomhed, for eksempel.

Tilpasning og eksport

Tilføjelse af protokoller

- Brugere kan manuelt tilføje protokoller for at forbedre effektiviteten af en Harmonic Boost-session.
- Systemet giver foreslåede protokoller baseret på den valgte biomarkør, men brugere kan også søge efter yderligere protokoller. Der er mere end 2000 inkluderede protokoller, og listen opdateres regelmæssigt med nye studier.

Eksportering af MP3-filer

- Brugere kan eksportere Harmonic Boost-sessioner som MP3-filer til offline brug.
- De eksporterede filer inkluderer metadata såsom albumcovers og nøgleord, hvilket gør dem nemme at organisere i musikbiblioteker.

Praktiske anvendelser

- Personlig guideforbedring: Brugere vil høre Harmonic Boost-frekvenser i de personlige guidede meditationer for dybere afslapning og heling.
- Målrettet heling: Ved at vælge specifikke biomarkører og korrigerende protokoller kan brugere skabe personlige helingssessioner.
- Energiboost: Brugere kan skabe og gemme energiboost-frekvenssæt til hurtig adgang, når det er nødvendigt.

Harmonic Boost-funktionen i BioCoherence giver et kraftfuldt værktøj til frekvensbaseret harmonisering. Ved at kombinere forudbereggede biomarkørfrekvenser med individualiserede korrigerende protokoller kan brugerne skabe meget effektive og personlige helingssessioner. Muligheden for at eksportere og spille disse sessioner offline forbedrer yderligere tilgængelighed og brugervenlighed.

Tillæg 1.

Ofte stillede spørgsmål

Sådan får du hjælp i appen

For at bede om hjælp eller sende et forslag fra en hvilken som helst side i appen, skal du blot åbne menuen øverst til højre og klikke på "Feedback og idéer". Du kan klikke på "annotere et screenshot" for at tilføje et screenshot af den side, du aktuelt er på, og tilføje dette annoterede screenshot til din anmodning. Det er meget lettere for os at hjælpe dig så!

Hvordan får mine familiemedlemmer eller mine klienter adgang til de skræddersyede meditationer?

For at få adgang til de skræddersyede meditationer, skal de installere appen fra biocoherence.net/install eller fra App Store eller Play butik. Du kan invitere dem ved at oprette en konto til dem; indsæt venligst deres e-mail i kontoen, så de modtager en invitation med den korrekte konto. Du kan derefter dele deres analyse med dem ved at tilføje dem som kontakt på analysen. Når de logger ind i appen med den e-mail, du angav i den konto, du oprettede, vil de finde denne analyse på deres apps startside eller under "Registrerede analyser".

Når de har analysen, kan de lytte til den afbalancerende meditation gennem "Balance"-sektionen i BioCoherence-appen, hvor lyden kombinerer talt vejledning med frekvenser for optimale resultater.

BioCoherence Affiliate Program

Velkommen til BioCoherence Affiliate Program! Vi er begejstrede for at have dig med til at dele fordelene ved vores banebrydende teknologi med dit publikum. Vores program giver dig mulighed for at tjene provisioner, mens du hjælper andre med at opdage en transformerende tilgang til sundhed og velvære.

Kom godt i gang

1. Log ind på din konto: Besøg <https://biocoherence.net/s0.login/>.
2. Få adgang til din affiliate-side: Naviger til <https://biocoherence.net/n119/>. Dette er dit personlige affiliate-hub.

Her finder du alle de værktøjer og oplysninger, du har brug for, inklusive hvordan du:

- Opretter og administrerer dine invitationskoder.
- Tracker dine provisioner.
- Udvider dit affiliate-netværk.

Om Affiliate Programmet

Vores program tilbyder **abonnementsbaserede provisioner** for direkte salg og en række forskellige købstyper. Du kan også tjene yderligere incitamenter, når du henviser nye affiliates til programmet.

Abonnementsprovisioner for Direkte Salg

Når du deler dine invitationskoder, tjener du provisioner på abonnementer og andre køb foretaget af brugere, der registrerer sig med din kode. Programmet er designet til at belønne både dig og dine kunder, og tilbyder fordele og incitamenter for nye brugere, der tilmelder sig med din kode.

Yderligere Køb

Tjen provisioner på køb såsom rapporter, tests og hardware gennem BioCoherence-plattformen. Disse belønninger giver dig mulighed for at drage fordel af hver transaktion, der foretages af dine henviste brugere.

Bemærk: For varer dækket af **territorial eksklusivitet**, vil provisioner og kunde fakturaer blive behandlet gennem den lokale eksklusive distributør. Priserne kan variere afhængigt af distributørens politikker. Tjek biocoherence.net/distributors/ for detaljer.

Administrer Dine Invitationskoder

Fra din affiliate administrationsside kan du oprette flere koder til distribution på forskellige kanaler som sociale medier, videoer og blogs. Dette giver dig mulighed for at spore præstationen af hver kode og optimere dine indsatser.

App-installation og første lancering

- På Windows, Mac eller Linux: Download installationsfilen på biocoherence.net/install/.
- På iPad, iPhone eller Android: Følg venligst instruktionerne på biocoherence.net/install/; installationen skulle være kun ét klik væk fra App Store.

Efter installation

Når installationen er fuldført, kan der stadig være problemer.

1. **Kan ikke finde appen?** Den hedder "BioCoherence"; På Mac er den i "Programmer". På Windows og Linux, i startmenuen. På iPad, iPhone og Android, er den tilføjet til din startskærm, og du kan også finde den med en søgning.
2. **Appen starter ikke?** Enten er din computer eller tablet for langsom, eller der er inkompatibiliteter.
3. **Du kan ikke logge ind?** Hvis du har en konto, bedes du klikke på "glemt adgangskode" på login-skærmen. Du vil modtage et link til at nulstille din adgangskode. Hvis du ikke har en, kan du oprette en inden for appen.

1. <https://biocoherence.net/s0.login>

2. <https://biocoherence.net/n119>

3. <https://biocoherence.net/distributors>

4. <https://biocoherence.net/install>

Kan BioCoherence bruge Spooky's frekvensprotokoller?

Ja, BioCoherence har integreret mange af frekvensprotokollerne fra forskellige kilder, herunder Rife-baserede tabeller, der anvendes af Spooky og andre enheder. I fremtiden sigter BioCoherence mod at lade Spooky-enheder fungere som udsendere, hvilket gør det muligt at eksportere lyd fra BioCoherence og sende den direkte ind i Spooky. Vi planlægger at være åbne for så mange enheder som muligt og at interagere med dem direkte, når de er åbne for det. I alle tilfælde tillader lyd eksporten af frekvensprogrammerne, at frekvenserne kan afspilles på en bred vifte af enheder.

Kan det måske "erstatte" en teknologi, som jeg måske bruger i øjeblikket?

BioCoherence kan potentielt erstatte eller supplere andre biofeedback- og sundhedsanalysetools afhængigt af dine specifikke behov. Det kan erstatte de fleste enheder, især dem der er baseret på tilfældige talgeneratorer, men det kan muligvis ikke fuldt ud erstatte enheder, der har forskellige dokumenterede handlingsmetoder.

Hvordan kan jeg få information om de centrale temaer for en klient, når resultaterne varierer mellem scanninger?

For at opnå information om de centrale temaer hos en klient, kan det være nyttigt at sammenligne flere scanninger. Se efter konsistente mønstre eller tilbagevendende problemer på tværs af scanningerne for at identificere centrale temaer. Mederic nævnte, at det er vigtigt at se efter tendenser i scanningerne for at få en mere omfattende forståelse af klientens centrale problemer.

Resultaterne vil generelt være meget konsistente på tværs af scanningerne, med variationer i forbindelser og relativ energi eller agitation i systemerne. Disse variationer er sunde og indikerer en fremgang.

Du kan faktisk sammenligne flere scanninger side om side i applikationen for at se, hvordan specifikke biomarkører udvikler sig, for eksempel før og efter en specifik terapi er blevet anvendt.

Hvordan kan mine klienter få adgang til deres rapporter uden for praktiserende læges kontor? Hvordan kan de gennemgå deres rapporter og få adgang til meditationerne?

Kunder kan få adgang til deres rapporter og meditationer gennem appen. Her er hvordan praktikere kan aktivere kunde adgang:

- Tilføj kunden som en ny kontakt i appen:
 - Klik på de to pile ved siden af dit profilbillede for at få adgang til "Kontakter."
 - Opret en ny kontakt og sørg for at inkludere kundens e-mailadresse.
- Udfør en scanning under kundens profil.
- Del rapporten:
 - Åbn den færdige rapport og vælg "Del med..." muligheden.
 - Send en invitations-e-mail til kunden, inklusive et link til at downloade appen sammen med loginoplysninger.

Når kunden logger ind, kan de gennemgå deres rapport og få adgang til meditationerne direkte i appen. De kan også udføre fjernprøver for dig (lokale prøver for dem, med en sensor), og du vil modtage resultaterne tilbage i din software.

Hvordan kan mine familiemedlemmer eller mine kunder bruge de tilpassede frekvenser, der er genereret til dem?

For at dele de tilpassede frekvenser med dine familiemedlemmer eller klienter, skal du følge disse trin:

- Når du ser deres frekvensrapport i BioCoherence-appen, skal du eksportere lydfilen af frekvenssessionen.
- Du kan derefter dele lydfilen med dem via beskeder, e-mail eller andre kommunikationsmetoder.

Du kan også invitere dine klienter eller familiemedlemmer til at installere appen og dele analysen med dem. Til det kan du oprette en klientkonto med deres e-mail.

Hvordan er BioCoherence unik?

BioCoherence kombinerer avancerede matematiske algoritmer med EKG-teknologi for at give detaljerede sundhedsindsigter. Det adskiller sig ved at tilbyde en flertrinsanalyse af kroppens elektriske signaler og inkluderer en energi/krop/sind tilgang, flere grafiske visninger og links mellem biomarkører. Det inkluderer også biofeedback-tilpassede meditationer og frekvenser.

Hvordan opdaterer man appen

Brug altid den nyeste opdatering, da dit problem måske allerede er blevet løst - eller din idé, allerede implementeret!

Afhængigt af den platform, du bruger, udføres opdateringen forskelligt:

Beta-version

- Hvis du bruger Beta-versionen med TestFlight: bør du modtage en meddelelse med hver opdatering. Start TestFlight og klik på "Opdater".
- Hvis du har installeret beta-versionen til Mac, Windows eller Linux uden for TestFlight: gå til biocoherence.net/beta, download installationsprogrammet til den nyeste version, og kørs installationsprogrammet. Alle dine data vil blive bevaret.

Offentlig version

- Hvis du har installeret den offentlige version til Mac, Windows eller Linux uden for TestFlight: gå til biocoherence.net/install, download installationsprogrammet til den nyeste version, og kørs installationsprogrammet. Alle dine data vil blive bevaret.
- Hvis du bruger den offentlige version fra App Store eller Play Store: åbn App Store eller Play Store og opdater appen fra dens side.

Løsning af Bluetooth-forbindelsesproblemer med BioCoherence

Hvis du oplever problemer med Bluetooth-forbindelsen i BioCoherence, skal du følge disse fejlfindingstrin for at sikre en glat opsætning:

Generelle retningslinjer

- **Start processen først:**
 - Begynd med at starte en optagelse eller test i BioCoherence-appen. Mange forbindelsesproblemer opstår ved at forsøge at forbinde sensoren for tidligt.
 - Appen er designet til at håndtere forbindelsesprocessen automatisk, når du indleder en optagelse eller test.
- **Undgå systemindstillinger:**
 - Forsøg ikke at forbinde Bluetooth-sensoren via enhedens systemindstillinger. Lad appen håndtere denne proces for at undgå forstyrrelser.
- **Sikre Bluetooth er aktiv:**
 - **Windows:** Tænd for Bluetooth via indstillingspanelet eller Bluetooth-genvejen i nederste højre værktøjslinje.
 - **Mac:** Aktivér Bluetooth fra menuen øverst til højre. Sørg for, at Bluetooth-rettigheder er givet til BioCoherence i systemindstillingerne.
 - **iOS/Android:** Tænd for Bluetooth fra enhedens indstillingsmenu, som normalt er placeret nær Wi-Fi-indstillingerne.
- **Fugt tommelfingerne:**
 - **Vigtigt:** Sørg for, at dine tommelfinger er passende fugtede med vand eller ledende gel. Dette forbedrer forbindelsen og sikrer nøjagtige sensor aflæsninger.

Trin-for-Trin Fejlfinding

1. **Aktiver Bluetooth:**
 - Hvis du sidder fast på dette trin, skal du kontrollere at:
 - Din enhed har en aktiv Bluetooth-chip.
 - Bluetooth er tændt og fungerer.

5. <https://biocoherence.net/install>

6. <https://biocoherence.net/beta>

7. <https://biocoherence.net/install>

- Tænd for Sensoren:**
 - Sensoren tændes automatisk, når den fjernes fra sin holder. Placer dine fugtige tommelfingre på sensor. Den opretter normalt forbindelse inden for 1-2 sekunder. Hvis ikke:
 - Klik på *Genstart Bluetooth* i appen.
 - Fjern dine tommelfingre og prøv at placere dem tilbage på sensor.
- Forbindelsesstatus:**
 - Appen giver trin-for-trin indikationer på Bluetooth-panelet:
 - Aktiver Bluetooth:** Sørg for at Bluetooth er tændt.
 - Tænd for Sensoren:** Appen er klar til at sensor kan oprette forbindelse.
 - Sensor Forbundet:** Sensoren er succesfuldt tilsluttet og klar.
 - Foreløbige Data Udvekslet:** Appen har modtaget initial data, såsom batteristatus og serienummer.
 - Aktive Data:** ECG-data modtages, og optagelsen eller testen begynder.
- Håndter Flere Enhedsforbindelser:**
 - Hvis sensor tidligere har været parret med flere enheder, skal du deaktivere Bluetooth på brugte enheder for at undgå interferens.

Yderligere Noter

- Første Gang Autorisation:**
 - Når du starter appen for første gang, skal du give Bluetooth-tilladelser, når du bliver bedt om det. Hvis du ved et uheld nægter disse tilladelser:
 - Justér dem i dine systemindstillinger.
 - Alternativt, afinstaller og geninstaller appen for at nulstille tilladelserne.
- Sensor Frakobling:**
 - Hvis sensoren frakobles under brug, skal du tjekke:
 - Batteriniveauer.
 - At tommelfingrene er korrekt placeret på sensoren.

Ved at følge disse trin og sikre, at dine tommelfingre er korrekt fugtede, kan du løse de fleste Bluetooth-forbindelsesproblemer og nyde en problemfri oplevelse med BioCoherence. Hvis problemerne fortsætter, overvej at kontakte support for yderligere assistance.

Hvad er priserne for BioCoherence?

BioCoherence tilbyder maksimalt fleksible priser. Du kan starte gratis og derefter vælge den plan, der passer dig bedst. Alle vores planer er forklaret i detaljer på biocoherence.net/price.

Gratis plan

Den gratis plan giver dig mulighed for at foretage ubegrænsede optagelser og forbinde med en Pro samt modtage en tilpasset meditation. For scanningen kan du åbne nogle generelle informationssider, men de fleste sider er slørede; du kan købe en rapport for at læse den op. Du kan lave optagelser med et Apple Watch eller med vores Sensor. Du kan også få adgang til testkataloget og vælge at betale for enhver test, du ønsker.

For at bruge den gratis plan skal du blot [installere appen](#)⁹ og oprette en gratis konto.

Hvis du ønsker at gå videre, er her vores betalte planer:

Betalte planer til personlig brug

Venligst tjek priser på vores hjemmeside. Priserne er pr. måned (ingen forpligtelse) til en fuld livstidslicens, alle opdateringer inkluderet for livet. Vi har også årlige planer med rabatter.

- Me Play giver mulighed for ubegrænsede afspilninger af frekvenser og meditationer.
- Me Essential giver ubegrænsede scanninger og balances (meditationer og frekvenser) til op til 2 konti og giver dig adgang til essentielle skærme af rapporten og gratis tests. Du kan købe fulde rapporter og betalte tests, når det passer dig.
- Me Custom giver 3 altid-unlocked skærme efter eget valg.
- Me Plus giver dig ubegrænsede fuldskræms scanningsmuligheder for op til 6 personer, redigerbare ressourcer og prioriteter samt tilpasset balancing.

Betalte planer til professionelt brug

- Pro Essential giver ubegrænsede scanninger (lokalt eller fjernt) og balances for et ubegrænset antal klienter og giver dig adgang til essentielle skærme af rapporten og oprettelse af basistests. Du kan købe fulde rapporter og betalte tests, når det passer dig.
- Pro Custom giver 3 altid-unlocked skærme efter eget valg.
- Pro Plus giver dig ubegrænsede fulde scanninger (lokalt eller fjernt) og alle skærme for et ubegrænset antal klienter, redigerbare ressourcer og prioriteter, tilpasset balancing og oprettelse af fulde tests, inklusive monetisering.
- Med fokuserer udelukkende på medicinsk validerede biomarkører i et EKG.

For at få meget flere detaljer om planerne, gå til biocoherence.net/price¹⁰

Hvad gør BioCoherence bedst?

BioCoherence-softwaren udmærker sig ved at levere en omfattende analyse af kroppens elektriske og magnetiske aktivitet, hvilket giver indsigt i forskellige biomarkører og den generelle sundhedstilstand. Ved at fremhæve ressourcer, prioriteter og forbindelser mellem organer præsenterer den komplekse data fra forskellige felter på en enkel, grafisk måde til daglig brug for terapeuter. Den gør eksklusiv brug af avancerede matematiske operationer til multi-niveau analyse, der udtrækker meningsfulde data direkte fra kroppens elektriske sensor (elektrokardiogram). Baseret på disse identificerede ressourcer og prioriteter kan han derefter foreslå tilpassede guidede meditationer og genbalanceringsprotokoller.

Hvad er BioCoherence IKKE designet til at gøre?

BioCoherence er ikke beregnet til at diagnosticere specifikke medicinske tilstande eller erstatte traditionel medicinsk rådgivning. Selvom nogle biomarkører stammer fra officiel akademisk medicinsk forskning, er dens primære formål at give værktøjer til hurtig forståelse og identificering af årsager. Det støtter selvhjælp for hjemmebrugere og forbinder dem med avancerede terapeuter, når det er nødvendigt.

Hvad er den bedste måde at sikre, at scanningsprocessen er afsluttet, idet analysen skal tage mindst 130 sekunder?

Analysen skal faktisk tage mindst omkring 130 sekunder for nøjagtige resultater (den har brug for mindst 128 gyldige hjerteslag). Der er statuslinjer nederst i scanningen, der viser den nødvendige varighed for hver type analyse. Sørg for, at scanningen kører i den fulde varighed, selvom den ser færdig ud, når linjerne er fyldt grønne. At sikre, at hele varigheden af scanningen er gennemført, er afgørende for nøjagtigheden af resultaterne.

Hvilken kvalitet har de genererede filer?

Fokus er på at udvikle lyd dannelse af høj kvalitet inden for appen, herunder en fuldt udstyret realtids-synthesizer og sequencer. Disse værktøjer er allerede tilgængelige i appen til støj, frekvenser og optagede guidede meditationer. De genererede parametre er under konstant udvikling. Musik understøtter tuning til meditationer og samtidige gruppesessioner.

Hvilke resultater er blevet målt eller rapporteret?

Mens BioCoherence stadig er i beta, har den modtaget meget positiv feedback fra indledende tests, der validerer dens effektivitet. Vi indsamler forskellig feedback for yderligere at validere og udvide dens anvendelse. Kundeudtalelser og specifikke casestudier vil være tilgængelige, efterhånden som der indsamles mere data.

BioCoherence inkluderer en måde at indsamle anonymiserede data (med opt-in) for videnskabeligt at validere alle biomarkører og balanceringsmetoder. Disse data vil danne grundlag for at offentliggøre videnskabelige artikler med adgang til de rå, anonymiserede data efter anmodning fra anerkendte institutioner.

8. <https://biocoherence.net/price>

9. <https://biocoherence.net/install>

10. <https://biocoherence.net/price>

Et entry-level brug kunne være at oprette en grundlæggende patientprofil og indtaste grundlæggende medicinske oplysninger. En avanceret brug kunne være at analysere komplekse data fra patientens medicinske historie og generere en detaljeret rapport, der identificerer potentielle sundhedsrisici og anbefaler behandlingsmuligheder.

Indgangspunkt: Me Play (automatisk scanning eller test, og automatisk tilpassede biofeedback-forstærkede meditationer). Avanceret brug: Pro (40 grafiske sider, links, ressourcer, samt identifikation og ændring af prioriteter, og Pro-kataloget til bruger-terapeut forbindelser). Fremtidige funktioner vil også inkludere sammenlignende scanninger og samtidige meditationer for flere brugere.

Hvorfor blinker min sensor fortsat enten blå eller grøn, efter jeg har afsluttet scanningen?

Du skal sætte sensoren tilbage i sensorboksen, hvilket automatisk vil slukke den. Vi har designet sensoren til at være meget enkel at bruge, så du behøver ikke engang at bekymre dig om at tænde og slukke for den—den gør dette automatisk. Du vil måske se, at den fortsætter med at blinke grønt eller blåt i et par sekunder, eller måske op til 1 minut efter at have afsluttet scanningen, men så vil den slukke og vente på, at næste scanning starter.

Hvorfor fejler Bluetooth nogle gange at oprette forbindelse under en scanning?

Hvis du oplever problemer med Bluetooth-forbindelsen under en scanning, kan det skyldes, at BioCoherence-scanneren er blevet parret med flere enheder. Når dette sker, kan scanneren forsøge at oprette forbindelse til en enhed, der ikke er i brug. For at løse dette problem skal du sikre dig, at Bluetooth er helt slukket på andre enheder, der tidligere har været tilsluttet BioCoherence-scanneren. Ved at gøre dette vil scanneren kunne oprette forbindelse uden problemer til den rigtige enhed, så din scanning kan fortsætte uden afbrydelser.

For at undgå problemer er det meget vigtigt at starte Bluetooth-forbindelsesprocessen i appen først ved at starte en ny optagelse eller en test, og SÅ tage sensoren. Ved at sætte dine tommelfingre på sensoren, vil den tænde og automatisk oprette forbindelse til appen, som allerede er i forskningsmode på dette tidspunkt.

Hvilken kontotype kan jeg bruge til at opdage parasitter?

Denne funktion er kun forbeholdt professionelle brugere. Oplysningerne skal fortolkes af en professionel, og vi sigter mod at sikre, at de anvendes korrekt og ansvarligt. Det forbliver inden for rammerne af en energetisk vurdering og ikke en direkte observation af en parasittilstedeværelse.

Tillæg 2.

Liste over relaterede studier

Du kan få adgang til alle links på biocoherence.net/studieslist

Akupunktur, meridianer

H. M. Langevin and J. A. Yandow, *Anat. Rec. (New Anat.)* 269, 257 (2002). [DOI¹](#), [Crossref²](#)

Banes AJ, Tsuzaki M, Yamamoto J, et al. 1995. Mechanoreception at the cellular level: The detection, interpretation and diversity of responses to mechanical signals. *Biochem Cell Biol* 73:349– 365. [Crossref³](#) [PubMed⁴](#) [Web of Science⁵](#)

Bonassar LJ, Stinn JL, Paguio CG, et al. 1996. Activation and inhibition of endogenous matrix metalloproteinases in articular cartilage: Effects on composition and biophysical properties. *Arch Biochem Biophys* 333: 359– 367. [Crossref⁶](#) [PubMed⁷](#) [Web of Science⁸](#)

Murugan NJ, Cariba S, Abeygunawardena S, Rouleau N, Payne SL. Biophysical control of plasticity and patterning in regeneration and cancer. *Cell Mol Life Sci.* 2023 Dec 15;81(1):9. doi: 10.1007/s00018-023-05054-6. PMID: 38099951; PMCID: PMC1072434. [DOI⁹](#)

Brand RA. 1997. What do tissues and cells know of mechanics? *Ann Med* 29: 267– 269. [Crossref¹⁰](#) [PubMed¹¹](#) [Web of Science¹²](#)

Bossy J. 1984. Morphological data concerning the acupuncture points and channel network. *Acupunct Electrother Res* 9: 79– 106. [PubMed¹³](#) [Web of Science¹⁴](#)

Cheng X. 1987. Chinese acupuncture and moxibustion. Beijing: Foreign Language Press.

Chicurel ME, Chen CS, Ingber DE. 1998. Cellular control lies in the balance of forces. *Curr Opin Cell Biol* 10: 232– 239. [Crossref¹⁵](#) [PubMed¹⁶](#) [Web of Science¹⁷](#)

Chiquet M. 1999. Regulation of extracellular matrix gene expression by mechanical stress. *Matrix Biol* 18: 417– 426. [PubMed¹⁸](#) [Web of Science¹⁹](#)

Ciczek LSW, Szopinski J, Skrzypulec V. 1985. Investigations of morphological structures of acupuncture points and meridians. *J Trad Chin Med* 5: 289– 292.

Comunetti A, Laage S, Schiessl N, Kistler A. 1995. Characterization of human skin conductance at acupuncture points. *Experientia* 51: 328– 331. [Crossref²⁰](#) [PubMed²¹](#) [Web of Science²²](#)

Dung HC. 1984. Anatomical features contributing to the formation of acupuncture points. *Am J Acupunct* 12: 139– 143. [Web of Science²³](#)

Giancotti FG, Ruoslahti E. 1999. Integrin signaling. *Science* 285: 1028– 1032. [Crossref²⁴](#)

1. <https://doi.org/10.1002/ar.10185>
2. https://aip.scitation.org/servelet/linkout?suffix=c26/c26_1&dbid=16&doi=10.1063/1.4991499&key=10.1002/ar.10185
3. <https://onlinelibrary.wiley.com/servelet/linkout?suffix=null&dbid=16&doi=10.1002/ar.10185&key=10.1139/o95-043>
4. <https://onlinelibrary.wiley.com/servelet/linkout?suffix=null&dbid=8&doi=10.1002/ar.10185&key=8703408>
5. <https://onlinelibrary.wiley.com/servelet/linkout?suffix=null&dbid=128&doi=10.1002/ar.10185&key=A1993T760300006>
6. <https://onlinelibrary.wiley.com/servelet/linkout?suffix=null&dbid=16&doi=10.1002/ar.10185&key=10.1006/abbi.1996.0402>
7. <https://onlinelibrary.wiley.com/servelet/linkout?suffix=null&dbid=8&doi=10.1002/ar.10185&key=8809074>
8. <https://onlinelibrary.wiley.com/servelet/linkout?suffix=null&dbid=128&doi=10.1002/ar.10185&key=A1996177600006>
9. <https://doi.org/10.1007/s00018-023-05054-6>
10. <https://onlinelibrary.wiley.com/servelet/linkout?suffix=null&dbid=16&doi=10.1002/ar.10185&key=10.3109/0783899708999346>
11. <https://onlinelibrary.wiley.com/servelet/linkout?suffix=null&dbid=8&doi=10.1002/ar.10185&key=9375981>
12. <https://onlinelibrary.wiley.com/servelet/linkout?suffix=null&dbid=128&doi=10.1002/ar.10185&key=A1997X210400003>
13. <https://onlinelibrary.wiley.com/servelet/linkout?suffix=null&dbid=8&doi=10.1002/ar.10185&key=6148847>
14. <https://onlinelibrary.wiley.com/servelet/linkout?suffix=null&dbid=128&doi=10.1002/ar.10185&key=A1984TF83000001>
15. [https://onlinelibrary.wiley.com/servelet/linkout?suffix=null&dbid=16&doi=10.1002/ar.10185&key=10.1016/S0955-0674\(98\)80145-2](https://onlinelibrary.wiley.com/servelet/linkout?suffix=null&dbid=16&doi=10.1002/ar.10185&key=10.1016/S0955-0674(98)80145-2)
16. <https://onlinelibrary.wiley.com/servelet/linkout?suffix=null&dbid=8&doi=10.1002/ar.10185&key=9561847>
17. <https://onlinelibrary.wiley.com/servelet/linkout?suffix=null&dbid=128&doi=10.1002/ar.10185&key=000073043200010>
18. <https://onlinelibrary.wiley.com/servelet/linkout?suffix=null&dbid=8&doi=10.1002/ar.10185&key=10601729>
19. <https://onlinelibrary.wiley.com/servelet/linkout?suffix=null&dbid=128&doi=10.1002/ar.10185&key=000084085600001>
20. <https://onlinelibrary.wiley.com/servelet/linkout?suffix=null&dbid=16&doi=10.1002/ar.10185&key=10.1007/BF01928888>
21. <https://onlinelibrary.wiley.com/servelet/linkout?suffix=null&dbid=8&doi=10.1002/ar.10185&key=7729497>
22. <https://onlinelibrary.wiley.com/servelet/linkout?suffix=null&dbid=128&doi=10.1002/ar.10185&key=A1993QU268000004>
23. <https://onlinelibrary.wiley.com/servelet/linkout?suffix=null&dbid=128&doi=10.1002/ar.10185&key=A1984SS059000005>

[PubMed²⁵](#) [Web of Science²⁶](#)

Gunn CC, Ditchburn FG, King MH, Renwick GJ. 1976. Acupuncture loci: A proposal for their classification according to their relationship to known neural structures. *Am J Chin Med* 4: 183– 195. [Crossref²⁷](#) [PubMed²⁸](#)

Ho MW, Knight DP. 1998. The acupuncture system and the liquid crystalline collagen fibers of the connective tissues. *Am J Chin Med* 26: 251– 263. [Crossref²⁹](#) [PubMed³⁰](#) [Web of Science³¹](#)

Huan ZY, Rose K. 2001. A brief history of Qi. Brookline, MA: Paradigm Publications.

Kapchuk TJ. 2000. The web that has no weaver. Understanding Chinese medicine. Chicago: Contemporary Publishing Group, Inc.

Lai WM, Mow VC, Sun DD, Atesian GA. 2000. On the electric potentials inside a charged soft hydrated biological tissue: Streaming potential versus diffusion potential. *J Biomech Eng* 122: 336– 346. [Crossref³²](#) [PubMed³³](#) [Web of Science³⁴](#)

Langevin HM, Churchill DL, Cipolla MJ. 2001a. Mechanical signaling through connective tissue: A mechanism for the therapeutic effect of acupuncture. *FASEB J* 15: 2275– 2282. [Wiley Online Library³⁵](#) [PubMed³⁶](#) [Web of Science³⁷](#)

Langevin HM, Churchill DL, Fox JR, Badger GJ, Garra BS, Krag MH. 2001b. Biomechanical response to acupuncture needling in humans. *J Appl Physiol* 91: 2471– 2478. [Crossref³⁸](#) [PubMed³⁹](#) [Web of Science⁴⁰](#)

Langevin HM, Churchill DL, Wu J, Badger GJ, Yandow JA, Fox JR, Krag MH. 2002. Evidence of connective tissue involvement in acupuncture. *FASEB J* 16: 872– 874. [Wiley Online Library⁴¹](#) [PubMed⁴²](#) [Web of Science⁴³](#)

Liu KY, Varela M, Oswald R. 1975. The correspondence between some motor points and acupuncture loci. *Am J Chin Med* 3: 347– 358. [Crossref⁴⁴](#) [PubMed⁴⁵](#)

Matsumoto K, Birch S. 1988. Hara diagnosis: Reflections of the sea. Brookline: Paradigm Publications.

McCarroll GD, Rowley BA. 1979. An investigation of the existence of electrically located acupuncture points. *IEEE Trans Biomed Eng* 26: 177– 182. [Crossref⁴⁶](#) [PubMed⁴⁷](#) [Web of Science⁴⁸](#)

24. <https://onlinelibrary.wiley.com/servelet/linkout?suffix=null&dbid=16&doi=10.1002/ar.10185&key=10.1126/science.285.5430.1028>
25. <https://onlinelibrary.wiley.com/servelet/linkout?suffix=null&dbid=8&doi=10.1002/ar.10185&key=10446041>
26. <https://onlinelibrary.wiley.com/servelet/linkout?suffix=null&dbid=128&doi=10.1002/ar.10185&key=000082033100034>
27. <https://onlinelibrary.wiley.com/servelet/linkout?suffix=null&dbid=16&doi=10.1002/ar.10185&key=10.1142/S0192415X76000238>
28. <https://onlinelibrary.wiley.com/servelet/linkout?suffix=null&dbid=8&doi=10.1002/ar.10185&key=937240>
29. <https://onlinelibrary.wiley.com/servelet/linkout?suffix=null&dbid=16&doi=10.1002/ar.10185&key=10.1142/S0192415X98000294>
30. <https://onlinelibrary.wiley.com/servelet/linkout?suffix=null&dbid=8&doi=10.1002/ar.10185&key=9862013>
31. <https://onlinelibrary.wiley.com/servelet/linkout?suffix=null&dbid=128&doi=10.1002/ar.10185&key=000077302300001>
32. <https://onlinelibrary.wiley.com/servelet/linkout?suffix=null&dbid=16&doi=10.1002/ar.10185&key=10.1115/1.1286316>
33. <https://onlinelibrary.wiley.com/servelet/linkout?suffix=null&dbid=8&doi=10.1002/ar.10185&key=11036556>
34. <https://onlinelibrary.wiley.com/servelet/linkout?suffix=null&dbid=128&doi=10.1002/ar.10185&key=000167111100006>
35. <https://onlinelibrary.wiley.com/doi/10.1096/fj.01-0015hyp>
36. <https://onlinelibrary.wiley.com/servelet/linkout?suffix=null&dbid=8&doi=10.1002/ar.10185&key=11641255>
37. <https://onlinelibrary.wiley.com/servelet/linkout?suffix=null&dbid=128&doi=10.1002/ar.10185&key=000171920400040>
38. <https://onlinelibrary.wiley.com/servelet/linkout?suffix=null&dbid=16&doi=10.1002/ar.10185&key=10.1152/jappl.2001.91.6.2471>
39. <https://onlinelibrary.wiley.com/servelet/linkout?suffix=null&dbid=8&doi=10.1002/ar.10185&key=11717207>
40. <https://onlinelibrary.wiley.com/servelet/linkout?suffix=null&dbid=128&doi=10.1002/ar.10185&key=000172484200008>
41. <https://onlinelibrary.wiley.com/doi/10.1096/fj.01-0925je>
42. <https://onlinelibrary.wiley.com/servelet/linkout?suffix=null&dbid=8&doi=10.1002/ar.10185&key=11967233>
43. <https://onlinelibrary.wiley.com/servelet/linkout?suffix=null&dbid=128&doi=10.1002/ar.10185&key=000175425900017>
44. <https://onlinelibrary.wiley.com/servelet/linkout?suffix=null&dbid=16&doi=10.1002/ar.10185&key=10.1142/S0192415X75000426>
45. <https://onlinelibrary.wiley.com/servelet/linkout?suffix=null&dbid=8&doi=10.1002/ar.10185&key=1202933>
46. <https://onlinelibrary.wiley.com/servelet/linkout?suffix=null&dbid=16&doi=10.1002/ar.10185&key=10.1109/TBME.1979.326392>
47. <https://onlinelibrary.wiley.com/servelet/linkout?suffix=null&dbid=8&doi=10.1002/ar.10185&key=521032>
48. <https://onlinelibrary.wiley.com/servelet/linkout?suffix=null&dbid=128&doi=10.1002/>

- Noordegraaf A, Silage D. 1973. Electroacupuncture. *IEEE Trans Biomed Eng* 20: 364– 366. [Crossref⁴⁹](#) [PubMed⁵⁰](#) [Web of Science⁵¹](#)
- NIH Consensus Statement. 1997. Acupuncture. Bethesda, MD: NIH. 15: 1– 34.
- O'Connor J, Bensky D. 1981. Acupuncture, a comprehensive text (Shanghai College of Traditional Medicine) Seattle: Eastland Press.
- Oschman JL. 1993. A biophysical basis for acupuncture. Proceedings of the First Symposium of the Committee for Acupuncture Research.
- Pomeranz B. 2001. Acupuncture analgesia-basic research. In: G Stux, R Hammerschlag, editors. *Clinical acupuncture-scientific basis*. Berlin: Springer-Verlag.
- Rabishong P, Niboyet JEH, Terral C, Senelar R, Casez R. 1975. Bases experimentales de l'analgésie acupuncturale. *Nouv Presse Med* 4: 2021– 2026. [PubMed⁵²](#) [Web of Science⁵³](#)
- Reishmanis M, Marino AA, Becker RO. 1975. Electrical correlates of acupuncture points. *IEEE Trans Biomed Eng* 22: 533– 535. [Crossref⁵⁴](#) [PubMed⁵⁵](#) [Web of Science⁵⁶](#)
- Senelar R. 1979. Les caractéristiques morphologiques des points chinois. In: JEH Niboyet, editor. *Nouveau traité d'acupuncture*. Paris: Maisonneuve.
- Shanghai Medical University, Human Anatomy Department. 1973. A relationship between points of meridians and peripheral nerves: Acupuncture anaesthetic theory study. Shanghai: People's Republic Publishing House.
- Swartz MA, Tschumperlin DJ, Kamm RD, Drazen JM. 2001. Mechanical stress is communicated between different cell types to elicit matrix remodeling. *Proc Natl Acad Sci USA* 98: 6180– 6185. [Crossref⁵⁷](#) [PubMed⁵⁸](#) [Web of Science⁵⁹](#)
- Ulett GA, Han S, Han JS. 1998. Electroacupuncture: mechanisms and clinical applications. *Biol Psych* 44: 129– 138. [PubMed⁶⁰](#) [Web of Science⁶¹](#)
- Veith I. 1949. The yellow emperor's classic of internal medicine. Berkeley: University of California Press.
- Yang J. 1601. The golden needle and other odes of traditional acupuncture, 1601. Translated by R Bertschinger. Edinburgh: Churchill Livingstone.
- Quyen Manh Nguyen, Tuan Hoang Nguyen, Lam Van Tran, Tin Thanh Dang, Anh Dinh, Device to Detect Acupuncture Points in the Feet Soles for Massage Treatment, 8th International Conference on the Development of Biomedical Engineering in Vietnam, 10.1007/978-3-030-75506-5_1, (3-13), (2022). [Crossref⁶²](#)
- Yung-Sheng Yen, Han-Yi Cheng, Hung-Ta Lin, Evaluation of Stress on Acupuncture with Nano-Etched and Diamond-Like Carbon (DLC) Coating Surface Modifications, *Journal of Biomaterials and Tissue Engineering*, 10.1166/jbt.2022.2928, 12, 3, (489-493), (2022). [Crossref⁶³](#)
- Gregory P. Casey, Anatomical characterization of acupoint large intestine 4, *The Anatomical Record*, 10.1002/ar.24681, 305, 1, (144-155), (2021). [Wiley Online Library⁶⁴](#)
- Ajit B. Pai, Lori V. Shuart, David F. Drake, Integrative Medicine in Rehabilitation, Braddom's Physical Medicine and Rehabilitation, 10.1016/B978-0-323-62539-5.00018-7, (364-373.e3), (2021). [Crossref⁶⁵](#)
- Tongju Li, Bruce Qing Tang, Wei-Bo Zhang, Minyi Zhao, Qingchuan Hu, Andrew Ahn, In Vivo Visualization of the Pericardium Meridian with Fluorescent Dyes, Evidence-Based Complementary and Alternative Medicine, 10.1155/2021/5581227, 2021, (1-10), (2021). [Crossref⁶⁶](#)
- Chao Sun, Changchun Ji, Ying Li, Jiujie Kuang, Jiangtao Wu, A comparison study of photothermal effect between moxibustion therapy and laser irradiation on biological tissue, *International Journal of Thermal Sciences*, 10.1016/j.ijthermalsci.2021.106924, 164, (106924), (2021). [Crossref⁶⁷](#)
- Nikolay Dimitrov, Nikola Tomov, Dimitrinka Atanasova, Stilyan Iliev, Tatyana Tomova, Dimitar Sivrev, Zoya Goranova, Visible Meridian Phenomena after Acupuncture: A Series of Case Reports, *Journal of Acupuncture and Meridian Studies*, 10.51507/j.jams.2021.14.2.50, 14, 2, (50-57), (2021). [Crossref⁶⁸](#)
- Nasim Bahadorani, Jerry W. Lee, Leslie R. Martin, Implications of Tamarkoz on stress, *ar.10185&key=A1979GN78800013*
49. <https://onlinelibrary.wiley.com/serve/linkout?suffix=null&dbid=16&doi=10.1002/ar.10185&key=10.1109/TBME.1973.324289>
50. <https://onlinelibrary.wiley.com/serve/linkout?suffix=null&dbid=8&doi=10.1002/ar.10185&key=4727423>
51. <https://onlinelibrary.wiley.com/serve/linkout?suffix=null&dbid=128&doi=10.1002/ar.10185&key=A1973Q497200007>
52. <https://onlinelibrary.wiley.com/serve/linkout?suffix=null&dbid=8&doi=10.1002/ar.10185&key=1178444>
53. <https://onlinelibrary.wiley.com/serve/linkout?suffix=null&dbid=128&doi=10.1002/ar.10185&key=A1975AP43900003>
54. <https://onlinelibrary.wiley.com/serve/linkout?suffix=null&dbid=16&doi=10.1002/ar.10185&key=10.1109/TBME.1975.324477>
55. <https://onlinelibrary.wiley.com/serve/linkout?suffix=null&dbid=8&doi=10.1002/ar.10185&key=1184029>
56. <https://onlinelibrary.wiley.com/serve/linkout?suffix=null&dbid=128&doi=10.1002/ar.10185&key=A1975AU02000013>
57. <https://onlinelibrary.wiley.com/serve/linkout?suffix=null&dbid=16&doi=10.1002/ar.10185&key=10.1073/pnas.111133298>
58. <https://onlinelibrary.wiley.com/serve/linkout?suffix=null&dbid=8&doi=10.1002/ar.10185&key=11353845>
59. <https://onlinelibrary.wiley.com/serve/linkout?suffix=null&dbid=128&doi=10.1002/ar.10185&key=000168883700045>
60. <https://onlinelibrary.wiley.com/serve/linkout?suffix=null&dbid=8&doi=10.1002/ar.10185&key=9646895>
61. <https://onlinelibrary.wiley.com/serve/linkout?suffix=null&dbid=128&doi=10.1002/ar.10185&key=000074292400008>
62. https://doi.org/10.1007/978-3-030-75506-5_1
63. <https://doi.org/10.1166/jbt.2022.2928>
64. <https://onlinelibrary.wiley.com/doi/10.1002/ar.24681>
65. <https://doi.org/10.1016/B978-0-323-62539-5.00018-7>
66. <https://doi.org/10.1155/2021/5581227>
67. <https://doi.org/10.1016/j.ijthermalsci.2021.106924>
68. <https://doi.org/10.51507/j.jams.2021.14.2.50>
- emotion, spirituality and heart rate, *Scientific Reports*, 10.1038/s41598-021-93470-8, 11, 1, (2021). [Crossref⁶⁹](#)
- Maojun Li, Huawen Peng, Binxiu Wei, Qiuxia Deng, Fen Qian, Xin Liu, Jian Wang, Xiaodong Zhu, Effect of acupuncture anesthesia based on nanomaterial sensor on cognitive function after one-lung ventilation thoracotomy, *Materials Express*, 10.1166/mex.2021.2027, 11, 7, (1051-1056), (2021). [Crossref⁷⁰](#)
- Jaliya Kumaratilake, Teghan Lucas, Maciej Henneberg, Possible relationship of upper limb arteries, median and brachial to the twelfth meridian of the human upper limb, *Journal of Anatomy*, 10.1111/joa.13401, 238, 6, (1492-1493), (2021). [Wiley Online Library⁷¹](#)
- Yong Ming Li, Three hand yin meridians in ancient Chinese medicine were established initially based on arterial structures, *Journal of Anatomy*, 10.1111/joa.13400, 238, 6, (1494-1496), (2021). [Wiley Online Library⁷²](#)
- Yi Zhang, Interpretation of acupoint location in traditional Chinese medicine teaching: Implications for acupuncture in research and clinical practice, *The Anatomical Record*, 10.1002/ar.24618, 304, 11, (2372-2380), (2021). [Wiley Online Library⁷³](#)
- Sanghun Lee, Prospects for the Development of Acupuncture Treatment Led by the Use of Ultrasound Imaging Devices, *Journal of Korean Medical Society of Soft Tissue*, 10.54461/JKMS.2021.5.1.8, 5, 1, (8-11), (2021). [Crossref⁷⁴](#)
- Xiao Ye, Yu-lan Ren, Yun-hui Chen, Ji Chen, Xiao-jiao Tang, Zong-ming Zhang, A "4D" systemic view on meridian essence: Substantial, functional, chronological and cultural attributes, *Journal of Integrative Medicine*, 10.1016/j.joim.2021.11.006, (2021). [Crossref⁷⁵](#)
- Berna Dincer, Demet İnangil, Gökhan İnangil, Nefise Bahçecik, Elif Yıldırım Ayaz, Ali Arslanoğlu, Miraç Vural Keskinler, Ayşe Kabuk, Gamze Özkan, The effect of acupressure on sleep quality of older people: A systematic review and meta-analysis of randomized controlled trials, *EXPLORE*, 10.1016/j.explore.2021.11.010, (2021). [Crossref⁷⁶](#)
- Marianna de Melo Salemi, Vanessa Maria da Silva Alves Gomes, Laylla Marjorye Reboças Bezerra, Thania Maion de Souza Melo, Geisa Guimarães de Alencar, Iracema Hermes Pires de Melo Montenegro, Alessandra Paula de Melo Calado, Eduardo José Nepomuceno Montenegro, Gisela Rocha de Siqueira, Effect of Dry Cupping Therapy on Pain and Functional Disability in Persistent Non-Specific Low Back Pain: A Randomized Controlled Clinical Trial, *Journal of Acupuncture and Meridian Studies*, 10.51507/j.jams.2021.14.6.219, 14, 6, (219-230), (2021). [Crossref⁷⁷](#)
- Luís Carlos Matos, Jorge Pereira Machado, Fernando Jorge Monteiro, Henry Johannes Greten, Understanding Traditional Chinese Medicine Therapeutics: An Overview of the Basics and Clinical Applications, *Healthcare*, 10.3390/healthcare9030257, 9, 3, (257), (2021). [Crossref⁷⁸](#)
- Jingwen Cui, Wanrong Song, Yipeng Jin, Huihao Xu, Kai Fan, Degui Lin, Zhihui Hao, Jiahao Lin, Research Progress on the Mechanism of the Acupuncture Regulating Neuro-Endocrine-Immune Network System, *Veterinary Sciences*, 10.3390/vetsci8080149, 8, 8, (149), (2021). [Crossref⁷⁹](#)
- Íñigo Ongay de Felipe, The Universality of Science and Traditional Chinese Medicine, *Science & Education*, 10.1007/s11191-021-00249-4, (2021). [Crossref⁸⁰](#)
- Ningcen Li, Yi Guo, Yinan Gong, Yue Zhang, Wen Fan, Kaifang Yao, Zhihan Chen, Baomin Dou, Xiaowei Lin, Bo Chen, Zelin Chen, Zhifang Xu, Zhongxi Lyu, The Anti-Inflammatory Actions and Mechanisms of Acupuncture from Acupoint to Target Organs via Neuro-Immune Regulation, *Journal of Inflammation Research*, 10.2147/JIR.S341581, Volume 14, (7191-7224), (2021). [Crossref⁸¹](#)
- 戴云 冯, Bridging Medicine East and West—Pursuit on the Relation between Biomedical Consequence of Stimulating the Acupoints of the Lung Meridian and Somatosensory Reflexes, Aiming to Treat Chronic Obstruction Pulmonary Diseases, *Traditional Chinese Medicine*, 10.12677/TCM.2020.92022, 09, 02, (145-176), (2020). [Crossref⁸²](#)
- Manon te Dorsthorst, Michael van Balken, John Heesakkers, Tibial nerve stimulation in the treatment of overactive bladder syndrome, *Current Opinion in Urology*, 10.1097/MOU.0000000000000781, 30, 4, (513-518), (2020). [Crossref⁸³](#)
- Peter I-Kung Wu, Lucy Chen, Integrative Medicine, *Spine Pain Care*, 10.1007/978-3-030-27447-4, (473-489), (2020). [Crossref⁸⁴](#)
- I. Giralat Sampedro, G. Carvajal, A. Garcia-Janeras, A. Fabà, M.B. Nishishinya Aquino, A severe case of Ramsay Hunt Syndrome treated with acupuncture and related techniques, *Complementary Therapies in Clinical Practice*, 10.1016/j.ctcp.2020.101119, (101119), (2020). [Crossref⁸⁵](#)
- Eric Leskowitz, A Cartography of Energy Medicine: From Subtle Anatomy to Energy Physiology, *EXPLORE*, 10.1016/j.explore.2020.09.008, (2020). [Crossref⁸⁶](#)
- Hantong Hu, Yongliang Jiang, Xiaoyu Li, Jiali Lou, Yajun Zhang, Xiaofen He, Junfan Fang, Yuanyuan Wu, Xiaomei Shao, Jianqiao Fang, The microcirculatory characteristics of the heart

- and lung meridians, *Medicine*, 10.1097/MD.000000000019594, 99, 14, (e19594), (2020). [Crossref⁸⁷](#)
- Sheikh Faruque Elahee Bangladesh, Hui-juan Mao, Ling Zhao, Xue-yong Shen, Meridian system and mechanism of acupuncture action: A scientific evaluation 经络系统与针刺效应机制的科学评价, *World Journal of Acupuncture - Moxibustion*, 10.1016/j.wjam.2020.05.003, (2020). [Crossref⁸⁸](#)
- Mário Gonçalves, Luis Carlos Matos, Leonel Duarte, Jorge Machado, Henry Johannes Greten, Giovanna Franconi, PROBLEMS OF SCIENTIFIC METHODOLOGY RELATED TO PLACEBO CONTROL IN QIGONG STUDIES: A SYSTEMATIC REVIEW, *Journal of Bodywork and Movement Therapies*, 10.1016/j.jbmt.2020.06.035, (2020). [Crossref⁸⁹](#)
- Hans-Udo Richarz, Uwe Schütz, Werner Klingler, Das fasziale Bindegewebe – ein Medium für die Akupunktur? The fascial connective tissue—a medium for acupuncture?, *Deutsche Zeitschrift für Akupunktur*, 10.1007/s42212-019-00228-5, (2020). [Crossref⁹⁰](#)
- Shi Yonghong, Wu Ruizhi, Zhang Yue, Bai Xuebing, Imran Tarique, Liang Chunhua, Yang Ping, Chen Qiusheng, Telocytes in Different Organs of Vertebrates: Potential Essence Cells of the Meridian in Chinese Traditional Medicine, *Microscopy and Microanalysis*, 10.1017/S1431927620001518, (1-14), (2020). [Crossref⁹¹](#)
- Jinglan Mu, Andrea D Furlan, Nai Yee Lam, Marcos Y Hsu, Zhipeng Ning, Lixing Lao, Acupuncture for chronic nonspecific low back pain, *Cochrane Database of Systematic Reviews*, 10.1002/14651858.CD013814, (2020). [Crossref⁹²](#)
- Kimia Grace Ganjaei, Jeremiah W. Ray, Brandee Waite, Kevin J. Burnham, The Fascial System in Musculoskeletal Function and Myofascial Pain, *Current Physical Medicine and Rehabilitation Reports*, 10.1007/s40141-020-00302-3, (2020). [Crossref⁹³](#)
- Christina L Ross, Energy Medicine: Current Status and Future Perspectives, *Global Advances in Health and Medicine*, 10.1177/2164956119831221, 8, (216495611983122), (2019). [Crossref⁹⁴](#)
- Phil Trabulsky, COMPLEMENTARY AND ALTERNATIVE MEDICINE, *Cancer*, 10.1002/9781119645214, (499-530), (2019). [Wiley Online Library⁹⁵](#)
- Younbyoung Chae, Yeonhee Ryu, Won-Mo Jung, An Analysis of Indications of Meridians in DongUiBoGam Using Data Mining, *Korean Journal of Acupuncture*, 10.14406/aku.2019.034, 36, 4, (292-299), (2019). [Crossref⁹⁶](#)
- Wei-bo ZHANG, Xiao-jing SONG, Ze WANG, Guang-jun WANG, Shu-yong JIA, Yu-ying TIAN, Hong-yan LI, Longitudinal Directional Movement of Alcian Blue in Gephyrocharax Melanocheir Fish: Revealing Interstitial Flow and Related Structure ☆ 阿尔新蓝在黑裙鱼中的纵向定向运动 组织液流动与相关结构的揭示, *World Journal of Acupuncture - Moxibustion*, 10.1016/j.wjam.2019.05.008, (2019). [Crossref⁹⁷](#)
- Nicholas Alexander Wise, Action at a distance: laser acupuncture and the brain, *Photobiomodulation in the Brain*, 10.1016/B978-0-12-815305-5.00036-1, (489-501), (2019). [Crossref⁹⁸](#)
- Liangjun Xia, Qingyu Meng, Jin Xi, Qin Han, Jie Cheng, Jie Shen, Youbing Xia, Liyun Shi, The synergistic effect of electroacupuncture and bone mesenchymal stem cell transplantation on repairing thin endometrial injury in rats, *Stem Cell Research & Therapy*, 10.1186/s13287-019-1326-6, 10, 1, (2019). [Crossref⁹⁹](#)
- Dha-Hyun Choi, Younbyoung Chae, Minimisation of variations in locating an acupuncture point using a laser-device, *Integrative Medicine Research*, 10.1016/j.imr.2019.11.005, (2019). [Crossref¹⁰⁰](#)
- Doohan Oh, Jong-hyun Kim, Youn-Sub Kim, Song-Yi Kim, Analysis of Tonification and Sedation Methods in the 『Yeongsochimgugyeong』, *Korean Journal of Acupuncture*, 10.14406/aku.2019.021, 36, 3, (171-180), (2019). [Crossref¹⁰¹](#)
- Aleksandar Zivaljevic, Bin Shi, Elisa M S. Tam, Vahideh Toossi, Treatment of visceral pain associated with irritable bowel syndrome using acupuncture: Mechanism of action, *World Journal of Traditional Chinese Medicine*, 10.4103/wjtc.wjtc_24_19, 5, 4, (181), (2019). [Crossref¹⁰²](#)
- Suchan Chang, O. Sang Kwon, Se Kyun Bang, Do-Hee Kim, Min Won Baek, Yeonhee Ryu, Jong Han Bae, Yu Fan, Soo Min Lee, Hyung Kyu Kim, Bong Hyo Lee, Chae Ha Yang, Hee Young Kim, Peripheral Sensory Nerve Tissue but Not Connective Tissue Is Involved in the Action of Acupuncture, *Frontiers in Neuroscience*, 10.3389/fnins.2019.00110, 13, (2019). [Crossref¹⁰³](#)
- Junaid Wazir, Rahat Ullah, Shihong Li, Md Amir Hossain, Maladho Tanta Diallo, Farhan Ullah Khan, Awais Ullah Ihsan, Xiaohui Zhou, Efficacy of acupuncture in the treatment of chronic prostatitis-chronic pelvic pain syndrome: a review of the literature, *International Urology and Nephrology*, 10.1007/s11255-019-02267-2, (2019). [Crossref¹⁰⁴](#)
- Noa Schwartz, Madhavi Latha S. Chalasani, Thomas M. Li, Zhonghui Feng, William D. Shipman, Theresa T. Lu, Lymphatic Function in Autoimmune Diseases, *Frontiers in Immunology*, 10.3389/fimmu.2019.00519, 10, (2019). [Crossref¹⁰⁵](#)
- Sarah Ely, Panos Barlas, Transcutaneous electrical acupoint stimulation for people with chronic musculoskeletal pain: an exploratory review, *Physical Therapy Reviews*, 10.1080/10833196.2019.1648728, (1-12), (2019). [Crossref¹⁰⁶](#)
- Koh-Woon Kim, Sanhwa Hong, Hong Soo Kim, Taehun Kim, Jaeha Ahn, Hyun-Seo Song, Yu-Kang Kim, Ju-Young Oh, Tae-Yeon Hwang, Hyangsook Lee, Su-Il In, Hi-Joon Park, Physiological impact of nanoporous acupuncture needles: Laser Doppler perfusion imaging in healthy volunteers, *PLOS ONE*, 10.1371/journal.pone.0226304, 14, 12, (e0226304), (2019). [Crossref¹⁰⁷](#)
- Chang-zhen Gong, Wei Liu, Convergence of Medicines: West Meets East in Newly-Discovered Organs and Functions, *Chinese Journal of Integrative Medicine*, 10.1007/s11655-018-2570-9, 25, 5, (323-326), (2018). [Crossref¹⁰⁸](#)
- Jeanne Adiwinata Pawitan, Various stem cells in acupuncture meridians and points and their putative roles, *Journal of Traditional and Complementary Medicine*, 10.1016/j.jtcm.2017.08.004, (2018). [Crossref¹⁰⁹](#)
- Chungda Lee, How can mindfulness-led breathing of qigong/Tai Chi work on qi and the meridian network?, *Advances in Integrative Medicine*, 10.1016/j.aimed.2018.07.002, 5, 3, (122-127), (2018). [Crossref¹¹⁰](#)
- Patrick Roynard, Lauren Frank, Huisheng Xie, Margaret Fowler, Acupuncture for Small Animal Neurologic Disorders, *Veterinary Clinics of North America: Small Animal Practice*, 10.1016/j.cvsm.2017.08.003, 48, 1, (201-219), (2018). [Crossref¹¹¹](#)
- Meng Huang, Xuezhi Wang, Beibei Xing, Hongwei Yang, Zheyang Sa, Di Zhang, Wei Yao, Na Yin, Ying Xia, Guanghong Ding, Critical roles of TRPV2 channels, histamine H1 and adenosine A1 receptors in the initiation of acupoint signals for acupuncture analgesia, *Scientific Reports*, 10.1038/s41598-018-24654-y, 8, 1, (2018). [Crossref¹¹²](#)
- Ruining Liang, Peishuang Li, Xuemei Peng, Ling Xu, Pei Fan, Jiahua Peng, Xu Zhou, Chunlin Xiao, Miao Jiang, Efficacy of acupuncture on pelvic pain in patients with endometriosis: study protocol for a randomized, single-blind, multi-center, placebo-controlled trial, *Trials*, 10.1186/s13063-018-2684-6, 19, 1, (2018). [Crossref¹¹³](#)
- Wei-bo Zhang, De-xian Jia, Hong-yan Li, Yu-long Wei, Huang Yan, Peng-na Zhao, Fei-fei Gu, Guang-jun Wang, Yan-ping Wang, Understanding Qi Running in the Meridians as Interstitial Fluid Flowing via Interstitial Space of Low Hydraulic Resistance, *Chinese Journal of Integrative Medicine*, 10.1007/s11655-017-2791-3, 24, 4, (304-307), (2018). [Crossref¹¹⁴](#)
- Conner E. Liddle, Richard E. Harris, Cellular Reorganization Plays a Vital Role in Acupuncture Analgesia, *Medical Acupuncture*, 10.1089/acu.2017.1258, 30, 1, (15-20), (2018). [Crossref¹¹⁵](#)
- 戴云 冯, Relationship among the Meridians, Sinew Channels and Integrative Five Fluid Circulation System, *Traditional Chinese Medicine*, 10.12677/TCM.2018.71013, 07, 01, (74-92), (2018). [Crossref¹¹⁶](#)
- David Feinstein, Energy Psychology: Efficacy, Speed, Mechanisms, *EXPLORE*, 10.1016/j.explore.2018.11.003, (2018). [Crossref¹¹⁷](#)
- Hiroe MOTOYAMA, Hirohisa ISOGAI, Yoshito MUKAINO, Relaxing Effect Achieved by Acupuncture Stimulation in Different Postures for University Students Living a Sedentary LifestyleSedentary Lifestyle を送る大学生を対象とした異なる姿勢への鍼刺激によるリラクゼーション効果, *Kampo Medicine*, 10.3937/kampomed.69.225, 69, 3, (225-238), (2018). [Crossref¹¹⁸](#)
- Alexander Waits, You-Ren Tang, Hao-Min Cheng, Chen-Jei Tai, Li-Yin Chien, Acupressure effect on sleep quality: A systematic review and meta-analysis, *Sleep Medicine Reviews*, 10.1016/j.smrv.2016.12.004, 37, (24-34), (2018). [Crossref¹¹⁹](#)
- Chenglin Liu, Qinghua Liu, Dongming Zhang, Wei Liu, Xiaohui Yan, Xinyi Zhang, Hiroyuki Oyanagi, Zhiyun Pan, Fengchun Hu, Shiqiang Wei, Insight into the biological effects of acupuncture points by X-ray absorption fine structure, *Analytical and Bioanalytical Chemistry*, 10.1007/s00216-018-1146-z, 410, 20, (4959-4965), (2018). [Crossref¹²⁰](#)
- Eric Leskowitz, How Tapping into “Energy” Can Trigger a Paradigm Shift in Biomedicine, *The Journal of Alternative and Complementary Medicine*, 10.1089/acm.2018.0073, 24, 6, (525-527), (2018). [Crossref¹²¹](#)
- Johannes Fleckenstein, Robert Schleip, Cornelia Sachs, Mark Driscoll, Susan Shockett, Thomas Findley, Werner Klingler, Faszienforschung: Quo vadis? Fascia research: Quo vadis?, *Deutsche Zeitschrift für Akupunktur*, 10.1007/s42212-018-0037-8, 61, 2, (69-74), (2018). [Crossref¹²²](#)
- FA Phan, A Sreilestari, H Mihardja, MBH Marbun, Effects of acupuncture on uremic pruritus in patients undergoing hemodialysis, *Journal of Physics: Conference Series*, 10.1088/1742-6596/1073/6/062049, 1073, (062049), (2018). [Crossref¹²³](#)

- Kwang-Sup Soh, Sistema circulatorio de Bonghan como una extensión de los meridianos de acupuntura, *Revista Internacional de Acupuntura*, 10.1016/j.acu.2018.02.001, 12, 1, (15-28), (2018). [Crossref¹²⁴](#)
- Helene M. Langevin, Peter M. Wayne, What Is the Point? The Problem with Acupuncture Research That No One Wants to Talk About, *The Journal of Alternative and Complementary Medicine*, 10.1089/acm.2017.0366, 24, 3, (200-207), (2018). [Crossref¹²⁵](#)
- Chun-Yi Lin, Tze-Taur Wei, Chen-Chen Wang, Wan-Chen Chen, Yu-Min Wang, Song-Yen Tsai, Acute Physiological and Psychological Effects of Qigong Exercise in Older Practitioners, *Evidence-Based Complementary and Alternative Medicine*, 10.1155/2018/4960978, 2018, (1-10), (2018). [Crossref¹²⁶](#)
- Kanae Umemoto, Toshiyuki Saito, Munekazu Naito, Shogo Hayashi, Tomiko Yakura, Hanno Steinke, Takashi Nakano, Anatomical Relationship between B123 and the Posterior Ramus of the L2 Spinal Nerve, *Acupuncture in Medicine*, 10.1136/acupmed-2015-010847, 34, 2, (95-100), (2018). [Crossref¹²⁷](#)
- Krista Lynne Paulson, Barbara L. Shay, Sympathetic Nervous System Responses to Acupuncture and Non-Penetrating Sham Acupuncture in Experimental Forearm Pain: A Single-Blind Randomised Descriptive Study, *Acupuncture in Medicine*, 10.1136/acupmed-2012-010223, 31, 2, (178-184), (2018). [Crossref¹²⁸](#)
- Marc Amand, Florence Nguyen-Huu, Costantino Balestra, Acupuncture Effect on Thermal Tolerance and Electrical Pain Threshold: A Randomised Controlled Trial, *Acupuncture in Medicine*, 10.1136/aim.2010.002485, 29, 1, (47-50), (2018). [Crossref¹²⁹](#)
- Michele Alem, Maria Salette Costa Gurgel, Acupuncture in the Rehabilitation of Women after Breast Cancer Surgery – a Case Series, *Acupuncture in Medicine*, 10.1136/aim.2016.26.2.86, 26, 2, (86-93), (2018). [Crossref¹³⁰](#)
- Avijgan Majid, Rouh/Qi before and after production; basic concept of life, *International Journal of Complementary & Alternative Medicine*, 10.15406/ijcam.2018.11.00363, 11, 2, (2018). [Crossref¹³¹](#)
- Tiaw-Kee Lim, Yan Ma, Frederic Berger, Gerhard Litscher, Acupuncture and Neural Mechanism in the Management of Low Back Pain—An Update, *Medicines*, 10.3390/medicines5030063, 5, 3, (63), (2018). [Crossref¹³²](#)
- Anna Esparham, Anne Herbert, Emily Pierzchalski, Catherine Tran, Jennifer Dilts, Madeline Boorigie, Tammie Wingert, Mark Connelly, Jennifer Bickel, Pediatric Headache Clinic Model: Implementation of Integrative Therapies in Practice, *Children*, 10.3390/children5060074, 5, 6, (74), (2018). [Crossref¹³³](#)
- Elizabeth R. Magden, Chapter 13 Positive Reinforcement Training and Health Care, *Handbook of Primate Behavioral Management*, 10.1201/9781315120652, (201-216), (2017). [Crossref¹³⁴](#)
- Faria Sanjana, Hans Chaudhry, Thomas Findley, Effect of MELT method on thoracolumbar connective tissue: The full study, *Journal of Bodywork and Movement Therapies*, 10.1016/j.jbmt.2016.05.010, 21, 1, (179-185), (2017). [Crossref¹³⁵](#)
- Peter T. Dorsher, Neuroembryology of the Acupuncture Principal Meridians: Part 1. The Extremities, *Medical Acupuncture*, 10.1089/acu.2016.1210, 29, 1, (10-19), (2017). [Crossref¹³⁶](#)
- Jordi Gascon-Garcia, Caridad Bagur-Calafat, Montserrat Girabent-Farrés, Ramon Balius, Validation of the range of dry needling with the fascial winding technique in the carpal tunnel using ultrasound, *Journal of Bodywork and Movement Therapies*, 10.1016/j.jbmt.2017.10.013, (2017). [Crossref¹³⁷](#)
- Ana Paula A. Ferreira, Luciana C. Póvoa, José F.C. Zanier, Arthur S. Ferreira, Locating the Seventh Cervical Spinous Process: Accuracy of the Thorax-Rib Static Method and the Effects of Clinical Data on Its Performance, *Journal of Manipulative and Physiological Therapeutics*, 10.1016/j.jmpt.2016.10.011, 40, 2, (98-105), (2017). [Crossref¹³⁸](#)
- Arya Nielsen, Acupuncture for the Prevention of Tension-Type Headache (2016), *EXPLORE: The Journal of Science and Healing*, 10.1016/j.explore.2017.03.007, 13, 3, (228-231), (2017). [Crossref¹³⁹](#)
- Fan Wang, Guang-wei Cui, Le Kuai, Jian-min Xu, Ting-ting Zhang, Huai-jin Cheng, Hong-sheng Dong, Gui-rong Dong, Role of Acupoint Area Collagen Fibers in Anti-Inflammation of Acupuncture Lifting and Thrusting Manipulation, *Evidence-Based Complementary and Alternative Medicine*, 10.1155/2017/2813437, 2017, (1-8), (2017). [Crossref¹⁴⁰](#)
- Wei-Chia Chen, Hsiang-Ying Chen, Yu-Sheng Chen, Yong Tian, Lin I, Self-excited multi-scale skin vibrations probed by optical tracking micro-motions of tracers on arms, *Journal of Applied Physics*, 10.1063/1.4991499, 122, 2, (024701), (2017). [Crossref¹⁴¹](#)
- Fletcher Kovich, A Curious Oversight in Acupuncture Research, *Journal of Acupuncture and Meridian Studies*, 10.1016/j.jams.2017.10.004, 10, 6, (411-415), (2017). [Crossref¹⁴²](#)
- David F. Drake, Anne M. Hudak, William Robbins, Integrative Medicine in Traumatic Brain Injury, *Physical Medicine and Rehabilitation Clinics of North America*, 10.1016/j.pmr.2016.12.011, 28, 2, (363-378), (2017). [Crossref¹⁴³](#)
- Helene M. Langevin, Rosa N. Schnyer, Reconnecting the Body in Eastern and Western Medicine, *The Journal of Alternative and Complementary Medicine*, 10.1089/acm.2017.0028, 23, 4, (238-241), (2017). [Crossref¹⁴⁴](#)
- Salvador Quiroz-González, Sergio Torres-Castillo, Rosa Estela López-Gómez, Ismael Jiménez Estrada, Acupuncture Points and Their Relationship with Multireceptive Fields of Neurons, *Journal of Acupuncture and Meridian Studies*, 10.1016/j.jams.2017.01.006, 10, 2, (81-89), (2017). [Crossref¹⁴⁵](#)
- Sharon Jiyeon Jung, Haim Song, Yu Yeon Kim, Jungdae Kim, Sungchul Kim, Yoon-Kyu Song, Kwang-Sup Soh, Distribution of Mast Cells and Locations, Depths, and Sizes of the Putative Acupoints CV 8 and KI 16, *Evidence-Based Complementary and Alternative Medicine*, 10.1155/2017/2953278, 2017, (1-10), (2017). [Crossref¹⁴⁶](#)
- Benjamin CW. Chant, Jeanne Madison, Paul Coop, Gudrun Dieberg, Contact Tools in Japanese Acupuncture: An Ethnography of Acupuncture Practitioners in Japan, *Journal of Acupuncture and Meridian Studies*, 10.1016/j.jams.2017.08.006, 10, 5, (331-339), (2017). [Crossref¹⁴⁷](#)
- Hugh MacPherson, Andrew Vickers, Martin Bland, David Torgerson, Mark Corbett, Eldon Stewart, Pedro Saramago, Beth Woods, Helen Weatherly, Mark Sculpher, Andrea Manca, Spackman Richmond, Ann Hopton, Janet Eldred, Ian Watt, Acupuncture for chronic pain and depression in primary care: a programme of research, *Programme Grants for Applied Research*, 10.3310/pgfar05030, 5, 3, (1-316), (2017). [Crossref¹⁴⁸](#)
- Benjamin Kligler, Arya Nielsen, Corinne Kohrher, Tracy Schmid, Eve Waltemauer, Elidania Perez, Woodson Merrell, Acupuncture Therapy in a Group Setting for Chronic Pain, *Pain Medicine*, 10.1093/pm/pnx134, (2017). [Crossref¹⁴⁹](#)
- Alexander Macdonald, Acupuncture Main Channels or Meridians: Visible Surfaces, *International Journal of Complementary & Alternative Medicine*, 10.15406/ijcam.2017.07.00233, 7, 4, (2017). [Crossref¹⁵⁰](#)
- Roshanak Ghods, Nasrin Sayfour, Mohammad Hossein Ayati, Anatomical Features of the Interscapular Area Where Wet Cupping Therapy Is Done and Its Possible Relation to Acupuncture Meridians, *Journal of Acupuncture and Meridian Studies*, 10.1016/j.jams.2016.06.004, 9, 6, (290-296), (2016). [Crossref¹⁵¹](#)
- Laura Quiles, Electra Peluffo, Meridianos tendinomusculares (Jing Jīn) y tejido fascial, comparativa anatómica y funcional, *Revista Internacional de Acupuntura*, 10.1016/j.acu.2016.01.002, 10, 1, (20-24), (2016). [Crossref¹⁵²](#)
- Tian Tian, Yanhong Sun, Huangan Wu, Jian Pei, Jing Zhang, Yi Zhang, Lu Wang, Bin Li, Lihua Wang, Jiye Shi, Jun Hu, Chunhai Fan, Acupuncture promotes mTOR-independent autophagic clearance of aggregation-prone proteins in mouse brain, *Scientific Reports*, 10.1038/srep19714, 6, 1, (2016). [Crossref¹⁵³](#)
- Eric Leskowitz, Integrative Medicine for PTSD and TBI: Two Innovative Approaches, *Medical Acupuncture*, 10.1089/acu.2016.1168, 28, 4, (181-183), (2016). [Crossref¹⁵⁴](#)
- Sarah le Jeune, Kimberly Henneman, Kevin May, Acupuncture and Equine Rehabilitation, *Veterinary Clinics of North America: Equine Practice*, 10.1016/j.cveq.2015.12.004, 32, 1, (73-85), (2016). [Crossref¹⁵⁵](#)
- Charlotte H. Y. Lau, Xinyin Wu, Vincent C. H. Chung, Xin Liu, Edwin P. Hui, Holger Cramer, Romy Lauche, Samuel Y. S. Wong, Alexander Y. L. Lau, Regina W. S. Sit, Eric T. C. Ziea, Bacon F. L. Ng, Justin C. Y. Wu, Acupuncture and Related Therapies for Symptom Management in Palliative Cancer Care, *Medicine*, 10.1097/MD.0000000000002901, 95, 9, (e2901), (2016). [Crossref¹⁵⁶](#)
- Li Chen, Hai-Xiang Sun, You-Bing Xia, Liu-Cai Sui, Ji Zhou, Xuan Huang, Jing-Wei Zhou, Yi-Dan Shao, Tao Shen, Qin Sun, Yuan-Jiao Liang, Bing Yao, Electroacupuncture decreases the progression of ovarian hyperstimulation syndrome in a rat model, *Reproductive BioMedicine Online*, 10.1016/j.rbmo.2016.02.006, 32, 5, (538-544), (2016). [Crossref¹⁵⁷](#)
- Suzanne B. Hanser, Suzanne B. Hanser, Holistic Healing, *Integrative Health through Music Therapy*, 10.1057/978-1-137-38477-5, (35-54), (2016). [Crossref¹⁵⁸](#)
- Laurent Misery, Acupuncture, Pruritis, 10.1007/978-3-319-33142-3, (437-441), (2016). [Crossref¹⁵⁹](#)
- Jing-Ke Guo, Ming-Ming Xu, Mei-Feng Zheng, Shu-Tao Liu, Jian-Wu Zhou, Li-Jing Ke, Tian-Bao Chen, Ping-Fan Rao, Topical Application of TAT-Superoxide Dismutase in Acupoints LI 20 on Allergic Rhinitis, *Evidence-Based Complementary and Alternative Medicine*, 10.1155/2016/3830273, 2016, (1-9), (2016). [Crossref¹⁶⁰](#)
- James L. Oschman, Acupuncture, Acupressure, Shiatsu, and Related Therapies, *Energy Medicine*, 10.1016/B978-0-443-06729-7.00014-4, (221-239), (2016). [Crossref¹⁶¹](#)

124. <https://doi.org/10.1016/j.acu.2018.02.001>125. <https://doi.org/10.1089/acm.2017.0366>126. <https://doi.org/10.1155/2018/4960978>127. <https://doi.org/10.1136/acupmed-2015-010847>128. <https://doi.org/10.1136/acupmed-2012-010223>129. <https://doi.org/10.1136/aim.2010.002485>130. <https://doi.org/10.1136/aim.26.2.86>131. <https://doi.org/10.15406/ijcam.2018.11.00363>132. <https://doi.org/10.3390/medicines5030063>133. <https://doi.org/10.3390/children5060074>134. <https://doi.org/10.1201/9781315120652>135. <https://doi.org/10.1016/j.jbmt.2016.05.010>136. <https://doi.org/10.1089/acu.2016.1210>137. <https://doi.org/10.1016/j.jbmt.2017.10.013>138. <https://doi.org/10.1016/j.jmpt.2016.10.011>139. <https://doi.org/10.1016/j.explore.2017.03.007>140. <https://doi.org/10.1155/2017/2813437>141. <https://doi.org/10.1063/1.4991499>142. <https://doi.org/10.1016/j.jams.2017.10.004>143. <https://doi.org/10.1016/j.pmr.2016.12.011>144. <https://doi.org/10.1089/acm.2017.0028>145. <https://doi.org/10.1016/j.jams.2017.01.006>146. <https://doi.org/10.1155/2017/2953278>147. <https://doi.org/10.1016/j.jams.2017.08.006>148. <https://doi.org/10.3310/pgfar05030>149. <https://doi.org/10.1093/pm/pnx134>150. <https://doi.org/10.15406/ijcam.2017.07.00233>151. <https://doi.org/10.1016/j.jams.2016.06.004>152. <https://doi.org/10.1016/j.acu.2016.01.002>153. <https://doi.org/10.1038/srep19714>154. <https://doi.org/10.1089/acu.2016.1168>155. <https://doi.org/10.1016/j.cveq.2015.12.004>156. <https://doi.org/10.1097/MD.0000000000002901>157. <https://doi.org/10.1016/j.rbmo.2016.02.006>158. <https://doi.org/10.1057/978-1-137-38477-5>159. <https://doi.org/10.1007/978-3-319-33142-3>160. <https://doi.org/10.1155/2016/3830273>161. <https://doi.org/10.1016/B978-0-443-06729-7.00014-4>

- Motti Ratmansky, Adi Levy, Aviv Messinger, Alla Birg, Lilach Front, Iuly Treger, The Effects of Acupuncture on Cerebral Blood Flow in Post-Stroke Patients: A Randomized Controlled Trial, *The Journal of Alternative and Complementary Medicine*, 10.1089/acm.2015.0066, 22, 1, (33-37), (2016). [Crossref¹⁶²](#)
- Marzio Vanzini, Michele Gallamini, Amblyopia: Can Laser Acupuncture be an Option?, *Journal of Acupuncture and Meridian Studies*, 10.1016/j.jams.2016.01.017, 9, 5, (267-274), (2016). [Crossref¹⁶³](#)
- Bo M. Rowan†, J. Bryan Dixon, Complementary Medicine Practices for Muscular Injuries of the Posterior Leg, *Muscular Injuries in the Posterior Leg*, 10.1007/978-1-4899-7651-2, (153-168), (2016). [Crossref¹⁶⁴](#)
- HyunSuk Jang, JooHwan Yoon, HyunJi Gil, Sharon JiYoon Jung, Min-Suk Kim, Jin-Kyu Lee, Young-Jae Kim, Kwang-Sup Soh, Observation of a Flowing Duct in the Abdominal Wall by Using Nanoparticles, *PLOS ONE*, 10.1371/journal.pone.0150423, 11, 3, (e0150423), (2016). [Crossref¹⁶⁵](#)
- Richard Cha, Detecting Intrinsic Movements through Needle Tips Pinned at Zusanli ST-36 Point - a New Method for Characterizing Structures for Acupuncture Treatments, *International Journal of Complementary & Alternative Medicine*, 10.15406/ijcam.2016.03.00100, 3, 6, (2016). [Crossref¹⁶⁶](#)
- Raphael J. Hochstrasser, P. Christian Endler, Sabine D. Klein, Perception of Therapeutic Qi, a Nonmechanical, Nonpsychological Factor in Acupuncture That Originates from the Therapist, *Journal of Acupuncture and Meridian Studies*, 10.1016/j.jams.2014.11.009, 8, 4, (203-208), (2015). [Crossref¹⁶⁷](#)
- Carla Stecco, Warren Hammer, Andry Vleeming, Raffaele De Caro, Fasciae of the Upper Limb, *Functional Atlas of the Human Fascial System*, 10.1016/B978-0-7020-4430-4.00007-5, (217-287), (2015). [Crossref¹⁶⁸](#)
- Shu-Ming Wang, Acupuncture as a Treatment for Substance Abuse in Pediatric Patients, *Substance Abuse*, 10.1007/978-1-4939-1951-2, (349-357), (2015). [Crossref¹⁶⁹](#)
- Mei-Ling Wu, Dong-Sheng Xu, Wan-Zhu Bai, Jing-Jing Cui, Hong-Ming Shu, Wei He, Xiao-Yu Wang, Hong Shi, Yang-Shuai Su, Ling Hu, Bing Zhu, Xiang-Hong Jing, Local cutaneous nerve terminal and mast cell responses to manual acupuncture in acupoint LI4 area of the rats, *Journal of Chemical Neuroanatomy*, 10.1016/j.jchemneu.2015.06.002, 68, (14-21), (2015). [Crossref¹⁷⁰](#)
- Mark J. McDonald, Will the Primo Vascular System Finally Solve the Mystery of Acupuncture?, *Medical Acupuncture*, 10.1089/acu.2014.1075, 27, 1, (33-37), (2015). [Crossref¹⁷¹](#)
- Wei-Bo Zhang, Guang-Jun Wang, Kjell Fuxe, Classic and Modern Meridian Studies: A Review of Low Hydraulic Resistance Channels along Meridians and Their Relevance for Therapeutic Effects in Traditional Chinese Medicine, Evidence-Based Complementary and Alternative Medicine, 10.1155/2015/410979, 2015, (1-14), (2015). [Crossref¹⁷²](#)
- Xiaqiu Wu, Jin Peng, Guoqin Li, Wei Zhang, Guangxia Liu, Baoyan Liu, Efficacy evaluation of summer acupoint application treatment on asthma patients: a two-year follow-up clinical study, *Journal of Traditional Chinese Medicine*, 10.1016/S0254-6272(15)30004-2, 35, 1, (21-27), (2015). [Crossref¹⁷³](#)
- Won-Mo Jung, Taehyung Lee, In-Seon Lee, Sanghyun Kim, Hyunchul Jang, Song-Yi Kim, Hi-Joon Park, Younbyoung Chae, Spatial Patterns of the Indications of Acupoints Using Data Mining in Classic Medical Text: A Possible Visualization of the Meridian System, Evidence-Based Complementary and Alternative Medicine, 10.1155/2015/457071, 2015, (1-7), (2015). [Crossref¹⁷⁴](#)
- Kwang-Sup Soh, Hypothesis on the Treatment of Gliomas with Acupuncture at the Primo Node Corresponding to Zusanli (ST 36), *Medical Acupuncture*, 10.1089/acu.2014.1089, 27, 3, (144-150), (2015). [Crossref¹⁷⁵](#)
- Marco Gemma, Elisa Nicelli, Luigi Gioia, Elena Moizo, Luigi Beretta, Maria Rosa Calvi, Acupuncture accelerates recovery after general anesthesia: a prospective randomized controlled trial, *Journal of Integrative Medicine*, 10.1016/S2095-4964(15)60159-5, 13, 2, (99-104), (2015). [Crossref¹⁷⁶](#)
- Michele Gallamini, Giovanni D'Angelo, Gabriele Belloni, Biolite: A Patented Ultra-Low-Level Laser-Therapy Device for Treating Musculoskeletal Pain and Associated Impairments, *Journal of Acupuncture and Meridian Studies*, 10.1016/j.jams.2015.02.001, 8, 4, (167-174), (2015). [Crossref¹⁷⁷](#)
- Poney Chiang, What is the Point of Acupuncture?, *Medical Acupuncture*, 10.1089/acu.2015.1093, 27, 2, (67-80), (2015). [Crossref¹⁷⁸](#)
- Richard F. Hobbs, Acupuncture—Biophysics or Metaphysics?, *Medical Acupuncture*, 10.1089/acu.2015.1097, 27, 2, (62-66), (2015). [Crossref¹⁷⁹](#)
- Ali Khorsand, Jiang Zhu, Hamidreza Bahrami-Taghanaki, Sara Baghani, Liangxiao Ma, Shima Rezaei, Investigation of the electrical impedance of acupuncture points and non-acupuncture points before and after acupuncture, using a four-electrode device, *Acupuncture in Medicine*, 10.1136/acupmed-2014-010697, 33, 3, (230-236), (2015). [Crossref¹⁸⁰](#)
- Fang Li, Tian He, Qian Xu, Li - Ting Lin, Hui Li, Yan Liu, Guang - Xia Shi, Cun - Zhi Liu, What is the Acupoint? A preliminary review of Acupoints, *Pain Medicine*, 10.1111/pme.12761, 16, 10, (1905-1915), (2015). [Wiley Online Library¹⁸¹](#)
- Song-Yi Kim, Sang-Woo Kim, Hi-Joon Park, Different Responses to Acupuncture in Electroencephalogram according to Stress Level: A Randomized, Placebo-Controlled, Cross-Over Trial, *Korean Journal of Acupuncture*, 10.14406/acu.2014.022, 31, 3, (136-145), (2014). [Crossref¹⁸²](#)
- Heming Zhu, Acupoints Initiate the Healing Process, *Medical Acupuncture*, 10.1089/acu.2014.1057, 26, 5, (264-270), (2014). [Crossref¹⁸³](#)
- G. Ding, Z. Wu, D. Zhang, Z. Sa, K. Cheng, Biophysical Bases of Acupuncture, *Comprehensive Biomedical Physics*, 10.1016/B978-0-444-53632-7.01018-2, (299-316), (2014). [Crossref¹⁸⁴](#)
- Yuan-yuan Lin, Yin-ping Wang, Hao-yang Lu, Xiu-cai Guo, Xia Liu, Chuan-bin Wu, Yue-hong Xu, Plasma pharmacokinetics and lung distribution of tetrahydropalmatine after topical application of cold asthma recipe extract: Feishu (BL 13) versus Non-Feishu acupoint, *Journal of Ethnopharmacology*, 10.1016/j.jep.2014.03.009, 153, 2, (454-460), (2014). [Crossref¹⁸⁵](#)
- Yiu Ming Wong, Electrical Property of Acupoints, *The Journal of Alternative and Complementary Medicine*, 10.1089/acm.2013.0169, 20, 2, (145-146), (2014). [Crossref¹⁸⁶](#)
- Nadia Elisabeth Haddad, Oxana Palesh, Acupuncture in the Treatment of Cancer-Related Psychological Symptoms, *Integrative Cancer Therapies*, 10.1177/1534735413520181, 13, 5, (371-385), (2014). [Crossref¹⁸⁷](#)
- Soo-Byeong Kim, Kyung-Yul Chung, Mi-Seon Jeon, Tae-Min Shin, Yong-Heum Lee, Body Composition Factor Comparisons of the Intracellular Fluid (ICW), Extracellular Fluid (ECW) and Cell Membrane at Acupuncture Points and Non-Acupuncture Points by Inducing Multiple Ionic Changes, *Korean Journal of Acupuncture*, 10.14406/acu.2014.005, 31, 2, (66-78), (2014). [Crossref¹⁸⁸](#)
- Martha Liliana Beltrán Molano, Laura Bibiana Pinilla Bonilla, Eduardo Humberto Beltrán Dussan, Carlos Alberto Vásquez Londoño, Anatomic-Functional Correlation between Head Zones and Acupuncture Channels and Points: A Comparative Analysis from the Perspective of Neural Therapy, Evidence-Based Complementary and Alternative Medicine, 10.1155/2014/836392, 2014, (1-12), (2014). [Crossref¹⁸⁹](#)
- Evan H. Kwong, Thomas W. Findley, Fascia—Current knowledge and future directions in psychiatry: Narrative review, *Journal of Rehabilitation Research and Development*, 10.1682/JRRD.2013.10.0220, 51, 6, (875-884), (2014). [Crossref¹⁹⁰](#)
- Kwokming James Cheng, Neurobiological Mechanisms of Acupuncture for Some Common Illnesses: A Clinician's Perspective, *Journal of Acupuncture and Meridian Studies*, 10.1016/j.jams.2013.07.008, 7, 3, (105-114), (2014). [Crossref¹⁹¹](#)
- Jing-Wen Yang, Qian-Qian Li, Fang Li, Qing-Nan Fu, Xiang-Hong Zeng, Cun-Zhi Liu, The Holistic Effects of Acupuncture Treatment, Evidence-Based Complementary and Alternative Medicine, 10.1155/2014/739708, 2014, (1-10), (2014). [Crossref¹⁹²](#)
- Shu-Yih Wu, Wei-Hsin Chen, Ching-Liang Hsieh, Yi-Wen Lin, Abundant expression and functional participation of TRPV1 at Zusanli acupoint (ST36) in mice: mechanosensitive TRPV1 as an "acupuncture-responding channel", *BMC Complementary and Alternative Medicine*, 10.1186/1472-6882-14-96, 14, 1, (2014). [Crossref¹⁹³](#)
- Morry Silberstein, Is acupuncture "stimulation" a misnomer? A case for using the term "blockade", *BMC Complementary and Alternative Medicine*, 10.1186/1472-6882-13-68, 13, 1, (2013). [Crossref¹⁹⁴](#)
- In-Seon Lee, Soon-Ho Lee, Song-Yi Kim, Hyejung Lee, Hi-Joon Park, Younbyoung Chae, Visualization of the Meridian System Based on Biomedical Information about Acupuncture Treatment, Evidence-Based Complementary and Alternative Medicine, 10.1155/2013/872142, 2013, (1-5), (2013). [Crossref¹⁹⁵](#)
- Helene M. Langevin, Part 1, Trigger Point Dry Needling, 10.1016/B978-0-7020-4601-8.10008-8, (29-33), (2013). [Crossref¹⁹⁶](#)
- Byung-Cheon Lee, Walter J. Akers, Xianghong Jing, M. Isabel Miguel Perez, Yeonhee Ryu, Primo Vascular System: Past, Present, and Future, Evidence-Based Complementary and Alternative Medicine, 10.1155/2013/240168, 2013, (1-2), (2013). [Crossref¹⁹⁷](#)
- Andrew Bannan, Acupuncture in physiotherapy, *Tidy's Physiotherapy*, 10.1016/B978-0-7020-4344-4.00018-3, (403-415), (2013). [Crossref¹⁹⁸](#)
- Im Quah-Smith, Caroline Smith, John D. Crawford, Janice Russell, Laser acupuncture for

161. <https://doi.org/10.1016/B978-0-443-06729-7.00014-4>162. <https://doi.org/10.1089/acm.2015.0066>163. <https://doi.org/10.1016/j.jams.2016.01.017>164. <https://doi.org/10.1007/978-1-4899-7651-2>165. <https://doi.org/10.1371/journal.pone.0150423>166. <https://doi.org/10.15406/ijcam.2016.03.00100>167. <https://doi.org/10.1016/j.jams.2014.11.009>168. <https://doi.org/10.1016/B978-0-7020-4430-4.00007-5>169. <https://doi.org/10.1007/978-1-4939-1951-2>170. <https://doi.org/10.1016/j.jchemneu.2015.06.002>171. <https://doi.org/10.1089/acu.2014.1075>172. <https://doi.org/10.1155/2015/410979>173. [https://doi.org/10.1016/S0254-6272\(15\)30004-2](https://doi.org/10.1016/S0254-6272(15)30004-2)174. <https://doi.org/10.1155/2015/457071>175. <https://doi.org/10.1089/acu.2014.1089>176. [https://doi.org/10.1016/S2095-4964\(15\)60159-5](https://doi.org/10.1016/S2095-4964(15)60159-5)177. <https://doi.org/10.1016/j.jams.2015.02.001>178. <https://doi.org/10.1089/acu.2015.1093>179. <https://doi.org/10.1089/acu.2015.1097>180. <https://doi.org/10.1136/acupmed-2014-010697>181. <https://onlinelibrary.wiley.com/doi/10.1111/pme.12761>182. <https://doi.org/10.14406/acu.2014.022>183. <https://doi.org/10.1089/acu.2014.1057>184. <https://doi.org/10.1016/B978-0-444-53632-7.01018-2>185. <https://doi.org/10.1016/j.jep.2014.03.009>186. <https://doi.org/10.1089/acm.2013.0169>187. <https://doi.org/10.1177/1534735413520181>188. <https://doi.org/10.14406/acu.2014.005>189. <https://doi.org/10.1155/2014/836392>190. <https://doi.org/10.1682/JRRD.2013.10.0220>191. <https://doi.org/10.1016/j.jams.2013.07.008>192. <https://doi.org/10.1155/2014/739708>193. <https://doi.org/10.1186/1472-6882-14-96>194. <https://doi.org/10.1186/1472-6882-13-68>195. <https://doi.org/10.1155/2013/872142>196. <https://doi.org/10.1016/B978-0-7020-4601-8.10008-8>197. <https://doi.org/10.1155/2013/240168>198. <https://doi.org/10.1016/B978-0-7020-4344-4.00018-3>

- depression: A randomised double blind controlled trial using low intensity laser intervention, *Journal of Affective Disorders*, 10.1016/j.jad.2012.11.058, 148, 2-3, (179-187), (2013). [Crossref¹⁹⁹](#)
- C. Will Chen, Chen-Jei Tai, Cheuk-Sing Choy, Chau-Yun Hsu, Shoei-Loong Lin, Wing P. Chan, Han-Sun Chiang, Chang-An Chen, Ting-Kai Leung, Wave-Induced Flow in Meridians Demonstrated Using Photoluminescent Bioceramic Material on Acupuncture Points, *Evidence-Based Complementary and Alternative Medicine*, 10.1155/2013/739293, 2013, (1-11), (2013). [Crossref²⁰⁰](#)
- Raphael J. Hochstrasser, P. Christian Endler, Sabine D. Klein, Introduction of two novel devices for investigating the influence of non-mechanical components such as therapeutic qi in acupuncture, *Journal of Integrative Medicine*, 10.3736/jintgrmed2013030, 11, 3, (168-174), (2013). [Crossref²⁰¹](#)
- W. Evan Rivers, Felise Zollman, Reliability of Surface Acupuncture Point Location, *Medical Acupuncture*, 10.1089/acu.2012.0929, 25, 2, (134-140), (2013). [Crossref²⁰²](#)
- Stefano Marcelli, Gross Anatomy and Acupuncture: A Comparative Approach to Reappraise the Meridian System, *Medical Acupuncture*, 10.1089/acu.2012.0875, 25, 1, (5-22), (2013). [Crossref²⁰³](#)
- Jaung-Geng Lin, Pei-Chi Chou, Heng-Yi Chu, An Exploration of the Needling Depth in Acupuncture: The Safe Needling Depth and the Needling Depth of Clinical Efficacy, *Evidence-Based Complementary and Alternative Medicine*, 10.1155/2013/740508, 2013, (1-21), (2013). [Crossref²⁰⁴](#)
- DARCY A. UMPHRED, CAROL M. DAVIS, MARY LOU GALANTINO, Complementary and alternative therapies: beyond traditional approaches to intervention in neurological diseases and movement disorders, *Neurological Rehabilitation*, 10.1016/B978-0-323-07586-2.00048-0, (1173-1214), (2013). [Crossref²⁰⁵](#)
- Alessandra de Almeida Fagundes, Mariana César Ribeiro Reis, Maira Salles, Maria Graças Bastos Licurci, Immediate Effects of Acupuncture for Managing Myofascial Trigger-Point Pain: A Pilot Study, *Medical Acupuncture*, 10.1089/acu.2012.0902, 25, 1, (55-60), (2013). [Crossref²⁰⁶](#)
- Yi Zhuang, Jing-jing Xing, Juan Li, Bai-Yun Zeng, Fan-rong Liang, History of Acupuncture Research, *Neurobiology of Acupuncture*, 10.1016/B978-0-12-411545-3.00001-8, (1-23), (2013). [Crossref²⁰⁷](#)
- Arya Nielsen, Ted J. Kaptchuk, Sha syndrome and Gua sha, cao gio, coining, scraping, Gua Sha, 10.1016/B978-0-7020-3108-3.00005-4, (39-44), (2013). [Crossref²⁰⁸](#)
- Arya Nielsen, Ted J. Kaptchuk, Physiology of Gua sha, Gua Sha, 10.1016/B978-0-7020-3108-3.00003-0, (21-30), (2013). [Crossref²⁰⁹](#)
- Shirley P.C. Ngai, Alice Y.M. Jones, Changes in Skin Impedance and Heart Rate Variability with Application of Acu-TENS to BL 13 (Feishu) , *The Journal of Alternative and Complementary Medicine*, 10.1089/acm.2012.0097, 19, 6, (558-563), (2013). [Crossref²¹⁰](#)
- Isabelle Nègre, Méthodes non médicamenteuses : compréhension actuelle des mécanismes d'action, Douleurs : Evaluation - Diagnostic - Traitement, 10.1016/j.douler.2013.01.007, 14, 3, (111-118), (2013). [Crossref²¹¹](#)
- Guanghong Ding, Di Zhang, Meng Huang, Lina Wang, Wei Yao, Function of Collagen and Mast Cells in Acupuncture Points, *Current Research in Acupuncture*, 10.1007/978-1-4614-3357-6, (53-87), (2013). [Crossref²¹²](#)
- Sung - Ho Lee, Geon - Ho Jahng, Il - Hwan Choe, Chi - Bong Choi, Dae - Hyun Kim, Hwi - Yool Kim, Neural Pathway Interference by Retained Acupuncture: A Functional MRI Study of a Dog Model of Parkinson's Disease, *CNS Neuroscience & Therapeutics*, 10.1111/cns.12108, 19, 8, (585-595), (2013). [Wiley Online Library²¹³](#)
- Hee Young Kim, Sung Tae Koo, Jae Hyo Kim, Kyungh An, Kyungsoon Chung, Jin Mo Chung, Electroacupuncture analgesia in rat ankle sprain pain model: neural mechanisms, *Neurological Research*, 10.1179/016164109X12537002793689, 32, sup1, (10-17), (2013). [Crossref²¹⁴](#)
- ChangShik Yin, ByungKwan Seo, Hi-Joon Park, Miran Cho, WooSang Jung, Ryowon Choue, ChangHwan Kim, Hun-Kuk Park, Hyejung Lee, HyeongGyun Koh, Acupuncture, a promising adjunctive therapy for essential hypertension: a double-blind, randomized, controlled trial, *Neurological Research*, 10.1179/016164107X172220, 29, sup1, (98-103), (2013). [Crossref²¹⁵](#)
- Gary Deng, Barrie Cassileth, Complementary or alternative medicine in cancer care—myths and realities, *Nature Reviews Clinical Oncology*, 10.1038/nrclinonc.2013.125, 10, 11, (656-664), (2013). [Crossref²¹⁶](#)
- James L Oschman, Fascia as a body-wide communication system, *Fascia: The Tensional Network of the Human Body*, 10.1016/B978-0-7020-3425-1.00049-0, (103-110), (2012). [Crossref²¹⁷](#)
- David Feinstein, Acupoint Stimulation in Treating Psychological Disorders: Evidence of Efficacy, *Review of General Psychology*, 10.1037/a0028602, 16, 4, (364-380), (2012). [Crossref²¹⁸](#)
- Jun J. Mao, Malini M. Khanna, Integrating Acupuncture with Western Medicine in Cancer Treatment, *Acupuncture and Moxibustion as an Evidence-based Therapy for Cancer*, 10.1007/978-94-007-4833-0_14, (313-328), (2012). [Crossref²¹⁹](#)
- Alex Benham, Mark I. Johnson, Characterization of Painful and Non-painful Acupuncture Needle Sensations During Bidirectional Rotation of a Single Needle Inserted 15–25 mm at Large Intestine 10, *Medical Acupuncture*, 10.1089/acu.2011.0861, 24, 3, (172-180), (2012). [Crossref²²⁰](#)
- Li-Ling Lin, Ya-Hui Wang, Chi-Yu Lai, Chan-Lao Chau, Guan-Chin Su, Chun-Yi Yang, Shu-Ying Lou, Szu-Kai Chen, Kuan-Hao Hsu, Yen-Ling Lai, Wei-Ming Wu, Jian-Long Huang, Chih-Hsin Liao, Hsueh-Fen Juan, Systems Biology of Meridians, Acupoints, and Chinese Herbs in Disease, *Evidence-Based Complementary and Alternative Medicine*, 10.1155/2012/372670, 2012, (1-13), (2012). [Crossref²²¹](#)
- Arya Nielsen, Gua sha, Fascia: The Tensional Network of the Human Body, 10.1016/B978-0-7020-3425-1.00009-X, (359-365), (2012). [Crossref²²²](#)
- Hugh MacPherson, Richard Hammerschlag, Acupuncture and the Emerging Evidence Base: Contrived Controversy and Rational Debate, *Journal of Acupuncture and Meridian Studies*, 10.1016/j.jams.2012.05.001, 5, 4, (141-147), (2012). [Crossref²²³](#)
- Yejin Ha, Misun Kim, Jiseon Nah, Minah Suh, Youngmi Lee, Measurements of Location-Dependent Nitric Oxide Levels on Skin Surface in relation to Acupuncture Point, *Evidence-Based Complementary and Alternative Medicine*, 10.1155/2012/781460, 2012, (1-7), (2012). [Crossref²²⁴](#)
- Elisabeth Hsu, "Feeling lighter": Why the patient's treatment evaluation matters to the health scientist, *Integrative Medicine Research*, 10.1016/j.imr.2012.10.003, 1, 1, (5-12), (2012). [Crossref²²⁵](#)
- Petra I. Bäuml, Michael Simang, Sybille Kramer, Dominik Irnich, Acupuncture Point Localization Varies Among Acupuncturists, *Forschende Komplementärmedizin / Research in Complementary Medicine*, 10.1159/000335825, 19, 1, (31-37), (2012). [Crossref²²⁶](#)
- Belinda Anderson, Arya Nielsen, Diane McKee, Anne Jeffries, Ben Kligler, Acupuncture and Heart Rate Variability: A Systems Level Approach to Understanding Mechanism, *EXPLORE: The Journal of Science and Healing*, 10.1016/j.explore.2011.12.002, 8, 2, (99-106), (2012). [Crossref²²⁷](#)
- Xiaoyu Wang, Hong Shi, Hongyan Shang, Yangshuai Su, Juanjuan Xin, Wei He, Xianghong Jing, Bing Zhu, Are Primo Vessels (PVs) on the Surface of Gastrointestine Involved in Regulation of Gastric Motility Induced by Stimulating Acupoints ST36 or CV12?, *Evidence-Based Complementary and Alternative Medicine*, 10.1155/2012/787683, 2012, (1-8), (2012). [Crossref²²⁸](#)
- Dominik Irnich, Johannes Fleckenstein, Acupuncture as a fascia-oriented therapy, *Fascia: The Tensional Network of the Human Body*, 10.1016/B978-0-7020-3425-1.00010-6, (349-357), (2012). [Crossref²²⁹](#)
- Byung-Cheon Lee, Zhendong Su, Baekkyoung Sung, Ki Woo Kim, Jin-Myung Cha, Jin-Kyu Lee, Byung-Joon Chang, Kwang-Sup Soh, Network of the Primo Vascular System in the Rat Hypodermis, *The Primo Vascular System*, 10.1007/978-1-4614-0601-3, (139-146), (2012). [Crossref²³⁰](#)
- Kyoung-Hee Bae, Zhendong Su, Kwang-Sup Soh, Hee Min Kwon, Histological Comparison of Primo Nodes in Abdominal Membrane and Lymph Nodes of Rat, *The Primo Vascular System*, 10.1007/978-1-4614-0601-3, (127-131), (2012). [Crossref²³¹](#)
- Yu Bai, Lin Yuan, Yong Huang, Chun-lei Wang, Jun Wang, Jin-peng Wu, Jing-xing Dai, Dong-fei Li, Chun Yang, Mei-chun Yu, Hui-ying Yang, Hui Tao, Ou Sha, David Tai Wai Yew, From the Anatomical Discovery of Meridians and Collaterals to Fasciology Theory, *The Primo Vascular System*, 10.1007/978-1-4614-0601-3, (305-318), (2012). [Crossref²³²](#)
- Wei Yao, Yabei Li, Guanghong Ding, Interstitial Fluid Flow: The Mechanical Environment of Cells and Foundation of Meridians, *Evidence-Based Complementary and Alternative Medicine*, 10.1155/2012/853516, 2012, (1-9), (2012). [Crossref²³³](#)
- Jungdae Kim, Dae-In Kang, Kwang-Sup Soh, Sunghul Kim, Analysis on Postmortem Tissues at Acupuncture Points in the Image Datasets of Visible Human Project, *The Journal of Alternative and Complementary Medicine*, 10.1089/acm.2010.0850, 18, 2, (120-129), (2012). [Crossref²³⁴](#)
- Marcelo L Silva, Josie RT Silva, Wiliam A Prado, The antinociceptive effect of electroacupuncture at different depths of acupoints and under the needling surface, *Chinese Medicine*, 10.1186/1749-8546-7-3, 7, 1, (2012). [Crossref²³⁵](#)

199. <https://doi.org/10.1016/j.jad.2012.11.058>200. <https://doi.org/10.1155/2013/739293>201. <https://doi.org/10.3736/jintgrmed2013030>202. <https://doi.org/10.1089/acu.2012.0929>203. <https://doi.org/10.1089/acu.2012.0875>204. <https://doi.org/10.1155/2013/740508>205. <https://doi.org/10.1016/B978-0-323-07586-2.00048-0>206. <https://doi.org/10.1089/acu.2012.0902>207. <https://doi.org/10.1016/B978-0-12-411545-3.00001-8>208. <https://doi.org/10.1016/B978-0-7020-3108-3.00005-4>209. <https://doi.org/10.1016/B978-0-7020-3108-3.00003-0>210. <https://doi.org/10.1089/acm.2012.0097>211. <https://doi.org/10.1016/j.douler.2013.01.007>212. <https://doi.org/10.1007/978-1-4614-3357-6>213. <https://onlinelibrary.wiley.com/doi/10.1111/cns.12108>214. <https://doi.org/10.1179/016164109X12537002793689>215. <https://doi.org/10.1179/016164107X172220>216. <https://doi.org/10.1038/nrclinonc.2013.125>217. <https://doi.org/10.1016/B978-0-7020-3425-1.00049-0>218. <https://doi.org/10.1037/a0028602>219. https://doi.org/10.1007/978-94-007-4833-0_14220. <https://doi.org/10.1089/acu.2011.0861>221. <https://doi.org/10.1155/2012/372670>222. <https://doi.org/10.1016/B978-0-7020-3425-1.00009-X>223. <https://doi.org/10.1016/j.jams.2012.05.001>224. <https://doi.org/10.1155/2012/781460>225. <https://doi.org/10.1016/j.imr.2012.10.003>226. <https://doi.org/10.1159/000335825>227. <https://doi.org/10.1016/j.explore.2011.12.002>228. <https://doi.org/10.1155/2012/787683>229. <https://doi.org/10.1016/B978-0-7020-3425-1.00010-6>230. <https://doi.org/10.1007/978-1-4614-0601-3>231. <https://doi.org/10.1007/978-1-4614-0601-3>232. <https://doi.org/10.1155/2012/853516>233. <https://doi.org/10.1089/acm.2010.0850>234. <https://doi.org/10.1089/acm.2010.0850>235. <https://doi.org/10.1186/1749-8546-7-3>

- Hong-Qin Yang, Shu-Sen Xie, Song-Hao Liu, Hui Li, Zhou-Yi Guo, Differences in Optical Transport Properties between Human Meridian and Non-meridian, *The American Journal of Chinese Medicine*, 10.1142/S0192415X07005235, 35, 05, (743-752), (2012). [Crossref²³⁶](#)
- Kaung-Ti Yung, A Birdcage Model for the Chinese Meridian System Part VI: Meridians as the Primary Regulatory System, *The American Journal of Chinese Medicine*, 10.1142/S0192415X05003302, 33, 05, (759-766), (2012). [Crossref²³⁷](#)
- Letter to the Editor, *The American Journal of Chinese Medicine*, 10.1142/S0192415X05003119, 33, 03, (513-515), (2012). [Crossref²³⁸](#)
- A. Paraskeva, A. Melemini, G. Petropoulos, I. Siafaka, A. Fassoulaki, Needling of the Extra 1 Point Decreases BIS Values and Preoperative Anxiety, *The American Journal of Chinese Medicine*, 10.1142/S0192415X04002363, 32, 05, (789-794), (2012). [Crossref²³⁹](#)
- Francisco Abad-Alegria, Carlos Pomarón, About the Neurobiological Foundations of the De-Qi — Stimulus-Response Relation, *The American Journal of Chinese Medicine*, 10.1142/S0192415X04002375, 32, 05, (807-814), (2012). [Crossref²⁴⁰](#)
- Jesse Li-Ling, Human Phenome Based on Traditional Chinese Medicine — A Solution to Congenital Syndromology, *The American Journal of Chinese Medicine*, 10.1142/S0192415X03001594, 31, 06, (991-1000), (2012). [Crossref²⁴¹](#)
- Lisa S. Lancaster, Robert M. Bowker, Acupuncture Points of the Horse's Distal Thoracic Limb: A Neuroanatomic Approach to the Transposition of Traditional Points, *Animals*, 10.3390/ani2030455, 2, 4, (455-471), (2012). [Crossref²⁴²](#)
- Houju Fu, Yuanqiao He, Ying Gao, Yicun Man, Wukun Liu, Hua Hao, Acupuncture on the Endometrial Morphology, the Serum Estradiol and Progesterone Levels, and the Expression of Endometrial Leukaemia-inhibitor Factor and Osteopontin in Rats, Evidence-Based Complementary and Alternative Medicine, 10.1155/2011/606514, 2011, (1-9), (2011). [Crossref²⁴³](#)
- Steven Finando, Donna Finando, Fascia and the mechanism of acupuncture, *Journal of Bodywork and Movement Therapies*, 10.1016/j.jbmt.2010.03.001, 15, 2, (168-176), (2011). [Crossref²⁴⁴](#)
- Hyung-Joo Moon, Yong-Keun Lee, The Relationship Between Dental Occlusion/ Temporomandibular Joint Status and General Body Health: Part 2. Fascial Connection of TMJ with Other Parts of the Body, *The Journal of Alternative and Complementary Medicine*, 10.1089/acm.2010.0740, 17, 12, (1119-1124), (2011). [Crossref²⁴⁵](#)
- Yu Bai, Jun Wang, Jin-peng Wu, Jing-xing Dai, Ou Sha, David Tai Wai Yew, Lin Yuan, Qi-ni Liang, Review of Evidence Suggesting That the Fascia Network Could Be the Anatomical Basis for Acupoints and Meridians in the Human Body, Evidence-Based Complementary and Alternative Medicine, 10.1155/2011/260510, 2011, (1-6), (2011). [Crossref²⁴⁶](#)
- James L. Oschman, Foreword and Special Contribution: The Living Matrix, *Energy Medicine East and West*, 10.1016/B978-0-7020-3571-5.00032-9, (x-xix), (2011). [Crossref²⁴⁷](#)
- Therapie myofaszialer Schmerzsyndrome, Myofasziale Schmerzen und Triggerpunkte, 10.1016/B978-3-437-23095-0.10004-5, (51-91), (2011). [Crossref²⁴⁸](#)
- Xiangeng Zhang, Hui Zhang, Xiaoli Liang, Qin Liu, Mi-qu Wang, Gynecology and Gynecological Nursing Theories and Practices in Traditional Chinese Medicine: Review on the Ancient Literatures, *Chinese Medicine*, 10.4236/cm.2011.23014, 02, 03, (77-83), (2011). [Crossref²⁴⁹](#)
- Pei-Chi Chou, Heng-Yi Chu, Jaung-Geng Lin, Safe Needling Depth of Acupuncture Points, *The Journal of Alternative and Complementary Medicine*, 10.1089/acm.2010.0192, 17, 3, (199-206), (2011). [Crossref²⁵⁰](#)
- References and further reading, *Energy Medicine East and West*, 10.1016/B978-0-7020-3571-5.00037-8, (339-382), (2011). [Crossref²⁵¹](#)
- Dongming Zhang, Xiaohui Yan, Xinyi Zhang, Chenglin Liu, Ruishan Dang, Tiqiao Xiao, Peiping Zhu, Synchrotron radiation phase-contrast X-ray CT imaging of acupuncture points, Analytical and Bioanalytical Chemistry, 10.1007/s00216-011-4913-7, 401, 3, (803-808), (2011). [Crossref²⁵²](#)
- Stéphane J - P. Egot - Lemaire, Marvin C. Ziskin, Dielectric properties of human skin at an acupuncture point in the 50–75 GHz frequency range: A pilot study, *Bioelectromagnetics*, 10.1002/bem.20650, 32, 5, (360-366), (2011). [Wiley Online Library²⁵³](#)
- Chi Eung Danform Lim, Felix Wu Shun Wong, Warren Smith, Factors influencing the bio-impedance data in tissue segments along the three arm meridians: a pilot study, *TANG [HUMANITAS MEDICINE]*, 10.5667/tang.2011.0004, 1, 1, (7.1-7.9), (2011). [Crossref²⁵⁴](#)
- Luigi Baratto, Laura Calzà, Roberto Capra, Michele Gallimini, Luciana Giardino, Alessandro Giuliani, Luca Lorenzini, Silvano Traverso, Ultra-low-level laser therapy, *Lasers in Medical Science*, 10.1007/s10103-010-0837-2, 26, 1, (103-112), (2010). [Crossref²⁵⁵](#)
- Yavuz Beyazit, Murat Kekilli, Fatma Beyazit, Sticking the pieces together: A unifying hypothesis for the acupuncture meridian pathways and extracellular signalling, *Medical Hypotheses*, 10.1016/j.mehy.2010.01.022, 74, 6, (1088), (2010). [Crossref²⁵⁶](#)
- Hugh Gemmill, Peter Miller, Relative effectiveness and adverse effects of cervical manipulation, mobilisation and the activator instrument in patients with sub-acute non-specific neck pain: results from a stopped randomised trial, *Chiropractic & Osteopathy*, 10.1186/1746-1340-18-20, 18, 1, (2010). [Crossref²⁵⁷](#)
- Peter T. Dorsher, Clinical Equivalence of Laser Needle to Metal Acupuncture Needle in Treating Musculoskeletal Pain: A Pilot Study, *Medical Acupuncture*, 10.1089/acu.2009.0724, 22, 1, (11-17), (2010). [Crossref²⁵⁸](#)
- Marco Antonio Helio da Silva, A Neurosegmental Perspective of the Classical Back Shu Points, *Medical Acupuncture*, 10.1089/acu.2010.0762, 22, 4, (257-264), (2010). [Crossref²⁵⁹](#)
- Laurent Misery, Laurence Potin-Richard, Itch and Acupuncture, *Pruritus*, 10.1007/978-1-84882-322-8, (335-338), (2010). [Crossref²⁶⁰](#)
- Guang Ying Huang, Cui Hong Zheng, Yun Xia Wu, Wei Wang, Involvement of connexin 43 in the acupuncture effect of improving rat blastocyst implantation, *Fertility and Sterility*, 10.1016/j.fertnstert.2009.09.036, 93, 5, (1715-1717), (2010). [Crossref²⁶¹](#)
- Felix Wu Shun Wong, Chi Eung Danform Lim, Warren Smith, A New Bioimpedance Research Device (BRD) for Measuring the Electrical Impedance of Acupuncture Meridians, *The Journal of Alternative and Complementary Medicine*, 10.1089/acm.2009.0218, 16, 3, (257-264), (2010). [Crossref²⁶²](#)
- Jennifer A. M. Stone, Peter A. S. Johnstone, Mechanisms of Action for Acupuncture in the Oncology Setting, *Current Treatment Options in Oncology*, 10.1007/s11864-010-0128-y, 11, 3-4, (118-127), (2010). [Crossref²⁶³](#)
- Yu Bai, Lin Yuan, Kwang-Sup Soh, Byung-Cheon Lee, Yong Huang, Chun-lei Wang, Jun Wang, Jin-peng Wu, Jing-xing Dai, Janos Palhalmi, Ou Sha, David Tai Wai Yew, Possible Applications for Fascial Anatomy and Fasciology in Traditional Chinese Medicine, *Journal of Acupuncture and Meridian Studies*, 10.1016/S2005-2901(10)60023-4, 3, 2, (125-132), (2010). [Crossref²⁶⁴](#)
- Peter T. Dorsher, The Languages of Healing: Linked by a Common Thread, *The Journal of Alternative and Complementary Medicine*, 10.1089/acm.2009.0527, 16, 8, (907-913), (2010). [Crossref²⁶⁵](#)
- Fei Zhou, Dengkai Huang YingXia, Neuroanatomic Basis of Acupuncture Points, *Acupuncture Therapy for Neurological Diseases*, 10.1007/978-3-642-10857-0, (32-80), (2010). [Crossref²⁶⁶](#)
- Roeland van Wijk, Jan van der Greef, Eduard van Wijk, Human Ultraweak Photon Emission and the Yin Yang Concept of Chinese Medicine, *Journal of Acupuncture and Meridian Studies*, 10.1016/S2005-2901(10)60041-6, 3, 4, (221-231), (2010). [Crossref²⁶⁷](#)
- Pierre Boutouyrie, Robert Corvisier, Kim-Than Ong, Claire Vulser, Catherine Lassalle, Michel Azizi, Brigitte Laloux, Stéphane Laurent, Acute and chronic effects of acupuncture on radial artery: A randomized double blind study in migraine, *Artery Research*, 10.1016/j.artres.2009.12.003, 4, 1, (7-14), (2010). [Crossref²⁶⁸](#)
- Jun J. Mao, Rahul Kapur, Acupuncture in Primary Care, *Primary Care: Clinics in Office Practice*, 10.1016/j.pop.2009.09.010, 37, 1, (105-117), (2010). [Crossref²⁶⁹](#)
- Andrew C. Ahn, Min Park, Jessica R. Shaw, Claire A. McManus, Ted J. Kaptchuk, Helene M. Langevin, Electrical Impedance of Acupuncture Meridians: The Relevance of Subcutaneous Collagenous Bands, *PLoS ONE*, 10.1371/journal.pone.0011907, 5, 7, (e11907), (2010). [Crossref²⁷⁰](#)
- Kang Cheng, Chang Hua Zou, Information Models of Acupuncture Analgesia and Meridian Channels, *Information*, 10.3390/info1020153, 1, 2, (153-168), (2010). [Crossref²⁷¹](#)
- Peter T. Dorsher, Myofascial Meridians as Anatomical Evidence of Acupuncture Channels, *Medical Acupuncture*, 10.1089/acu.2009.0631, 21, 2, (91-97), (2009). [Crossref²⁷²](#)
- Kwang-Sup Soh, Bonghan Circulatory System as an Extension of Acupuncture Meridians, *Journal of Acupuncture and Meridian Studies*, 10.1016/S2005-2901(09)60041-8, 2, 2, (93-106), (2009). [Crossref²⁷³](#)
- Peter T. Dorsher, Myofascial Referred-Pain Data Provide Physiologic Evidence of Acupuncture Meridians, *The Journal of Pain*, 10.1016/j.jpain.2008.12.010, 10, 7, (723-731), (2009). [Crossref²⁷⁴](#)
- Charles Shang, Prospective Tests on Biological Models of Acupuncture, Evidence-Based Complementary and Alternative Medicine, 10.1093/ecam/nem122, 6, 1, (31-39), (2009). [Crossref²⁷⁵](#)

- Antonio Stecco, Veronica Macchi, Carla Stecco, Andrea Porzianato, Julie Ann Day, Vincent Delmas, Raffaele De Caro, Anatomical study of myofascial continuity in the anterior region of the upper limb, *Journal of Bodywork and Movement Therapies*, 10.1016/j.jbmt.2007.04.009, 13, 1, (53-62), (2009). [Crossref²⁷⁶](#)
- Sang-Hyun Park, Jungdae Kim, Tae-Hoi Koo, Magneto-Acupuncture Stimuli Effects on Ultraweak Photon Emission from Hands of Healthy Persons, *Journal of Acupuncture and Meridian Studies*, 10.1016/S2005-2901(09)60014-5, 2, 1, (40-48), (2009). [Crossref²⁷⁷](#)
- James L. Oschman, Charge transfer in the living matrix, *Journal of Bodywork and Movement Therapies*, 10.1016/j.jbmt.2008.06.005, 13, 3, (215-228), (2009). [Crossref²⁷⁸](#)
- Hsiao-Neng Chen, Jaung-Geng Lin, Li-Chih Ying, Chen-Chai Huang, Chuan-Hsiung Lin, The Therapeutic Depth of Abdominal Acupuncture Points Approaches the Safe Depth in Overweight and in Older Children, *The Journal of Alternative and Complementary Medicine*, 10.1089/acm.2008.0582, 15, 9, (1033-1037), (2009). [Crossref²⁷⁹](#)
- Sallie Stoltz Denner, The Science of Energy Therapies and Contemplative Practice, *Holistic Nursing Practice*, 10.1097/HNP.0b013e3181b3784, 23, 6, (315-334), (2009). [Crossref²⁸⁰](#)
- N. Ospina-Díaz, Introducción a la acupuntura. Fundamentos e interés para el médico de Atención Primaria, *SEMergen - Medicina de Familia*, 10.1016/S1138-3593(09)72675-9, 35, 8, (380-384), (2009). [Crossref²⁸¹](#)
- Suzanne McDonough, Jongbae Park, Jing Yuan, Purepong Nithima, Daniel P. Kerr, Letters, *Spine*, 10.1097/BRS.0b013e31819d071c, 34, 7, (753), (2009). [Crossref²⁸²](#)
- Charles Shang, Has Basic Acupuncture Research Met the Gold Standard of Science?, *Medical Acupuncture*, 10.1089/acu.2009.715, 21, 3, (191-200), (2009). [Crossref²⁸³](#)
- Xiaohui Yan, Xinyi Zhang, Chenglin Liu, Ruishan Dang, Yuying Huang, Wei He, Guanghong Ding, Do acupuncture points exist?, *Physics in Medicine and Biology*, 10.1088/0031-9155/54/9/N01, 54, 9, (N143-N150), (2009). [Crossref²⁸⁴](#)
- Xiaojia Yu, Guanghong Ding, Hong Huang, Jun Lin, Wei Yao, Rui Zhan, Role of Collagen Fibers in Acupuncture Analgesia Therapy on Rats, *Connective Tissue Research*, 10.1080/0308200802471856, 50, 2, (110-120), (2009). [Crossref²⁸⁵](#)
- James J. Mao, Deborah W. Bruner, Carrie Stricker, John T. Farrar, Sharon X. Xie, Marjorie A. Bowman, Donna Pucci Xiaoyan Han, Angela DeMichele, Feasibility Trial of Electroacupuncture for Aromatase Inhibitor—Related Arthralgia in Breast Cancer Survivors, *Integrative Cancer Therapies*, 10.1177/1534735409332903, 8, 2, (123-129), (2009). [Crossref²⁸⁶](#)
- HongQin Yang, ShuSen Xie, Hui Li, YuHua Wang, On optics of human meridians, *Science in China Series G: Physics, Mechanics and Astronomy*, 10.1007/s11433-009-0080-7, 52, 4, (502-507), (2009). [Crossref²⁸⁷](#)
- Dietrich H.W. Groenemeyer, Lei Zhang, Sven Schirp, Jürgen Baier, Localization of Acupuncture Points BL25 and BL26 Using Computed Tomography, *The Journal of Alternative and Complementary Medicine*, 10.1089/acm.2007.7118-O, 15, 12, (1285-1291), (2009). [Crossref²⁸⁸](#)
- Mike Benjamin, The fascia of the limbs and back – a review, *Journal of Anatomy*, 10.1111/j.1469-7580.2008.01011.x, 214, 1, (1-18), (2008). [Wiley Online Library²⁸⁹](#)
- Jesse Li-Ling, Yiyang Wu, Congenital Syndromes Involving the Lungs: Pathogenetic Models Based on Chinese Medicine Theories, *The Journal of Alternative and Complementary Medicine*, 10.1089/acm.2008.0115, 14, 8, (1017-1025), (2008). [Crossref²⁹⁰](#)
- Byung-Cheon Lee, Tae-Jeong Nam, Hyeon-Min Johng, Eun-Sung Park, Ku-Youn Baik, Baek-Kyoung Sung, Kyung-Soon Soh, Yeo-Sung Yoon, Kwang-Sup Soh, Argyrophilic Fibers of Intravascular Threadlike Structures in Rat, *Journal of Korean Institute of Herbal Acupuncture*, 10.3831/KPI.2008.11.3.005, 11, 3, (5-16), (2008). [Crossref²⁹¹](#)
- Di Zhang, Guanghong Ding, Xueyong Shen, Wei Yao, Zhiying Zhang, Yuqing Zhang, Jun Lin, Quanbao Gu, Role of Mast Cells in Acupuncture Effect: A Pilot Study, *EXPLORE*, 10.1016/j.explore.2008.02.002, 4, 3, (170-177), (2008). [Crossref²⁹²](#)
- Stephen M. Sagar, Acupuncture as an Evidence-Based Option for Symptom Control in Cancer Patients, *Current Treatment Options in Oncology*, 10.1007/s11864-008-0063-3, 9, 2-3, (117-126), (2008). [Crossref²⁹³](#)
- M. Miguel-Pérez, J.C. Ortiz-Sagrístá, A. Pérez-Bellmunt, R. Ramos-Izquierdo, A. García-Fernández, Descripción anatómica de puntos de acupuntura en la extremidad inferior, *Revista Internacional de Acupuntura*, 10.1016/S1887-8369(08)70031-0, 2, 2, (126-131), (2008). [Crossref²⁹⁴](#)
- Marcus Bäcker, Paul Grossman, Jens Schneider, Andreas Michalsen, Nicola Knoblauch, Linda Tan, Corinna Niggemeyer, Klaus Linde, Dieter Melchart, Gustav J. Dobos, Acupuncture in Migraine, *The Clinical Journal of Pain*, 10.1097/AJP.0b013e318159f95e, 24, 295. [https://doi.org/10.1097/AJP.0b013e318159f95e](#)
276. [https://doi.org/10.1016/j.jbmt.2007.04.009](#)
277. [https://doi.org/10.1016/S2005-2901\(09\)60014-5](#)
278. [https://doi.org/10.1016/j.jbmt.2008.06.005](#)
279. [https://doi.org/10.1089/acm.2008.0582](#)
280. [https://doi.org/10.1097/HNP.0b013e3181b3784](#)
281. [https://doi.org/10.1016/S1138-3593\(09\)72675-9](#)
282. [https://doi.org/10.1097/BRS.0b013e31819d071c](#)
283. [https://doi.org/10.1089/acu.2009.715](#)
284. [https://doi.org/10.1088/0031-9155/54/9/N01](#)
285. [https://doi.org/10.1080/0308200802471856](#)
286. [https://doi.org/10.1177/1534735409332903](#)
287. [https://doi.org/10.1007/s11433-009-0080-7](#)
288. [https://doi.org/10.1089/acm.2007.7118-O](#)
289. [https://onlinelibrary.wiley.com/doi/10.1111/j.1469-7580.2008.01011.x](#)
290. [https://doi.org/10.1089/acm.2008.0115](#)
291. [https://doi.org/10.3831/KPI.2008.11.3.005](#)
292. [https://doi.org/10.1016/j.explore.2008.02.002](#)
293. [https://doi.org/10.1007/s11864-008-0063-3](#)
294. [https://doi.org/10.1016/S1887-8369\(08\)70031-0](#)
295. [https://doi.org/10.1097/AJP.0b013e318159f95e](#)
296. [https://doi.org/10.1089/acu.2008.0621](#)
297. [https://doi.org/10.1016/S2005-2901\(09\)60002-9](#)
298. [https://doi.org/10.1093/ecam/nem060](#)
299. [https://doi.org/10.1089/acm.2008.SAR-5](#)
300. [https://doi.org/10.1016/S2005-2901\(09\)60027-3](#)
301. [https://doi.org/10.1016/S1887-8369\(08\)70003-6](#)
302. [https://doi.org/10.1016/S2005-2901\(09\)60006-6](#)
303. [https://doi.org/10.1089/acm.2008.SAR-3](#)
304. [https://doi.org/10.1089/acm.2007.0606](#)
305. [https://doi.org/10.1016/B978-044310029-1.50013-9](#)
306. [https://doi.org/10.1016/B978-044310029-1.50014-0](#)
307. [https://doi.org/10.1016/B978-044310390-2.50009-2](#)
308. [https://onlinelibrary.wiley.com/doi/10.1002/bem.20403](#)
309. [https://doi.org/10.1186/1475-925X-7-19](#)
310. [https://doi.org/10.1016/j.explore.2006.12.002](#)
311. [https://doi.org/10.1016/j.explore.2007.06.001](#)
312. [https://doi.org/10.1186/1471-2342-7-4](#)
313. [https://doi.org/10.1078/0415-6412-00281](#)
- 2, (106-115), (2008). [Crossref²⁹⁵](#)
- Peter T. Dorsher, Optimal Localization of Acupuncture Points: Implications for Acupuncture Practice, Education, and Research, *Medical Acupuncture*, 10.1089/acu.2008.0621, 20, 3, (147-150), (2008). [Crossref²⁹⁶](#)
- Byung-Cheon Lee, Vyacheslav Ogay, Ki Woo Kim, Yuwon Lee, Jin-Kyu Lee, Kwang-Sup Soh, Acupuncture Muscle Channel in the Subcutaneous Layer of Rat Skin, *Journal of Acupuncture and Meridian Studies*, 10.1016/S2005-2901(09)60002-9, 1, 1, (13-19), (2008). [Crossref²⁹⁷](#)
- Agatha P. Colbert, Jinkook Yun, Adrian Larsen, Tracy Edinger, William L. Gregory, Tran Thong, Skin Impedance Measurements for Acupuncture Research: Development of a Continuous Recording System, Evidence-Based Complementary and Alternative Medicine, 10.1093/ecam/nem060, 5, 4, (443-450), (2008). [Crossref²⁹⁸](#)
- Hugh MacPherson, Richard Nahin, Charlotte Paterson, Claire M. Cassidy, George T. Lewith, Richard Hammerschlag, Developments in Acupuncture Research: Big-Picture Perspectives from the Leading Edge, *The Journal of Alternative and Complementary Medicine*, 10.1089/acm.2008.SAR-5, 14, 7, (883-887), (2008). [Crossref²⁹⁹](#)
- Vyacheslav Ogay, Min Su Kim, Hyo Jun Seok, Cheon Joo Choi, Kwang-Sup Soh, Catecholamine-storing Cells at Acupuncture Points of Rabbits, *Journal of Acupuncture and Meridian Studies*, 10.1016/S2005-2901(09)60027-3, 1, 2, (83-90), (2008). [Crossref³⁰⁰](#)
- J. Giebel, Mecanotransducción y transducción de señales a través del tejido conjuntivo, *Revista Internacional de Acupuntura*, 10.1016/S1887-8369(08)70003-6, 2, 1, (9-14), (2008). [Crossref³⁰¹](#)
- Sheng-Hsiung Hsiao, Li-Jen Tsai, A Neurovascular Transmission Model for Acupuncture-induced Nitric Oxide, *Journal of Acupuncture and Meridian Studies*, 10.1016/S2005-2901(09)60006-6, 1, 1, (42-50), (2008). [Crossref³⁰²](#)
- Vitaly Napadow, Andrew Ahn, John Longhurst, Lixing Lao, Elisabet Stener-Victorin, Richard Harris, Helene M. Langevin, The Status and Future of Acupuncture Mechanism Research, *The Journal of Alternative and Complementary Medicine*, 10.1089/acm.2008.SAR-3, 14, 7, (861-869), (2008). [Crossref³⁰³](#)
- Hong-Yi Li, Jie-Fu Yang, Min Chen, Liang Xu, Wen-Chao Wang, Fang Wang, Jia-Bin Tong, Chuan-Yu Wang, Visualized Regional Hypodermic Migration Channels of Interstitial Fluid in Human Beings: Are These Ancient Meridians?, *The Journal of Alternative and Complementary Medicine*, 10.1089/acm.2007.0606, 14, 6, (621-628), (2008). [Crossref³⁰⁴](#)
- Rosa N. Schnyer, Stephen Birch, Hugh MacPherson, Acupuncture practice as the foundation for clinical evaluation, *Acupuncture Research*, 10.1016/B978-044310029-1.50013-9, (153-179), (2008). [Crossref³⁰⁵](#)
- Richard Hammerschlag, Hélène M. Langevin, Lixing Lao, George Lewith, Physiological dynamics of acupuncture: correlations and mechanisms, *Acupuncture Research*, 10.1016/B978-044310029-1.50014-0, (181-197), (2008). [Crossref³⁰⁶](#)
- Paul Orrock, Eric Blake, Leon Chaitow, Roger Newman Turner, Naturopathic Physical Medicine, *Naturopathic Physical Medicine*, 10.1016/B978-044310390-2.50009-2, (75-100), (2008). [Crossref³⁰⁷](#)
- Andrew C. Ahn, Agatha P. Colbert, Belinda J. Anderson, Ørjan G. Martinsen, Richard Hammerschlag, Steve Cina, Peter M. Wayne, Helene M. Langevin, Electrical properties of acupuncture points and meridians: A systematic review, *Bioelectromagnetics*, 10.1002/bem.20403, 29, 4, (245-256), (2008). [Wiley Online Library³⁰⁸](#)
- Margaret Julias, Lowell T. Edgar, Helen M. Buettner, David I. Shreiber, An in vitro assay of collagen fiber alignment by acupuncture needle rotation, *BioMedical Engineering Online*, 10.1186/1475-925X-7-19, 7, 1, (2008). [Crossref³⁰⁹](#)
- Kell N. Julliard, Claudia Citkowitz, Douglas McDaniel, Towards a Model for Planning Clinical Research in Oriental Medicine, *EXPLORE*, 10.1016/j.explore.2006.12.002, 3, 2, (118-128), (2007). [Crossref³¹⁰](#)
- Arya Nielsen, Nicola T.M. Knoblauch, Gustav J. Dobos, Andreas Michalsen, Ted J. Kaptchuk, The Effect of Gua Sha Treatment on the Microcirculation of Surface Tissue: A Pilot Study in Healthy Subjects, *EXPLORE*, 10.1016/j.explore.2007.06.001, 3, 5, (456-466), (2007). [Crossref³¹¹](#)
- Roy Moncayo, Ansgar Rudisch, Markus Diemling, Christian Kremser, In-vivo visualisation of the anatomical structures related to the acupuncture points Dai mai and Shen mai by MRI: A single-case pilot study, *BMC Medical Imaging*, 10.1186/1471-2342-7-4, 7, 1, (2007). [Crossref³¹²](#)
- J. Giebel, Mecanotransducción und Signaltransduktion über das Bindegewebe – Mechanismen zur Erklärung des therapeutischen Effekts der Akupunktur?, *Deutsche Zeitschrift für Akupunktur*, 10.1078/0415-6412-00281, 50, 3, (6-10), (2007). [Crossref³¹³](#)

- Roy Moncayo, Ansgar Rudisch, Christian Kremser, Helga Moncayo, 3D-MRI rendering of the anatomical structures related to acupuncture points of the Dai mai, Yin qiao mai and Yang qiao mai meridians within the context of the WOMED concept of lateral tension: implications for musculoskeletal disease, *BMC Musculoskeletal Disorders*, 10.1186/1471-2474-8-33, 8, 1, (2007). [Crossref³¹⁴](#)
- Helene M. Langevin, Nicole A. Bouffard, David L. Churchill, Gary J. Badger, Connective Tissue Fibroblast Response to Acupuncture: Dose-Dependent Effect of Bidirectional Needle Rotation, *The Journal of Alternative and Complementary Medicine*, 10.1089/acm.2007.6351, 13, 3, (355-360), (2007). [Crossref³¹⁵](#)
- Yong-Hui Han, Joon-Mo Yang, Min-Su Kim, Kwang-Sup Soh, Detection of the acupuncture points in Skin by differential path-length spectroscopy, *World Congress on Medical Physics and Biomedical Engineering 2006*, 10.1007/978-3-540-36841-0, (3572-3575), (2007). [Crossref³¹⁶](#)
- Min-Su Kim, Vyacheslav Ogay, Yong-Hui Han, Hak-Soo Shin, Byung-Cheon Lee, Kwang-Sup Soh, Alcian Blue Staining Technique for Tracing the Governing Vessel (GV) Meridian in Rat, *World Congress on Medical Physics and Biomedical Engineering 2006*, 10.1007/978-3-540-36841-0, (3576-3579), (2007). [Crossref³¹⁷](#)
- Miguel-Pérez Maribel, Ortiz-Sagrístá Joan Carles, Pérez-Bellmunt Albert, Buxeda Mónica, Cuni Laura, García-Fernández Alicia, Descripción anatómica de puntos de acupuntura en la extremidad superior, *Revista Internacional de Acupuntura*, 10.1016/S1887-8369(07)70217-X, 1, 2, (53-57), (2007). [Crossref³¹⁸](#)
- Yury P. Limansky, Serge A. Gulyar, Ivan Z. Samosyuk, Scientific basis of acupuncture, *Kontakt*, 10.32725/kont.2007.060, 9, 2, (391-402), (2007). [Crossref³¹⁹](#)
- Leon Chaitow, Fascia 2007 Congress, *Journal of Bodywork and Movement Therapies*, 10.1016/j.jbmt.2006.07.004, 10, 4, (249-250), (2006). [Crossref³²⁰](#)
- Helene M. Langevin, Connective tissue: A body-wide signaling network?, *Medical Hypotheses*, 10.1016/j.mehy.2005.12.032, 66, 6, (1074-1077), (2006). [Crossref³²¹](#)
- Albert Y. Leung, Jun Park, Gery Schulteis, Jeng-Ren Duann, Tony Yaksh, The Electrophysiology of De Qi Sensations, *The Journal of Alternative and Complementary Medicine*, 10.1089/acm.2006.12.743, 12, 8, (743-750), (2006). [Crossref³²²](#)
- Acupuncture, *Obstetrics & Gynecology*, 10.1097/01.AOG.0000239498.38595.41, 108, 4, (1024-1026), (2006). [Crossref³²³](#)
- Jeanne L. Shea, Applying Evidence-Based Medicine to Traditional Chinese Medicine: Debate and Strategy, *The Journal of Alternative and Complementary Medicine*, 10.1089/acm.2006.12.255, 12, 3, (255-263), (2006). [Crossref³²⁴](#)
- Grigory V. Chernyak, Daniel I. Sessler, Perioperative Acupuncture and Related Techniques, *Anesthesiology*, 10.1097/0000542-200505000-00024, 102, 5, (1031-1049), (2005). [Crossref³²⁵](#)
- Grigory Chernyak, Papiya Sengupta, Rainer Lenhardt, Edwin Liem, Anthony G. Doufas, Daniel I. Sessler, Ozan Ak?za, The Timing of Acupuncture Stimulation Does Not Influence Anesthetic Requirement, *Anesthesia & Analgesia*, 10.1213/01.ANE.0000142114.72117.E0, 100, 2, (387-392), (2005). [Crossref³²⁶](#)
- Gabriela E. Garcia, Sheng-Xing Ma, Lili Feng, Acupuncture and Kidney Disease, *Advances in Chronic Kidney Disease*, 10.1016/j.ackd.2005.04.002, 12, 3, (282-291), (2005). [Crossref³²⁷](#)
- Andrew C. Ahn, Junru Wu, Gary J. Badger, Richard Hammerschlag, Helene M. Langevin, Electrical impedance along connective tissue planes associated with acupuncture meridians, *BMC Complementary and Alternative Medicine*, 10.1186/1472-6882-5-10, 5, 1, (2005). [Crossref³²⁸](#)
- E.E. Konofagou, H.M. Langevin, Using ultrasound to understand acupuncture, *IEEE Engineering in Medicine and Biology Magazine*, 10.1109/EMEM.2005.1411347, 24, 2, (41-46), (2005). [Crossref³²⁹](#)
- R. Schleip, W. Klingler, F. Lehmann-Horn, Active fascial contractility: Fascia may be able to contract in a smooth muscle-like manner and thereby influence musculoskeletal dynamics, *Medical Hypotheses*, 10.1016/j.mehy.2005.03.005, 65, 2, (273-277), (2005). [Crossref³³⁰](#)
- Paulo H. Hashimoto, The perineurial vessel: A possible candidate for the structural basis of the meridian (Jing - Luo) in Chinese medicine*, *Anatomical Science International*, 10.1111/j.1447-073X.2005.00118.x, 80, 4, (177-180), (2005). [Wiley Online Library³³¹](#)
- Dina Ralt, Intercellular communication, NO and the biology of Chinese medicine, *Cell Communication and Signaling*, 10.1186/1478-811X-3-8, 3, 1, (2005). [Crossref³³²](#)
- Ai-Hui Li, Jun-Ming Zhang, Yi-Kuan Xie, Human acupuncture points mapped in rats are associated with excitable muscle/skin-nerve complexes with enriched nerve endings, *Brain Research*, 10.1016/j.brainres.2004.04.009, 1012, 1-2, (154-159), (2004). [Crossref³³³](#)
314. <https://doi.org/10.1186/1471-2474-8-33>
315. <https://doi.org/10.1089/acm.2007.6351>
316. <https://doi.org/10.1007/978-3-540-36841-0>
317. <https://doi.org/10.1007/978-3-540-36841-0>
318. [https://doi.org/10.1016/S1887-8369\(07\)70217-X](https://doi.org/10.1016/S1887-8369(07)70217-X)
319. <https://doi.org/10.32725/kont.2007.060>
320. <https://doi.org/10.1016/j.jbmt.2006.07.004>
321. <https://doi.org/10.1016/j.mehy.2005.12.032>
322. <https://doi.org/10.1089/acm.2006.12.743>
323. <https://doi.org/10.1097/01.AOG.0000239498.38595.41>
324. <https://doi.org/10.1089/acm.2006.12.255>
325. <https://doi.org/10.1097/0000542-200505000-00024>
326. <https://doi.org/10.1213/01.ANE.0000142114.72117.E0>
327. <https://doi.org/10.1016/j.ackd.2005.04.002>
328. <https://doi.org/10.1186/1472-6882-5-10>
329. <https://doi.org/10.1109/EMEM.2005.1411347>
330. <https://doi.org/10.1016/j.mehy.2005.03.005>
331. <https://onlinelibrary.wiley.com/doi/10.1111/j.1447-073X.2005.00118.x>
332. <https://doi.org/10.1186/1478-811X-3-8>
333. <https://doi.org/10.1016/j.brainres.2004.04.009>
- Kaung-Ti Yung, A Birdcage Model for the Chinese Meridian System Part II: The Meridian System as a Birdcage Resonator, *The American Journal of Chinese Medicine*, 10.1142/S0192415X04002582, 32, 06, (985-997), (2004). [Crossref³³⁴](#)
- J. P. Jones, Y. K. Bae, L. Wilson, C. S. So, D. D. Kidney, Ultrasonic Imaging and Characterization of Acupuncture Points in Classical Oriental Medicine, *Acoustical Imaging*, 10.1007/978-1-4020-2402-3_66, (527-533), (2004). [Crossref³³⁵](#)
- Helene M. Langevin, Elisa E. Konofagou, Gary J. Badger, David L. Churchill, James R. Fox, Jonathan Ophir, Brian S. Garra, Tissue displacements during acupuncture using ultrasound elastography techniques, *Ultrasound in Medicine & Biology*, 10.1016/j.ultrasmedbio.2004.07.010, 30, 9, (1173-1183), (2004). [Crossref³³⁶](#)
- M. Bäcker, I.K. Gareus, N.T.M. Knoblauch, A. Michalsen, G.J. Dobos, Akupunktur in der Schmerztherapie – Hypothese zu adaptiven Prozessen, *Complementary Medicine Research*, 10.1159/000082815, 11, 6, (335-345), (2004). [Crossref³³⁷](#)
- Opher Caspi, Cari Stellhorn, Melinda Connor, Sham in CAM, *Evidence-Based Integrative Medicine*, 10.2165/01197065-200401040-00002, 1, 4, (233-240), (2004). [Crossref³³⁸](#)
- Bruce D. Curtis, J.J. Hurtak, Consciousness and Quantum Information Processing: Uncovering the Foundation for a Medicine of Light, *The Journal of Alternative and Complementary Medicine*, 10.1089/10755304322848931, 10, 1, (27-39), (2004). [Crossref³³⁹](#)
- E.E. Konofagou, G.J. Badger, B.S. Garra, H.M. Langevin, IEEE Symposium on Ultrasonics, 2003, 10.1109/ULTSYM.2003.1293138, (1288-1291), (2003). [Crossref³⁴⁰](#)
- Leon Chaitow, Judith DeLany, Neuromuscular Techniques in Orthopedics, *Techniques in Orthopaedics*, 10.1097/00013611-200303000-00013, 18, 1, (74-86), (2003). [Crossref³⁴¹](#)
- LiteratureWatch, *Alternative and Complementary Therapies*, 10.1089/10762800360520811, 9, 1, (49-50), (2003). [Crossref³⁴²](#)
- Michael McCarthy, Palpatory literacy, Chinese therapeutic bodywork (Tui Na) and the remediation of head, neck and shoulder pain, *Journal of Bodywork and Movement Therapies*, 10.1016/S1360-8592(03)00044-5, 7, 4, (262-277), (2003). [Crossref³⁴³](#)
- Leon Chaitow, What binds us together?, *Journal of Bodywork and Movement Therapies*, 10.1016/S1360-8592(03)00020-2, 7, 2, (69-70), (2003). [Crossref³⁴⁴](#)
- Joshi, Narahari & Mbbs, Msc & Pa'ez, Ximena & Araque, MBBS. (2012). Electroacupuncture Effects on the Disintegration of Beta Amyloid Sheets: Its Application to Alzheimer's Disease. *Medical Acupuncture*. 24. 145. 10.1089/acu.2012.0873. [ResearchGate³⁴⁵](#)
- ## HRV, Ayurveda
- Ram Manohar, P., Sorokin, O., Chacko, J., & Nampoothiri, V. (2018). An exploratory clinical study to determine the utility of heart rate variability analysis in the assessment of dosha imbalance. *Journal of Ayurveda and integrative medicine*, 9(2), 126–130. [Crossref³⁴⁶](#)
- Travis F.T., Wallace R.K. Doša brain-types: a neural model of individual differences. *J Ayurveda Integr Med*. 2015;6(4):280–285. [PMC³⁴⁷](#) - [PubMed³⁴⁸](#)
- Tyagi A., Cohen M. Yoga and heart rate variability: a comprehensive review of the literature. *Int J Yoga*. 2016;9(2):97–113. [PMC³⁴⁹](#) - [PubMed³⁵⁰](#)
- Masel E., Huber P., Engler T., Herbert Watzke H.H. Heart rate variability during treatment of breakthrough pain in patients with advanced cancer: a pilot study. *J Pain Res*. 2016 Dec;9:1215–1220. [PMC³⁵¹](#) - [PubMed³⁵²](#)
- Kim E.-H., Park J.-H., Lee S.M., Gwak M.-S., Kim G.-S., Kim M.-H. Preoperative depressed mood and perioperative heart rate variability in patients with hepatic cancer. *J Clin Anesth*. 2016 Dec;35:332–338. [PubMed³⁵³](#)
- Kozswicz M., Michalak S., Bilinska M., Budrewicz S., Zaborowski M., Slotwinski K. Profile of autonomic dysfunctions in patients with primary brain tumor and possible autoimmunity. *Clin Neurol Neurosurg*. 2016 Dec;151:51–54. [PubMed³⁵⁴](#)
344. <https://doi.org/10.1142/S0192415X04002582>
335. https://doi.org/10.1007/978-1-4020-2402-3_66
336. <https://doi.org/10.1016/j.ultrasmedbio.2004.07.010>
337. <https://doi.org/10.1159/000082815>
338. <https://doi.org/10.2165/01197065-200401040-00002>
339. <https://doi.org/10.1089/10755304322848931>
340. <https://doi.org/10.1109/ULTSYM.2003.1293138>
341. <https://doi.org/10.1097/00013611-200303000-00013>
342. <https://doi.org/10.1089/10762800360520811>
343. [https://doi.org/10.1016/S1360-8592\(03\)00044-5](https://doi.org/10.1016/S1360-8592(03)00044-5)
344. [https://doi.org/10.1016/S1360-8592\(03\)00020-2](https://doi.org/10.1016/S1360-8592(03)00020-2)
345. https://www.researchgate.net/publication/236897521_Electroacupuncture_Effects_on_the_Disintegration_of_Beta_Amyloid_Sheets_Its_Application_to_Alzheimer's_Disease
346. <https://doi.org/10.1016/j.jaim.2017.06.008>
347. <http://www.ncbi.nlm.nih.gov/pmc/articles/pmc4719489/>
348. <https://pubmed.ncbi.nlm.nih.gov/26834428/>
349. <http://www.ncbi.nlm.nih.gov/pmc/articles/pmc4959333/>
350. <https://pubmed.ncbi.nlm.nih.gov/27512317/>
351. <http://www.ncbi.nlm.nih.gov/pmc/articles/pmc5161332/>
352. <https://pubmed.ncbi.nlm.nih.gov/28003771/>
353. <https://pubmed.ncbi.nlm.nih.gov/27871552/>
354. <https://pubmed.ncbi.nlm.nih.gov/27788421/>

- Rastogi, S., & Singh, R. H. (2021). Principle of Hot (Ushna) and Cold (Sheeta) and Its Clinical Application in Ayurvedic Medicine. *Advances in experimental medicine and biology*, 1343, 39–55. [Crossref³⁵⁵](#)
- Mills, P. J., Peterson, C. T., Wilson, K. L., Pung, M. A., Patel, S., Weiss, L., Kshirsagar, S. G., Tanzi, R. E., & Chopra, D. (2019). Relationships among classifications of ayurvedic medicine diagnostics for imbalances and western measures of psychological states: An exploratory study. *Journal of Ayurveda and integrative medicine*, 10(3), 198–202. [Crossref³⁵⁶](#)
- Pandey M.M., Rastogi S., Rawat A.K. Indian traditional ayurvedic system of medicine and nutritional supplementation. *Evid Based Complement Alternat Med*. 2013;2013:376327. - [PMC³⁵⁷](#) - [PubMed³⁵⁸](#)
- Chopra A., Doiphode V.V. Ayurvedic medicine. Core concept, therapeutic principles, and current relevance. *Med Clin North Am*. 2002;86(1):75–89. vii. - [PubMed³⁵⁹](#)
- Zhou X., Ma Z., Zhang L., Zhou S., Wang J., Wang B. Heart rate variability in the prediction of survival in patients with cancer: a systematic review and meta-analysis. *J Psychosom Res*. 2016 Oct;89:20–25. - [PubMed³⁶⁰](#)
- Taffe L., Stancil K., Bond V., Pemminati S., Gorantla V.R., Kadur K. Differentiation of overweight from normal weight young adults by postprandial heart rate variability and systolic blood pressure. *J Clin Diagnostic Res*. 2016 Aug;10(8):CC01–CC06. - [PMC³⁶¹](#) - [PubMed³⁶²](#)
- Gupta J., Dube A., Singh V., Gupta R.C. Spectral analysis of heart rate variability in bronchial asthma patients. *Indian J Physiol Pharmacol*. 2012;56(4):330–336. - [PubMed³⁶³](#)
- Sorokin O.V., Subotyalov M.A. Material of the all-Russian scientific and practical conference with international presence, October 26–27, 2011 Kemerovo, Russia. 2011. Comparative medical research of VedaPulse hardware and software kit // Health maintaining activities in educational system: theory and practice; pp. 225–230.
- Kelkar P., Karamchandani S., Jinda S. Proceedings of conference on advance applications in physiological variability, BARC. 2010. Identifying tridosha for disease characterisation in morphology of an IPG pulse waveform.
- Singh Harupjit. Thapar University; Patiala: 2016. Relationship between three ayurvedic doshas and heart rate variability frequency bands: a pilot study.
- Deshpande H., Shivakumar, Kavita M.B., Tripathy T.B., Chaturvedi A. Healthcare and disease management in Ayurveda. *Altern Ther Health Med*. 2001;7(2):44–50. - [PubMed³⁶⁴](#)
- Anthony J.V., Joanne M.G. Understanding interobserver agreement: the kappa statistic. *Fam Med*. 2005 May;37(5):360–363. - [PubMed³⁶⁵](#)
- Telles S., Pathak S., Kumar A., Mishra P., Balkrishna A. Ayurvedic doshas as predictors of sleep quality. *Med Sci Monit*. 2015;21:1421–1427. - [PMC³⁶⁶](#) - [PubMed³⁶⁷](#)
- Bell C., Heidel R.E., Sunega J., Drisko J. Ancient wisdom. Can ayurvedic prakriti provide invaluable insights into integrative medicine? *Ayurveda J Health*. 2017;27:27–34.
- Cohen S., Kamarck T., Mermelstein R. A global measure of perceived stress. *J Health Soc Behav*. 1983;24(4):385–396. - [PubMed³⁶⁸](#)
- Travis F.T., Wallace R.K. Dosh brain-types: a neural model of individual differences. *J Ayurveda Integr Med*. 2015;6(4):280–285. - [PMC³⁶⁹](#) - [PubMed³⁷⁰](#)
- Dey S, Pahwa P. Prakriti and its associations with metabolism, chronic diseases, and genotypes: possibilities of new born screening and a lifetime of personalized prevention. *J Ayurveda Integr Med*. 2014;5(1):15–24. - [PMC³⁷¹](#) - [PubMed³⁷²](#)
- Purvya M.C., Meena M.S. A review on role of prakriti in aging. *Ayu*. 2011;32(1):20–24. - [PMC³⁷³](#) - [PubMed³⁷⁴](#)
- Pham, T., Lau, Z. J., Chen, S. H. A., & Makowski, D. (2021). Heart Rate Variability in Psychology: A Review of HRV Indices and an Analysis Tutorial. *Sensors (Basel, Switzerland)*, 21(12), 3998. [Crossref³⁷⁵](#)
- Lombardi F., Malliani A., Pagani M., Cerutti S. Heart Rate Variability and Its Sympatho-Vagal Modulation. *Cardiovasc. Res*. 1996;32:208–216. doi: 10.1016/0008-6363(96)00116-2. - [DOI³⁷⁶](#) - [PubMed³⁷⁷](#)
- Mccraty R., Shaffer F. Heart Rate Variability: New Perspectives on Physiological Mechanisms, Assessment of Self-regulatory Capacity, and Health Risk. *Glob. Adv. Heal. Med*. 2015;4:46–61. doi: 10.7453/gahmj.2014.073. - [DOI³⁷⁸](#) - [PMC³⁷⁹](#) - [PubMed³⁸⁰](#)
- Thayer J.F., Yamamoto S.S., Brosschot J.F. The relationship of autonomic imbalance, heart rate variability and cardiovascular disease risk factors. *Int. J. Cardiol*. 2010;141:122–131. doi: 10.1016/j.ijcard.2009.09.543. - [DOI³⁸¹](#) - [PubMed³⁸²](#)
355. https://doi.org/10.1007/978-3-030-80983-6_4
356. <https://doi.org/10.1016/j.jaim.2018.02.001>
357. <https://www.ncbi.nlm.nih.gov/pmc/articles/pmc3705899/>
358. <https://pubmed.ncbi.nlm.nih.gov/23864888/>
359. <https://pubmed.ncbi.nlm.nih.gov/11795092/>
360. <https://pubmed.ncbi.nlm.nih.gov/27663106/>
361. <http://www.ncbi.nlm.nih.gov/pmc/articles/pmc5028518/>
362. <https://pubmed.ncbi.nlm.nih.gov/27656434/>
363. <https://pubmed.ncbi.nlm.nih.gov/23781652/>
364. <https://pubmed.ncbi.nlm.nih.gov/11253416/>
365. <https://pubmed.ncbi.nlm.nih.gov/15883903/>
366. <http://www.ncbi.nlm.nih.gov/pmc/articles/pmc4448595/>
367. <https://pubmed.ncbi.nlm.nih.gov/25982247/>
368. <https://pubmed.ncbi.nlm.nih.gov/6668417/>
369. <http://www.ncbi.nlm.nih.gov/pmc/articles/pmc4719489/>
370. <https://pubmed.ncbi.nlm.nih.gov/26834428/>
371. <http://www.ncbi.nlm.nih.gov/pmc/articles/pmc4012357/>
372. <https://pubmed.ncbi.nlm.nih.gov/24812471/>
373. <http://www.ncbi.nlm.nih.gov/pmc/articles/pmc3215411/>
374. <https://pubmed.ncbi.nlm.nih.gov/22131755/>
375. <https://doi.org/10.3390/s21123998>
376. [https://doi.org/10.1016/0008-6363\(96\)00116-2](https://doi.org/10.1016/0008-6363(96)00116-2)
377. <https://pubmed.ncbi.nlm.nih.gov/8796106/>
378. <https://doi.org/10.7453/gahmj.2014.073>
379. <http://www.ncbi.nlm.nih.gov/pmc/articles/pmc4311559/>
380. <https://pubmed.ncbi.nlm.nih.gov/25694852/>
381. <https://doi.org/10.1016/j.ijcard.2009.09.543>
382. <https://pubmed.ncbi.nlm.nih.gov/19910061/>
383. <https://doi.org/10.2174/1573403X16999201231203854>
384. <https://doi.org/10.1016/j.mehy.2020.109574>
385. <https://doi.org/10.1016/j.jpsycho.2023.08.001>
386. <https://doi.org/10.3390/jcm7110404>
387. <http://www.ncbi.nlm.nih.gov/pmc/articles/pmc6262541/>
388. <https://pubmed.ncbi.nlm.nih.gov/30384420/>
389. <https://doi.org/10.36740/wlek202111130>
390. <https://pubmed.ncbi.nlm.nih.gov/35023505/>
391. <https://doi.org/10.3389/fpsyg.2022.927705>
392. <http://www.ncbi.nlm.nih.gov/pmc/articles/pmc9558284/>
393. <https://pubmed.ncbi.nlm.nih.gov/36248548/>
394. <https://doi.org/10.3389/fpsyg.2018.00044>
395. <http://www.ncbi.nlm.nih.gov/pmc/articles/pmc5859128/>
396. <https://pubmed.ncbi.nlm.nih.gov/29595576/>
397. <https://doi.org/10.3389/fpsyg.2017.00213>
398. <http://www.ncbi.nlm.nih.gov/pmc/articles/pmc5316555/>
399. <https://pubmed.ncbi.nlm.nih.gov/28265249/>
400. <https://doi.org/10.1093/mp/9.1.32>
401. <https://doi.org/10.1584/voices/v19i2.2556>
402. <https://doi.org/10.3389/fpsyg.2019.01038>
403. <http://www.ncbi.nlm.nih.gov/pmc/articles/pmc6517496/>
404. <https://pubmed.ncbi.nlm.nih.gov/31133945/>
405. <https://doi.org/10.18936/islis.24.1.155>
406. <https://doi.org/10.1016/j.jpsycho.2017.07.010>
407. <https://pubmed.ncbi.nlm.nih.gov/28739482/>
408. <https://doi.org/10.3390/jcm11195927>
409. <https://doi.org/10.1088/1361-6579/ab1887>
410. <https://doi.org/10.1111/j.1540-8159.2010.02841.x>
- 10.1016/j.ijcard.2009.09.543. - [DOI³⁸¹](#) - [PubMed³⁸²](#)
- Tiwari, R., Kumar, R., Malik, S., Raj, T., & Kumar, P. (2021). Analysis of Heart Rate Variability and Implication of Different Factors on Heart Rate Variability. *Current cardiology reviews*, 17(5), e160721189770. [Crossref³⁸³](#)
- Roy, S., Goswami, D. P., & Sengupta, A. (2020). Geometry of the Poincaré plot can segregate the two arms of autonomic nervous system - A hypothesis. *Medical hypotheses*, 138, 109574. [Crossref³⁸⁴](#)
- Gullett, N., Zajkowska, Z., Walsh, A., Harper, R., & Mondelli, V. (2023). Heart rate variability (HRV) as a way to understand associations between the autonomic nervous system (ANS) and affective states: A critical review of the literature. *International journal of psychophysiology: official journal of the International Organization of Psychophysiology*, 192, 35–42. [Crossref³⁸⁵](#)
- Zou L., Sasaki J.E., Wei G.X., Huang T., Yeung A.S., Neto O.B., Chen K.W., Hui S.S. Effects of Mind-Body Exercises (Tai Chi/Yoga) on Heart Rate Variability Parameters and Perceived Stress: A Systematic Review with Meta-Analysis of Randomized Controlled Trials. *J. Clin. Med*. 2018;7:404. doi: 10.3390/jcm7110404. - [DOI³⁸⁶](#) - [PMC³⁸⁷](#) - [PubMed³⁸⁸](#)
- Danylova T.V., Shmarhun V.M., Vertel A.V., Matyushko B.K., Bondarenko A.F., Kychkyruk T., Petersen J. Effects of the eastern mind-body practices on mental health during the COVID-19 pandemic: When east meets west. *Wiad. Lek*. 2021;74:2850–2855. doi: 10.36740/Wlek202111130. - [DOI³⁸⁹](#) - [PubMed³⁹⁰](#)
- Feneberg A.C., Nater U.M. An Ecological Momentary Music Intervention for the Reduction of Acute Stress in Daily Life: A Mixed Methods Feasibility Study. *Front. Psychol*. 2022;13:927705. doi: 10.3389/fpsyg.2022.927705. - [DOI³⁹¹](#) - [PMC³⁹²](#) - [PubMed³⁹³](#)
- Breit S., Kupferberg A., Rogler G., Hasler G. Vagus Nerve as Modulator of the Brain–Gut Axis in Psychiatric and Inflammatory Disorders. *Front. Psychiatry*. 2018;9:44. doi: 10.3389/fpsyg.2018.00044. - [DOI³⁹⁴](#) - [PMC³⁹⁵](#) - [PubMed³⁹⁶](#)
- Laborde S., Mosley E., Thayer J.F. Heart rate variability and cardiac vagal tone in psychophysiological research—recommendations for experiment planning, data analysis, and data reporting. *Front. Psychol*. 2017;8:213. doi: 10.3389/fpsyg.2017.00213. - [DOI³⁹⁷](#) - [PMC³⁹⁸](#) - [PubMed³⁹⁹](#)
- Chesky K.S., Michel D.E. The Music Vibration Table (MVT): Developing a Technology and Conceptual Model for Pain Relief. *Music Ther. Perspect*. 1991;9:32–38. doi: 10.1093/mt/9.1.32. - [DOI⁴⁰⁰](#)
- Campbell E., Burger B., Ala-Ruona E. A Single-Case, Mixed Methods Study Exploring the Role of Music Listening in Vibroacoustic Treatment. *Voices World Forum Music Ther*. 2019;19:27. doi: 10.15845/voices.v19i2.2556. - [DOI⁴⁰¹](#)
- Braun Janzen T., Al Shirawi M.I., Rotzinger S., Kennedy S.H., Bartel L. A Pilot Study Investigating the Effect of Music-Based Intervention on Depression and Anhedonia. *Front. Psychol*. 2019;10:1038. doi: 10.3389/fpsyg.2019.01038. - [DOI⁴⁰²](#) - [PMC⁴⁰³](#) - [PubMed⁴⁰⁴](#)
- Karkkainen M., Mitsui J. The Effects of Sound Based Vibration Treatment on the Human Mind and Body the Physioacoustic Method. *J. Int. Soc. Life Inf. Sci*. 2006;24:155–164. doi: 10.18936/islis.24.1.155. - [DOI⁴⁰⁵](#)
- Jirakitayakorn N., Wongsawat Y. Brain Responses to 40-Hz Binaural Beat and Effects on Emotion and Memory. *Int. J. Psychophysiol*. 2017;120:96–107. doi: 10.1016/j.jpsycho.2017.07.010. - [DOI⁴⁰⁶](#) - [PubMed⁴⁰⁷](#)
- Fooks C., Niebuhr O. Assessing Vibroacoustic Sound Massage Through The Biosignal of Human Speech: Evidence of Improved Wellbeing; Proceedings of the IEEE International Conference on Acoustics, Speech and Signal Processing (ICASSP); Seoul, Republic of Korea. 14–19 April 2024; pp. 11401–11405.
- Gitler, A., Vanacker, L., De Couck, M., De Leeuw, I., & Gidron, Y. (2022). Neuromodulation Applied to Diseases: The Case of HRV Biofeedback. *Journal of clinical medicine*, 11(19), 5927. [Crossref⁴⁰⁸](#)
- Zhu, J., Ji, L., & Liu, C. (2019). Heart rate variability monitoring for emotion and disorders of emotion. *Physiological measurement*, 40(6), 064004. [Crossref⁴⁰⁹](#)
- Nunan, D., Sandercock, G. R., & Brodie, D. A. (2010). A quantitative systematic review of normal values for short-term heart rate variability in healthy adults. *Pacing and clinical electrophysiology*: *PACE*, 33(11), 1407–1417. [Crossref⁴¹⁰](#)

- Qu, X., Wu, Y., Liu, J., & Cui, L. (2020). HRV-Spark: Computing Heart Rate Variability Measures Using Apache Spark. *Proceedings. IEEE International Conference on Bioinformatics and Biomedicine*, 2020, 10.1109/bibm49941.2020.9313361. [Crossref⁴¹¹](#)
- Rahul, L. R., Sarkar, R., Sengupta, A., Chandra, B. S., & Jana, S. (2023). Novel AI-based HRV analysis (NAIHA) in healthcare automation and related applications. *Journal of electrocardiology*, 79, 112–121. [Crossref⁴¹²](#)
- Taoum, A., Bisiaux, A., Tilquin, F., Le Guillou, Y., & Carrault, G. (2022). Validity of Ultra-Short-Term HRV Analysis Using PPG-A Preliminary Study. *Sensors (Basel, Switzerland)*, 22 (20), 7995. [Crossref⁴¹³](#)
- Ortega, E., Bryan, C. Y. X., & Christine, N. S. C. (2024). The Pulse of Singapore: Short-Term HRV Norms. *Applied psychophysiology and biofeedback*, 49 (1), 55–61. [Crossref⁴¹⁴](#)
- Vondrasek, J. D., Riemann, B. L., Grosicki, G. J., & Flatt, A. A. (2023). Validity and Efficacy of the Elite HRV Smartphone Application during Slow-Paced Breathing. *Sensors (Basel, Switzerland)*, 23 (23), 9496. [Crossref⁴¹⁵](#)
- Malik M., Bigger J.T., Camm A.J., Kleiger R.E., Malliani A., Moss A.J., Schwartz P.J. Heart rate variability: Standards of measurement, physiological interpretation, and clinical use. *Eur. Heart J.* 1996;17:354–381. doi: 10.1093/oxfordjournals.eurheartj.a014868. - [DOI⁴¹⁶](#) - [PubMed⁴¹⁷](#)
- Shaffer F., McCraty R., Zerr C.L. A healthy heart is not a metronome: An integrative review of the heart's anatomy and heart rate variability. *Front. Psychol.* 2014;5:1040. doi: 10.3389/fpsyg.2014.01040. - [DOI⁴¹⁸](#) - [PMC⁴¹⁹](#) - [PubMed⁴²⁰](#)
- Grosicki G.J., Culver M.N., McMillan N.K., Cross B.L., Montoye A.H.K., Riemann B.L., Flatt A.A. Self-recorded heart rate variability profiles are associated with health and lifestyle markers in young adults. *Clin. Auton. Res.* 2022;32:507–518. doi: 10.1007/s10286-022-00884-z. - [DOI⁴²¹](#) - [PubMed⁴²²](#)
- Natarajan A., Pantelopoulos A., Emir-Farinas H., Natarajan P. Heart rate variability with photoplethysmography in 8 million individuals: A cross-sectional study. *Lancet Digit. Health.* 2020;2:e650–e657. doi: 10.1016/S2589-7500(20)30246-6. - [DOI⁴²³](#) - [PubMed⁴²⁴](#)
- Talbert, L. D., Kaelberer, Z., Gleave, E., Driggs, A., Driggs, A. S., Steffen, P. R., Baldwin, S. A., & Larson, M. J. (2023). A systematic review of heart rate variability (HRV) biofeedback treatment following traumatic brain injury (TBI). *Brain injury*, 37 (7), 635–642. [Crossref⁴²⁵](#)
- Jeyhani, V., Mahdiani, S., Peltokangas, M., & Vehkaoja, A. (2015). Comparison of HRV parameters derived from photoplethysmography and electrocardiography signals. *Annual International Conference of the IEEE Engineering in Medicine and Biology Society. IEEE Engineering in Medicine and Biology Society. Annual International Conference*, 2015, 5952–5955. [Crossref⁴²⁶](#)
- Brennan, M., Palaniswami, M., & Kamen, P. (2002). Poincaré plot interpretation using a physiological model of HRV based on a network of oscillators. *American journal of physiology. Heart and circulatory physiology*, 283 (5), H1873–H1886. [Crossref⁴²⁷](#)
- Ken Umetani MD A B C, Donald H Singer MD, FACC A B, Rollin McCraty MS C, Mike Atkinson C, Twenty-Four Hour Time Domain Heart Rate Variability and Heart Rate: Relations to Age and Gender Over Three Decades. [DOI⁴²⁸](#), [ScienceDirect⁴²⁹](#)
- ## Sind/krop
- Borghesi, F., Cremascoli, R., Chirico, A., Bianchi, L., Di Moia, A., Priano, L., Piedimonte, A., Mauro, A., & Cipresso, P. (2024). Mind and body connection in expert meditators: a computational study based on central and peripheral nervous system. *BMC complementary medicine and therapies*, 24 (1), 117. [Crossref⁴³⁰](#)
- Brandmeyer T, Delorme A, Wahbeh H. The neuroscience of meditation: classification, phenomenology, correlates, and mechanisms. *Prog Brain Res.* 2019;1(244):1–29. [PubMed⁴³¹](#)
- Travis F, Shear J. Focused attention, open monitoring and automatic self-transcending categories to organize meditations from Vedic, Buddhist Chinese Traditions. *Conscious Cogn.* 2010;19(4):1110–1118. doi: 10.1016/j.concog.2010.01.007. - [DOI⁴³²](#) - [PubMed⁴³³](#)
- Liberman N, Trope Y. The psychology of transcending the here and now. *Science* 2008;322(5905):1201–5. doi: 10.1126/science.1161958. - [DOI⁴³⁴](#) - [PMC⁴³⁵](#) - [PubMed⁴³⁶](#)
411. <https://doi.org/10.1109/bibm49941.2020.9313361>
412. <https://doi.org/10.1016/j.jelectrocard.2023.03.013>
413. <https://doi.org/10.3390/s22207995>
414. <https://doi.org/10.1007/s10484-023-09603-3>
415. <https://doi.org/10.3390/s23239496>
416. <https://doi.org/10.1093/oxfordjournals.eurheartj.a014868>
417. <https://pubmed.ncbi.nlm.nih.gov/8737210/>
418. <https://doi.org/10.3389/fpsyg.2014.01040>
419. <http://www.ncbi.nlm.nih.gov/pmc/articles/pmc4179748/>
420. <https://pubmed.ncbi.nlm.nih.gov/25324790/>
421. <https://doi.org/10.1007/s10286-022-00884-z>
422. <https://pubmed.ncbi.nlm.nih.gov/35999422/>
423. [https://doi.org/10.1016/s2589-7500\(20\)30246-6](https://doi.org/10.1016/s2589-7500(20)30246-6)
424. <https://pubmed.ncbi.nlm.nih.gov/33328029/>
425. <https://doi.org/10.1080/02699052.2023.2208880>
426. <https://doi.org/10.1109/EMBC.2015.7319747>
427. <https://doi.org/10.1152/ajpheart.00405.2000>
428. [https://doi.org/10.1016/S0735-1097\(97\)00554-8](https://doi.org/10.1016/S0735-1097(97)00554-8)
429. <https://www.sciencedirect.com/science/article/pii/S0735109797005548>
430. <https://doi.org/10.1186/s12906-024-04413-5>
431. <https://pubmed.ncbi.nlm.nih.gov/30732832/>
432. <https://doi.org/10.1016/j.concog.2010.01.007>
433. <https://pubmed.ncbi.nlm.nih.gov/20167507/>
434. <https://doi.org/10.1126/science.1161958>
435. <http://www.ncbi.nlm.nih.gov/pmc/articles/pmc2643344/>
436. <https://pubmed.ncbi.nlm.nih.gov/19023074/>
437. <https://doi.org/10.1186/1743-0003-11-87>
438. <http://www.ncbi.nlm.nih.gov/pmc/articles/pmc4060143/>
439. <https://pubmed.ncbi.nlm.nih.gov/24939519/>
440. <http://www.ncbi.nlm.nih.gov/pmc/articles/pmc3988787/>
441. <https://pubmed.ncbi.nlm.nih.gov/24748422/>
442. <https://doi.org/10.1016/j.ibror.2020.10.006>
443. <http://www.ncbi.nlm.nih.gov/pmc/articles/pmc7649620/>
444. <https://pubmed.ncbi.nlm.nih.gov/33204893/>
445. <https://doi.org/10.1016/j.jpsycho.2008.09.007>
446. <https://pubmed.ncbi.nlm.nih.gov/18854202/>
447. <https://doi.org/10.1016/j.jcard.2007.06.103>
448. <https://pubmed.ncbi.nlm.nih.gov/17764770/>
449. <https://doi.org/10.1177/174182671414625>
450. <https://pubmed.ncbi.nlm.nih.gov/21693507/>
451. <https://doi.org/10.3389/fcvm.2019.00062>
452. <http://www.ncbi.nlm.nih.gov/pmc/articles/pmc6527777/>
453. <https://pubmed.ncbi.nlm.nih.gov/31139634/>
454. <https://doi.org/10.1155/2015/598496>
455. <http://www.ncbi.nlm.nih.gov/pmc/articles/pmc4302970/>
456. <https://pubmed.ncbi.nlm.nih.gov/25632397/>
457. https://doi.org/10.21014/acta_imeko.v10i4.1183
458. <https://doi.org/10.1111/j.1469-8986.1997.tb02140.x>
459. <https://pubmed.ncbi.nlm.nih.gov/9401419/>
460. <https://doi.org/10.1007/s11517-006-0119-0>
461. <https://pubmed.ncbi.nlm.nih.gov/17111118/>
462. <https://doi.org/10.1016/j.mehy.2010.02.025>
463. <https://pubmed.ncbi.nlm.nih.gov/20227193/>
464. <https://doi.org/10.1038/s41598-020-62392-2>
465. <http://www.ncbi.nlm.nih.gov/pmc/articles/pmc7096392/>
466. <https://pubmed.ncbi.nlm.nih.gov/32214173/>
467. <https://doi.org/10.1007/s10339-009-0352-1>
468. <http://www.ncbi.nlm.nih.gov/pmc/articles/pmc2812711/>
469. <https://pubmed.ncbi.nlm.nih.gov/20013298/>
470. <https://doi.org/10.3390/s23156983>
471. <http://www.ncbi.nlm.nih.gov/pmc/articles/pmc10422551/>
472. <https://pubmed.ncbi.nlm.nih.gov/3751766/>
473. <https://doi.org/10.3390/biomedicines12081719>
- Ahani A, Wahbeh H, Nezamfar H, Miller M, Erdogmus D, Oken B. Quantitative change of EEG and respiration signals during mindfulness meditation. *J Neuroeng Rehabil.* 2014;11(1):1. doi: 10.1186/1743-0003-11-87. - [DOI⁴³⁷](#) - [PMC⁴³⁸](#) - [PubMed⁴³⁹](#)
- Ahani A, Wahbeh H, Miller M, Nezamfar H, Erdogmus D, Oken B. Change in physiological signals during mindfulness meditation. *Int IEEE EMBS Conf Neural Eng.* 2013;1378–81. - [PMC⁴⁴⁰](#) - [PubMed⁴⁴¹](#)
- Stapleton P, Dispenza J, McGill S, Sabot D, Peach M, Raynor D. Large effects of brief meditation intervention on EEG spectra in meditation novices. *IBRO Rep.* 2020;1(9):290–301. doi: 10.1016/j.ibror.2020.10.006. - [DOI⁴⁴²](#) - [PMC⁴⁴³](#) - [PubMed⁴⁴⁴](#)
- Travis F, Haaga DAF, Hagelin J, Tanner M, Nidich S, Gaylord-King C, et al. Effects of Transcendental Meditation practice on brain functioning and stress reactivity in college students. *Int J Psychophysiol.* 2009;71(2):170–176. doi: 10.1016/j.jpsycho.2008.09.007. - [DOI⁴⁴⁵](#) - [PubMed⁴⁴⁶](#)
- Phongsupap S, Pongsupap Y, Chandanamatta P, Lursinsap C. Changes in heart rate variability during concentration meditation. *Int J Cardiol.* 2008;130(3):481–484. doi: 10.1016/j.ijcard.2007.06.103. - [DOI⁴⁴⁷](#) - [PubMed⁴⁴⁸](#)
- Nesvold A, Fagerland MW, Davanger S, Ellingsen Ø, Solberg EE, Holen A, et al. Increased heart rate variability during nondirective meditation. *Eur J Prev Cardiol.* 2012;19(4):773–80. doi: 10.1177/1741826711414625. - [DOI⁴⁴⁹](#) - [PubMed⁴⁵⁰](#)
- Léonard A, Clément S, Kuo CD, Manto M. Changes in heart rate variability during heartfulness meditation: a power spectral analysis including the residual spectrum. *Front Cardiovasc Med.* 2019;14(6):62. doi: 10.3389/fcvm.2019.00062. - [DOI⁴⁵¹](#) - [PMC⁴⁵²](#) - [PubMed⁴⁵³](#)
- Pasquini HA, Tanaka GK, Basile LFH, Velasques B, Lozano MD, Ribeiro P. Electrophysiological correlates of long-term Soto Zen meditation. *Biomed Res Int.* 2015;2015:598496. doi: 10.1155/2015/598496. - [DOI⁴⁵⁴](#) - [PMC⁴⁵⁵](#) - [PubMed⁴⁵⁶](#)
- Cipresso P, Serino S, Borghesi F, Tartarisco G, Riva G, PioGGia G, et al. Continuous measurement of stress levels in naturalistic settings using heart rate variability: an experience-sampling study driving a machine learning approach. *Acta IMEKO.* 2021;10(4):239. doi: 10.21014/acta_imeko.v10i4.1183. - [DOI⁴⁵⁷](#)
- Berntson GG, Thomas Bigger J, Eckberg DL, Grossman P, Kaufmann PG, Malik M, et al. Heart rate variability: origins, methods, and interpretive caveats. *Psychophysiology.* 1997;34(6):623–648. doi: 10.1111/j.1469-8986.1997.tb02140.x. - [DOI⁴⁵⁸](#) - [PubMed⁴⁵⁹](#)
- Acharya UR, Joseph KP, Kannathal N, Lim CM, Suri JS. Heart rate variability: a review. *Med Biol Eng Comput.* 2006;44(12):1031–1051. doi: 10.1007/s11517-006-0119-0. - [DOI⁴⁶⁰](#) - [PubMed⁴⁶¹](#)
- Fell J, Axmacher N, Haupt S. From alpha to gamma: Electrophysiological correlates of meditation-related states of consciousness. *Med Hypotheses.* 2010;75(2):218–224. doi: 10.1016/j.mehy.2010.02.025. - [DOI⁴⁶²](#) - [PubMed⁴⁶³](#)
- Rodriguez-Larios J, Faber P, Achermann P, Tei S, Alaerts K. From thoughtless awareness to effortful cognition: alpha - theta cross-frequency dynamics in experienced meditators during meditation, rest and arithmetic. *Sci Rep.* 2020;10(1):1–11. doi: 10.1038/s41598-020-62392-2. - [DOI⁴⁶⁴](#) - [PMC⁴⁶⁵](#) - [PubMed⁴⁶⁶](#)
- Cahn BR, Delorme A, Polich J. Occipital gamma activation during Vipassana meditation. *Cogn Process.* 2010;11(1):39–56. doi: 10.1007/s10339-009-0352-1. - [DOI⁴⁶⁷](#) - [PMC⁴⁶⁸](#) - [PubMed⁴⁶⁹](#)
- Borghesi F, Chirico A, Pedroli E, Cipriani GE, Canessa N, Amanzio M, et al. Exploring Biomarkers of mental flexibility in healthy aging: a computational psychometric study. *Sensors (Basel)* 2023;23(15):6983. doi: 10.3390/s23156983. - [DOI⁴⁷⁰](#) - [PMC⁴⁷¹](#) - [PubMed⁴⁷²](#)
- Fang, S., & Zhang, W. (2024). Heart-Brain Axis: A Narrative Review of the Interaction between Depression and Arrhythmia. *Biomedicines*, 12 (8), 1719. [Crossref⁴⁷³](#)
- Gullett N, Zajkowska Z., Walsh A., Harper R., Mondelli V. Heart rate variability (HRV) as a way to understand associations between the autonomic nervous system (ANS) and affective states: A critical review of the literature. *Int. J. Psychophysiol.* 2023;192:35–42. doi: 10.1016/j

- j.ijpsycho.2023.08.001. - DOI⁴⁷⁴ - PubMed⁴⁷⁵
- Bassett D. A literature review of heart rate variability in depressive and bipolar disorders. *Aust. New Zealand J. Psychiatry*. 2015;50:511–519. doi: 10.1177/0004867415622689. - DOI⁴⁷⁶ - PubMed⁴⁷⁷
- Zhu J., Ji L., Liu C. Heart rate variability monitoring for emotion and disorders of emotion. *Physiol. Meas.* 2019;40:064004. doi: 10.1088/1361-6579/ab1887. - DOI⁴⁷⁸ - PubMed⁴⁷⁹
- Chalmers J.A., Quintana D.S., Abbott M.J., Kemp A.H. Anxiety Disorders are Associated with Reduced Heart Rate Variability: A Meta-Analysis. *Front. Psychiatry*. 2014;5:80. doi: 10.3389/fpsy.2014.00080. - DOI⁴⁸⁰ - PMC⁴⁸¹ - PubMed⁴⁸²
- Chang H.A., Chang C.C., Chen C.L., Kuo T.B., Lu R.B., Huang S.Y. Major depression is associated with cardiac autonomic dysregulation. *Acta Neuropsychiatr*. 2012;24:318–327. doi: 10.1111/j.1601-5215.2011.00647.x. - DOI⁴⁸³ - PubMed⁴⁸⁴
- Burke J.H., Goldberger J.J., Ehlert F.A., Kruse J.T., Parker M.A., Kadish A.H. Gender differences in heart rate before and after autonomic blockade: Evidence against an intrinsic gender effect. *Am. J. Med.* 1996;100:537–543. doi: 10.1016/S0002-9343(96)00018-6. - DOI⁴⁸⁵ - PubMed⁴⁸⁶
- Kittnar O. Sex Related Differences in Electrocardiography. *Physiol. Res.* 2023;72:S127–S135. doi: 10.33549/physiolres.934952. - DOI⁴⁸⁷ - PMC⁴⁸⁸ - PubMed⁴⁸⁹
- Kotov R., Gamez W., Schmidt F., Watson D. Linking “big” personality traits to anxiety, depressive, and substance use disorders: A meta-analysis. *Psychol. Bull.* 2010;136:768–821. doi: 10.1037/a0020327. - DOI⁴⁹⁰ - PubMed⁴⁹¹
- Godin P.J., Buchman T.G. Uncoupling of biological oscillators: A complementary hypothesis concerning the pathogenesis of multiple organ dysfunction syndrome. *Crit. Care Med.* 1996;24:1107–1116. doi: 10.1097/00003246-199607000-00008. - DOI⁴⁹² - PubMed⁴⁹³
- Wang, L., Hao, J., & Zhou, T. H. (2023). ECG Multi-Emotion Recognition Based on Heart Rate Variability Signal Features Mining. *Sensors (Basel, Switzerland)*, 23 (20), 8636. [Crossref⁴⁹⁴](#)
- Cai Y., Li X., Li J. Emotion Recognition Using Different Sensors, Emotion Models, Methods and Datasets: A Comprehensive Review. *Sensors*. 2023;23:2455. doi: 10.3390/s23052455. - DOI⁴⁹⁵ - PMC⁴⁹⁶ - PubMed⁴⁹⁷
- Xiefeng, C., Wang, Y., Dai, S., Zhao, P., & Liu, Q. (2019). Heart sound signals can be used for emotion recognition. *Scientific reports*, 9 (1), 6486. [Crossref⁴⁹⁸](#)
- Hasnul, M. A., Ab Aziz, N. A., & Abd Aziz, A. (2023). Augmenting ECG Data with Multiple Filters for a Better Emotion Recognition System. *Arabian journal for science and engineering*, 1–22. Advance online publication. [Crossref⁴⁹⁹](#)
- Hasnul, M. A., Aziz, N. A. A., Alelyani, S., Mohana, M., & Aziz, A. A. (2021). Electrocardiogram-Based Emotion Recognition Systems and Their Applications in
- Healthcare-A Review. *Sensors (Basel, Switzerland)*, 21 (15), 5015. [Crossref⁵⁰⁰](#)
- Li, Y., Tan, R., Lin, T., Liu, Q., Wang, C. D., & Chen, M. (2024). ER-GET: Emotion Recognition Based on Global ECG Trajectory. *IEEE journal of biomedical and health informatics*, 28 (9), 5201–5213. [Crossref⁵⁰¹](#)
- Woods, R. A., & Hill, P. B. (2022). Myers Brigg. In *StatPearls*. StatPearls Publishing. [PubMed⁵⁰²](#)
- Wallick, M. M., & Cambre, K. M. (1999). Personality types in academic medicine. *The Journal of the Louisiana State Medical Society : official organ of the Louisiana State Medical Society*, 151 (7), 378–383. [PubMed⁵⁰³](#)
- Tobacyk, J. J., Livingston, M. M., & Robbins, J. E. (2008). Relationships between Myers-Briggs type indicator measure of psychological type and neo measure of big five personality factors in Polish University students: a preliminary cross-cultural comparison. *Psychological reports*, 103 (2), 588–590. [Crossref⁵⁰⁴](#)
- Eicke, F. J., Blake, G., & Replogle, W. (1993). A comparative view of the Myers-Briggs type indicator. *Family medicine*, 25 (3), 186–190. [PubMed⁵⁰⁵](#)
- Ranganathan VK, Siemionow V, Liu JZ, Sahgal V, Yue GH. From mental power to muscle power—gaining strength by using the mind. *Neuropsychologia*. 2004;42(7):944–56. doi: 10.1016/j.neuropsychologia.2003.11.018. PMID: 14998709. [PubMed⁵⁰⁶](#)
- ## Electromagnetism
- Blank, Martin; Goodman, Reba . (2011). DNA is a fractal antenna in electromagnetic fields. *International Journal of Radiation Biology*, 87(4), 409–415. [Crossref⁵⁰⁷](#)
- Cantero, M.d.R., Villa Etchegoyen, C., Perez, P.L. et al. Bundles of Brain Microtubules Generate Electrical Oscillations. *Sci Rep* 8, 11899 (2018). [Crossref⁵⁰⁸](#)
- Gutierrez, B.C., Cantiello, H.F. & Cantero, M. The electrical properties of isolated microtubules. *Sci Rep* 13, 10165 (2023). [Crossref⁵⁰⁹](#)
- Meijer, Dirk. (2018). Processes of Science and Art Modeled as a Holoflux of Information Using Toroidal Geometry. *Open Journal of Philosophy*. 8. 365-400. [10.4236/ojpp.2018.84026⁵¹⁰](#)
- Kuman, Maria. (2018). Our Weak Nonlinear Electromagnetic Field (Nemf) that Rules Everything in the Body is Emotionally Sensitive. *Journal of Complementary Medicine & Alternative Healthcare*. 8. [10.19080/JCMAH.2018.08.555731⁵¹¹](#)
- Leonova-Gariaeva, & Gariaev, Peter & Friedman, Mark & Leonova-Gariaeva, Ekaterina. (2011). Principles of Linguistic-Wave Genetics. *DNA Decipher Journal*. 1. [ResearchGate⁵¹²](#)
- GuangJun Zhang and Michael Levin (2025) Bioelectricity is a universal multifaced signaling cue in living organisms. [10.1091/mbc.E23-08-0312⁵¹³](#)
- Angelo Esposito, Rafael Krichevsky, and Alberto Nicolis (2019) Gravitational Mass Carried by Sound Waves [Crossref⁵¹⁴](#)
500. [https://doi.org/10.3390/s21155015](#)
 501. [https://doi.org/10.1109/JBHI.2024.3403188](#)
 502. [https://pubmed.ncbi.nlm.nih.gov/32119483/](#)
 503. [https://pubmed.ncbi.nlm.nih.gov/10474985/](#)
 504. [https://doi.org/10.2466/prt.103.2.588-590](#)
 505. [https://pubmed.ncbi.nlm.nih.gov/8458560/](#)
 506. [https://pubmed.ncbi.nlm.nih.gov/14998709/](#)
 507. [https://doi.org/10.3109/09553002.2011.538130](#)
 508. [https://doi.org/10.1038/s41598-018-30453-2](#)
 509. [https://doi.org/10.1038/s41598-023-36801-1](#)
 510. [https://www.researchgate.net/publication/326972894](#)
 511. [https://www.researchgate.net/publication/330217977](#)
 512. [https://www.researchgate.net/publication/228926241](#)
 513. [https://www.molbiolcell.org/doi/full/10.1091/mbc.E23-08-0312](#)
 514. [https://doi.org/10.1103/PhysRevLett.122.084501](#)
474. [https://doi.org/10.1016/j.ijpsycho.2023.08.001](#)
 475. [https://pubmed.ncbi.nlm.nih.gov/37543289/](#)
 476. [https://doi.org/10.1177/0004867415622689](#)
 477. [https://pubmed.ncbi.nlm.nih.gov/26698824/](#)
 478. [https://doi.org/10.1088/1361-6579/ab1887](#)
 479. [https://pubmed.ncbi.nlm.nih.gov/30974428/](#)
 480. [https://doi.org/10.3389/fpsy.2014.00080](#)
 481. [https://www.ncbi.nlm.nih.gov/pmc/articles/pmc4092363/](#)
 482. [https://pubmed.ncbi.nlm.nih.gov/25071612/](#)
 483. [https://doi.org/10.1111/j.1601-5215.2011.00647.x](#)
 484. [https://pubmed.ncbi.nlm.nih.gov/23287173/](#)
 485. [https://doi.org/10.1016/s0002-9343\(96\)00018-6](#)
 486. [https://pubmed.ncbi.nlm.nih.gov/8644766/](#)
 487. [https://doi.org/10.33549/physiolres.934952](#)
 488. [https://www.ncbi.nlm.nih.gov/pmc/articles/pmc10660582/](#)
 489. [https://pubmed.ncbi.nlm.nih.gov/37565417/](#)
 490. [https://doi.org/10.1037/a0020327](#)
 491. [https://pubmed.ncbi.nlm.nih.gov/20804236/](#)
 492. [https://doi.org/10.1097/00003246-199607000-00008](#)
 493. [https://pubmed.ncbi.nlm.nih.gov/8674321/](#)
 494. [https://doi.org/10.3390/s23052455](#)
 495. [https://doi.org/10.3390/s23052455](#)
 496. [https://www.ncbi.nlm.nih.gov/pmc/articles/pmc10007272/](#)
 497. [https://pubmed.ncbi.nlm.nih.gov/36904659/](#)
 498. [https://doi.org/10.1038/s41598-019-42826-2](#)
 499. [https://doi.org/10.1007/s13369-022-07585-9](#)

Appendiks 3.

Bibliografi

1. **"Prology: opfyld dit livsprojekt - Bog 1: sygdom, helbredelse, transmutation: ressourcens vej"** af Christine Degoy
En innovativ guide, der genopdager sundhed og velvære gennem en systemisk tilgang, der giver dig mulighed for at redefinere din eksistens og få adgang til en dybere forståelse af dit livsprojekt. Denne bog giver dig de værktøjer, du har brug for til at dyrke indre kommunikation, transformere din opfattelse af virkeligheden og fuldt ud inkarnere din raison d'être.
2. **"Prology: genopdag livets mening - Bog 2: Livsprojektet i kroppen: forstå, lås op, transmutter"** af Christine Degoy
Dyk ned i prologisk organafkodning for at opdage, hvordan hver del af din krop afspejler dybere dimensioner af din eksistens. Denne bog undersøger forbindelserne mellem dine livserfaringer og din fysiske sundhed og tilbyder nøgler til at forstå, oplåse og transmuttere energetiske blokeringer. Ved at fokusere på indre ressourcer og skjulte potentialer inviterer denne bog dig til at omfavne dit livsprojekt gennem en holistisk vision, der gør det muligt for dig at harmonisere din krop og sind for et fuldt udfyldt liv.

Energ og elektrisk medicin

3. **"The Body Electric: Elektromagnetisme og livets grundlag"** af Robert Becker og Gary Selden
Denne banebrydende bog udforsker den menneskelige krops elektromagnetiske felt og dens dybe implikationer for helbredelse, energistrom og sundhed. Beckers forskning i bioelektricitet giver væsentlige indsigter til forståelse af videnskaben bag kroppens energisystemer.
4. **"The Spark in the Machine: Hvordan akupunktorens videnskab forklarer mysterierne i vestlig medicin"** af Dr. Daniel Keown
Dr. Keowns arbejde brobygger kløften mellem vestlig medicinsk videnskab og den gamle praksis med akupunktur, og tilbyder en omfattende forklaring på, hvordan energien strømmer gennem kroppen, og hvordan den kan udnyttes til helbredelse.
5. **"Energi Medicin: Den videnskabelige basis"** af James L. Oschman
Denne bog tilbyder en grundig udforskning af videnskaben bag energimedecin, præsenterer beviser for, hvordan elektromagnetiske felter, meridianer og andre energisystemer påvirker sundheden. Oschman trækker på fysik og biologi for at forklare kroppens energisystemer på en måde, der komplementerer både konventionelle og alternative helbredelsesmetoder.
6. **"Vibrationsmedicin: Den #1 håndbog om subtile energiterapier"** af Richard Gerber
Gerbers klassiske tekst er en væsentlig ressource til forståelse af feltet for subtile energimedecin. Den giver en detaljeret oversigt over energifelter, chakraer og hvordan vibrationsbehandlinger arbejder for at helbrede krop og sind.
7. **"Krydsstrømme: Faren ved elektrisk forurening, løftet om elektromedicin"** af Robert O. Becker
Beckers opfølgning på *The Body Electric*, denne bog undersøger sundhedsmæssige implikationer af moderne elektrisk teknologi, samtidig med at den udforsker, hvordan elektromagnetisk terapi kan hjælpe i helbredelse.
8. **"Biologi af tro: Frigivelsen af bevidsthedens, materiens og miraklernes kraft"** af Bruce H. Lipton
Denne bog dykker ned i skæringspunktet mellem biologi og tro, og viser hvordan sindet påvirker kroppen på cellulært niveau. Lipton forklarer, hvordan energifelter og bevidsthed påvirker biologiske processer.
9. **"Feltet: Jagten på den hemmelige kraft i universet"** af Lynne McTaggart
McTaggart udforsker banebrydende videnskab om nulpunktfeltet, et universelt energifelt, der forbinder al materie. Denne bog tilbyder indsigt i livets energiske natur og hvordan vi kan udnytte denne energi til helbredelse.

10. **"Helbredelse er spænding: Håndbogen"** af Jerry Tennant
Dr. Tennant forklarer, hvordan spænding i kroppen, især på cellulært niveau, er afgørende for sundhed. Han giver et omfattende syn på, hvordan opretholdelse af korrekt elektrisk potentiale er fundamentalt for helbredelse og velvære.

Moderne Spiritualitet

11. **"Min Store TOE (Teori om Alt)"** af Thomas Campbell
En omfattende trilogi, der udforsker virkelighedens natur, bevidsthed og forbindelsen mellem det fysiske og metafysiske. Campbell, en fysiker og bevidsthedsforsker, blander videnskab og spiritualitet for at præsentere en model for eksistens, der støtter meditation, ændrede bevidsthedstilstande og forståelsen af energi i universet.
12. **"Sindet Belyst: En Komplet Meditationsguide, der Integrerer Buddhistisk Visdom og Hjernens Videnskab for Større Opmærksomhed"** af John Yates (Culadasa)
Culadasas guide er en grundig, trin-for-trin forklaring af meditationspraksis, der er rodfæstet i både gamle buddhistiske lære og nutidig neurovidenskab. Den brobygger kløften mellem traditionelle meditationsteknikker og moderne videnskabelige forståelser af hjernen.
13. **"Ændrede Egenskaber: Videnskaben Afslører, Hvordan Meditation Forandrer Dit Sind, Hjerne og Krop"** af Daniel Goleman og Richard J. Davidson
Denne bog dykker ned i den videnskabelige forskning omkring meditation og udforsker dens dybtgående effekter på hjernen og kroppen. Goleman og Davidson trækker på årtiers forskning for at forklare, hvordan meditation fører til varige psykologiske og fysiologiske ændringer.
14. **"At Vågne Op: En Guide til Spiritualitet Uden Religion"** af Sam Harris
Sam Harris, en neurovidenskabsmand og filosof, præsenterer en rationel tilgang til spiritualitet og meditation, forankret i både videnskab og personlig erfaring. Hans bog fokuserer især på, hvordan meditation kan føre til dybe skift i opfattelse og forståelse af bevidsthed, uden behov for religiøse rammer.
15. **"Nuets Kraft: En Guide til Spirituel Oplysning"** af Eckhart Tolle
Tolles bredt læste bog understreger vigtigheden af opmærksomhed og at være til stede i nuet. Hans lærdomme tilbyder praktiske indsigter om, hvordan man kan leve mere fuldt og med større opmærksomhed, hvilket stemmer overens med de energiske og mentale aspekter af velvære, der diskuteres i *Syng Kroppen Elektrisk*.
16. **"Reel Magi: Gammel Visdom, Moderne Videnskab, og en Guide til Universets Hemmelige Kraft"** af Dean Radin
Radin, en førende forsker inden for parapsykologi, udforsker den videnskabelige evidens for fænomener som telepati, præ-kognition og psykokinese, og drager forbindelser mellem bevidsthed, energi og den bredere struktur af virkeligheden. Denne bog giver en grundlæggende forståelse for at forstå andre realiteter udover det fysiske.
17. **"Bevidsthedens Fysik: Den Kvantebevidsthed og Livets Betydning"** af Evan Harris Walker
Denne bog dykker ned i kvantefysik og dens forhold til bevidsthed. Walker udforsker observatørens rolle i kvantemekanik og præsenterer en teori om, at bevidsthed er grundlæggende for universet, hvilket bidrager til en bredere forståelse af energi og eksistens.
18. **"Den Hemmelige Lære"** af H.P. Blavatsky
Denne grundlæggende tekst i Teosofi udforsker universets natur, bevidsthed og spirituel evolution.
19. **"Den Evige Filosofi"** af Aldous Huxley
Huxley undersøger de fælles tråde af spiritualitet på tværs af forskellige religioner, og understreger universelle sandheder.
20. **"Menneskets Skæbne"** af Pierre Lecomte du Noüy
Denne bog udforsker skæringspunktet mellem videnskab, filosofi og religion, og argumenterer for ideen om, at menneskelig evolution er styret af et guddommeligt formål. Den diskuterer menneskehedens spirituelle potentiale og de moralske ansvar, der følger med menneskelig bevidsthed.

21. **"Vejen til Fornuft"** af Pierre Lecomte du Noüy
I dette filosofiske værk diskuterer Lecomte du Noüy vigtigheden af fornuft og videnskabelig tænkning i forståelsen af universet. Han dykker også ned i, hvordan videnskabelig fremgang bør integreres med moralsk og spirituel udvikling.
34. **"Gaver, der adskiller sig: Forståelse af personlighedstype"** af Isabel Briggs Myers med Peter B. Myers
Denne bog forklarer MBTI-systemet for personlighedstyper, som er baseret på Jungs psykologiske typer. Den giver indsigter i, hvordan forskellige personlighedstyper interagerer, og hvordan de påvirker det personlige og professionelle liv.

Digital signalbehandling

22. **"Forståelse af Digital Signalbehandling"** af Richard G. Lyons
Denne bog giver en klar og tilgængelig introduktion til digital signalbehandling (DSP), hvilket gør komplekse koncepter forståelige selv for begyndere. Den dækker emner som filtrering, Fourier-analyse og samplingsteori på en praktisk og letforståelig måde, ideel for dem, der er interesseret i grundlæggende signalbehandling til audioanalyse.
23. **"Forskerens og Ingeniørens Guide til Digital Signalbehandling"** af Steven W. Smith
En populær, letlæselig bog, der introducerer DSP-koncepter med praktiske eksempler og anvendelser. Det er en gratis online ressource, der forklarer, hvordan signalbehandling fungerer med trin-for-trin vejledninger og eksempler fra den virkelige verden, hvilket gør det meget tilgængeligt for begyndere, især dem der er interesseret i audio- og musiksignal-analyse.
24. **"Digital Audio Signalbehandling"** af Udo Zölzer
Denne bog introducerer principperne og anvendelserne af digital audio signalbehandling, med fokus på områder som digitale filtre, lydeffekter og tids-frekvens-analyse. Selvom materialet er teknisk, præsenteres det på en måde, der er tilgængelig for læsere med grundlæggende viden om DSP.
25. **"En Introduktion til Audioindholds Analyse: Anvendelser i Signalbehandling og Musik Informatik"** af Alexander Lerch
Denne tekst er særligt nyttig for dem, der er interesseret i audio- og musiksignalbehandling. Den introducerer teknikker til at analysere audioindhold såsom musikstruktur, rytme og harmoni ved hjælp af signalbehandlingsalgoritmer. Bogen er praktisk og tilgængelig for både studerende og professionelle.
26. **"Design af Audioeffekt Plug-Ins i C: Med Teori om Digital Audio Signalbehandling"** af Will Pirkle
For dem, der ønsker at dykke ned i anvendelsessiden af audio signalbehandling, er denne bog en brugervenlig introduktion til kodning og design af lydeffekter ved hjælp af C-programmering. Det er ideelt for begyndere, der ønsker at forstå, hvordan DSP kan anvendes til at skabe realtids lydeffekter.

Jung og det ubevidste

27. **"Erindringer, Drømme, Refleksioner"** af Carl G. Jung
Et semi-autobiografisk værk, denne bog dækker Jungs liv og centrale ideer, herunder hans udvikling af begreber som det kollektive ubevidste, arketyper og skyggen. Den giver personlige indsigter i hans psykologiske teorier.
28. **"Arketyperne og det kollektive ubevidste"** af Carl G. Jung
Denne bog er en central tekst inden for jungiansk psykologi, hvor han skitserer sine teorier om det ubevidste sind, især det kollektive ubevidste og dets arketypiske billeder. Det er grundlæggende læsning for at forstå Jungs ideer om personlighed og psyken.
29. **"Psykologiske Typer"** af Carl G. Jung
I dette arbejde introducerer Jung sin teori om psykologiske typer, som senere påvirkede udviklingen af Myers-Briggs Type Indicator (MBTI). Han diskuterer dikotomien mellem introversion og ekstroversion samt andre psykologiske funktioner, der former personligheden.
30. **"Manden og hans symboler"** af Carl G. Jung
Skrevet som en tilgængelig introduktion til jungiansk tanke, dykker denne bog ned i brugen af symboler i drømme og kunst som repræsentationer af ubevidste processer. Den er designet til et bredere publikum og tilbyder indsigter i den menneskelige psyke.
31. **"Den Uopdagede Selv"** af Carl G. Jung
Jung udforsker konflikten mellem individets behov for personlig udvikling og presset fra det moderne samfund. Det understreger vigtigheden af selvbevidsthed i navigeringen af de ubevidste og skygge-aspekter af personligheden.
32. **"Eje din egen skygge: Forstå den mørke side af psyken"** af Robert A. Johnson
En praktisk guide til at forstå Jungs koncept om skyggen, denne bog forklarer, hvordan man genkender og integrerer det skyggefulde selv for psykologisk balance og personlig vækst.
33. **"Jungs kort over sjælen: En introduktion"** af Murray Stein
Denne bog tilbyder en introduktion til Jungs teorier om personlighed, herunder hans ideer om skyggen, det ubevidste og individuation. Det er en god ressource for dem, der er nye inden for jungiansk psykologi.

Heling med lyde

35. **"Lyden af Helbredelse: Helbredelse fra Livstruende Sygdom ved Brug af Lyd, Stemme og Musik"** af Mitchell L. Gaynor
Denne bog dykker ned i brugen af lydterapi til helbredelse, med fokus på hvordan vibrationer og frekvenser kan bruges til at støtte helbredelse fra sygdom. Gaynor, en onkolog, kombinerer medicinske indsigter med lydhelbredelsesmetoder.
36. **"Justering af det Menneskelige Biofelt: Helbredelse med Vibrationslydterapi"** af Eileen Day McKusick
McKusick udforsker biofeltets anatomi og diskuterer, hvordan lyd, frekvens og vibration påvirker det menneskelige energifelt. Bogen indeholder information om, hvordan stemmer og andre lydredskaber kan fremme helbredelse.
37. **"Helende Lyde: Kraften i Harmonik"** af Jonathan Goldman
Denne bog forklarer konceptet med at bruge lyd og harmonik til at helbrede krop og sind. Den inkluderer praktiske teknikker til lydhelbredelse, såsom vokal toning og arbejde med overtoner.
38. **"Lydmedicin: Hvordan man Bruger den Gamle Videnskab om Lyd til at Helbrede Krop og Sind"** af Kulreet Chaudhary
Denne bog kombinerer gammel ayurvedisk medicin med moderne lydterapi metoder. Chaudhary forklarer, hvordan lydfrekvenser og vibrationer kan bruges til helbredelse og velvære, fra mantras til moderne lydteknologier.

Bevidsthed, Energi og Virkelighed

39. **"Den Fjerde Fase af Vand: Udoover Fast, Flydende og Damp"** af Gerald Pollack
Pollack præsenterer banebrydende forskning om vandets egenskaber og dens implikationer for biologi og energimedisin.
40. **"LSD og Universets Sind"** af Christopher Bache
Bache udforsker krydsfeltet mellem psykedelika, bevidsthed og virkelighedens natur gennem personlige oplevelser og videnskabelige indsigter.
41. **"Bevidsthed Udoover Livet: Videnskaben om Nær-Døden Oplevelsen"** af Pim van Lommel
Van Lommel giver en omfattende undersøgelse af nær-døden oplevelser, deres implikationer for bevidsthed og kontinuiteten af selvet udoover fysisk eksistens.
42. **"Manden der ikke troede på Mirakler"** af Didier Van Cauwelaert
Denne roman sammenfletter temaer om bevidsthed og kvantefysik, og udforsker virkelighedens natur og tro gennem en fængslende fortælling.
43. **"Sund med vilje: impulser til selvheling"** af Folker Meissner
Meissner undersøger de videnskabelige principper bag energimedisin og tilbyder indsigter i dens terapeutiske potentiale og mekanismer.
44. **"Forbundet: Fremkomsten af Global Bevidsthed"** af Roger Nelson
Nelson undersøger sammenhængen mellem menneskelig bevidsthed og implikationerne for forståelsen af kollektive oplevelser og global bevidsthed.
45. **"Morphogenisk vand - Sundhed - Information og bevidsthedsfelter"** af Marc Henry
Henry diskuterer vandets betydning i biologiske systemer og dets rolle som et medium for energioverførsel og bevidsthed.
46. **"Liv Efter Liv"** af Raymond Moody
Moody's banebrydende arbejde introducerer begrebet nær-døden oplevelser og præsenterer adskillige casestudier, der fremhæver fælles elementer rapporteret af dem, der har haft sådanne oplevelser.
47. **"Omfavnede af Lyset"** af Betty J. Eadie
Denne memoir fortæller Eadies nær-døden oplevelse og deler hendes indsigter og de dybe spirituelle åbenbaringer, hun mødte under sin rejse.
48. **"Bevis på Himlen: En Neurokirurgs Rejse ind i Livet Efter Døden"** af Eben Alexander
Alexander, en neurokirurg, deler sin egen nær-døden oplevelse og tilbyder en overbevisende beretning, der udfordrer konventionelle videnskabelige synspunkter om bevidsthed og livet efter døden.
49. **"Døende for at Være Mig: Min Rejse fra Kræft, til Nær Død, til Sand Heling"** af Anita Moorjani
Moorjani deler sin transformative nær-døden oplevelse under sin kamp mod kræft og de kraftfulde lektioner om selvaccept og heling, hun lærte.
50. **"Rejser Uden for Kroppen"** af Robert A. Monroe
Denne klassiske bog dokumenterer Monroes personlige oplevelser med rejser uden for kroppen og udforsker mulighederne for menneskelig bevidsthed udoover den fysiske krop. Den betragtes bredt som en af de grundlæggende tekster inden for bevidsthedsstudier.

51. **"Fjerne Rejser"** af Robert A. Monroe
Denne efterfølger til "Rejser Uden for Kroppen" dykker dybere ind i Monroes rejser ud over den fysiske plan, hvor han udforsker forskellige dimensioner af eksistens og udvider sin forståelse af bevidsthed.
52. **"Ultimativ Rejse"** af Robert A. Monroe
I denne sidste bog i trilogien deler Monroe indsigter fra sine oplevelser i ændrede bevidsthedstilstande, med fokus på temaer som livet efter døden, eksistensens natur og menneskelig hensigt.
53. **"Kosmisk Bevidsthed"** af Richard M. Bucke
Bucke beskriver sin egen oplevelse af kosmisk bevidsthed og udforsker dens implikationer for spirituel udvikling.
54. **"En Yaqui Måde at Viden"** af Carlos Castaneda
Denne bog dykker ned i shamaniske praksisser og virkelighedens natur gennem Castanedas lære hos en Yaqui shaman.
63. **"Core Energetics"** af John C. Pierrakos
Denne bog skitserer Pierrakos' tilgang til Core Energetics, en krop-centered terapeutisk metode. Han dykker ned i, hvordan det at frigøre energi i kroppen kan føre til følelsesmæssig og psykologisk heling, og integrerer spiritualitet med psykoterapi.
64. **"Pathwork of Self-Transformation"** af Eva Pierrakos
Forfattet af John Pierrakos' kone, Eva Pierrakos, er denne bog essentiel for at forstå de åndelige og energetiske grundlag for Core Energetics. Den præsenterer en samling af lærdomme fra Pathwork Guiden, som stærkt har påvirket Pierrakos' eget terapeutiske arbejde.
65. **"Min Stemmes Vil Følge Dig: Læring Fortællinger af Milton H. Erickson"** af Milton H. Erickson, redigeret af Sidney Rosen
Denne bog er en samling af Ericksons terapeutiske historier og læring fortællinger. Den fremhæver hans indirekte teknikker og brug af metafor til at facilitere dybe psykologiske ændringer, og tilbyder indsigter i, hvordan Erickson subtilt guidede sine patienter til heling.

Bioetik og Medicin

55. **"Bioetik: Principper, Problemer og Sager"** af Lewis Vaughn
Vaughn præsenterer nøgleetiske principper og problemer i medicinsk praksis og giver casestudier til virkelige anvendelser.

Bevidsthedsstudier

56. **"Bevidsthed og Universet: Kvantefysik, Evolution, Hjerne & Sind"** af Sir Roger Penrose og Stuart Hameroff
Denne samling af essays udforsker de kvantemæssige oprindelser af bevidsthed og kombinerer indsigter fra fysik, neurovidenskab og filosofi for at undersøge, hvordan kvanteprocesser i hjernen kan forklare bevidst oplevelse.
57. **"Bevidsthed Forklaret"** af Daniel Dennett
Dennett præsenterer en omfattende teori om bevidsthed, argumenterer imod traditionelle synspunkter og tilbyder indsigter i sindets funktioner.
58. **"At Vågne Op: En Guide til Spiritualitet Uden Religion"** af Sam Harris
Harris diskuterer bevidsthed, meditation og naturen af spiritualitet og taler for en sekulær tilgang til at forstå sindet.

Quantum Fysik og Metafysik

59. **"Quantummet og Lotus: En rejse til grænserne hvor videnskab og buddhisme mødes"** af Matthieu Ricard og Trinh Xuan Thuan
Denne bog udforsker paralleller mellem kvantefysik og buddhistisk filosofi, og diskuterer indsigter fra begge felter.
60. **"Det Holografiske Univers"** af Michael Talbot
Talbot præsenterer ideen om, at universet fungerer som et hologram, der sammenfletter indsigter fra kvantefysik med metafysiske implikationer.

Psykologi og Psykoterapi

61. **"Mands Søgning efter Meningen"** af Viktor E. Frankl
Frankl udforsker den psykologiske rejse i at finde formål selv under de mest triste omstændigheder, og integrerer eksistentiel filosofi og psykologi.
62. **"Kroppen Husker Det: Hjerne, Sind og Krop i Helingen af Traume"** af Bessel van der Kolk
Denne bog diskuterer indvirkningen af traumer på krop og sind, og fremhæver innovative tilgange til heling.

66. **"Usædvanlig Terapi: De Psykiatriske Teknikker af Milton H. Erickson, M.D."** af Jay Haley
Haley tilbyder et detaljeret indblik i Ericksons innovative teknikker i kortvarig terapi. Denne bog fremhæver Ericksons ikke-traditionelle og ofte overraskende metoder, herunder hans evne til at guide patienter mod hurtige terapeutiske gennembrud på blot få sessioner.

Systemteori og Systemtænkning

67. **"Generel Systemteori: Fundamenter, Udvikling, Anvendelser"** af Ludwig von Bertalanffy
En klassiker inden for systemtænkning, Bertalanffys arbejde introducerer fundamentene for Generel Systemteori, som blev en grundlæggende søjle for tværfaglig forskning på tværs af videnskaberne. Hans ideer har været indflydelsesrige i alt fra biologi til samfundsvidenskaber.
68. **"Trin til en Økologi af Sindet"** af Gregory Bateson
En nøglefigur i Palo Alto Gruppen, Batesons samling af essays dækker emner som kommunikation, psykologi og økologi. Hans arbejde lagde grundlaget for systemtænkning i menneskelig kommunikation og interaktioner.
69. **"Sind og Natur: En Nødvendig Enhed"** af Gregory Bateson
Den anden essentiel tekst fra Bateson, som udforsker hvordan sindet og miljøet er sammenkoblet. Hans ideer er grundlæggende for at forstå systemteori i forhold til menneskelig interaktion, læring og økologi.
70. **"Den Sociale Konstrukt af Virkeligheden: En Afhandling i Sociologien om Viden"** af Peter L. Berger og Thomas Luckmann
Denne bog knytter sig til systemtænkning gennem sin udforskning af, hvordan sociale systemer og virkeligheder bliver konstrueret og opretholdt.
71. **"Systemsyn på Livet: En Samlende Vision"** af Fritjof Capra og Pier Luigi Luisi
Capra, en nøglefigur i systemtænkning, præsenterer en moderne og integreret forståelse af levende systemer. Denne bog knytter systemteori til biologi, økologi og bevidsthed.
72. **"Forandring: Principper for Problemdannelse og Problemløsning"** af Paul Watzlawick, John Weakland, og Richard Fisch
Endnu et essentielt værk fra Palo Alto Gruppen, der udforsker hvordan forandring opstår i menneskelige systemer, især familier og organisationer, gennem et systemisk perspektiv.
73. **"Kundernes Træ: De Biologiske Rødder af Menneskelig Forståelse"** af Humberto R. Maturana og Francisco J. Varela
Denne bog binder biologi, kognition og systemtænkning sammen, med fokus på autopoiesis (selvskabende systemer), et centralt begreb i forståelsen af levende systemer.
74. **"Cybernetik, eller Kontrol og Kommunikation i Dyret og Maskinen"** af Norbert Wiener
Denne grundlæggende tekst om cybernetik udforsker, hvordan kommunikations- og kontrolprocesser fungerer i både maskiner og levende væsener.
75. **"Den Femte Discipline: Kunsten & Praksis af Den Lærende Organisation"** af Peter M. Senge
Senges arbejde anvender systemtænkning til organisationsudvikling. Det betragtes bredt som en nøgletekst inden for både erhvervsliv og uddannelse, med fokus på hvordan komplekse organisationer kan struktureres til læring og tilpasning.